ФЕДЕРАЛЬНОЕ ГОСУДАРСТВЕННОЕ БЮДЖЕТНОЕ УЧРЕЖДЕНИЕ НАУКИ ИНСТИТУТ ОРГАНИЧЕСКОЙ ХИМИИ им. Н.Д. ЗЕЛИНСКОГО РОССИЙСКОЙ АКАДЕМИИ НАУК (ИОХ РАН)

На правах рукописи

ГОРБАТОВ СЕРГЕЙ АЛЕКСАНДРОВИЧ

Дизайн и синтез новых двумодальных флуоресцентных хемосенсоров на основе борфторидных комплексов дипирролилметенов для детектирования катионов тяжелых металлов и (био)аналитов

02.00.03 - Органическая химия

Диссертация на соискание ученой степени кандидата химических наук

Научный руководитель:

д.х.н. И. В. Заварзин

ОГЛАВЛЕНИЕ

I. ВВЕДЕНИЕ4
II. ОБЗОР ЛИТЕРАТУРЫ
II.1. Молекулярные логические элементы на основе БОДИПИ для детектирования металлических катионов
II.2. Молекулярные логические элементы на основе БОДИПИ для детектирования анионов 42
II.3. Молекулярные логические элементы на основе БОДИПИ для обнаружения боевых отравляющих и взрывчатых веществ
II.4. Молекулярные логические элементы на основе БОДИПИ для обнаружения тиолов, оксидов азота и активных форм кислорода
II.5. Молекулярные логические элементы на основе БОДИПИ для генерации синглетного кислорода
III. Обсуждение результатов
III.1. Разработка сенсоров для детектирования катионов тяжелых металлов
III.1.2. Разработка мономодального флуоресцентного «Off-On» сенсора на катионы Al ³⁺ 86
III.1.3 Исследование фотофизических свойств соединений S1, S3, S5, S6, S7 и их способности детектировать A1 ³⁺
III.1.4. Разработка флуоресцентного «Off-On» сенсора на катионы Cu^{2+}
III.1.5 Исследование фотофизических свойств соединений S8 - S12 и их способности детектировать Cu^{2+}
III.1.6. Разработка флуоресцентного «Off-On» сенсора на катионы Zn ²⁺
III.1.7 Разработка бимодального флуоресцентного "Off- On" сенсора на Al^{3+} и Zn^{2+} 106
III.1.8. Исследование фотофизических свойств соединения S14
III.2. Разработка сенсоров на основе полифенол-замещенного БОДИПИ
III.2.2. Разработка водорастворимого флуоресцентного сенсора на основе трисфенол-БОДИПИ для детектирования гипоксии клеток
III.2.4. Разработка бимодального флуоресцентного «Off – On» сенсора на катионы Hg^{2+} и гипохлорит анион ClO^{-}
III.2.5. Разработка бимодального флуоресцентного «Off – On» сенсора на катионы Hg^{2+} и супероксид анион-радикал $O_2^{\circ -}$
III.2.6. Разработка бимодального флуоресцентного «Off – On» сенсора на катионы Hg^{2+} и HS^{-}
V. Экспериментальная часть

V.1. Синтез соединений перспективных для детектирования катионов металлов	139
V.2. Разработка сенсоров на основе полифенол-замещенного БОДИПИ	154
СПИСОК СОКРАЩЕНИЙ	170
СПИСОК ЛИТЕРАТУРЫ	172
Приложение	S1-S13

І. ВВЕДЕНИЕ

Актуальность темы. Развитие методологий создания флуоресцентных сенсоров на катионы металлов, неорганические и органические анионы, а также на органические молекулы является актуальным направлением междисциплинарных исследований, объединяющим усилия специалистов в области органической, аналитической, координационной химии и в смежных сферах других наук, таких как биология и медицина. Привлекательность флуоресцентных методов заключается в том, что по сравнению с колориметрическими или электрохимическими методами они дают возможность значительно снизить порог чувствительности и характеризуются большей селективностью и надежность обнаружения.

В последние годы существенное развитие получили двумодальные флуоресцентные представляющие собой флуорофор, модифицированный рецепторными группами, обладающими, как правило, свойствами РЕТ- или ІСТ-гасителей. Одновременное селективное взаимодействие двух детектируемых частиц с подобными сенсорами, сопровождается снятием гашения флуоресценции и приводит, как следствие, к значительному увеличению eë интенсивности (принцип «Off-On»). Двумодальные флуоресцентные сенсоры часто рассматриваются с точки зрения молекулярной логики, как молекулярно-логические элементы и сортируются согласно элементам булевой логики. Способные обеспечить детектирование одновременного присутствия в растворе двух типов анализируемых частиц, например, двух различных видов катионов тяжелых металлов, катионов металлов и анионов или биоаналитов, подобные сенсоры рассматриваются как перспективные инструменты для мониторинга сложных биологических процессов, патологических состояний человека и экологического состояния окружающей среды.

На сегодняшний день эффективность в качестве составных частей двумодальных флуоресцентых сенсоров показана для достаточно большого количества флуорофорных и рецепторных групп. Среди флуорофоров наибольшее распространение получили нафталин, хинолин и их производные, а среди рецепторных групп - хелаторы на основе краун-эфиров. В тоже время, практически неизученными с этой точки зрения в силу синтетической труднодоступности являются функционализированные производные 4,4-дифтор-4-бора-3а,4а-диаза-с-индацена (БОДИПИ). БОДИПИ обладает уникальным набором спектральных характеристик, включая высокие значения коэффициентов поглощения в УФ-диапазоне, острая форма линий в спектрах флуоресценции, относительно высокие значения квантовых выходов, устойчивость при физиологических значениях рН и химическая инертность. Важным фактором, определяющим перспективность использования БОДИПИ в качестве основы для разработки двумодальных сенсоров, является возможность контроля над флуоресцентными свойствами

красителя за счет введения рецепторных групп в структурно значимые 3-е и 8-е положения флуоресцентного каркаса. В связи с чем, разработка синтетических подходов и исследование спектральных свойств красителей ряда БОДИПИ, содержащих две различные рецепторные группы, могли бы внести существенный вклад в развитие понимания принципов работы и применения двумодальных флуоресцентных сенсоров. При этом основными критериями отбора рецепторных групп являются их синтетическая доступность, высокая селективность и химическая стабильность.

Цели работы. 1) Предложить и реализовать синтез двумодальных сенсоров ряда БОДИПИ представляющих интерес для детектирования одновременного присутствия в растворе двух различных катионов металлов. 2) Изучить возможность создания двумодальных сенсоров ряда БОДИПИ для детектирования в растворах двух различных биоаналитов, включая гидросульфид анион, активные формы кислорода и катионы тяжелых металлов.

Научная новизна работы. Синтезирована широкая серия ранее неизвестных красителей ряда БОДИПИ, содержащих «псевдо-краун» эфирные остатки. Показано, что введение 2-((2-(2ацетоксиэтокси)этил)амино)этилацетатной группы в мезо-положение ядра БОДИПИ через фенильный линкер эффективно для создания флуоресцентного «Off-On» сенсора на катионы $A1^{3+}$, в то время как функционализация по этому же положению 2,2'-бис(этан-1-ол)аминовым остатком через метиленовый линкер привела к «Off-On» сенсору на катионы Cu²⁺. Впервые продемонстрировано, что дипиколиламиновое производное БОДИПИ может быть использовано для селективного детектирования Zn^{2+} в водных средах, а также визуализации распределения Zn²⁺ в тканях растений. С использованием «псевдо-краун» эфирных и дипиколиламинововой хелатирующих групп реализован синтез ранее неизвестного двумодального «Off-On» сенсора ряда БОДИПИ эффективного для детектирования одновременного присутствия в растворе Al³⁺ и Zn^{2+} . Отработаны методы синтеза ранее неизвестных производных БОДИПИ с хелатирующими и/или реакционно-способными группами чувствительными к гипоксии раковых клеток и активными в отношении различных биоаналитов, включая S-нуклеофилы, активные форм кислорода, Hg^{2+} , а также за счет введения по концевым OH-группам бисфенолвинилового и 2,4-динитробензолсульфонильного заместителей БОДИПИ двумодальный «Off-On» сенсор, позволяющий осуществлять мониторинг последовательного поступление Hg^{2+} и HS^{-} .

Теоретическая и практическая значимость работы состоит в том, что впервые методами УФ-спектроскопии и флуоресценции для красителей ряда БОДИПИ, содержащих «псевдо-краун» эфирные остатки, систематически была изучена взаимосвязь структура-селективность в отношении катионов металлов. Впервые показана перспективность использования полифенол-

замещенных красителей ряда БОДИПИ в качестве универсальной платформы для создания флуоресцентных сенсоров на различные биоаналиты. Предложены новые мономодальные флуоресцентные «Off-On» сенсоры селективные в отношении Al^{3+} , Cu^{2+} , Zn^{2+} и SO_3^{2-} , в том числе и при физиологических условиях. Разработаны двумодальные сенсоры ряда БОДИПИ способные детектировать одновременное присутствие в растворе Al^{3+} и Zn^{2+} , а также последовательное поступление в раствор Hg^{2+} и HS^- .

Личный вклад автора. состоял в систематизации литературных данных, проведении синтезов, анализе составов реакционных смесей и строения продуктов реакций (по данным спектров ЯМР, ИК и МАСС), интерпретации экспериментальных данных, подготовке материалов к публикации и представлении полученных результатов на конференциях.

Степень достоверности и апробация работы. Достоверность полученных результатов обеспечивается тем, что экспериментальные работы и аналитические исследования выполнены на современном сертифицированном оборудовании, обеспечивающем получение надежных данных. Состав и структура соединений, обсуждаемых в диссертационной работе, подтверждены данными ¹H, ¹³C, ¹⁹F и ¹¹B ЯМР-спектроскопии, элементных анализов, массспектрометрии высокого разрешения (HRMS) и ИК-спектроскопии. Использованы современные системы сбора и обработки научно-технической информации: электронные базы данных Reaxys (Elsevier), SciFinder (CAS), Web of Science (Thomson Reuters), а также полные тексты статей и книг.

Основные результаты работы были представлены на российских и международных конференциях и конгрессах: Международный молодежный научный форум «Ломоносов» 2017, Инновации в химии/Органическая химия (Россия, Москва, 2017), І Всероссийская молодёжная школа-конференция "Успехи синтеза и комплексообразования" (Россия, Москва, 2017), International Conference "Organic & Hybrid Functional Materials and Additive Technologies" (Москва, 2018) Зимняя конференция молодых ученых по органической химии WSOC-2019 (Россия, Москва, 2019), The Fifth International Scientific Conference "Advances in Synthesis and Сотрежная" (Россия, Москва, 2019), VIII Молодежная конференция ИОХ РАН (Россия, Москва, 2019).

<u>Публикации по теме работы.</u> По теме диссертации опубликовано 3 статьи в рецензируемых научных журналах, отвечающих требованиям ВАК, и 8 тезисов докладов российских и международных конференций.

<u>Структура и объем диссертации.</u> Работа состоит из введения, обзора литературы, посвященного молекулярно-логическим элементам на основе БОДИПИ, обсуждения результатов, экспериментальной части, выводов, списка сокращений и условных обозначений,

списка литературы. Материал диссертации изложен на 185 страницах машинописного текста, включает 2 таблицы, 94 рисунка и 5 схем. Библиография насчитывает 164 ссылки.

Благодарности. Глубокую благодарность и признательность автор выражает соруководителям данной диссертационной работы к.х.н. Волковой Юлие Алексеевне и Энтони Ромье за совместно выполненные исследования, ценные научные замечания, предоставленные рекомендации и всестороннюю поддержку, к.х.н. Колотыркиной Наталье Георгиевне за регистрацию масс-спектров высокого разрешения (HRMS), к.х.н. Злобину Илье Евгеньевичу за проведение биологических испытаний, к.х.н. Щербакову Алексею Михайловичу за проведение биологических испытаний, Тихоновой Татьяне Андреевне за регистрацию спектров ЯМР, Козлову Михаилу Александровичу за ценные советы и предложения по ходу выполнения работы. Отдельные слова благодарности заведующей аспирантурой к.х.н. Веселе Ирине Васильевне за помощь, советы и поддержку.

II. ОБЗОР ЛИТЕРАТУРЫ

Молекулярная логика - это междисциплинарная область, в рамках которой разрабатывают молекулярные логические элементы (МЛЭ) [1]. Изучение МЛЭ в органической химии началось 25 лет назад с публикации работы Де Сильва в журнале *Nature* [2]. К самым простейшим МЛЭ относятся флуоресцентные сенсоры, которые при взаимодействии с аналитом меняют характеристики флуоресценции. За последние годы появилось большое количеств работ, посвященных различным флуоресцентным сенсорам, заложивших фундамент для дальнейшего изучения МЛЭ.

Сегодня существует два основных направления развития МЛЭ [3]. Первое - это реализация сложных логических операци в молекулярных строительных блоках с целью имитировать функции, необходимые для полупроводникового вычисления. [4] В основе лежит идея, что молекулярные логические элементы обеспечивают большую плотность транзисторных матриц по сравнению с их обычными электронными аналогами и в некоторых случаях проявляют дополнительные свойства, такие как конфигурируемость и параллельное вычисление. Однако, большинство существующих МЛЭ работают в жидких средах, поэтому необходима принципиальная адаптация оборудования [5]. Помимо этого, существует ряд других ограничений такого применения МЛЭ (в том числе однородность ввода-вывода сигналов). В связи с чем, применение МЛЭ требует дальнейших исследований и все еще далеко от практического применения.

Второе направление развития МЛЭ связано с биомедицинской сферой. Биологические процессы (включая патологические), которые протекают в биологическом "бульоне реакционных смесей" с определенной степенью компартментализации являются идеальной мишенью для МЛЭ. Целью таких МЛЭ может быть управление этими процессами или диагностика стадий заболевания. Кроме того, МЛЭ могут использоваться в высвобождении лекарственного средства в клетке при соблюдении определенных условий [6].

Для разработки МЛЭ на основе флуоресцентных сенсоров используются различные фотофизические механизмы, три основных из которых это фотоиндуцированный перенос электрона (**PET**) [7], межмолекулярный перенос заряда (**ICT**) [8, 9] и резонансная передача энергии (**RET**) [10-12].

Флуоресцентный сенсор, основанный на **PET**-механизме состоит из рецептора, который селективно и обратимо связывается с аналитом, и флуорофора, который обеспечивает оптические свойства молекулы, а также линкера, который соединяет оба фрагмента вместе и обеспечивает электронную коммуникацию между рецептором и флуорофором. Флуоресцентные сенсоры, основанные на **PET**, могут быть селективными по отношению к

различным химическим и физическим аналитам, а именно протонам, катионам металлов, анионам, нейтральным органическим молекулам и даже наночастицам [11].

В самом простом случае изменение распределения заряда в **PET**-сенсоре происходит в результате перераспределения электронов внутри системы за счет взаимодействия между рецепторной группой и аналитом. Если в качестве аналита выступает ион переходного металла, то эффект гашения/разгорание флуоресценции флуорофора достигается за счет взаимодействия электронов хелатора с *d*-орбиталью катиона [11].

Существует два типа **РЕТ**, используемых для создания флуоресцентных сенсоров: восстановительный **РЕТ** и окислительный **РЕТ**. Восстановительный **РЕТ** согласно уравнению, схематично представлен на рисунке 1.

$${}^{1}A^{*} + D \longrightarrow A^{-} + D^{+}$$

Рисунок 1. Общее уравнение восстановительного РЕТ.

К восстановительному **РЕТ** относится механизм, в котором флуорофор восстанавливается, в то время как хелатор окисляется. При этом флуорофор работает как акцептор электронов, и ВЗМО флуорофора должна быть ниже, чем ВЗМО хелатора, чтобы электрон мог перейти на флуорофор и заполнить его наполовину занятую ВЗМО (Рисунок 2).

$$1A^* + D \longrightarrow A^{-} + D^{+}$$
 $+ CMO \longrightarrow HCMO \longrightarrow HCMO$
 $+ B3MO \longrightarrow B3MO$
 $+ B3MO \longrightarrow B3MO$

Рисунок 2. Восстановительный РЕТ, где А-акцептор электронов, D-донор электронов.

РЕТ делает возможным безизлучательное гашение флуоресценции флуорофора и сенсор становится либо не флуоресцирующим, либо слабо флуоресцирующим. Координация аналита с хелатором понижает ВЗМО хелатора и, таким образом, понижается скорость перехода электрона от хелатора на флуорофор, что приводит к разгоранию флуоресценции, так называемому эффекту «Off- On» [13].

Окислительный РЕТ согласно уравнению, схематично представлен на рисунке 3.

$$^{1}D^{*} + A \longrightarrow A^{-} + D^{-+}$$

Рисунок 3. Общее уравнение окислительного РЕТ.

Если энергетические уровни таковы, что синглетное возбужденное состояние НСМО молекулы может отдавать электроны на НСМО хелатора, тогда можно говорить об окислительном **PET** (флуорофор окисляется, тогда как хелатор восстанавливается) (Рисунок 4). Для того, чтобы был возможен переход электронов с НСМО флуорофора на НСМО хелатора, НСМО флуорофора должна быть выше, чем НСМО хелатора. Окислительный **PET** реже используется для создания флуоресцентных сенсоров.

$$1D^* + A \longrightarrow A^{-} + D^{+}$$
 $+CMO \longrightarrow +CMO \longrightarrow +CMO \longrightarrow +CMO$
 $+B3MO \longrightarrow +B3MO \longrightarrow +B3MO \longrightarrow +B3MO$

Рисунок 4. Окислительный РЕТ, где А-акцептор электронов, D-донор электронов.

Другой фотофизический эффект, используемый при создании флуоресцентных сенсоров, основан на использовании процесса молекулярного переноса заряда ІСТ. Он возможен при условии, что флуорофор имеет электронодонорную группу (амино, метокси и т.д.) сопряженную с электронно-акцепторной группой. При возбуждении такой молекулы светом, происходит внутримолекулярное перераспределение заряда, приводящее к перераспределению электронной плотности от донора к акцептору и увеличение дипольного момента. Возбужденное состояние молекулы достигается посредством фотовозбуждения при условии, когда молекула флуорофора не находится в термодинамическом равновесии с окружающими полярными молекулами растворителя. Релаксация за счет растворителя вызывает батохромный сдвиг полосы испускания флуорофора, положение которого зависит от возрастающей полярности растворителя. Обычно, спектр поглощения сенсоров с ІСТ довольно узкий, а спектр испускания флуоресценции зависит от полярности растворителя. В полярных растворителях квантовый выход флуоресценции таких сенсоров низкий, и наоборот - высокий выход сенсоров в неполярных растворителях. При связывании рецептора с катионом происходит уменьшение/увеличение энергии, необходимой для переноса электронной плотности, что выражается в гипсохромном/батохромном смещении полос поглощения флуорофора и в соответствующем изменении его флуоресцентных характеристик.

Наиболее важным отличием **PET**-сенсоров от **ICT**-сенсоров является их различие в флуоресцентных свойствах при обнаружении аналита. Сенсоры на основе **PET** показывают разгорание флуоресценции или ее гашение без каких-либо смещений спектральных полос поглощения и испускания [11]. Сенсоры на основе **ICT** обычно показывают гипсохромное/батохромное смещение полос поглощения флуорофора и соответствующее изменение его флуоресцентных характеристик при связывании с аналитом [11].

Еще один механизм, используемый при создании МЛЭ, на основе флуоресцентных сенсоров, – резонансная передача энергии (**RET**). Он основан на безызлучательном переносе энергии между двумя фрагментами молекулы и происходит в том случае, когда два флуорофора соединены в одну структуру. Один из них (донор) должен собирать излучение на длине волны возбуждения и передавать эту энергию второму флуоресцентному фрагменту (акцептору), который излучает ее на более длинной волне. Процесс передачи энергии происходит при условии, когда спектр испускания флуоресценции донора перекрывает спектр поглощения акцептора, что означает, что несколько вибронных переходов в доноре имеют почти ту же энергию, что и соответствующие переходы в акцепторе. Для таких переходов принято говорить, что они находятся в резонансе. Молекулы, в которых действует **RET**, обычно используются для искусственного усиления сдвига Стокса [4].

Таким образом, в зависимости от конкретной ситуации, оптический результат (выход) является функцией различных вводных параметров, таких как концентрация или длина волны возбуждения (ввод). После преобразования в двоичный код, эти шаблоны ввода-вывода можно интерпретировать в соответствии с булевой логикой. Для описания сложных МЛЭ используются такие операции булевой логики, как отрицание (инверсия) - операция «НЕ», конъюнкция (логическое умножение) - операция «И», дизъюнкция (логическое сложение), инверсия функции конъюнкции, инверсия функции дизъюнкции и др [4, 10].

Булева логика используется как главное средство классификации МЛЭ. Было показано, что комбинация МЛЭ может использоваться как молекулярный компьютер, способный производить элементарный математические операции, такие как сложение и вычитание [4, 10].

МЛЭ с одним входом относятся к типам YES или NOT и включают в себя все простые одноканальные сенсоры, в то время как двух- и более канальные сенсоры относятся к МЛЭ типа AND, OR, NOR, NAND, INHIBIT, XOR. Так же существуют более сложные МЛЭ, такие как полусумматоры и полувычитатели, которые находят своё применение в мультиканальных сенсорах.

МЛЭ типа YES

Флуоресцентные сенсоры "Off- On", у которых один аналит вызывает разгорание флуоресценции, можно рассматривать как логические элементы типа YES. МЛЭ типа YES представляет собой устройство с одним входом и поэтому является одним из простейших логических элементов.

МЛЭ типа NOT

Флуоресцентные сенсоры "On- Off", у которых один аналит вызывает гашение флуоресценции, можно рассматривать как МЛЭ типа NOT. МЛЭ типа NOT является инверсией МЛЭ типа YES.

МЛЭ типа AND

МЛЭ типа AND производит выходной сигнал только тогда, когда на него приходит одновременно два воздействия. С точки зрения химии данные воздействия могут быть отдельными частицами или могут быть частями одной молекулы.

Ввод		Выход
Α	В	
0	0	0
0	1	0
1	0	0
1	1	1
Назв	ание	AND
Сим	вол	

МЛЭ типа OR

МЛЭ типа ОR производит выходной сигнал только в том случае, когда на него приходит сигнал одного из двух воздействий. Тем не менее, неизбирательное поведение МЛЭ типа ОR в отношении нескольких разных частиц позволяет их использовать при разработке МЛЭ с двумя ВХОДАМИ и одним ВЫХОДОМ.

Ввод		Выход
Α	В	
0	0	0
0	1	1
1	0	1
1	1	1
Название		OR
Символ		→

МЛЭ типа NOR

МЛЭ типа NOR представляют собой интеграцию элементов OR и NOT. Они используется для разработки сложных логических функций в рамках одной молекулярной структуры. МЛЭ типа NOT гасит флуоресценцию, когда взаимодействует с соответствующей частицей. МЛЭ типа OR с двумя ВХОДАМИ неизбирательно «включает» флуоресценцию. Таким образом, логический элемент NOR отключает флуоресценцию, когда появляется один из двух анализируемых компонентов.

Ввод		Выход
Α	В	
0	0	1
0	1	0
1	0	0
1	1	0
Назв	ание	NOR
Сим	вол	→

МЛЭ типа NAND

МЛЭ типа NAND можно понимать, как объединение МЛЭ типа NOT и AND, когда ВЫХОД логического элемента AND становится ВХОДОМ для МЛЭ NOT.

Вв	од	Выход
Α	В	
0	0	1
0	1	1
1	0	1
1	1	0
Назв	ание	NAND
Сим	вол	

МЛЭ типа INHIBIT

МЛЭ типа INHIBIT можно рассматривать как интеграцию МЛЭ типа NOT и AND, хотя и в отличном от NAND виде. Операция NOT применяется только к ВХОДУ В. Таким образом, ВХОД В — отключает ВЫХОД независимо от состояния ВХОДА.

Ввод		Выход
Α	В	
0	0	0
0	1	0
1	0	1
1	1	0
Назв	ание	INHIBIT
Сим	вол	

МЛЭ типа ХОК

Данная операция применяется в том случае, когда из двух ВХОДНЫХ сигналов истинен только один.

Bi	вод	Выход
A	В	
0	0	0
0	1	1
1	0	1
1	1	0
Назі	зание	XOR
Сия	ивол	

МЛЭ типа Полусумматоры

Логическая схема половинного сумматора имеет два ВХОДА и два ВЫХОДА, является основой что обработки чисел большинстве электронных компьютеров. Для суммирования необходимо добавление AND, для операции переноса и логический элемент XOR для операции суммы.

Вв	од	Вых	од
Α	В	Carry	Sum
0	0	0	0
0	1	0	1
1	0	0	1
1	1	1	0
Назв	ание	Half-a	dder
Сим	вол		

МЛЭ типа Полувычитатели

Соединение в одной молекуле МЛЭ XOR и INHIBIT приводит к половинному вычитателю.

Ве	юд	Вы	ход
Α	В	Borrow	Diffrence
0	0	0	0
0	1	1	1
1	0	0	1
1	1	0	0
Назв	ание	Half-sub	estractor
Сил	1ВОЛ		

Среди многочисленных классов флуоресцентных красителей особое место занимают набирающие популярность производные 4,4-дифтор-4-бора-3а,4а-диаза-с-индацена [14, 15] более известные как БОДИПИ (Рисунок 5). Первое упоминание о данном классе соединений встречается в 1968 году в публикации Трейбса и Кройцера [16]. Однако, лишь в середине 1990-х годов была показана перспективность использования красителей ряда БОДИПИ в электролюминесцентных устройствах, а также при создании биологических меток. Большой

интерес к БОДИПИ можно объяснить характерным для них уникальным сочетанием спектральных свойств. Устойчивость к свету и химическим веществам, высокие молярные коэффициенты поглощения $\varepsilon(\lambda)$ и квантовые выходы флуоресценции Φ , узкие полосы поглощения, хорошая растворимость, устойчивость к самоагрегации в растворе - все это способствует востребованности данного класса красителей в мировом научном сообществе. Кроме того, спектроскопические и фотофизические свойства БОДИПИ легко контролируются направленным введением вспомогательных остатков в ключевые положения дифторборонового дипирролилметенового ядра. Разнообразие синтетических путей для создания структурноразличных производных БОДИПИ позволяет добиваться идеального соответствия между структурой красителя и его желаемыми спектроскопическими характеристиками.

С тех пор количество исследовательских работ и патентов, посвященных использованию красителей ряда БОДИПИ, ежегодно значительно увеличивается, в том числе накопилось значительное количество примеров БОДИПИ в разработке МЛЭ.

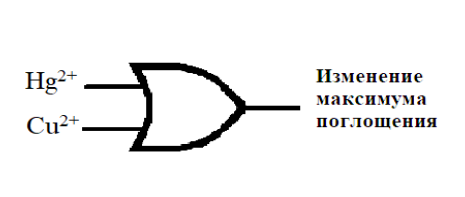
Рисунок 5. 4,4-Дифтор-4-бора-3а,4а-диаза-с-индацен (БОДИПИ).

В настоящем обзоре впервые систематизированы работы по разработке МЛЭ на основе БОДИПИ. Данный анализ охватывает литературу за последние 15 лет. Стоит отметить, что в последние годы было опубликовано несколько прекрасных обзоров, посвященных флуоресцентным сенсорам в качестве МЛЭ [4, 10, 17, 18]. Однако, в силу того, что в публикациях по сенсорам БОДИПИ они редко рассматриваются в рамках булевой логики, обзора литературы по МЛЭ ряда БОДИПИ до настоящего времени не было.

II.1. Молекулярные логические элементы на основе БОДИПИ для детектирования металлических катионов

Ионы металлов играют важную роль в различных промышленных и биохимических процессах [19]. Некоторые из них, такие как медь, магний, никель и цинк необходимы для поддержания гомеостаза в организмах людей, животных и растений [20]. Однако некоторые ионы металлов токсичны и, следовательно, вызывают серьезные нарушения здоровья и окружающей среды [21], в связи с чем их обнаружение имеет большое значение в современном мире. В этой части обзора, мы систематизировали различные МЛЭ на основе БОДИПИ для обнаружения катионов металлов, которые были разработаны в последние годы.

В работе [22] был разработан новый калориметрический флуоресцентный сенсор ряда БОДИПИ **L1** типа OR, для детектирования катионов Hg^{2+} или Cu^{2+} . Моностирил-замещенный БОДИПИ **3** синтезирован по реакции Кневенагеля конденсацией БОДИПИ **1** с производным бензальдегида **2**. Далее полученное соединение вводилось в клик-реакцию с триэтиленгликользамещенным азидом **4**, в результате чего в качестве продукта был получен сенсор **L1** (Рисунок 6).



Ввод		Выход
Cu ²⁺	Hg ²⁺	λabs = 529 нм
0	0	0
0	1	1
1	0	1
1	1	1

Рисунок 6. **A)** Схема синтеза соединения **L1**. **Б**) Принципиальная схема механизма работы сенсора **L1**. Двумя входными сигналами являются Cu^{2+} и Hg^{2+} . Выходной сигнал сдвиг максимума поглощения. Как видно из таблицы истинности, мониторинг добавления Cu^{2+} или Hg^{2+} ведет к молекулярному логическому элементу OR.

Авторы работы показали, что добавление катионов Hg^{2+} к раствору **L1** в CH_3CN/H_2O (5:1) сопровождалось гипсохромным сдвигом максимума поглощения с 592 до 555 нм или до 502 нм в случае добавления раствора катионов Cu^{2+} . При этом происходило отчетливое изменение цвета с синего на фиолетовый при добавлении катионов Hg^{2+} или на желтый в случае добавления катионов Cu^{2+} . Так же наблюдалось смещение максимумов испускания флуоресценции в случае добавление катионов Hg^{2+} (с 690 до 602 нм) и гашение интенсивности флуоресценции в случае добавления катионов Cu^{2+} . Механизм работы сенсора регулируется эффектом ICT. Авторы изучили поведение **L1** в клетках линии Hela рака молочной железы, и, показали, что он способен различать Hg^{2+} и Cu^{2+} посредством двухканальной визуализации. Согласно приведенным выше результатам, данный сенсор может быть отнесен к МЛЭ типа OR.

В группе Ильмаза [23] был разработан "Off-On" флуоресцентный сенсор **L2**, основанный на **RET** для обнаружения катионов Sn²⁺ и Al³⁺ в водной среде (Рисунок 7). Сенсор **L2** представляет собой молекулу БОДИПИ, связанную с фенолфталеином. Фенолфталеин-диальдегидное производное **11** было получено с помощью реакции Даффа, описанной в работе [24]. Производное БОДИПИ, полученное в три стадии из пиролла **5** и альдегида **6**, вводилось в реакцию с фенолфталеин-диальдегидным производным **11**, конденсацией в абсолютном этаноле, в результате чего был получен сенсор **L2**. Флуоресцентные свойства сенсора **L2** исследовали в присутствии различных катионов металлов в системе ацетон/H₂O (1:1). Измерения интенсивности флуоресценции были выполнены при фиксированной длине волны возбуждения в 370 нм. Было показано, что в присутствии катионов Sn²⁺ или Al³⁺ в растворе сенсора **L2** происходит увеличение интенсивности флуоресценции при 560 нм. Что позволяет рассматривать **L2** как МЛЭ типа OR.

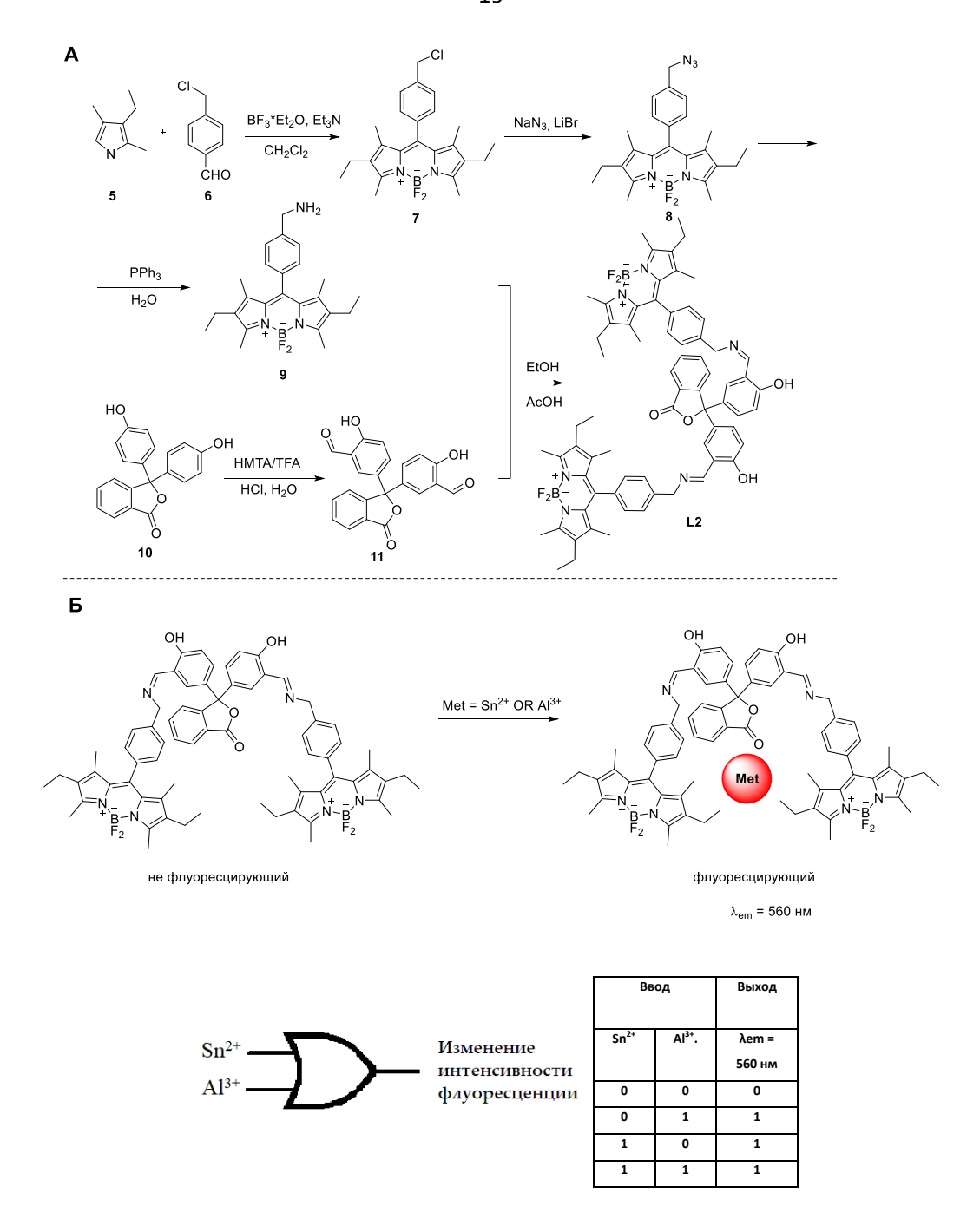


Рисунок 7. **А)** Схема синтеза соединения **L2**. **Б)** Принципиальная схема механизма работы сенсора **L2**. Двумя входными сигналами являются Sn^{2+} и Al^{3+} . Выходной сигнал - это увеличение интенсивности флуоресценции при 560 нм. Как видно из таблицы истинности, мониторинг добавления Sn^{2+} или Al^{3+} ведет к молекулярному логическому элементу OR.

В работе [25] для "On- Off" детектирования катионов Co²⁺ и Cu²⁺ были предложены БОДИПИ-циклотетрафосфазен производные **L3** и **L4**, которые являются МЛЭ типа OR. Синтез соединений **L3** и **L4** начинался с получения функционализированного производного БОДИПИ **14** в соответствии со стандартной процедурой. Затем были синтезированы новые производные дистирил-замещенных БОДИПИ **12** и **16** по реакции с ароматическими альдегидами. В качестве

носителя была использована циклотетрафосфазеновая платформа. Клик-реакцией из БОДИПИ 12 и **16** были получены соединения **L3** и **L4** (Рисунок 8).

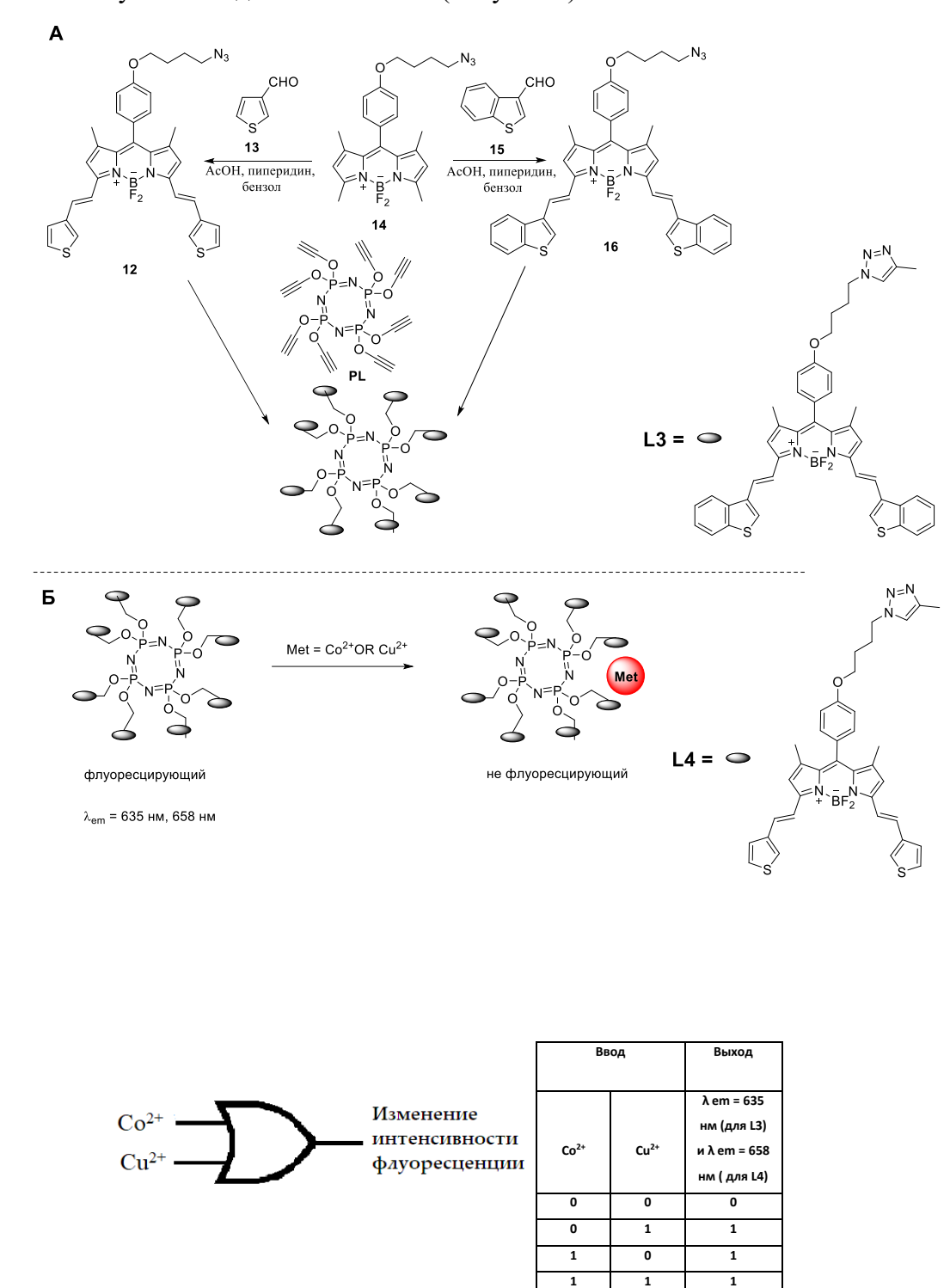


Рисунок 8. А) Схема синтеза соединений **L3** и **L4. Б)** Принципиальная схема механизма работы сенсоров **L3** и **L4**. Двумя входными сигналами являются Co^{2+} и Cu^{2+} . Выходной сигнал - уменьшение интенсивности флуоресценции. Как видно из таблицы истинности, мониторинг добавления Co^{2+} или Cu^{2+} ведет к молекулярному логическому элементу OR.

Однако, при добавлении катионов Co^{2+} или Cu^{2+} к раствору сенсоров **L3** и **L4** в смеси $T\Gamma\Phi/H_2O$ (20:1) происходило полное гашение интенсивности флуоресценции при 635 нм (для **L3**) и 658 нм (для **L4**) (λ_{ex} для **L3** = 590 нм; λ_{ex} для **L4** = 610 нм) соответственно.

Полученный в работе [26] "Off-On" **L5** на основе БОДИПИ показал высокую селективность к катионам Hg^{2+} и Fe^{3+} . Синтез соединения был реализован в 4 стадии из функционализированного бензальдегида **20**. Флуорофор БОДИПИ **22** был получен путем конденсации в условиях кислого катализа альдегида **20** и 2,4-диметилпиррола **21**. Как один из наиболее важных методов, при синтезе целевого соединения на последней стадии использовалось азид-алкиновое циклоприсоединение, катализируемое медью (CuAAC). Сенсор **L5** в свободном состоянии обладал низкой интенсивностью флуоресценции при 515 нм, что связано с быстрой цис-транс изомеризацией иминиевой связи (Рисунок 9).

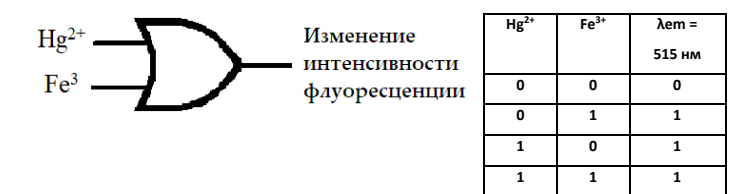
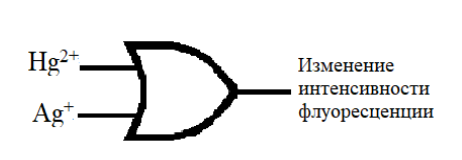


Рисунок 9. А) Схема синтеза соединения **L5**. **Б)** Принципиальная схема механизма работы сенсора **L5**. Двумя входными сигналами являются Hg^{2+} и Fe^{3+} . Выходной сигнал - увеличение интенсивности флуоресценции при 515 нм. Как видно из таблицы истинности, мониторинг добавления Hg^{2+} или Fe^{3+} ведет к молекулярному логическому элементу OR.

Добавление катионов Hg^{2+} или Fe^{3+} к раствору сенсора **L5** в $H_2O/T\Gamma\Phi$ (1/1) приводило к гидролизу связи C=N, что сопровождалось двойным увеличением интенсивности флуоресценции ядра БОДИПИ при 515 нм.

В работе [27] предложен хемосенсор **L6** на основе БОДИПИ селективный к катионам Hg^{2+} и Ag^+ . Он был получен в три стадии из пиррола и *п*-цианобензальдегида **24** с помощью стандартного протокола для синтеза БОДИПИ. Формилирование **25** по Вильсмайеру-Хааку с использованием ДМФА – POCl₃ позволило получить соединение **26**. Реакция соединения **26** с 1,3-дитиопропаном в присутствии BF_3 -OEt₂ приводит к **L6** (Рисунок 10).

А
$$\frac{1) \text{ CF}_3\text{COOH}}{2Jp \times \text{поранил}}$$
 $\frac{2Jp \times \text{поранил}}{3J \text{ BF}_3 \text{ OEI}_2, \text{ TFA}}$ $\frac{POCI_3/DMF}{1.2\text{-Дихлорэтан}}$ $\frac{POCI_3/DMF}{1.2\text{-Mix}}$ $\frac{POCI$



Вв	од	Выход
Hg ²⁺	Ag ⁺	λem = 515 нм
0	0	0
0	1	1
1	0	1
1	1	1

Рисунок 10. A) Схема синтеза соединения **L6. Б)** Принципиальная схема механизма работы сенсора **L6.** Двумя входными сигналами являются Hg^{2+} и Ag^+ . Выходной сигнал - изменение интенсивности флуоресценции. Как видно из таблицы истинности, мониторинг добавления Hg^{2+} или Ag^+ ведет к молекулярному логическому элементу OR.

Было показано, что при добавлении катионов Hg^{2+} к раствору сенсора **L6** в системе $T\Gamma\Phi/H_2O$ (85/15) приводит к сдвигу максимума поглощения с 548 до 532 нм и увеличению иненсивности испускани при 515 нм. Изменение в спектрах поглощение было связано с промотируемым Hg^{2+} снятием тиоацетальной защиты альдегидной группы во 2-ом полодении ядра БОДИПИ. Сенсор **L6** в присутствии Ag^+ показал увеличение интенсивности флуоресценции без смещения максимума поглощения. Авторы предполагали, что катионы Ag^+ могут координироваться с атомами серы тиоацетальной части сенсора. Этот процесс ингибирует РЕТ-гашение флуоресценции и приводит к разгоранию флуоресценции. Мониторинг добавления Hg^{2+} или Ag^+ ведет к молекулярному логическому элементу OR

В группе [28] был разработан сенсор **L7**, содержащий гидроксизамещенную нафтильную рецепторную группу связанную через иминовый фрагмент с мезо-фенил содержащим флуорофором БОДИПИ. Сенсор был получен из исходного БОДИПИ **27** Рd-каиализируемым восстановлением его NO₂ группы гидразин гидразингидратом и конденсацией полученного продукта **28** с 2-гидрокси-1-нафтальдегидом в присутствии ледяной уксусной кислотой в ЕtOH (Рисунок 11).

При изменении рН раствора сенсора в смеси ДМСО/H₂O (1:4), происходила кето-енолтаутомеризация в орто-гидроксинафталин-азометиновом фрагменте сенсора, в результате чего появлялись изменения в спектрах поглощения. При изменении рН с 7.14 до 4.12 происходило увеличение максимума поглощения при 500 нм. При изменении рН с 7.14 до 12.35 происходило увеличение поглощения при 516 нм. В спректрах испускания при изменении рН с 7.14 до 1.82 происходило 193-кратное увеличения интенсивности при 516 нм. Было показано, что **L7** может избирательно окрашивать лизосомы и, следовательно, обнаруживать изменение рН в живых клетках.

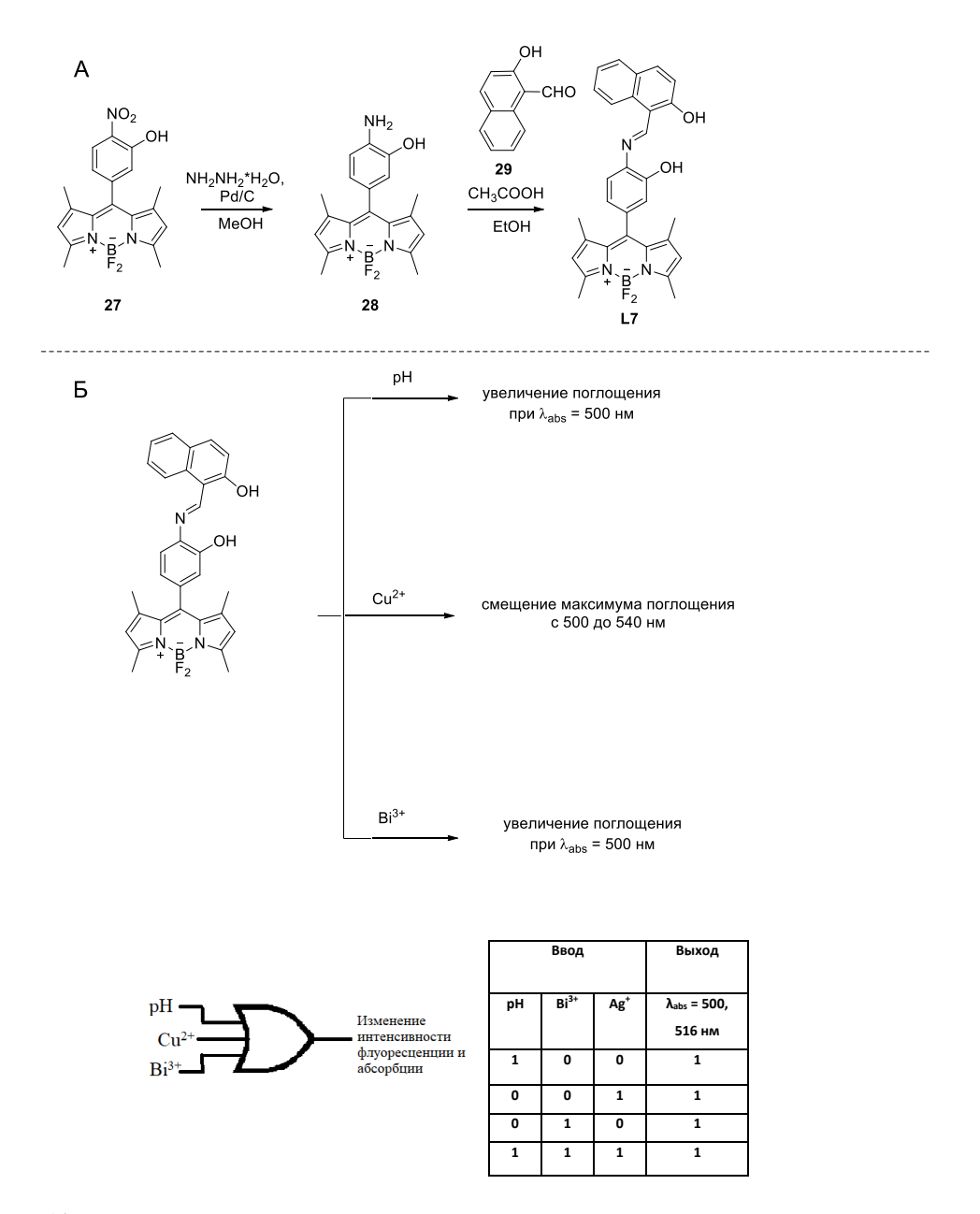


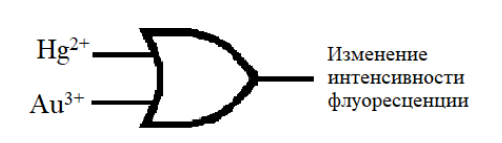
Рисунок 11. **A)** Схема синтеза соединения **L7**. **Б)** Принципиальная схема механизма работы сенсора **L7**. Тремя входными сигналами являются pH, Bi^{3+} и Cu^{2+} . Выходной сигнал - это изменение максимумов поглощения. Анализ таблицы истинности, ведет к молекулярному логическому элементу OR.

Кроме того, добавление катионов Cu^{2+} к раствору сенсора **L7** приводило к изменению максимума поглощения с 500 до 540 нм, чтоможно было наблюдать невооруженным глазом за счет смены цвета раствора. Добавление катионов Bi^{3+} к раствору сенсора **L7** вызывало исчезновение максимума поглощения при 516 нм и увеличение при 500 нм.

В работе [29] был описан новый МЛЭ типа OR на основе флуоресцентного сенсора $\mathbf{L8}$, который позволял определить присутствие в растворе катионов $\mathrm{Hg^{2+}}$ и $\mathrm{Au^{3+}}$. Он был получен за счет объединения в одной молекуле фрагментов флуорофоров родамина $\mathbf{33}$ и БОДИПИ $\mathbf{32}$. Синтез был реализован в 4 стадии, ключевыми из которых явились конденсация флуорофоров

NH₂-замещенного родамина **33** с формил-БОДИПИ **32** и последующие тиолирование соединения **34** реагентом Лавессона. УФ-спектр свободного сенсора **L8** в растворе CH₃CN / HEPES (1:1, pH 7.0) обладал одной полосой поглощения с максимумом при 527 нм, которая принадлежала ядру БОДИПИ. Поскольку ядро родамина находится в циклической изомерной форме, авторы не обнаружили полос поглощения, характерных для родамина. Добавление катионов Au⁺ (1 экв.) к раствору **L8** приводило к появлению новой полосы поглощения при 554 нм, которая соответствует раскрытому изомеру родамина (Рисунок 12).

флуоресцирующий



Ввод		Выход
Hg ²⁺	Au ³⁺	λem = 585
		λem = 506
0	0	0
0	1	1
1	0	1
1	1	1

Рисунок 12. **A)** Схема синтеза соединения **L8**. **Б)** Принципиальная схема механизма работы сенсора **L8**. Двумя входными сигналами являются Hg^{2+} и Au^{3+} . Выходной сигнал - это изменение интенсивности флуоресценции. Как видно из таблицы истинности, мониторинг добавления Hg^{2+} или Au^{3+} ведет к молекулярному логическому элементу OR.

Спектры флуоресценции **L8** показали аналогичное поведение в отношении добавления Hg^{2+} . При возбуждении волной света в 525 нм, сенсор был не флуоресцирующим, однако при добавлении катионов Hg^{2+} , появлялась новая полоса испускания с максимумом при 585 нм и интенсивность этой полосы постепенно увеличивалась с увеличением концентрации Hg^{2+} . Как и ожидалось, в присутствии катионов Hg^{2+} **L8** обладал оптическими свойства родамина. В процессе добавления Hg^{2+} не было замечено никаких других сопутствующих полос, которые могли бы принадлежать красителю БОДИПИ, это указывает на то, что краситель БОДИПИ был все еще в выключенной "Off" форме. После добавления Au^{3+} , не флуоресцентный раствор сенсора становился флуоресцентным. Зеленая флуоресценция была явным доказательством существовании испускающего производного БОДИПИ. С другой стороны, тот же раствор сенсора ($L8 / Au^{3+}$) при возбуждении при 525 нм обладал испусканием при 585 нм, которое происходило за счет открытого изомера родамина. Добавление Hg^{2+} к L8 запускало реакцию раскрытия спиро-кольца и приводило к образованию флуоресцентного производного родамина. При добавлении Hg^{2+} к L8, ядро БОДИПИ продолжало быть не флуоресцентным, потому что фрагмент C=N в молекуле все еще сохранялся.

В работе [30] предложен сенсор **L9**, который потенциально может применяться для калориметрического обнаружения катионов Al³⁺ и Cu²⁺. Он представляет собой молекулу БОДИПИ, имеющую "псевдо-краун эфирную" хелатирующую группу в *мезо*-положениии и *пара*-пиперединстирильный заместитель в 3-м положении, связанный через стириловый линкер. Синтетическая схема получения сенсора **L9** показана на рисунке 13. 3,4-Дигидроксибензальдегид **35** на первой стадии вводили в реакцию с этилбромацетатом **36**. Полученный альдегид **37** затем конденсировали с 2,4-диметилпирролом **21** с образованием БОДИПИ **38**. Конденсация по Кневенагелю БОДИПИ **38** с 4- пиперидинобензальдегидом **39** в толуоле в присутствии уксусной кислоты и пиперидина позволила получить соединение **L9**.

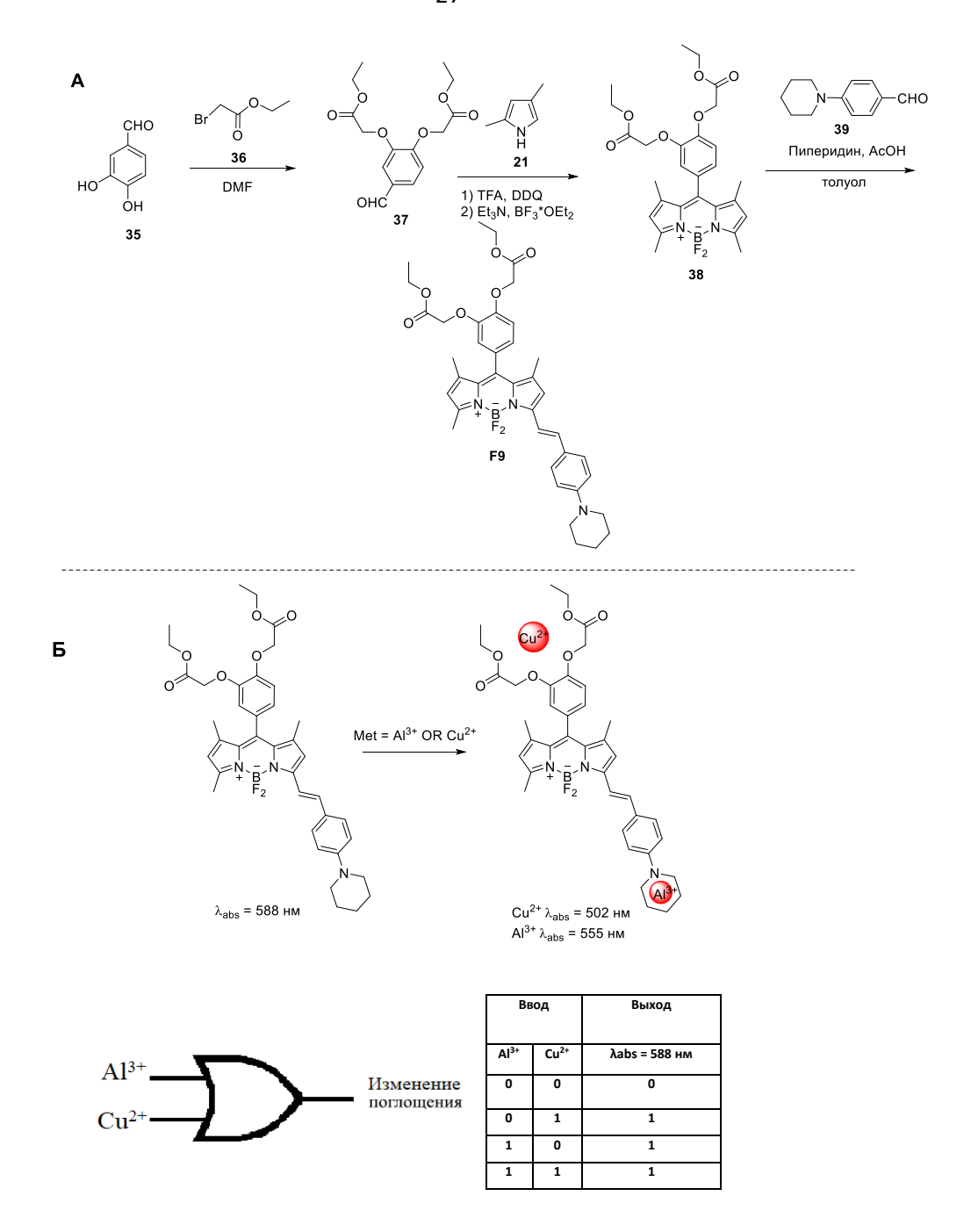


Рисунок 13. **А)** Схема синтеза соединения **L9**. **Б)** Принципиальная схема механизма работы сенсора **L9**. Двумя входными сигналами являются Al^{3+} и Cu^{2+} . Выходной сигнал - это изменение максимума поглощения. Как видно из таблицы истинности, мониторинг добавления Al^{3+} или Cu^{2+} ведет к молекулярному логическому элементу OR.

Авторы предположили, что Al^{3+} и Cu^{2+} способны взаимодействовать с атомом азота пиперидиновой группы, тем самым регулируя ІСТ-эффект данного заместителя. Так же предполагалось, что группа в *мезо*-положении БОДИПИ может модулировать РЕТ-гашение, которое регулируется связыванием Cu^{2+} с четырьмя атомами кислорода хелатирующей группы. Подтверждая данное предположение, в эксперименте было найдено, что раствор, содержащий

соединение **L9** обладает сильным поглощением с максимумом при 588 нм. Спектры поглощения оставались неизменными при добавлении многочисленных ионов щелочных, щелочноземельных и переходных металлов. При добавлении Cu^{2+} или Al^{3+} к раствору сенсора спектры поглощения, а также цвет растворов резко изменялись. По мере увеличения концентрации Al^{3+} максимум поглощения смещался в 555 нм. С другой стороны, добавление Cu^{2+} приводило к уменьшению максимума поглощения при 588 нм, при этом происходило увеличение максимума при 502 нм.

Авторы [31] разработали флуоресцентный сенсор **L10** на основе флуорофора БОДИПИ, чья селективность к Cd^{2+} , Hg^{2+} и Pb^{2+} может быть модулирована в зависимости от выбора водных буферных растворов. Синтез сенсора **L10** включал в себя 4 стадии, ключевой из которых являлась стадия конденсации альдегида **42**, функционализированного, хелаторной группой и флуорофора БОДИПИ **43.** Изменение спектральных свойств сенсора показало, что в буферном растворе МОРS наблюдалось усиление интенсивности флуоресценции сенсора **L10** в присутствии Cd^{2+} , Hg^{2+} или Pb^{2+} (Рисунок 14) λ_{em} =685. Молекулярно-логические элементы OR могут быть построены на основе буферов МОРS и HEPES. В первом случае входными сигналами являются Cd^{2+} , Hg^{2+} , Pb^{2+} , а во втором Cd^{2+} , Pb^{2+} . В то время как в буферном растворе HEPES наблюдалось усиление интенсивности флуоресценции раствора сенсора в присутствии катионов Cd^{2+} или Pb^{2+} . Так же **L10** показал возможность избирательно обнаруживать Cd^{2+} и Hg^{2+} в трис-HCl и в цитрат-фосфатном буферных растворах.

Б



Рисунок 14. А) Схема синтеза соединения **L10. Б)** Принципиальная схема механизма работы сенсора **L10**.

В исследовании [32] был синтезирован сенсор **L11** для определения Cu^{2+} и HSO_3^- . Сенсор был получен конденсацией 2,4,6-тригидроксибензол-1,3,5-трикарбальдегида **46** с амино-замещенным БОДИПИ **45**. После добавления Cu^{2+} к раствору сенсора, сенсор показал гашение флуоресценции "On-Off" при 520 нм с эффективностью выше 90% (Рисунок 15) $\lambda_{em} = 570$ нм.

•

Рисунок 15. **А)** Схема синтеза соединения **L11**. **Б)** Принципиальная схема механизма работы сенсора **L11**. Двумя входными сигналами являются Cu^{2+} и HSO_3^- . Выходной сигнал — это увеличение интенсивности флуоресценции. Как видно из таблицы истинности, мониторинг выходных сигналов приводит к молекулярному логическому элементу AND.

Затем образовавшийся комплекс с Cu^{2+} был использован для определения HSO_3^- . В присутствии HSO_3^- происходило восстановление 70% прежней интенсивности флуоресценции. Пределы обнаружения для Cu^{2+} и HSO_3^- были рассчитаны 0.36 мМ и 1.4 мМ соответственно.

В работе [41] был разработан и синтезирован сенсор **L12**, который способен колориметрически различать присутствие Hg^{2+} . А также получающийся при это комплекс **L12**- Hg^{2+} продемонстрировал высокую селективность в отношении I^- , благодаря способности образовывать трехкомпонентный комплекс. Синтез сенсора был реализован в 3 стадии, ключевой из которых является стадия нитроальдольной конденсации Анри между салициловым ангидридом и нитрогруппами фенильного фрагмента БОДИПИ **48**. Работа сенсора регулируется эффектами РЕТ и ICT (Рисунок 16).

А
$$\frac{NO_2}{NO_2}$$
 $\frac{1) CH_2CI_2}{2) Et_3N, BF_3^*Et_2O}$ $\frac{NH_2NH_2^*H_2O}{Pd/C}$ $\frac{NH_2NH_2NH_2^*H_2O}{Pd/C}$ $\frac{NH_2NH_2NH_2^*H_2O}{Pd/C}$ $\frac{NH_2NH_2NH_2NH_2^*H_2O}{Pd/C}$ $\frac{NH_2NH_2NH_2NH_2NH_2NH_2O}{Pd/C}$ $\frac{NH_2NH$

Ha ² +	Н
— Изменение поглощения	

Ввод		Выход
Hg ²⁺ .	ľ	Лаbs =498 нм
0	0	0
0	1	0
1	0	0
1	1	1

Рисунок 16. А) Схема синтеза соединения **L12. Б)** Принципиальная схема механизма работы сенсора **L12**. Двумя входными сигналами являются Hg^{2+} и Γ . Выходной сигнал - изменение максимума поглощения. Как видно из таблицы истинности, мониторинг выходных сигналов приводит к молекулярному логическому элементу AND.

На первом этапе при добавлении Hg^{2+} к раствору сенсора происходило образование комплекса L12- Hg^{2+} и в спектре поглощения наблюдался батохромный сдвиг максимума с 498 нм на 505 нм. На втором этапе после добавления I^- полоса поглощения при 505 нм, уменьшилась, тогда как максимуми поглощения при 518 и 566 нм соответственно увеличились.

В публикации [33] Аккая показал три МЛЭ на основе стирил-БОДИПИ (**L13**, **L14**, **L15**). Все они были получены по конденсации Кневенагеля из соответствующих функционализированных альдегидов **51**, **53**. Сенсор **L13** был получен конденсацией БОДИПИ **50** несущего дипикалиаминовую группу и тиокраун-альдегида **51**. Данный сенсор представляет собой флуорофор БОДИПИ, имеющий в мезоположении дипиколиламиновый фрагмент – РЕТ - модулятор, селективный к Zn²⁺, а к 3-позиции, через стириловый линкер к нему присоединен тиоазакраун - ICT – модулятор, селективный к Hg²⁺ (Рисунок 17).

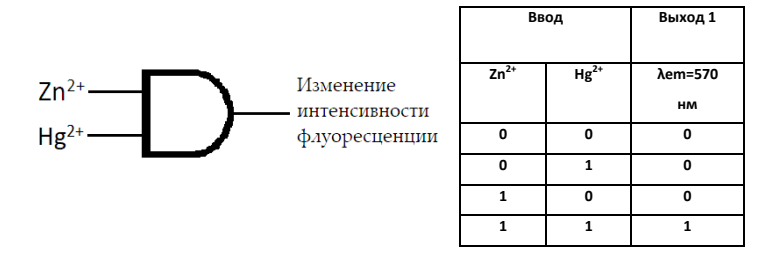
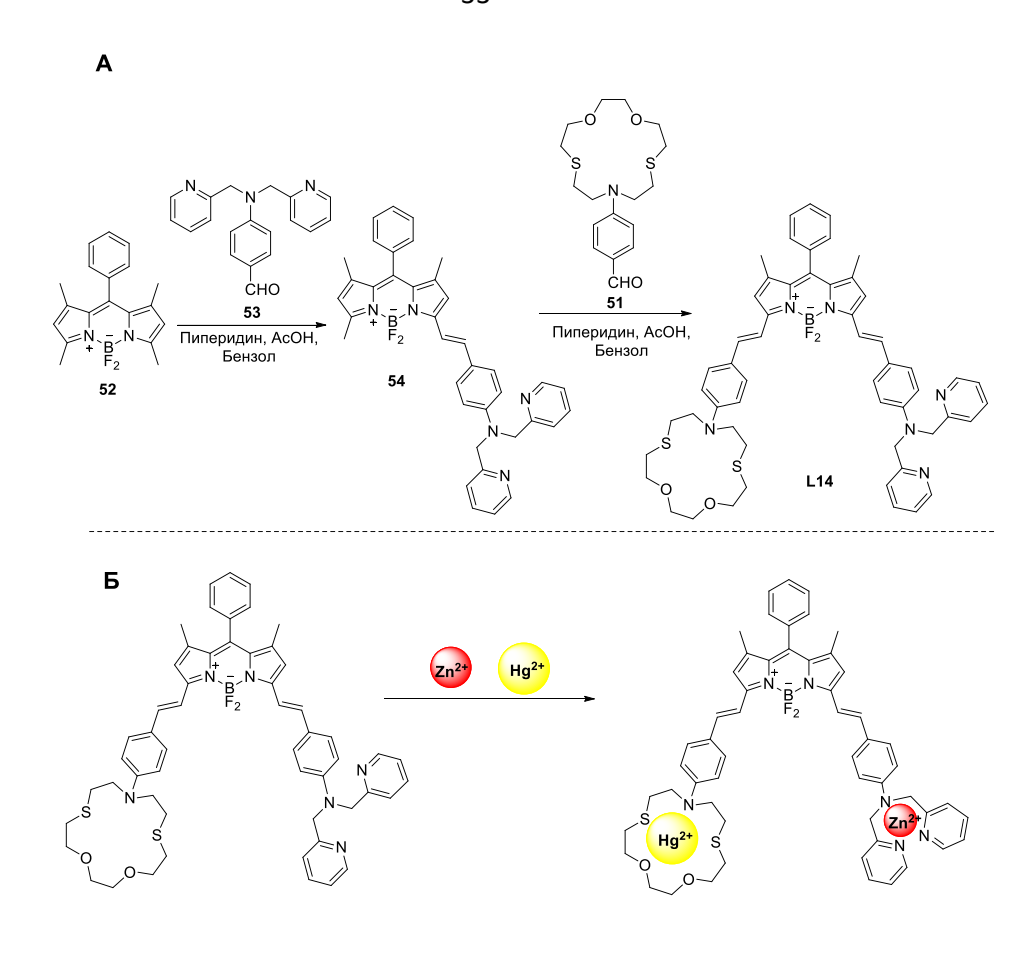


Рисунок 17 А) Схема синтеза соединения **L13**. **Б)** Принципиальная схема механизма работы сенсора **L13**. Двумя входными сигналами являются Zn^{2+} и Hg^{2+} . Выходной сигнал – это увеличение интенсивности флуоресценции при 570 нм. Как видно из таблицы истинности, мониторинг выходных сигналов приводит к молекулярному логическому элементу AND.

Спектр испускания флуоресценции сенсора имел широкий максимум при 679 нм. Интересно отметить, что добавление Zn^{2+} оказало минимальное влияние как на интенсивность испускания, так и на положение максимума испускания. С другой стороны, добавление Hg^{2+} приводило к смещению максимума флуоресценции на 109 нм, но интенсивность флуоресценции по-прежнему оставалась низкой. При добавлении и Zn^{2+} и Hg^{2+} происходило смещение максимума на 109 нм и увеличение интенсивности флюоресценции при 570 нм. Полученный результат согласовался с теоретической моделью МЛЭ типа AND на основе БОДИПИ с активными РЕТ и ICT группами.

Следующее соедниенение, описанное в статье, представляет собой дистирильное соединение **L14**, функцианализированное двумя разными лигандами, являющимися модуляторами ІСТ. Спектральные изменения являются прямым следствием относительного сродства этих лигандов к Hg^{2+} и Zn^{2+} . Раствор БОДИПИ **L14** в CH_3CN имеет максимум поглощения при 698 нм. При добавлении Zn^{2+} , наблюдался небольшой сдвиг максимума поглощения в синюю область спектра до 675 нм. Похожий сдвиг происходил, при добавлении только Hg^{2+} (Рисунок 18).



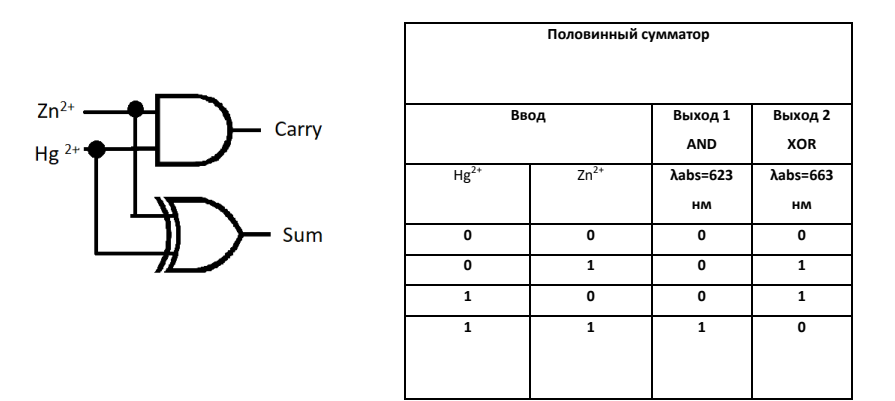


Рисунок 18. А) Схема синтеза соединения **L14. Б)** Принципиальная схема механизма работы сенсора **L14.** Двумя входными сигналами являются Hg^{2+} и Zn^{2+} . Выходные сигналы - это выход 1 (регистрация поглощения при 623 нм) и выход 2 (регистрация поглощения при 663 нм). Как видно из таблицы истинности, мониторинг выходных сигналов приводит к молекулярному логическому элементу **Половинный сумматор.**

При добавлении Hg^{2+} и Zn^{2+} , максимум поглощения смещался в сторону более коротких волн. Образовавщийся металлический комплекс имел максимум поглощения при 630 нм.

Анализ данных о поглощении раствора сенсора при длине волны в 623 нм позволил говорить о том, что этот сенсор является МЛЭ типа AND, а данные собранные вблизи максимума с большей длиной волны в 663 нм позволяют отнести данный МЛЭ к типу XOR. Когда эти два МЛЭ работают параллельно, получается полусумматор в режиме поглощения. Соответствующая таблица истинности для двух логических элементов показана на рисунке 18.

В структуре сенсора **L15** содержится три хелатирующие группы, а именно, азокраун эфир в мезо-положении ядра БОДИПИ (селективный к Ca^{2+}), дипикалиламиновая (селективная к Zn^{2+}) и тиокраун эфир (селективный к Hg^{2+}), связанные с ядром БОДИПИ через стириловый фрагмент. При добавлении Ca^{2+} в концентрации 1.0 мМ происходит незначительное смещение максимумов поглощения на 25 нм в синюю облатсь спектра. Добавление Hg^{2+} дает гипсохромный сдвиг максимума поглощения на 70 нм. Добавление Zn^{2+} дает гипсохромный сдвиг максимума поглощения на 25 нм. Тем не менее, изменение поглощения, при добавлении смеси трех катионов, оказалось слишком сложным, чтобы его можно было использовать в разработке логических элементов. Однако при изучении флуоресцентных свойств сенсора было показано, что при добавлении смеси трех катионов Hg^{2+} , Zn^{2+} и Ca^{2+} испускание флуоресценции значительно усилилось. Таким образом, присутствие в растворе всех трех катионов одновременно необходимо для увеличения интенсивности испускания флуоресценции при 656 нм, что попадает под условие, соответствующее логическому элементу AND. Три катиона отдельно или в других бинарных комбинациях, не вызывают усиление интенсивности флуоресценции.

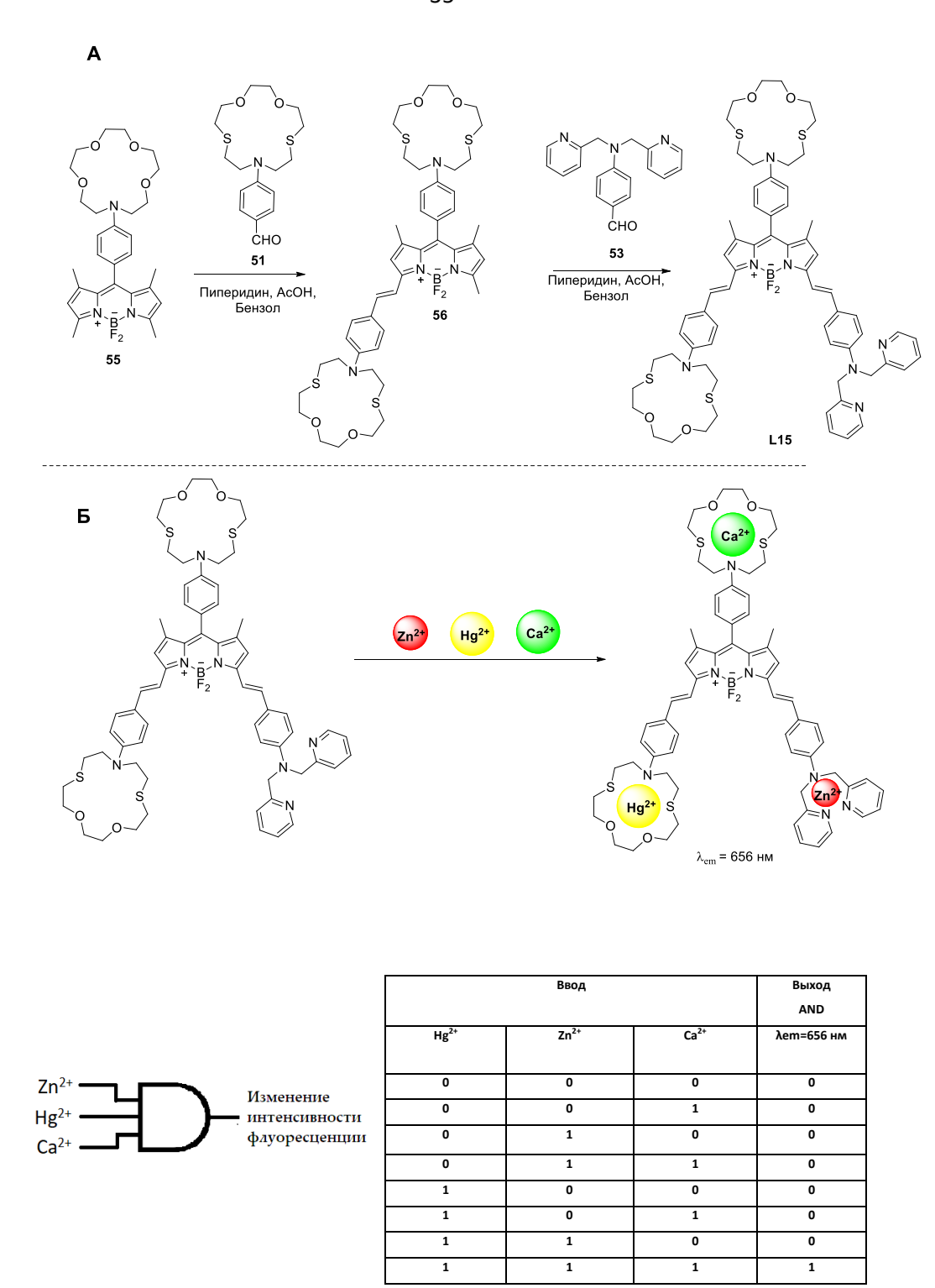
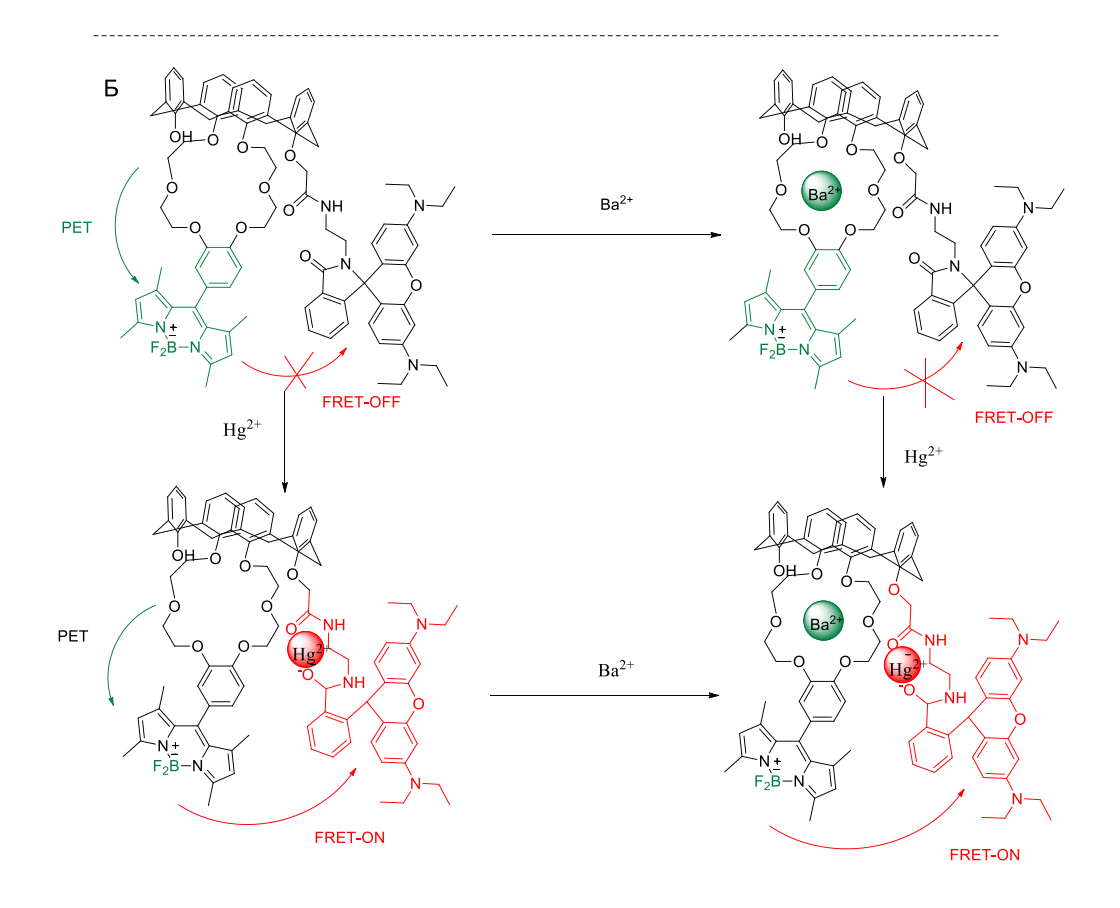


Рисунок 18. A) Схема синтеза соединения **L15**. **Б)** Принципиальная схема механизма работы сенсора **L15**. Тремя входными сигналами являются Hg^{2+} , Zn^{2+} и Ca^{2+} . Выходной сигнал — это увеличение интенсивности флуоресценции при 656 нм. Как видно из таблицы истинности, мониторинг выходных сигналов приводит к молекулярному логическому элементу AND.

В работе [34] был представлен флуоресцентный сенсор содержащий фрагменты БОДИПИ и родамина для селективного обнаружения Hg^{2+} и Ba^{2+} .

Синтез сенсора **L16** осуществлялся в 4 стадии, ключевой из которых являлась конденсация N- (родамин-В)лактам-этил-2-хлорацетамида **64** с соединением **63** в присутствии Cs_2CO_3 в качестве основания и каталитических количеств KI (Рисунок 19). Для спектральных исследований был выбран раствор **L16** в ацетонитриле.



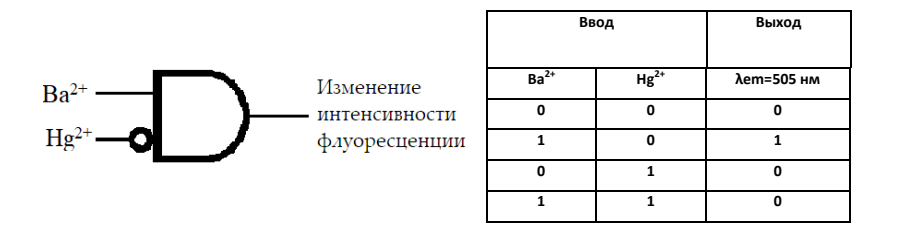
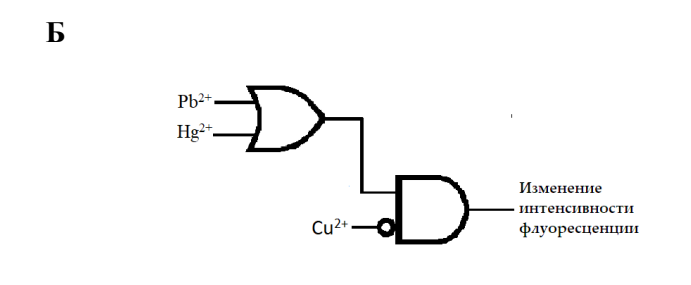


Рисунок 19 A) Схема синтеза соединения **L16**. **Б)** Принципиальная схема механизма работы сенсора **L16**. Двумя входными сигналами являются Ba^{+2} и Hg^{2+} . Выходной сигнал - это увеличение интенсивности флуоресценции при 505 нм. Как видно из таблицы истинности, мониторинг выходных сигналов приводит к молекулярному логическому элементу INHIBIT.

Спектры испускания были получены при возбуждении светом при длине волны 490 нм. После добавления Hg^{2+} , интенсивность максимума испускания при 505 нм постепенно уменьшалась и наблюдалось формировании нового максимума при 585 нм, а также появлялась изобестическая точка при 541 нм. Связывание Hg^{2+} вызывало формирование новой полосы испускания, что доказывает эффективный процесс FRET-переноса от донорной (БОДИПИ) группы к акцепторной (Родамин) группе. Интересно, что соединение **L16** демонстрировало 15-кратное усиление интенсивности флуоресценции при максимуме 505 нм в присутствии 20 экв. Ba^{2+} . Повышение интенсивности флуоресценции могло быть связано с комплексообразованием

Ва²⁺ с рецепторной группой, что приводило к снижению электронодонорной способности кислорода к БОДИПИ. Таким образом, процесс РЕТ частично подавлялся и вызывал увеличение интенсивности испускания. Результаты показали, что соединение **L16** проявляет высокую селективность по отношению к Ва²⁺ по сравнению с другими металлами. Следовательно, соединение **L16** также может служить в качестве Ва²⁺-селективного флуоресцентного сенсора, давая 15-кратный флуоресцентный отклик в СН₃СN. При добавлении Ва²⁺ и Hg²⁺ происходила блокировка РЕТ-процесса и включение FRET-процесса. Зеленая флуоресценция все еще эффективно гасилась, а красная флуоресценция становилась сильнее, флуоресцентное поведение сенсора было проанализировано с помощью комбинационной логики.

В работе [35] был показан флуоресцентный хемосенсор **L17** на основе БОДИПИ, имеющий в структуре рецепторный дипиридинаминовый фрагмент. Сенсор был получен реакцией замещения атома хлора в БОДИПИ **65** дипикалиамином **66**. Его спектральные свойства управляются механизмом ІСТ. Сенсор обладал очень слабым испусканием флуоресценции при 630 нм при возбуждении светом длиной волны в 510 нм (Рисунок 20).



Ввод		Выход	
Pb ²⁺	Hg ²⁺	Cu ²⁺	λет=587 нм λет=545 нм
0	0	0	0
1	0	0	1
0	1	0	1
0	0	1	0
1	1	0	1
1	0	1	0
0	1	1	0
1	1	1	0

Рисунок 20. А) Схема синтеза соединения **L17. Б)** Принципиальная схема механизма работы сенсора **L17**.

После добавления Hg^{2+} , Pb^{2+} и Cu^{2+} к раствору сенсора, интенсивность флуоресценции увеличивалась с появлением новых максимумов испускания при 587 нм для Hg^{2+} и Pb^{2+} и при 545 нм для ионов Cu^{2+} . На основе комбинационной логики была построена схема с использованием трех различных ионов металлов (Hg^{2+} , Pb^{2+} и Cu^{2+}) в качестве входных данных и интенсивности флуоресценции при 587 нм в качестве выходного сигнала. За единицу был принят ВЫХОД в виде интенсивности флуоресценции выше, чем 150 о.е. Изучение данной схемы позволило сделать вывод, что сенсор является МЛЭ комбинированного типа, сочетающим в себе логические элементы OR и INHIBIT. Индуцированный Hg^{2+} и Pb^{2+} хромогенный процесс может быть изменен путем добавления ЭДТА, но индуцированный Cu^{2+} процесс необратим.

В работе [36] был синтезирован флуоресцентный сенсор типа "On-Off", содержащий фрагмент ацетилацетона с высокой селективностью по отношению к катионам Cu^{2+} (Рисунок 21).

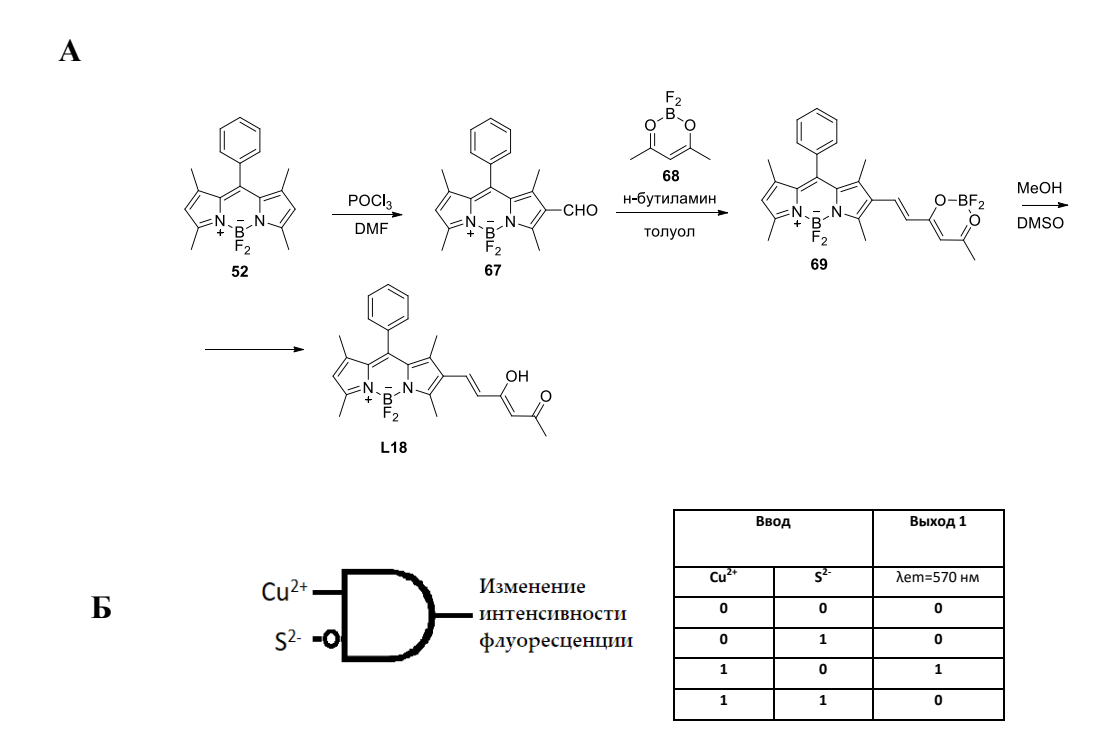


Рисунок 21. **А)** Схема синтеза соединения **L18**. **Б)** Принципиальная схема механизма работы сенсора **L18**. Двумя входными сигналами являются Cu^{2+} и S^{2-} . Выходной сигнал - это изменение интенсивности флуоресценции при 570 нм. Как видно из таблицы истинности, мониторинг выходных сигналов приводит к молекулярному логическому элементу INHIBIT.

Синтез **L18** был получен в 3 стадии, ключевой из которых являлась конденсация Кневенагеля между фармильным производным БОДИПИ **67** и ацетилацетондифторбаридным комплексом **68**. После комплексообразования с катионами Cu^{2+} , полученный комплекс показал высокую специфичность к S^{2-} с восстановлением интенсивности флуоресценции на основе механизма вытеснения Cu^{2+} . При добавлении 1 экв. Cu^{2+} происходило максимальное гашение флуоресценции (88%) с максимумом в 570 нм при длине волны возбуждения в 525 нм. При последующем добавлении 20 экв. S^{2-} к комплексу происходила регенерация флуоресценции, что свидетельствовало о высвобождении свободного флуорофора.

Сенсор БОДИПИ **L19** [37] содержит полиамидный рецептор, который избирательно связывается с Cd²⁺. Комплекс сенсора **L19** с Cd²⁺, проявляет селективность по отношению к пирофосфату (PPi). Сенсор был получен в результате конденсации альдегида **72**, функционализированного рецепторной группой, и БОДИПИ **73**. Свободный сенсор имел максимум поглощения при 665 нм и обладал слабой флуоресценцией при возбуждении волной в 620 нм. Гашение флуоресценции происходило по РЕТ-механизму двумя диаминобензольными фрагментами (Рисунок 22).

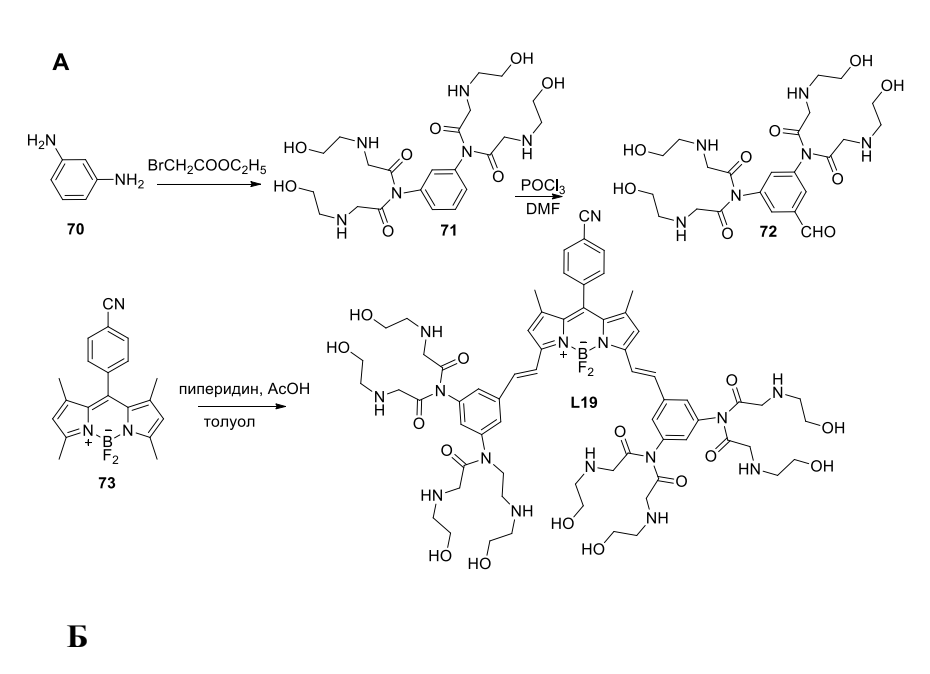
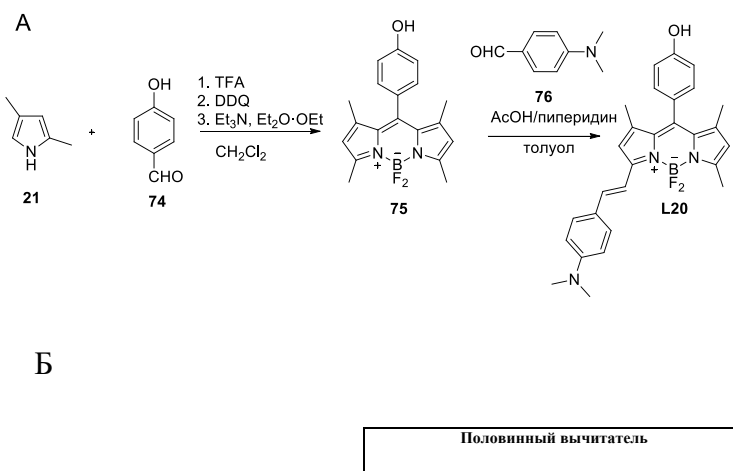


Рисунок 22. **А**) Схема синтеза соединения **L19**. **Б**) Принципиальная схема механизма работы сенсора **L19**. Входными сигналами являются Cd^{2+} и PPi. Выходной сигнал - увеличение интенсивности флуоресценции при 638 нм. Как видно из таблицы истинности, мониторинг выходных сигналов приводит к молекулярному логическому элементу INHIBIT.

После добавления Cd^{2+} к раствору сенсора в буфере трис-HCl (20 мМ) + 10% ДМСО, гашение флуоресценции снималось, и интенсивность испускания при 638 нм значительно увеличивалась. При добавлении PPi к раствору образовавшегося комплекса происходило смещение максимума поглощения в красную область, а интенсивность флуоресценции при 637 нм уменьшалась.

В работе Аккая [38] был описан сенсор **L20** на основе БОДИПИ, функционирующий как МЛЭ типа **полувычитатель**. Сенсор был получен в 2 стадии по стандартной для БОДИПИ методологии. Он представляет собой молекулу, содержащую 8-(4-гидроксифенил)-БОДИПИ и диметилбензенамин, связанные через стирильный фрагмент. Было показано, что 8-(4-гидроксифенил)-БОДИПИ в депротонированной форме является не флуоресцирующим веществом, потому что реализуется гашение флуоресценции по РЕТ-механизму, а диметилбензенамин, связанный с БОДИПИ через стирильный фрагмент, является ІСТ-модулятором. Изучение спектральных свойств соединения производилось в ТГФ (Рисунок 23).



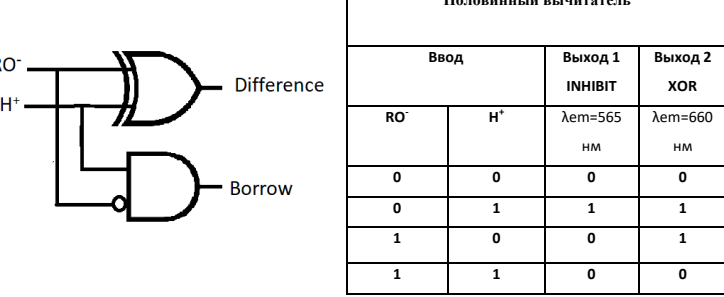


Рисунок 23. **А**) Схема синтеза соединения **L20**. **Б**) Принципиальная схема механизма работы сенсора **L20**. Двумя входными сигналами являются RO⁻ и H⁺. Выходные сигналы - это выход 1 (регистрация флуоресценции при 565 нм) и выход 2 (регистрация флуоресценции при 660 нм). Как видно из таблицы истинности, мониторинг выходных сигналов приводит к молекулярному логическому элементу **Полувычитатель**.

При добавлении раствора кислоты к раствору сенсора происходил значительный гипохромный сдвиг на 40 нм в спектре поглощения и гипохромный сдвиг на 100 нм в спектре

флуоресценции. Добавление сильного основания (третбутоксида калия) депротонировало фенольную гидроксильную группу, что привело к гашению интенсивности флуоресценции без какого-либо сдвига в спектрах поглощения или испускания. Изменение флуоресценции исследовалось при длинах волн максимумов испускания в 565 и 660 нм. Изменение испускания флуоресценции при 565 нм коррелирует с МЛЭ типа INHIBIT, а изменение флуоресценции при 660 нм коррелирует с МЛЭ типа XOR. Соединение этих двух МЛЭ иструментами булевой логики дает МЛЭ типа полувычитатель.

II.2. Молекулярные логические элементы на основе БОДИПИ для детектирования анионов

Определение анионов в растворах играет важную роль как в биологических, так и промышленных процессах, также необходимо создание новых методов обнаружения анионных загрязнителей в окружающей среде. Однако, область исследования анион-селективных хемосенсоров менее развита, чем катион-селективных хемосенсоров. Это объясняется сильной гидратацией анионов в растворах, затрудняющей их определение.

В работе [39] был описан флуоресцентный сенсор **L21** на основе кумарин-БОДИПИ для детектирования CN⁻ и F⁻. Синтез сенсора **L21** показан на рисунке 24. Каркас БОДИПИ был получен из пиррола и *п*-цианобензальдегида по стандартной для БОДИПИ методике (Рисунок 24). После формилирования по Вейсмееру-Хааку и постановки тиоацетальной защиты с использованием 1,3-дитиопропана в присутствии BF₃OEt₂ был получен сенсор **L21**. Фотофизические исследования были проведены в смеси ацетонитрила и трис-HCl (95:1, pH 7.5). Изменение флуоресценции основано на ICT-механизме. Сенсор обладает двумя максимумами поглощения при 349 и 585 нм и максимумом испускания флуоресценции при 604 нм (λ_{ex} =387 нм). Добавление F⁻ к раствору сенсора приводило к сдвигу максимумов поглощения в красную область с 349 до 412 нм и с 585 до 593 нм, а также к снижению интенсивности флуоресценции при 604 нм. Механизм гашения основан на том, что добавление F⁻ вызывает гидролиз трет-бутилдифенилсилила и приводит к образованию фенолята. Добавление CN⁻ приводило к исчезновению максимумов поглощения при 349 нм и 585 нм и возникновению новых максимумов при 421 нм и 593 нм, а также к появлению максимума испускания при 492 нм.

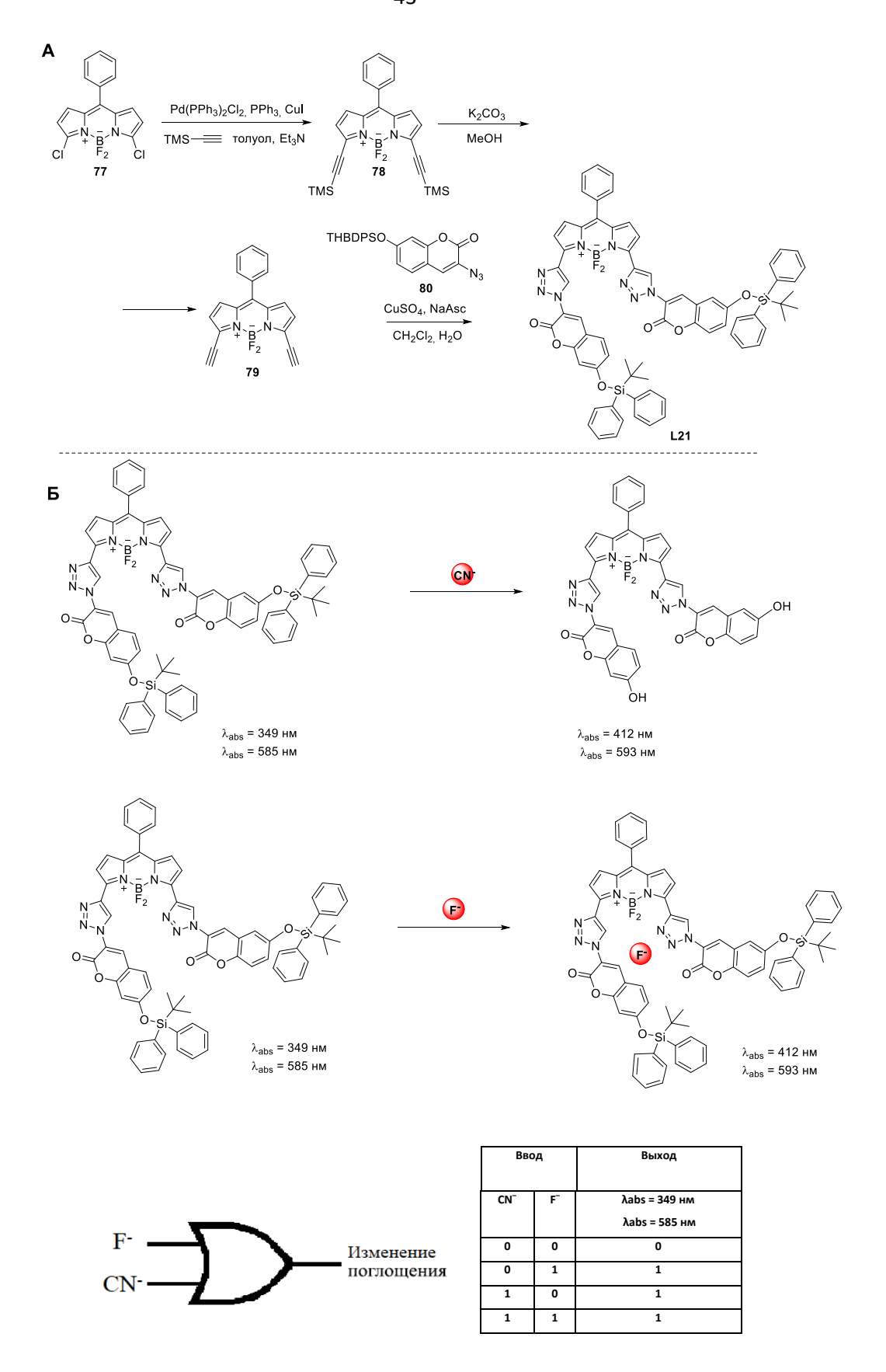


Рисунок 24. **A)** Схема синтеза соединения **L21**. **Б)** Принципиальная схема механизма работы сенсора **L21**. Двумя входными сигналами являются CN^- и F^- . Выходной сигнал — это изменение

максимумов поглощения и интенсивности флуоресценции. Как видно из таблицы истинности, мониторинг добавления CN^- или F^- . ведет к молекулярному логическому элементу OR.

В работе [40] был описан сенсор **L22** на основе стирил-БОДИПИ, содержащий 2,4-динитробензосульфонильную группу и тригексилсилилацетиленовые остатки для определения HS^- и F^- соответственно. Синтез сенсора был проведен в 3 стадии. Ключевыми из которых являлись - включение стирилового мостика в 3-ю позицию БОДИПИ **84**, посредством конденсации Кневенагеля и затем замещение атома водорода ОН-группы полученного соединения **85** DNBS-C1 (Рисунок 25). После добавления NaHS к раствору, содержащему сенсор, динитробензосульфонильная группа селективно отщепилась, что привело к увеличению интенсивности флуоресценции λ_{em} =613. В присутствии F^- динитробензосульфонильная группа и тригексилсилилацетиленовые остатки гидролизовались, что сопровождалось увеличением интенсивности флуоресценции λ_{em} =553 и гипсохромным смещением максимума испускания на 60 нм. Флуоресценция сенсора была стабильна и не зависела от рН в физиологическом диапазоне. Сенсор был успешно использован для визуализации наличия сероводорода в живых клетках.

Б

$$(C_{e}H_{13})_{3}Si \longrightarrow N_{e} = 633 \text{ HM}$$

$$\lambda_{em} = 633 \text{ HM}$$

$$(C_{e}H_{13})_{3}Si \longrightarrow N_{e} = 553 \text{ HM}$$

$$(C_{e}H_{13})_{3}Si \longrightarrow N_{e} = 613 \text{ HM}$$

$$\lambda_{em} = 613 \text{ HM}$$

F	Изменение интенсивности
HS-	флуоресценции

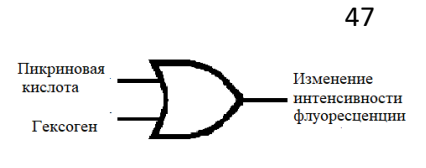
Ввод		Выход	
HS ⁻	F ⁻	λет = 553 нм	
		λет = 613 нм	
0	0	0	
0	1	1	
1	0	1	
1	1	1	

Рисунок 25. **А**) Схема синтеза соединения **L22**. **Б**) Принципиальная схема механизма работы сенсора **L22**. Двумя входными сигналами являются HS^- и F^- . Выходной сигнал - это изменение интенсивности флуоресценции. Как видно из таблицы истинности, мониторинг добавления HS^- или F^- ведет к молекулярному логическому элементу OR.

II.3. Молекулярные логические элементы на основе БОДИПИ для обнаружения боевых отравляющих и взрывчатых веществ

Химические взрывчатые вещества, такие как 1,3,5-тринитропергидро-1,3,5-триазин (RDX), пикриновая кислота (PA) и 2,4,6-тринитротолуол (TNT), а также боевые отравляющие вещества представляют угрозу для здоровья и безопасности населения. Поэтому флуоресцентные хемосенсоры для быстрого и селективного обнаружения химических взрывчатых и боевых отравляющих веществ в следовых количествах имеют большое значение.

В работе [41] был исследован флуоресцентный сенсор **L23**, используемый для выявления гексогена и пикриновый кислоты на основе гидразинзамещеного-БОДИПИ. Сенсор был получен в одну стадию путем замещения атомов хлора БОДИПИ **87** гидразин-гидратом. Гидразиновая группа по РЕТ-маханизму гасит флуоресценцию сенсора в свободном состоянии (Рисунок 26).



Ввод		Выход	
ПК	гексоген	λет = 540 нм	
0	0	0	
0	1	1	
1	0	1	
1	1	1	

Рисунок 26. А) Схема синтеза соединения **L23. Б)** Принципиальная схема механизма работы сенсора **L23**. Таким образом, был разработан МЛЭ ОR для распознавания гексогена и пикринровой кисолоты на основе флуорометрических данных. Гексоген и пикриновая кислота считаются входными сигналами, тогда как интенсивность флуоресценции сенсора представляет выходной сигнал.

Механизм детектирования заключается в том, что формальдегид, который является основным продуктом разложения гексогена, взаимодействует с концевой NH_2 – группой и приводит к образованию гидразона. В результате гашение по РЕТ-механизму снимается, и интенсивность флуоресценции сенсора **L23** существенно увеличивается.

В работе [42] авторы разработали сенсор L24 на основе БОДИПИ, который способен различать присутствие различных нервно-паралитических отравляющих веществ, таких как табун, зарин и зоман. Сенсор L24 был получен по стандартной для БОДИПИ методике посредством конденсации Кневенагеля. Исследование проводилось на аналоге табуна – DCNP и аналоге зарина и зомана – DFP. Было обнаружено что, сенсор **L24** в присутствии DCNP или DFP подвергался фосфорилированию феноксигруппы, с последующим выделением фтора (для DFP) или цианид-аниона (для DCNP). В присутствии DCNP происходит нуклефоильное присоединение его цианидной группы к карбонильной грппе сенсора, что приводило к образованию продукта, имеющего гипсохромный сдвиг полосы поглощения, сопровождающийся изменением цвета от розового до оранжевого. На спектре УФ-поглощения наблюдалось исчезновение максимума поглощения при 591 нм и появление максимумов поглощения при 515 и 560 нм. В присутствии DFP, фторид-анион гидролизуе триизопропилсилильную группу сенсора, и при этом образуется окрашенный феноксидный анион с полосой поглощения в ИК-области с максимумом поглощения в 715 нм (Рисунок 27).

Рисунок 27. **А)** Схема синтеза соединения **L24 Б**) Принципиальная схема механизма работы сенсора **L24**. Двумя входными сигналами являются DCNP и DFP. Выходной сигнал — это изменение максимумов поглощения. Как видно из таблицы истинности, мониторинг добавления DCNP или DFP ведет к молекулярному логическому элементу OR.

II.4. Молекулярные логические элементы на основе БОДИПИ для обнаружения тиолов, оксидов азота и активных форм кислорода

Внутриклеточные тиолы, такие как цистеин (Cys), гомоцистеин (Hcy) и глутатион (GSH) играют ключевую роль в биологических системах. Ряд заболеваний, таких как поражение печени, псориаз, рак и СПИД, сопровождаются изменением концентрации этих соединений. В связи с чем, сейчас важно иметь возможность для обнаружения данных тиолосодержащих биомолекул в биологических образцах.

В работе [43] были описаны два " Off- On" флуоресцентных сенсора **L25** и **L26** на основе БОДИПИ, содержащие связанные через атомы O-, S- арильные заместители в 8 положении ядра БОДИПИ. Они были получены замещением хлора у мезо-хлор- БОДИПИ **91** 2,4-динитрофенолом **92** или 4-метокситиофенолом. Данные сенсоры позволяют осуществлять одновременное обнаружение цистеина Cys и гомоцистеина/глутатиона Hcy/GSH. В буфере CH₃CN/PBS (3:7, 10 мМ, рН 7.4) при 25 °C **L26** имел максимум поглощения при 528 нм, а **L25** максимум поглощение при 493 нм. При добавлении 10 экв. Нсу или GSH к раствору сенсора **L26** по отдельности, максимумы поглощения слегка смещались гипохромно с небольшим приростом интенсивности в течение 30 мин. Однако, при добавлении 10 экв. Суз к раствору **L25** происходило резкое уменьшение максимума при 52 нм и образование новой полосы поглощения при 440 нм в течение 30 мин (Рисунок 28).

A
$$C_{2}N \rightarrow C_{2}N$$
 $C_{2}N \rightarrow C_{2}N$ $C_{2}N \rightarrow C_{2}N$ $C_{2}N \rightarrow C_{2}N$ $C_{2}N \rightarrow C_{2}N$ $C_{2}N \rightarrow C_{2}N \rightarrow C_{2}N$ $C_{2}N \rightarrow C_{2}N \rightarrow C_{2}N$ $C_{2}N \rightarrow C_{2}N \rightarrow C_{2}N \rightarrow C_{2}N \rightarrow C_{2}N$ $C_{2}N \rightarrow C_{2}N \rightarrow$

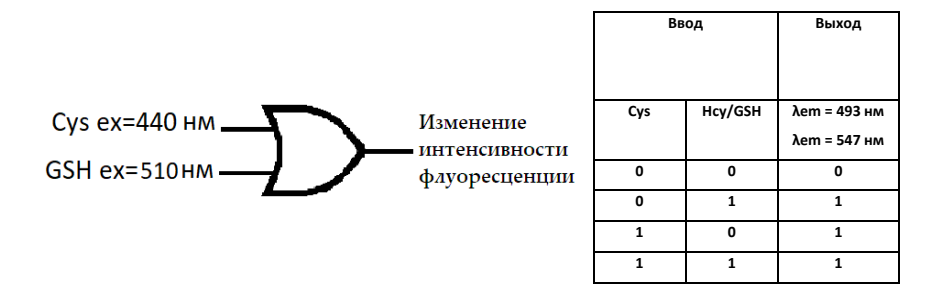


Рисунок 28. A) Схема синтеза соединений **L25** и **L26. Б)** Принципиальная схема механизма работы сенсора **L25** и **L26.** Двумя входными сигналами являются Cys и Hcy/GSH. Выходной сигналы - изменение интенсивности флуоресценции. Как видно из таблицы истинности, мониторинг добавления Cys или Hcy/GSH. ведет к молекулярному логическому элементу OR.

Исследование спектральных свойств сенсора **L26** показало, что в свободном состоянии сенсор практически не флуоресцирует. После обработки сенсора растворами Нсу, GSH и Суѕ в течение 30 минут происходило 20-кратное усиление интенсивности флуоресценции для Нсу при 543 нм и 80-кратное для GSH при 547 нм и без явного флуоресцентного ответа для Суѕ при 540 нм (волна возбуждении света 510 нм). При условии, когда длина волны возбуждения составляла 440 нм, только в случае Суѕ происходило 300-кратное усиление флуоресценции при 493 нм, в отличии от Нсу или GSH, для которых наблюдалась только небольшая полоса испускания флуоресценции при 550 нм.

Такая же картина изменения флуоресцентных свойств и поглощения наблюдалась для L25. При добавлении Cys к раствору сенсора происходило увеличение интенсивности флуоресценции в 280 раз. Принцип работы сенсора основан на арильном нуклеофильном замещении в ядре БОДИПИ прд действием Cys, Hcy или GSH. При этом образовавшиеся амино- и тиол-БОДИПИ обладают различными фотофизическими свойствами.

Похожий МЛЭ типа OR **L27** на основе БОДИПИ для одновременного и избирательного обнаружения Cys и Hcy/GSH был показан в работе [44]. Ключевой стадией в синтезе сенсора была реакция БОДИПИ **94** с 4-нитробензоил хлоридом **95**, которая привела к получению сенсора. Сенсор **L27** имел максимум поглощения при 493 нм, и при возбуждении волнами длиной в 420 нм или 500 нм не флуоресцировал (Рисунок 29).

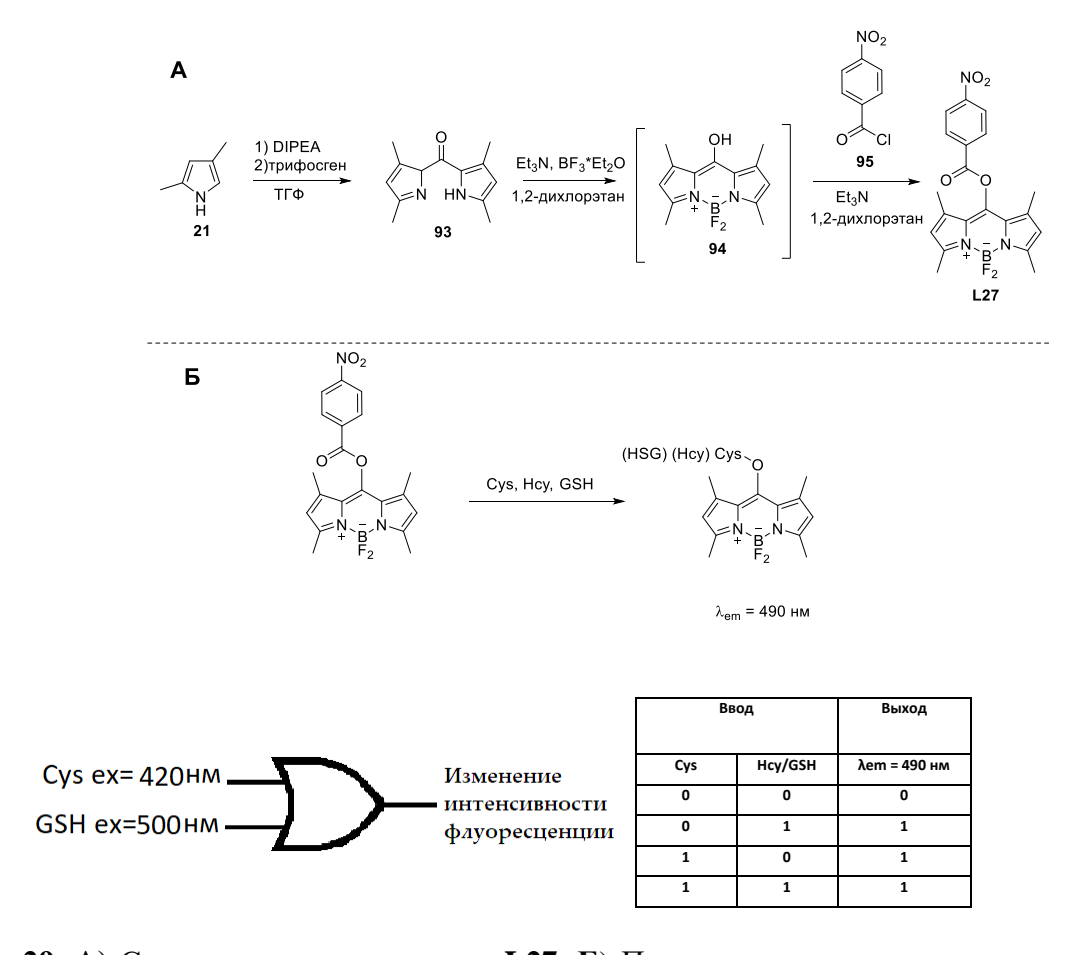


Рисунок 29. **А)** Схема синтеза соединения **L27**. **Б)** Принципиальная схема механизма работы сенсора **L27**. Двумя входными сигналами являются Суѕ и Hcy/GSH. Выходной сигнал – изменение интенсивности флуоресценции. Как видно из таблицы истинности, мониторинг добавления Суѕ или Hcy/GSH. ведет к молекулярному логическому элементу OR.

После обработки сенсора **L27** раствором Cys (20 экв.) максимум поглощения сместился с 493 нм на 439 нм. При возбуждении светом с длиной волны в 420 нм происходило значительное усиление интенсивности флуоресценции в 350 раз при 490 нм. После добавления GSH (20 экв.) к раствору сенсора **L27**, максимум поглощения при 493 нм уменьшился с одновременным увеличением максимума поглощения при 524 нм. При длине волны возбуждения в 500 нм и добавления 20 экв. Нсу/GSH к раствору сенсора **L27**, наблюдалось увеличение интенсивности флуоресценции в 30 раз для Нсу и в 90 раз для GSH при 544 нм. И напротив, добавление Cys не вызывало каких-либо существенных изменений интенсивности флуоресценции. Таким образом, сенсор был применен для различения Cys от GSH или Нсу.

В работе [45] был показан "Off-On" флуоресцентный сенсор, основанный на RET-механизме для селективного обнаружение Суѕ и Нсу. Донором для RET являлся фрагмент БОДИПИ, а акцептором энергии - фрагмент 4-гидроксилстирил-БОДИПИ. Синтез сенсора был осуществлен в 9 стадий, ключевой из которых была установка С–С-связи между донором и акцептором с помощью реакции Сузуки. В целях улучшения растворимости сенсора в воде, в

его структуру был введен фрагмент полиэтиленгликоля. Также произошло гашение флуоресценции ядра флуорофора через стириловый фрагмент в связи с тем, что 2,4-динитробензосульфонильный фрагмент, селективный к S-нуклеофилам, является мощным акцептором электронов. Его отщепление привело к восстановлению испускательной способности сенсора. Хотя сам сенсор L28 не флуоресцентный, в присутствии цистеина или гомоцистеина появилась флуоресценция в красной области при 590 нм (возбуждение светом длиной волны в 505 нм), и появился псевдостоксовый сдвиг до 77 нм. Возбуждение донорного флуорофора при 505 нм привело к передаче энергии от донора к акцептору и испусканию флуоресценции в красной области от акцептора при 590 нм (передача энергии по RETмеханизму). Сенсор использовали для флуоресцентной визуализации клеточных тиолов *in vivo* (Рисунок 30).

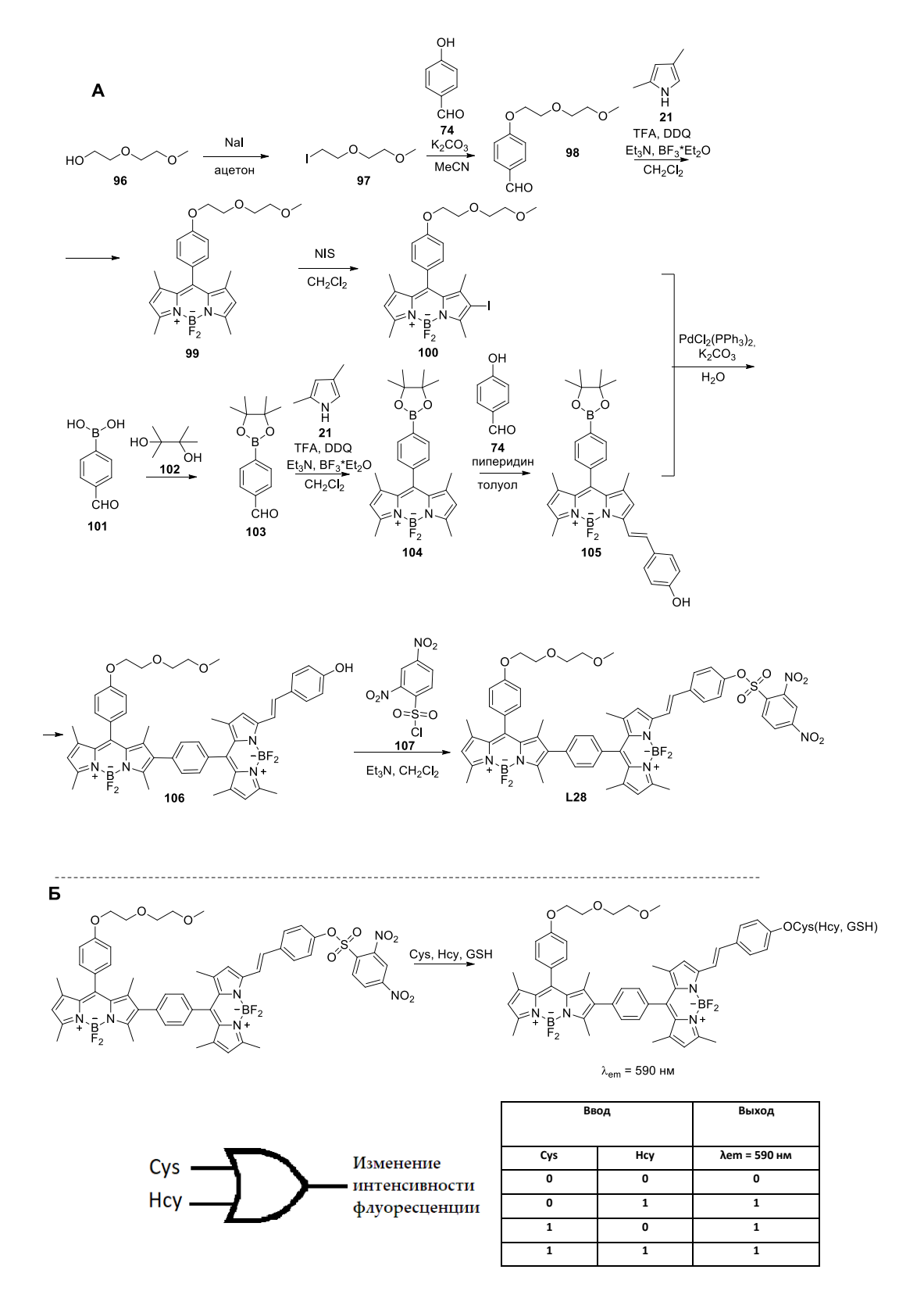


Рисунок 30. **А**) Схема синтеза соединения **L28**. **Б**) Принципиальная схема механизма работы сенсора **L28**. Двумя входными сигналами являются Суѕ и Нсу. Выходной сигнал - это изменение интенсивности флуоресценции. Как видно из таблицы истинности, мониторинг добавления Суѕ или Нсу ведет к молекулярному логическому элементу OR.

Эффективность сенсора оценивали с использованием биологически важных аналитов, таких как гомоцистеин, глутатион и несколько различных аминокислот, а также с перекисью водорода, которая может содержаться в цитоплазме. Значительные флуоресцентные отклики наблюдались только для Суѕ и Нсу, при этом не наблюдалось усиление флуоресценции для других аналитов, таких как глицин, пролин и т. д. Таким образом, сенсор является высокоселективным в отношении цистеина и гомоцистеина.

В работе [46] был показан флуоресцентный сенсор L29 на основе БОДИПИ для селективного определения GSH в смеси с Cys и Hcy. Для достижения этой цели использовалось объединение в одной молекуле БОДИПИ двух реакционных центров, а именно дисульфидного линкера и тиоэфирной группы. Сеносор был получен в 3 стадии. На первой было проведено ароматическое нуклеофильное замещение Cl в БОДИПИ 108, функционализированным гидроксигруппой и хлором, на *п*-тиокрезол 109, затем его гидроксильная группа была активирована CDI и введена в реакцию с 2,2' –дитиодиэтанолом 111, что привело к получению продукта (Рисунок 31). Механизм обнаружения аналитов заключается в том, что дисульфидная связь в молекуле БОДИПИ расщепляется под действием тиольной группы, содержащейся во всех аналитах, что приводит к получению промежуточных соединений. На втором этапе происходит реакция тиоэфира с нуклеофильным тиолатом, которая сопровождается образованием сульфенил-БОДИПИ. Последующее внутримолекулярное замещение происходит только под действием аминогрупп Cys или Hcy, дающими аминозамещенный БОДИПИ. Таким образом, Суѕ и Нсу приводят к сульфенил- и амино-замещенному БОДИПИ. Следует отметить, что на втором этапе кинетически благоприятное циклическое переходное состояние является критическим для различия GSH от Cys и Hcy. Громоздкость GSH значительно препятствует внутримолекулярной перестройке, давая только сульфенил-БОДИПИ. Учитывая разные фотофизические свойства сульфенил-БОДИПИ и сульфенил- и амино-замещенного БОДИПИ, сенсор позволяет различать GSH от Cys и Hcy.

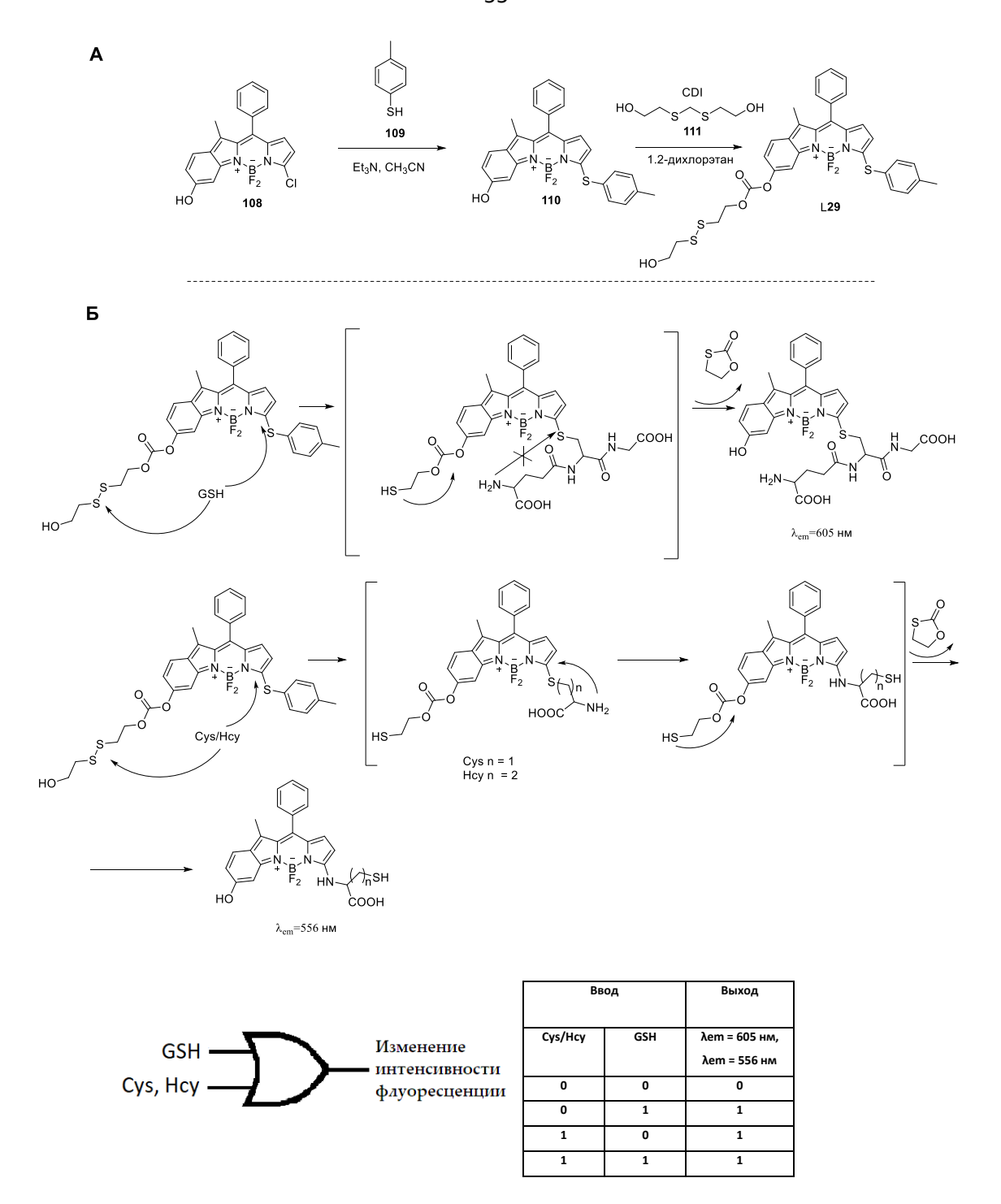


Рисунок 31. **А**) Схема синтеза соединения **L29**. **Б**) Принципиальная схема механизма работы сенсора **L29**. Двумя входными сигналами являются Cys/Hcy и GSH. Выходные сигналы - это изменение интенсивности флуоресценции. Как видно из таблицы истинности, мониторинг добавления Cys/Hcy или GSH ведет к молекулярному логическому элементу OR.

Сенсор **L29** обладал максимумом поглощения при 552 нм, а также слабым максимумом испускания при 605 нм с квантовым выходом около 0.001. Добавление 5 мМ GSH к раствору **L29** в CH₃CN/HEPES-буфере (1:1, 20 мМ, рН 7.4) вызывало резкое снижение интенсивности поглощения при 552 нм наряду с одновременным появлением полосы поглощения при 581 нм.

В спектрах флуоресценции добавление GSH вызывало появление испускания в красной области спектра с максимум 605 нм при возбуждении светом длиной волны 565 нм, что позволило сенсору L29 обнаружить GSH. Затем изменения профилей спектров были исследованы в присутствие Суѕ или Нсу. В первые 3 мин исходное поглощение при 552 нм стало уменьшаться и начала появляться новая полоса поглощения при 490 нм. Впоследствии, полоса поглощения при 490 нм сдвигалась до 520 нм. Кроме того, происходило увеличение интенсивности флуоресценции при 556 нм при возбуждении волной света длмной 490 нм в течение 3 мин. Таким образом, реакция L29 с GSH приводит к красной флуоресценции, тогда как у L29 с Суѕ или Нсу приводит к оранжевой флуоресценцию.

В работе [47] был исследован сенсор, который селективно определяет H₂S и GSH. Он представляет собой молекулу, в которой ядро БОДИПИ (электронодефицитное) объединено с хальконовой группой (электроннодонорная). В таком донорно-акцепторном комплексе проявляется ICT-механизм, за счет которого гасится флуоресценция флуорофора. Сенсор был получен в 5 стадий. Ключевая из которых является конденсация альдегида 116 с БОДИПИ 108 (Рисунок 32). Сенсор L30 почти не испускает в буфере PBS (10 мМ, рН 7.4, 20% CH₃CN) при возбуждении светом длиной 530 нм. При обработке L30 NaHS, в качестве источника HS⁻ или GSH происходило значительное увеличение интенсивности флуоресценции с максимумом в 562 нм.

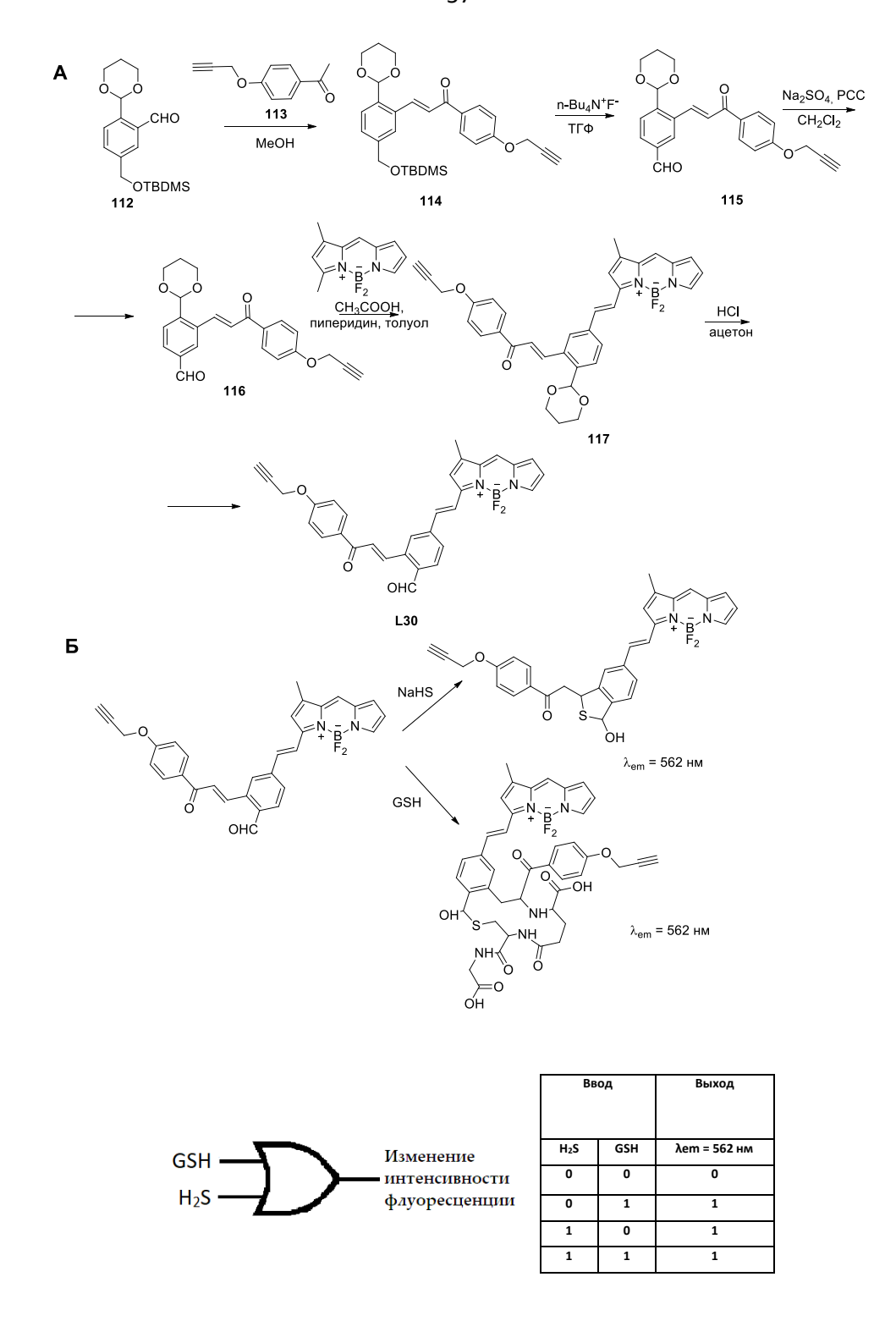


Рисунок 32. **А**) Схема синтеза соединения **L30**. **Б**) Принципиальная схема механизма работы сенсора **L30**. Двумя входными сигналами являются H₂S и GSH. Выходной сигнал - это изменение интенсивности флуоресценции. Как видно из таблицы истинности, мониторинг добавления H₂S или GSH ведет к молекулярному логическому элементу OR.

Был предложен механизм процесса, в котором **L30** реагирует с H_2S путем тандемного нуклеофильного присоединения и образованием богатого электронами 1,3-

дигидробензо[c]тиофенового фрагмента. В случае с GSH, его тиоловая группа реагирует с альдегидной группой сенсора **L30**, что приводит к промежуточному гемитиоацеталю, в структуре которого аминовая группа GSH находится в непосредственной близости от реакционноспособной α , β -ненасыщенной карбонильной группы сенсора, благодаря чему между ними возможна реакция Михаэля. В образовавшихся продуктах увеличение электронной плотности в фенильном кольце блокирует процесс переноса заряда и, следовательно, происходит восстановление флуоресцентных свойств сенсора.

В работе [48] был описан флуоресцентный сенсор **L31** для селективного обнаружения Суѕ и GSH, который представляет собой БОДИПИ, связанный с 7-нитробензофуразаном (NBD) через эфирную связь. Сенсор был получен в две стадии. На первой стадии была проведена конденсация Кневенагеля между флуорофором БОДИПИ **118** и альдегидом **119**, а на второй стадии происходило замещение атома водорода гидроклисльной группы **120** на фрагмент NBD **121**. После реакции сенсора с нуклеофильными GSH или Суѕ, из сенсора высвобождался флуорофор БОДИПИ. Сенсор не обладал флуресценцией за счет фотоиндуцированного переноса электронов РЕТ от NBD к БОДИПИ (Рисунок 33).

После добавления глутатиона GSH к раствору сенсора, интенсивность флуоресценции сенсора постепенно увеличивалась (в 30 раз), пока концентрация GSH не составила 64.0 экв. по отношению к сенсору. Эффект "Off-On" связан с отщеплением NBD группы, что привело к характерному флуоресцентному испусканию индол-БОДИПИ λ_{em} =135 нм. Напротив, в присутствии Суѕ появляется два максимума испускания при 540 нм и 635 нм.

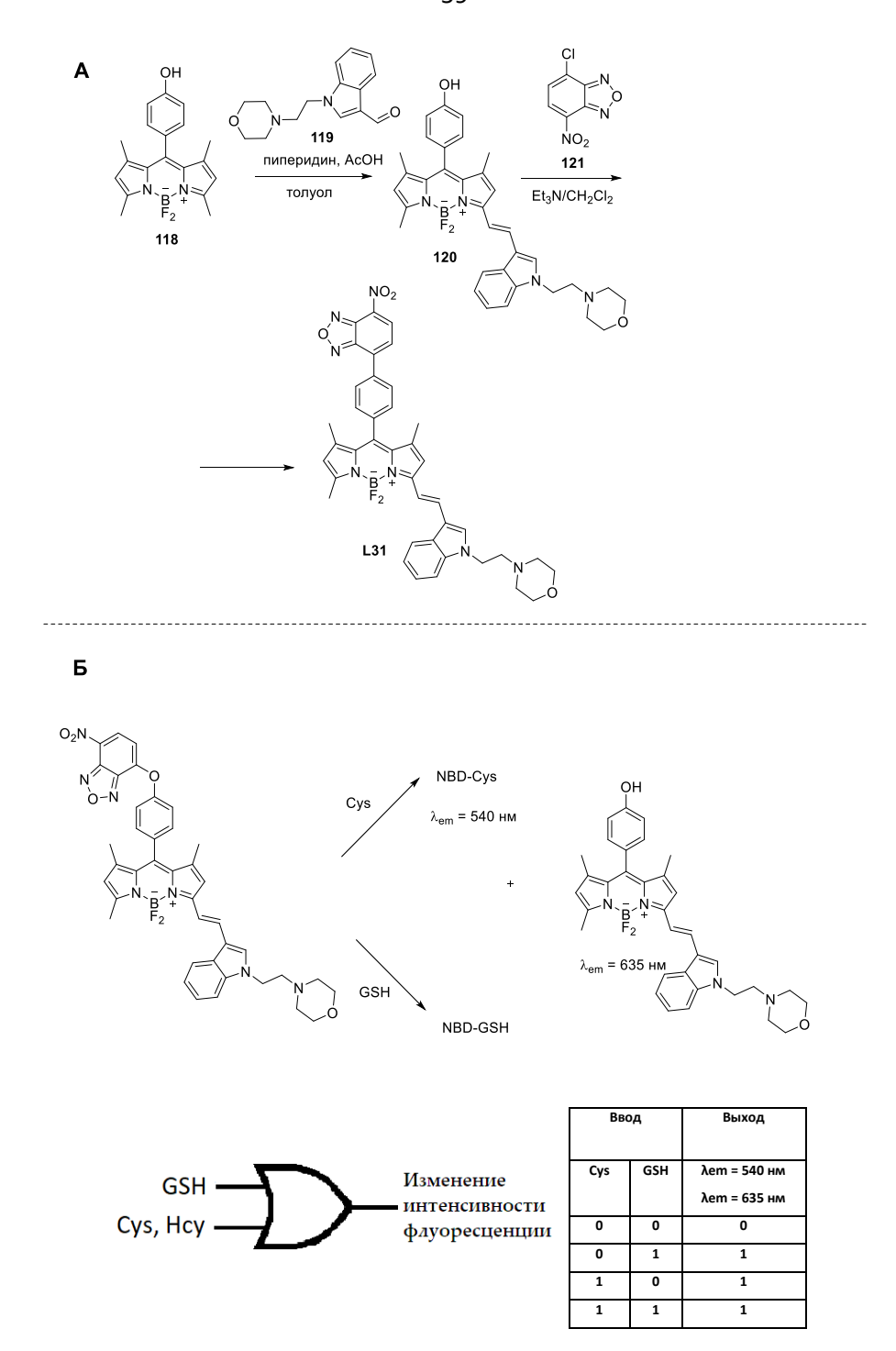


Рисунок 33 А) Схема синтеза соединения **L31**. **Б)** Принципиальная схема механизма работы сенсора **L31**. Двумя входными сигналами являются Суѕ и GSH. Выходные сигналы - это изменение интенсивности флуоресценции. Как видно из таблицы истинности, мониторинг добавления Суѕ или GSH ведет к молекулярному логическому элементу OR.

Таким образом, Суѕ может быть легко идентифицирован по одновременному появлению двух полос испускания при 540 нм и 635 нм, тогда как GSH может быть идентифицирован по появлению одной полосы испускания при 635 нм. Такое различие можно объяснить тем, что при взаимодействии Суѕ и сенсора **L31** образуется БОДИПИ и NBD-Cyѕ, обеспечивающие

испускание флуоресценции при 635 нм и 540 нм соответственно. В случае с GSH образуется БОДИПИ и не флуоресцентный продукт NBD-GSH, и возникает только одна полоса испускания при 635 нм.

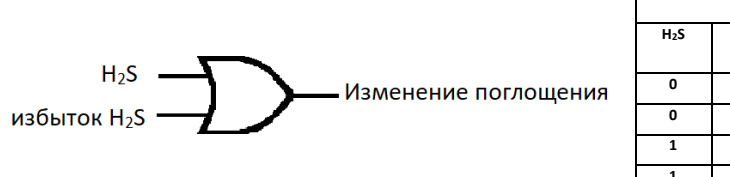
В работе [49] был описан флуоресцентный сенсор **L32**, позволяющий определять GSH в присутствии Суѕ и Нсу на основе монохлор-БОДИПИ. Синтез сенсора был реализован в 3 стадии. Ключевой из которых является кросс-сочетание Соногаширы между дихрол-БОДИПИ **122** и триметилсилилацетиленом. Свободная тиольная группа аналита нуклеофильно замещает хлор в БОДИПИ, что приводит к значительному смещению максимума в красной области флуоресценции. Аминогруппы Cys/Hcy (но не GSH) далее замещают серу с образованием аминозамещенного БОДИПИ, имеющего отличные от исходного сенсора фотофизические свойства (Рисунок 34).

Рисунок 34. А) Схема синтеза соединения **L32**. **Б**) Принципиальная схема механизма работы сенсора **L32**. Двумя входными сигналами являются Cys/Hcy и GSH. Выходной сигнал -

это изменение интенсивности флуоресценции. Как видно из таблицы истинности, мониторинг добавления Cys/Hcy или GSH ведет к молекулярному логическому элементу OR.

В случае GSH, по мере прохождения реакции, полоса испускания свободного сенсора с максимумом в 556 нм уменьшается, в то время как новый максимум при 588 нм увеличивается. При добавлении Суз уменьшение интенсивности флуоресценции при 556 нм первоначально сопровождалось появлением новой полосы испускания при 590 нм, которая быстро уменьшилась. Затем максимум испускания L32 сместился до 564 нм. В присутствии Нсу максимум испускания в 587 нм постепенно увеличивался в течение первых 15 мин, аналогичному тому, который наблюдался с GSH, а затем этот максимум уменьшался. Полученные данные позволяют отличать GSH от Cys/Hcy. Спектры поглощения в присутствии GSH значительно отличаются от спектров в присутствии Суз или Нсу. Они также могут использоваться для определения GSH в физиологических условиях.

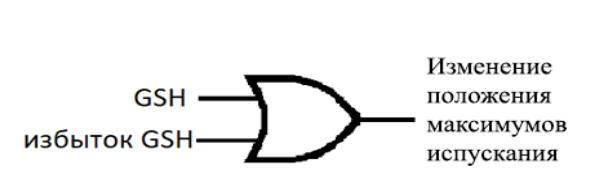
В работе [50] был показан фенилселен-замещенный флуоресцентный сенсор L33 "Оп-Оff" на основе БОДИПИ для определения H₂S на основе реакции расщепления фенилселенидной группы при 3-м и 5-м положении БОДИПИ. Сенсор был получен реакцией между дихлор-БОДИПИ 77 и бензолселенолом. При добавлении Na₂S в концентрации от 0 до 20 мкМ происходило замещение одной фенилселенидной группы гидросульфдом, что приводило к увеличению интенсивности поглощения с максимумом при 587 нм и появлялись новые сигналы при 390 нм и 516 нм. При добавлении Na₂S в концентрации от 20 до 85 мкМ, сероводород способствовал дальнейшему замещению фенилселенида в 5-положении БОДИПИ, что сопровождалось снижением интенсивности поглощения полосы при 516 и 552 нм и увеличилось поглощение при 500 нм. Полоса поглощения при 587 нм при этом исчезала. В ходе реакции происходило изменение цвета флуоресценции от фиолетового до розового. Сенсор L33 обладает сильной флуоресценцией при возбуждении светом длиной 582 нм с максимумом 610 нм. При добавлении Na₂S происходило постепенное гашение интенсивности флуоресценции в зависимости от концентрации Na₂S. При добавлении 100 экв. Na₂S происходило полное гашение флуоресценции (Рисунок 35).



Ввод		Выход
H₂S	Избыток H₂S	λabs = 587 нм
0	0	0
0	1	1
1	0	1
1	1	1

Рисунок 35. **А)** Схема синтеза соединения **L33**. **Б)** Принципиальная схема механизма работы сенсора **L33**. Двумя входными сигналами являются H₂S и избыток H₂S. Выходной сигнал - это изменение поглощения. Как видно из таблицы истинности, мониторинг добавления H₂S или Избыток H₂S ведет к молекулярному логическому элементу OR.

В работе [51] был описан ратиометрический флуоресцентный сенсор **L34** на основе мнитрофенолзамещенного хлор-БОДИПИ для обнаружения GSH. Сенсор был получен реакцией дихлорзамещенного-БОДИПИ **77** и 2-нитрофенола **126**. Обнаружение основано на двухступенчатом нуклеофильном ароматическом замещении нитрофенольной группы и хлора GSH в буферном растворе СТАВ. При добавлении GSH происходило замещение нитрофенольной группы, что приводило к изменению максимума испускания флуоресценции. Положение максимумов испускания менялось от 530 до 561 нм, что соответствует смене зеленой флуоресценции на желтую. Добавление избытка GSH взывало вторую стадию замещения (замещение хлора), что приводило к изменению максимума испускания флуоресценции с 561 до 596 нм (смена цвета флуоресценции с желтого на красноватооранжевый). Сенсор находит применение в клеточной ратиометрической флуоресцентной визуализации GSH.



	Ввод	Выход
GSH	Избыток GSH	λem = 530
0	0	0
0	1	1
1	0	1
1	1	1

Рисунок 35. **А**) Схема синтеза соединения **L34**. **Б**) Принципиальная схема механизма работы сенсора **L34**. Двумя входными сигналами являются GSH и GSH. Выходной сигнал – изменение максимумов испускания. Как видно из таблицы истинности, мониторинг добавления GSH или избыток GSH ведет к молекулярному логическому элементу OR.

В работе [52] был показан сенсор **L35** на основе 4-амино-3-(метиламино)фенол замещенного хлор-БОДИПИ. Он был получен в две стадии из 3,5-дихлор-БОДИПИ **122**. На первой стадии 3,5-дихлор-БОДИПИ **122** вводили в реакцию с 4-(метиламино)-3-нитрофенолом **128**, а затем NO₂-группу в образовавшемся продукте **129** востанавливали в NH₂-группу. Его флуоресцентные свойства были изучены в присутствии NO и GSH в PBS буфере (10 мМ, рН 7.4, 30% CH₃CN) при 37 °C. Было показано, что в присутствии NO происходит увеличение испускания флуоресценции с максимумом в 558 нм, а при добавлении GSH происходит увеличение интенсивности испускания флуоресценции с максимумом в 528 нм. После одновременного добавления фермента, генерирующего NO, и GSH максимум испускания при 528 нм увеличивался быстро, и затем возникал максимум испускания при 558 нм, так как реакция с GSH шла быстрее, чем образовывался NO (Рисунок 36).

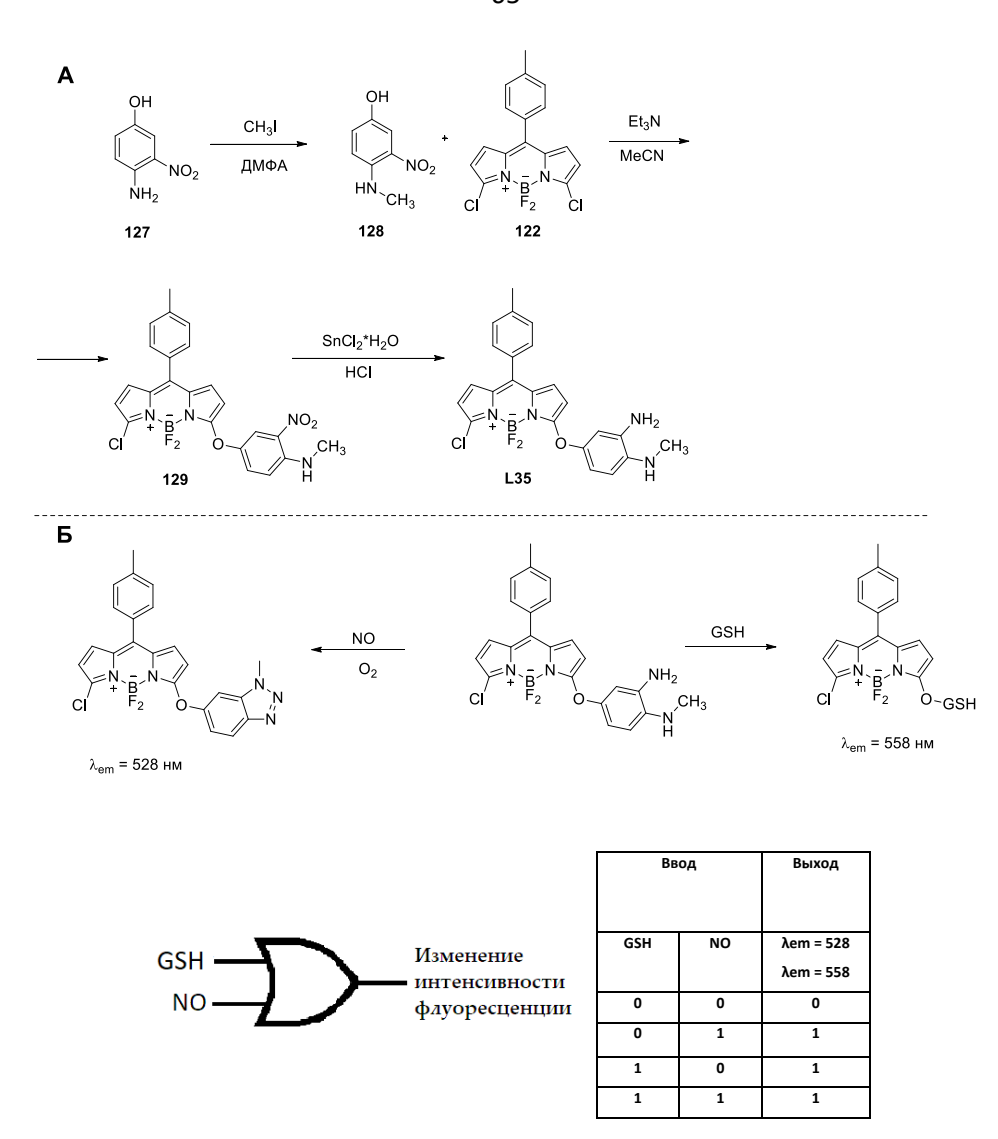


Рисунок 36. А) Схема синтеза соединения **L35. Б)** Принципиальная схема механизма работы сенсора **L35.** Двумя входными сигналами являются GSH и NO. Выходной сигнал - изменение испускания флуоресценции. Как видно из таблицы истинности, мониторинг добавления GSH или NO ведет к молекулярному логическому элементу OR.

Приведенные выше результаты показали, что сенсор **L35** способен обнаружить присутствие NO и GSH по двум каналам флуоресценции. Механизм работы сенсора объясняется тем, что NO запускает трансформацию диамина в триазол, который обладает зеленой флуоресценцией, а GSH индуцирует реакцию замещения S_{NAr} 4-амино-3-(метиламино)фенольной группы, приводящую к продукту, испускающему в красной области спектра. Сенсор был использован для обнаружения экзогенных и эндогенных NO и GSH в клетках макрофагов.

В работе [53] был разработан сенсор **L36** для определения оксида азота NO и NO₂⁻. Он был получен путем объединения в одной молекуле флуорофора БОДИПИ и о-фенилендиамина, который выполняет рецепторную функцию, а также гасит флуоресценцию по РЕТ-механизму. Синтез был осуществлен в одну стадию из О-фенилендиамина **131** и мезо-хлор-БОДИПИ **130** (Рисунок 37).

Рисунок 37. Схема синтеза соединения **L36**. Принципиальная схема механизма работы сенсора **L36**. Двумя входными сигналами являются NO_2^- и NO. Выходные сигналы - это изменение интенсивности флуоресценции. Как видно из таблицы истинности, мониторинг добавления NO_2^- или NO ведет к молекулярному логическому элементу OR.

При обработке раствора сенсора NO или нитритом в фосфатном буфере, PET гашение снимается за счет образования производного бензотриазола, что приводит к увеличению интенсивности флуоресценции при 532 нм. (λ_{ex} =470 нм). Таким образом, была реализована стратегия "Off-On" определения аналита от темного фона к сильной зеленой флуоресценции после добавления NO и NO₂-.

Флуоресцентный сенсор **L37**, селективный в отношении Суѕ был предложен в работе [54]. Он представляет собой комплекс Cu²⁺ с БОДИПИ и был получен в результате реакции конденсации БОДИПИ **134** с 2-аминофенолом **135**. БОДИПИ **134** был синтезирован путем конденсации альдегида с 2,4-диметилпирролом, с дальнейшим расщеплением полученного ацеталя **132** под действием каталитического количества HCl и окислением MnO₂ (Рисунок 38).

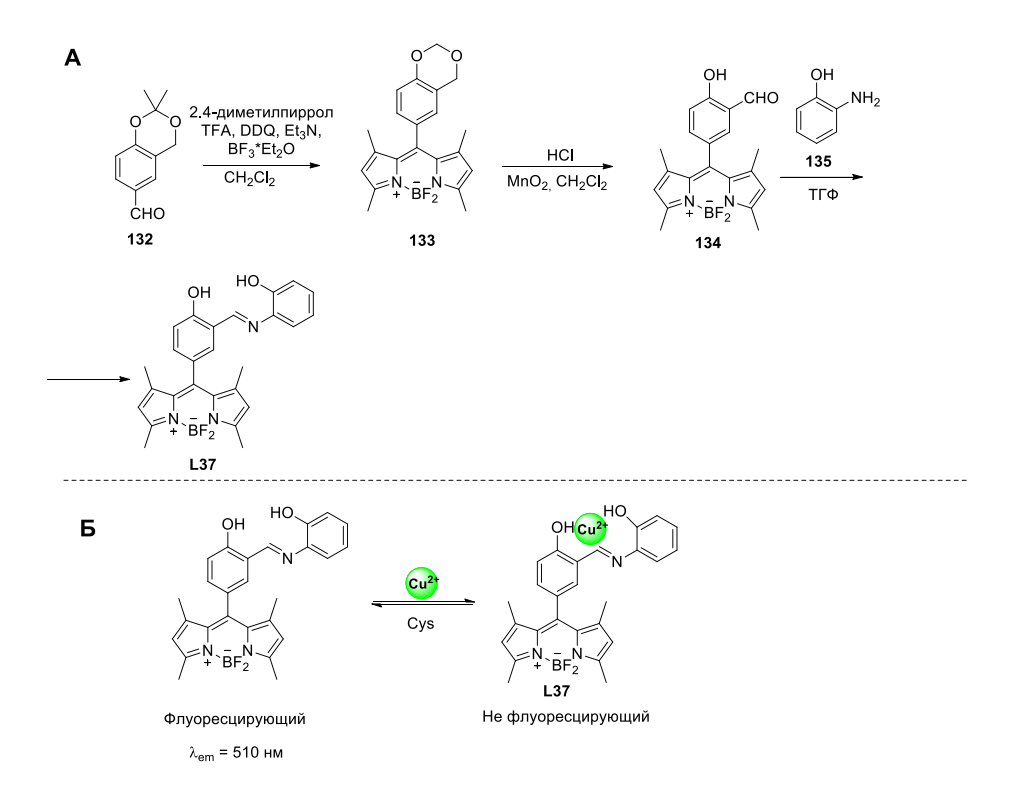




Рисунок 38. **А)** Схема синтеза соединения **L37**. **Б)** Принципиальная схема механизма работы сенсора **L37**. Двумя входными сигналами являются Cu²⁺ и Cys. Выходной сигнал - это выход снижении интенсивности флуоресценции при 510 нм. Как видно из таблицы истинности, мониторинг выходных сигналов приводит к молекулярному логическому элементу INHIBIT.

Молекулярное определение основано на деметаллировании слабофлуоресцентного комплекса L37 с Cu^{2+} цистеином, и последующем гидролизе основания Шиффа, приводящему к усилению интенсивности флуоресценции при максимуме в 510 нм. Сенсор демонстрировал конкурентную селективность в отношении Cys по сравнению с Hsy, N-ацетилцистеин, метионином и GSH. Кроме того, сенсор был описан как возобновляемый, было показано, что его можно использовать заново после обработки 2-аминофенолом.

Сингхом и др. [55] был получен флуоресцентный сенсор L38, селективный в отношении Суѕ (Рисунок 39).

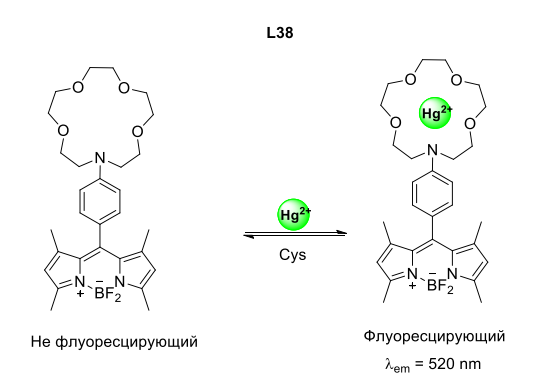




Рисунок 39. Принципиальная схема механизма работы сенсора L38. Двумя входными сигналами являются Cys и Hg²⁺. Выходной сигнал - увеличение интенсивности флуоресценции при 520 нм. Как видно из таблицы истинности, мониторинг выходных сигналов приводит к молекулярному логическому элементу INHIBIT.

0

Он представляет собой координациооный комплекс Hg^{2+} и краун-БОДИПИ. Соединение является РЕТ-сенсором. После добавления водного раствора ионов Hg^{2+} к раствору сенсора **L38** в ацетонитриле происходит увеличение интенсивности флуоресценции при 520 нм. При последовательном добавлении водного раствора Суѕ к раствору **L38**, интенсивность испускания при 520 нм уменьшается и стабилизируется. На основании того, что возможно обратимое взаимопревращение за счет добавления постоянных количеств Cys и Hg²⁺ к раствору L38 является сенсором типа "On-Off" для Cys.

Интересный пример МЛЭ был получен в работе [56]. Он представляет собой мезофинилзамещенный БОДИПИ с азидной группой, которая подвергается восстановлению в присутствии H₂S. Сенсор был получен в три стадии, ключевой из которых является кросссочетание по Сузуки между бромфенил-БОДИПИ 137 и бороновым эфиром анилина 138. При добавлении H₂S (Na₂S был использован в качестве источника H₂S) к раствору сенсора L39 происходило уменьшение полосы поглощения при 495 нм. Спектр флуоресценции сенсора L39 имеет полосу испускания с максимумом при 515 нм при возбуждении волной света 470 нм.

После добавления H_2S (0–60 мМ) к раствору сенсора **L39** полоса испускания при 515 нм уменьшалась с увеличением концентрации H_2S (Рисунок 40).

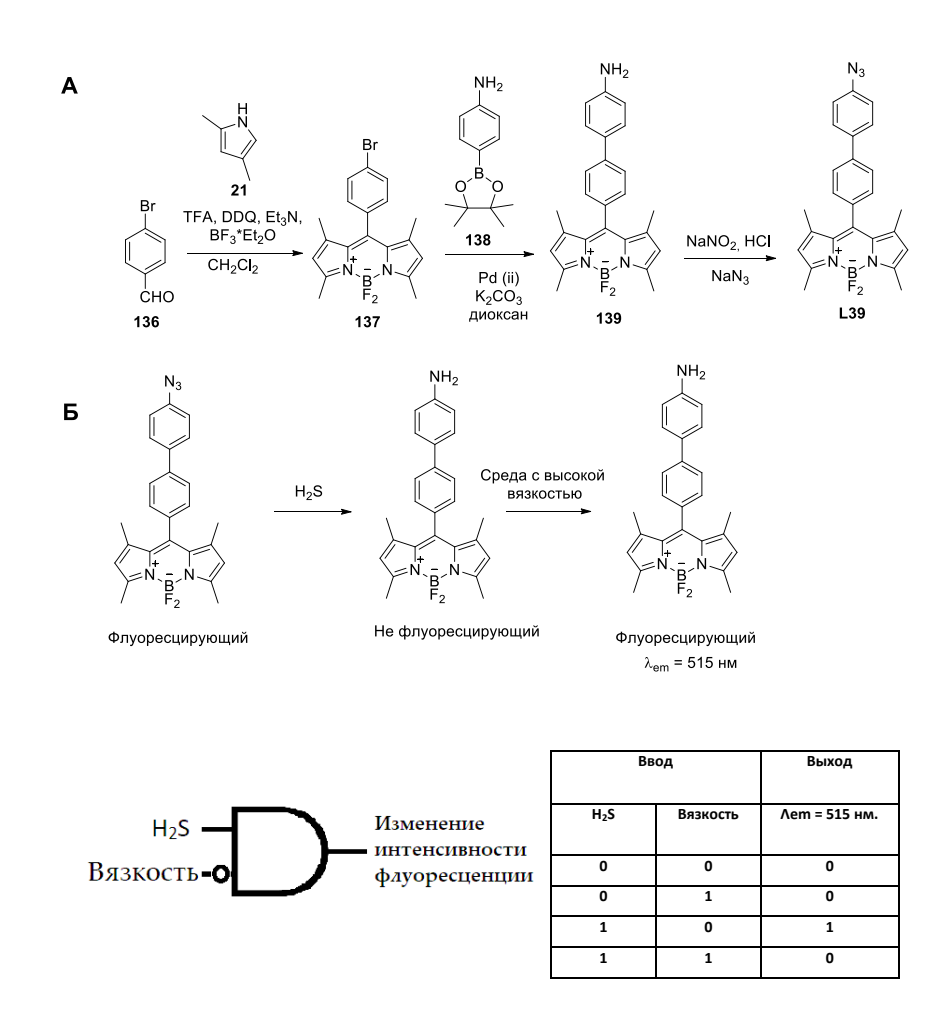
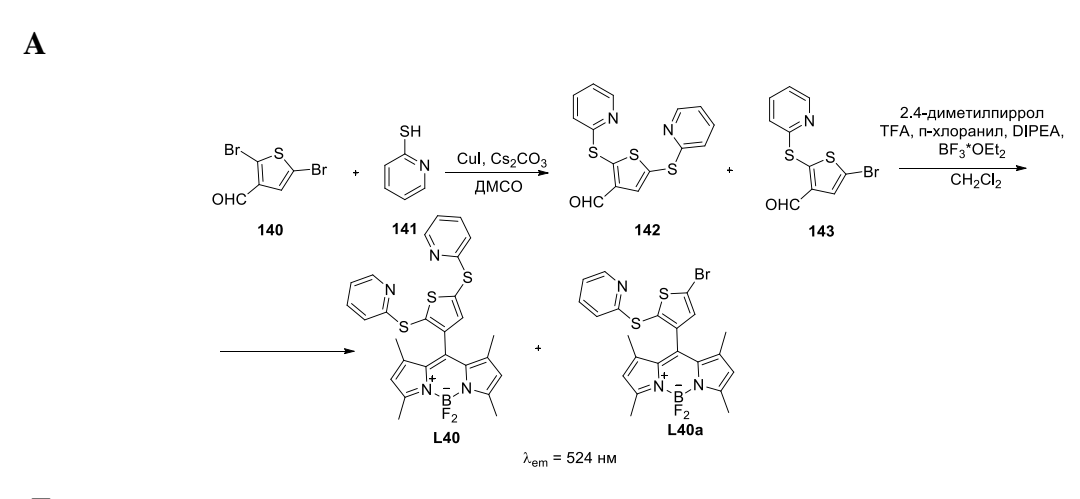


Рисунок 40. **А)** Схема синтеза соединения **L39**. **Б)** Принципиальная схема механизма работы сенсора **L39**. Двумя входными сигналами являются H₂S и Вязкость. Выходной сигнал - гашение интенсивности флуоресценции при 515 нм. Как видно из таблицы истинности, мониторинг выходных сигналов приводит к молекулярному логическому элементу INHIBIT.

Продукт, образованный после восстановления азидной группы, работает как флуоресцентный молекулярный ротор и его энергия может рассеивается безызлучательными путями из-за свободного вращения мезозамещенного фенильного кольца. Восстановленный продукт L39 реагирует на изменения вязкости и может быть также охарактеризован как флуоресцентный молекулярный ротор, у которого интенсивность флуоресценции и время затухания увеличиваются с увеличением вязкости. Было показано, что значительное увеличение интенсивности флуоресценции наблюдалось с увеличением концентрации глицерина в растворе. Однако, в отсутствии H2S такого увеличения интенсивности флуоресценции не происходило.

В работе [57] были показаны два "Off-On" сенсора на основе БОДИПИ для одновременного определения Hg^{2+} и O_2 . Сенсоры получены в две стадии. На первой стадии альдегид **140** функционализирован до дисульфидного и моносульфидного производного **142** и **143** по реакции сочетания в присутствии солей меди (I) Затем эти альдегиды подвергались реакции с 2,4-диметилпирролом с образованием сенсоров **L40** и **L40a**. Механизм основан на том, что 2-пиридил-S группы, могут подвергаться окислению АФК, а также могут участвовать в связывании Hg^{2+} и обладают способностью гасить флуоресценцию по РЕТ-механизму (Рисунок 41).



Б



Рисунок 41. **A)** Схема синтеза соединений **L40** и **L40а**. **Б)** Принципиальная схема механизма работы сенсора **L40** и **L40а**. Двумя входными сигналами являются Hg^{2+} и O_2^- . Выходной сигнал - это увеличение интенсивности флуоресценции при 524 нм. Как видно из таблицы истинности, мониторинг выходных сигналов приводит к молекулярному логическому элементу AND.

При добавлении Hg^{2+} к растворам сенсоров **L40** и **L40a** в MeCN/ H_2 O (70:30) смещение максимумов поглощения с 506 до 532 нм, при этом флуоресценция менялась со светло-желтой на оранжево-красную. Этот количественный батохромный сдвиг (25 нм) достаточен, чтобы его можно было наблюдать невооруженным глазом при концентрациях сенсора в 10^{-6} М. Ионы других металлов не влияют на испускание флуоресценции сенсора. Флуоресцентные свойства

растворов сенсоров **L40** и **L40**а были проверены на отклики к различным активным формам кислорода. В случае добавления KO_2 в раствор **L40** происходило увеличение интенсивности флуоресценции на 150%. Затем было исследовано влияние на флуоресцентное испускание присутствия аналитов Hg^{2+} и O_2^{-} . При одновременном присутствии аналитов (+ Hg^{2+} + O_2^{-} или + O_2^{-} + Hg^{2+}) наблюдалось сильное разгорание флуоресценции.

В работе [58] был показан флуоресцентный "On-Off" сенсор **L41** на основе БОДИПИ, позволяющий определять O_2 ⁻. Синтез сенсора был проведен в три стадии, ключевая из которых - кросс-сочетание по Сузуки. В присутствии O_2 ⁻ флуоресценция сенсора с максимумом в 596 нм гасится. Это объясняется тем, что в результате реакции сенсора **L41** с O_2 ⁻ (окисляющим веществом) из пирокатехол-формы (сильно флуоресцирующая форма) образовывалась бензохинон-форма (форма со слабой флуоресценцией), в которой флуоресценция гасилась за счет РЕТ-механизма. Добавление GSH (восстанавливающее вещество) превращало сенсор обратно из бензохиновой формы в форму пирокатехина с восстановлением флуоресценции (Рисунок 42).

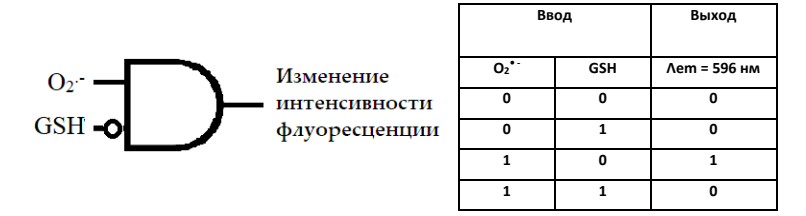
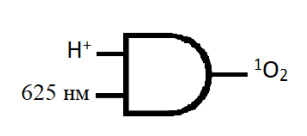


Рисунок 42. Принципиальная схема механизма работы сенсора **L41**. Двумя входными сигналами являются O_2^{\bullet} и GSH. Выходной сигнал - это гашение интенсивности флуоресценции при 596 нм. Как видно из таблицы истинности, мониторинг выходных сигналов приводит к молекулярному логическому элементу INHIBIT.

II.5. Молекулярные логические элементы на основе БОДИПИ для генерации синглетного кислорода

В работе [59] был показан МЛЭ **L42**, состоящий из двух фрагментов дистирил-БОДИПИ, соединенных вместе. На рисунке 43 представлен его многостадийный синтез. Ключевым этапом является сборка МЛЭ последством клик-реакции из двух франгментов функционализированных БОДИПИ. Один из модулей (2, модуль FL) ответственен за флуоресценцию, другой модуль (1, модуль PS) ответственен за образование синглетного кислорода. Свет на длине волны 625 нм и кислота (трифторуксусная кислота, TFA) являются входными параметрами МЛЭ, а образование синглетного кислорода - выходным. Работа сенсора **L42** может быть разбита на наложенное действие двух модулей, соединенных вместе.

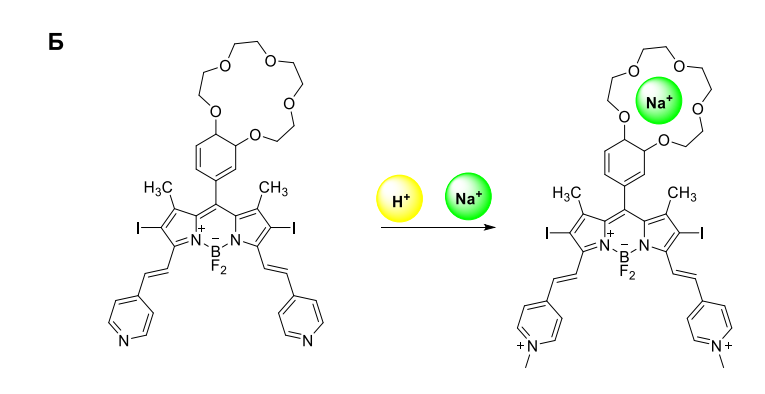


Ввод		Выход	
λ = 625 нм	H⁺	¹ O ₂	
0	0	0	
0	1	0	
1	0	0	
1	1	1	

Рисунок 43. Принципиальная схема механизма работы МЛЭ **L42**. Двумя ходными сигналами являются $\lambda = 625$ нм и $^{1}O_{2}$. Выходной сигнал - это выгенерация синглетного кислорода $^{1}O_{2}$. Как видно из таблицы истинности, мониторинг выходных сигналов приводит к молекулярному логическому элементу AND.

Соединение **L42** обладает широкой полосой поглощения, и трудно оценить спектральные изменения при добавлении TFA. Для понимания механизма работы соединения **L42**, два компонента изучались как независимые модули. До добавления кислоты, максимальное поглощение изолированного модуля PS (1) имеет длину волны 647 нм, а для модуля FL (2) - длину волны 681 нм, однако при добавлении TFA максимум поглощения 1 смещается до 671 нм, тогда как максимум поглощения 2 смещается до 647 нм. При добавлении кислоты и возбуждении на фиксированной длине волны 625 нм, в PS и FL происходит изменение направления передачи энергии возбуждения, и затем образуется синглетный кислород. В отсутствии кислоты происходит интенсивное испускание с максимумом в 715 нм.

В работе [60] Аккая был описан МЛЭ **L43**, в котором входными сигналами являются Na⁺ и H⁺. Молекулярная система начинала высвобождать цитотоксический синглетый кислород только тогда, когда концентрации обоих катионов были высоки. Дизайн такого МЛЭ включает в себя РЕТ-модулятор на основе краун-эфира, чувствительного только к Na⁺, но не к H⁺. Синтез сенсора начинался с формилирования соединения **166**. Затем, используя стандартные процедуры конденсации полученного альдегида с 2,4-диметилпиролом, был получен функционализированный БОДИПИ **167**. З и 5 положения ядра которого замещались двумя пиридильными группами, чувствительными к кислоте (Рисунок 44).



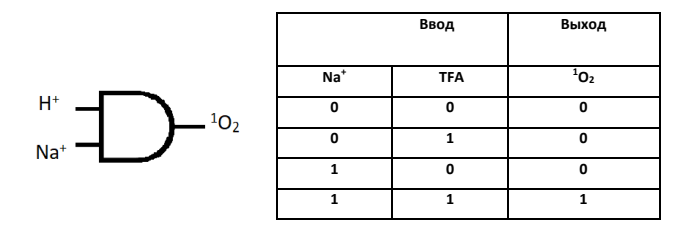


Рисунок 44. А) Схема синтеза соединения **L43. Б)** Принципиальная схема механизма работы МЛЭ **L43**. Двумя входными сигналами являются Na⁺ и TFA. Выходной сигнал - это генерация синглетного кислорода. Как видно из таблицы истинности, мониторинг выходных сигналов приводит к молекулярному логическому элементу AND.

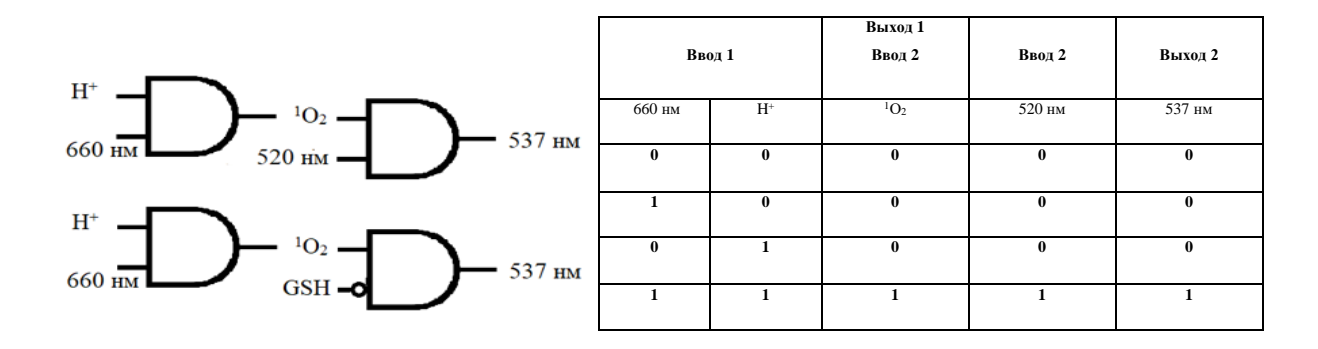
Спектральные характеристики и емкость генерации синглетного кислорода соединения **L43** изучались в CH₃CN. При добавлении аликвоты TFA к ацетонитрильному раствору **L43**, наблюдалось смещение максимумов поглощения в красную область спектра сенсора с 630 до 660 нм. Таким образом, используя светодиодную лампу при волне 660 нм, генерация синглетного кислорода наблюдалась только тогда, когда TFA и Na⁺ присутствовали в растворе одновременно. Когда ни TFA, ни Na⁺ не присутствовали или, когда присутствовал только TFA, скорость образования синглетного кислорода была значительно ниже.

В работе Аккая [61] для **L44** было предложено два каскада МЛЭ: AND-AND и AND-INHIBIT. Каждый из них состоял из активируемого кислотой фотосенсибилизатора GATE 1 (работает в режиме AND) и части, активируемой синглетным кислородом GATE 2 (работает в режиме AND или INHIBIT). Для первого каскада AND-AND, выходным действием первой части GATE 1, является высвобождение синглетного кислорода под действием света длиной 660 нм и кислотной среды. Второй GATE 2 у первого каскада можно рассматривать как элемент AND, который использует синглетный кислород (выход первой логической операции) и свет длинной волны в 520 нм в качестве входных элементов. Процесс AND приводит на выходе к увеличению интенсивности флуоресценции с максимумом поглощения в 537 нм. Данный

процесс вызван реакцией между синглетным кислородом и (Z)-1,2-бис(алкилтио)этеновым фрагментом GATE 2, приводящей к расщеплению двойной связи в структуре GATE 2. Второй каскад AND-INHIBIT также состоит из GATE 1 и GATE 2. Выходным действием первого МЛЭ является высвобождение синглетного кислорода под действием света длиной 660 нм и кислоты. Вводным элементом у GATE 2 является GSH. Такой каскад можно рассматривать как МЛЭ типа INHIBIT. Присутствие GSH мешает усилению флуоресценции. Эти данные могут быть истолкованы следующим образом: GSH действует как «ловушка» для 1 О2 и снижает уровень 1 О2 (Рисунок 45).

$$\begin{array}{c} N_{1} \\ N_{1} \\ N_{2} \\ N_{3} \\ N_{1} \\ N_{1} \\ N_{2} \\ N_{3} \\ N_{1} \\ N_{1} \\ N_{2} \\ N_{3} \\ N_{1} \\ N_{3} \\ N_{1} \\ N_{1} \\ N_{2} \\ N_{3} \\ N_{3} \\ N_{3} \\ N_{4} \\ N_{5} \\ N_{5} \\ N_{5} \\ N_{7} \\ N_{1} \\ N_{2} \\ N_{3} \\ N_{4} \\ N_{5} \\ N_{5} \\ N_{5} \\ N_{7} \\$$

Первый каскад



Двумя входными сигналами МЛЭ 1, ввода 1 является свет длиной волны 660 нм и H^+ . Выходные сигналы - это выход 1 образование 1O_2 , который является вводным сигналом для МЛЭ 2. У МЛЭ 2 входными сигналами ввод 2 являются 1O_2 и свет длиной волны 520 нм. Как видно из таблицы истинности, мониторинг выходных сигналов приводит к молекулярному логическому элементу AND.

Второй каскад

Ввод1		Выход 1	
660 нм	H*	¹O ₂	
0	0	0	
1	0	0	
0	1	0	
1	1	1	

Ввод2		Выход 2
¹O ₂	GSH	537 нм
0	0	0
0	1	0
1	0	1
1	1	0

Двумя входными МЛЭ 1 сигналами ввода 1 являются свет длиной волны 660 нм и H^+ . Выходные сигналы - это выход 1 образование 1O_2 , который является вводным сигналом для МЛЭ 2. У МЛЭ 2 входными сигналами ввод 2 являются 1O_2 и GSH. Как видно из таблицы истинности, мониторинг выходных сигналов приводит к молекулярному логическому элементу INHIBIT.

Рисунок 45. А) Схема синтеза соединения **L44. В)** Принципиальная схема механизма работы МЛЭ **L44**

В работе [62] было описано два сенсора **L45** и **L46** типа AND, состоящих из двух независимых МЛЭ, смешанных в одном растворе. Первым независимым логическим элементом AND является молекула тионина. Другой элемент AND представляет собой производное стирил-БОДИПИ с дипиколиламиновой (DPA) группой **A**, флуоресценция у которого гасится с помощью РЕТ-механизма, и восстанавливается, когда к раствору сенсора добавляются Zn²⁺. Эти две системы AND работают независимо. Когда МЛЭ объединяют в растворе, выход первой МЛЭ (тионин) становится одним из входов второй МЛЭ 2 (**L45**). Таким образом, в смеси двух логических компонентов AND, два элемента интегрированы с помощью фотохимической модуляции. В итоге, два независимых логических элемента AND можно принудительно интегрировать в один, просто смешивая их в растворе (Рисунок 46).

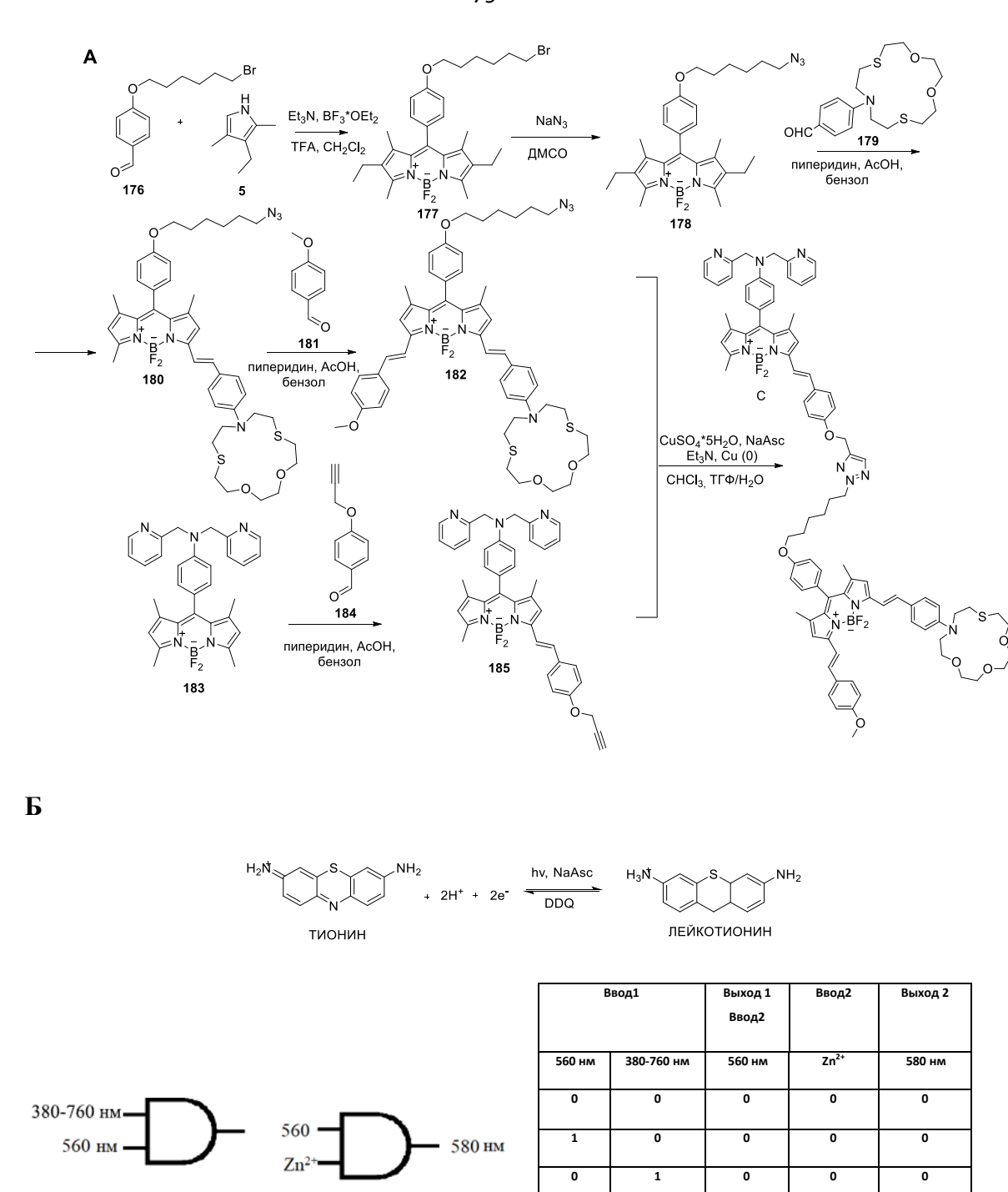


Рисунок 46. **A)** Схема синтеза соединения **L45** и **L46**. **Б)** Принципиальная схема механизма работы МЛЭ **L45** и **L46**. Двумя входными сигналами ввода 1 являются свет длиной волны 560 нм и свет длиной волны 380-760 нм. Выходные сигналы - это выход 1 с излучением 560 нм, который является вводным сигналом для МЛЭ 2. У МЛЭ 2 входными сигналами являются свет длиной волны 560 нм и Zn^{2+} . Как видно из таблицы истинности, мониторинг выходных сигналов приводит к каскадному молекулярному логическому элементу AND.

Второй каскад МЛЭ L46, основан на передаче энергии (RET). Первый AND идентичен элементу в предыдущей схеме (соединение А). Другой МЛЭ также является производным моностирила (В), но так как он имеет азатиакрауновый фрагмент, присоединенный через аминный атом азота, перенос заряда приводит к более длинноволновому поглощению и испусканию (Рисунок 47). Соединение **В** действует как AND, с фотонным (свет при 580 нм) и ионным (Hg²⁺) входами. Только при наличии обоих входов появляется ярко-красное испускание при 660 нм. Когда соединения А и В связываются по реакции циклоприсоединения Хьюсгена, полученный продукт (С) фактически является модулем по ионно-модулированному переносу энергии. В этой молекуле фотонный вход при 660 нм генерируется только когда все три входа $(hv = 560 \text{ нм}, Zn^{2+} \text{ и } Hg^{2+})$ присутствуют. Во всех других комбинациях испускание при 660 нм является не сильным. Испускание в красной области спектра зависит от эффективности РЕТмодуля от первого логического элемента (А). Возбуждение при 560 нм приводит к возбуждению этого конкретного флуорофора, но в отсутствие Zn²⁺, эффективность передачи энергии резко снижается. Когда присутствуют Zn²⁺, PET блокируется, и энергия возбуждения передается на второй модуль. Второй модуль (акцептор), полученный из соединения В, даже не когда передача энергии эффективна, флуоресцирует ярко из-за внутримолекулярного переноса заряда. Когда к раствору сенсора добавляются катионы (Hg^{2+}) , наблюдается испускание в красной области спектра.

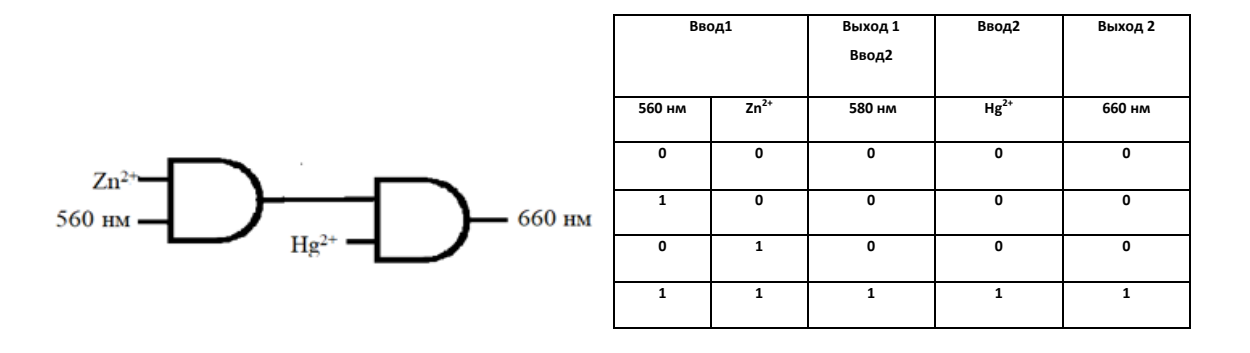


Рисунок 47. Принципиальная схема механизма работы МЛЭ **L46**. Двумя входными сигналами ввода 1 являются свет длиной волны 560 нм и Zn^{2+} . Выходные сигналы - это выход 1 с излучением 580 нм, который является вводным сигналом для МЛЭ 2. У МЛЭ 2 входными сигналами являются свет длиной волны 580 нм и Hg^{2+} . Как видно из таблицы истинности, мониторинг выходных сигналов приводит к каскадному молекулярному логическому элементу AND.

Структура флуоресцентного фотосенсибилизатора **L47** [54], активируемого GSH и H^+ содержит два фрагмента. Фрагмент ответственный за гашение флуоресценции (Q) и

фотосенсибилизатор (PS), которые связаны дисульфидным мостиком, расщепляющимся под действием GSH. Для разработки молекулы в этой работе авторы использовали две характеристики микроокружения опухоли: более низкий рН и более высокие концентрации GSH [55]. Спектральный сдвиг на длине волны возбуждения 625 нм появляется только при протонировании молекулы, что делает сенсибилизатор активным только в кислых условиях. Кислота индуцирует изменение поглощения фотосенсибилизатора, что позволяет увеличить коэффициент экстинкции на длине волны возбуждения и, таким образом, готовит его к активации. Однако акцептор энергии, сопряженный с фотосенсибилизатором через дисульфидную связь все еще гасит возбужденное состояние через эффект передачи энергии RET. Лишь только когда оба связанных аналита присутствуют при пороговых значениях, происходит активация генерации синглетного кислорода (Рисунок 48).

Ввод		Выход	
H ⁺	GSH	¹O ₂	
0	0	0	
0	1	0	

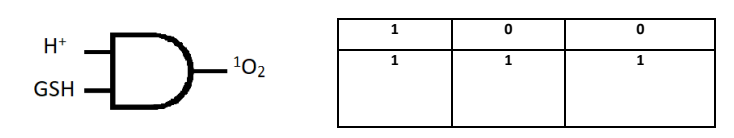


Рисунок 48. Принципиальная схема механизма работы МЛЭ **L47** Двумя входными сигналами являются H⁺ и GSH. Выходной сигнал - это генерация синглетного кислорода. Как видно из таблицы истинности, мониторинг выходных сигналов приводит к молекулярному логическому элементу AND.

III. Обсуждение результатов

Создание молекулярно-логических элементов (МЛЭ) на основе органических молекул является актуальным и динамично развивающимся направлением в современной органической химии. Одни из наиболее интересных МЛЭ получаются на основе флуоресцентных красителей с двумя рецепторными группами. Они позволяют детектировать одновременное присутствие в растворе двух типов анализируемых частиц (входные сигналы) за счет изменения спектральных свойств сенсора (выходные сигналы) [63]. Считывание и интерпретация полученных выходных сигналов лежат в основе детектирования, позволяя обнаруживать два типа анализируемых частиц на качественном и количественном уровнях с высокой степенью точности измерений. Принцип флуоресцентного детектирования нескольких аналитов основан на построении каскадов входных/выходных сигналов и их анализе инструментами булевой логики.

Для разработки МЛЭ перспективным является использование производных 4,4-дифтор-4-бор-3а,4а-диазо-s-индаценов (БОДИПИ) содержащих две рецепторные группы в 3-м (5-м) и 8-ом положениях флуоресцентного ядра. Выбор данного класса флуорофоров объясняется его устойчивостью к свету, химическим веществам, высокими молярными коэффициентами поглощения $\varepsilon(\lambda)$, квантовыми выходами флуоресценции Φ , узкими полосами поглощения, и хорошей растворимостью. Кроме того, спектроскопические и фотофизические свойства БОДИПИ легко контролируются направленным введением вспомогательных остатков в ключевые положения дифторборонового дипирролилметенового ядра.

Анализ литературы по МЛЭ на основе красителей ряда БОДИПИ показал, что на сегодняшний день известно большое количество мономодальных сенсоров, содержащих одну рецепторную группу [6, 11, 64-67]. Однако, практически не изучеными в силу синтетических трудностей остаются двумодальные сенсоры, которые также имеют сложнопредсказуемые спектральные свойства. Предполагается, что подобные сенсоры могут обеспечить детектирование одновременного присутствия в растворе двух типов анализируемых частиц, например, двух различных видов катионов тяжелых металлов, катионов металла и анионов или биоаналитов различного происхождения.

В качестве общего принципа создания таких сенсоров в настоящей работе было предложено использовать объединение в одной молекуле флуорофора БОДИПИ и двух рецепторных групп, подавляющих флуоресценцию ядра БОДИПИ в свободном, т.е. несвязанном с анализируемой частицей состоянии. А именно, интерес представляло введение в мезо-положение БОДИПИ через метильный или фенильный линкер рецепторных групп (ионофоры, реакционноспособные центры), подавляющих в несвязанном состоянии флуоресценцую по механизму фотоиндуцированного переноса электронов (РЕТ). Кроме того,

интересной была бы модификация третьего положения каркаса БОДИПИ будут хелатирующими группами или реакционноспособными центрами, позволяющими управлять флуоресценцией по механизму внутримолекулярного переноса заряда (ICT). Одновременное селективное взаимодействие подобных сенсоров с двумя детектируемыми частицами могло бы сопровождаться полным снятием гашения флуоресценции и приводить, как следствие, к значительному увеличению её интенсивности (принцип «Off-On»). При этом в случае взаимодействия только с одним типом анализируемых частиц, снятие гашения флуоресценции было бы лишь частичным и не должно было бы приводить к сколь-нибудь значимому спектральному отклику. В качестве аналитов интерес представляет изучение катионов тяжелых металлов и различных биоаналитов (биотиолов, АФК) (Рисунок 1).

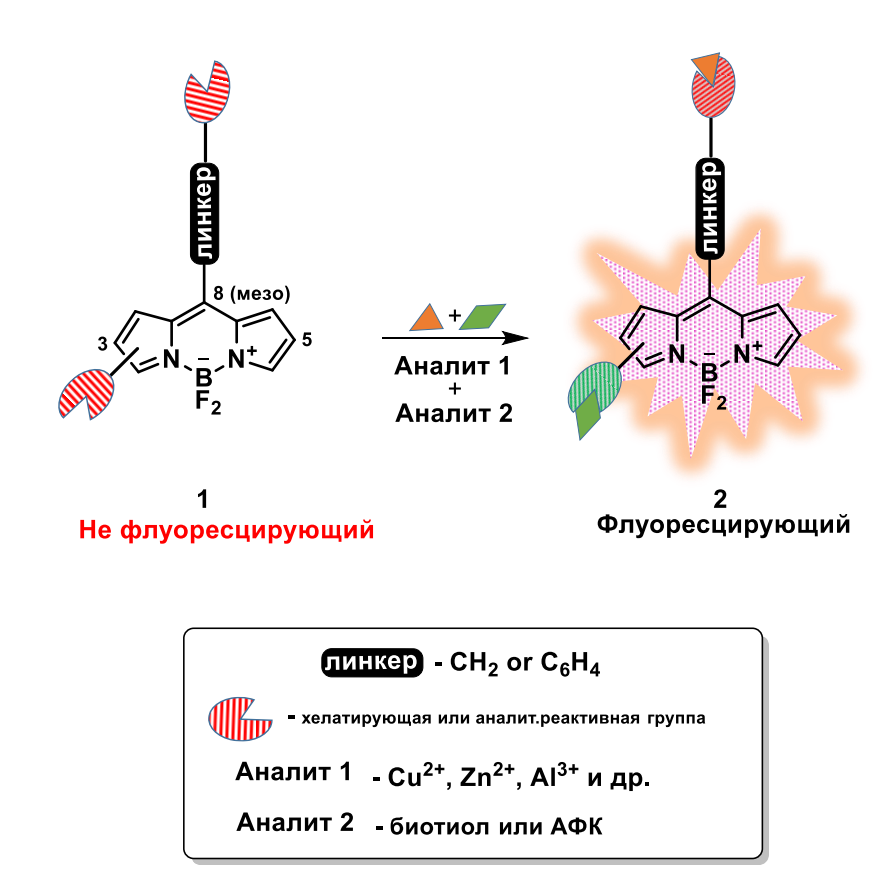


Рисунок 1. Дизайн двумодального сенсора на основе БОДИПИ.

Таким образом, двумодальные сенсоры БОДИПИ могли бы позволить оценивать одновременное наличие в растворе сразу двух анализирумых видов частиц на качественном и количественном уровнях с высокой степенью точности измерений. В связи с этим, целью настоящей работы стала разработка новых двумодальных сенсоров ряда БОДИПИ, перспективных для детектирования присутствия двух различных аналитов в растворах. А именно интерес представляет разработка двумодальных сенсоров на катионы металлов, а также изучение полифенол-БОДИПИ (в 3,5,8 позициях ядра которого фенольные группы) в качестве

универнсальной платформы для создания (моно-) двумодальных сенсоров на катионы металлов и/или биоаналиты. В частности, использование бисфенол-БОДИПИ (3,8-позициях ядра фенольные группы) может быть интересным в качестве удобной платфоромы для создания двумодальных сенсоров.

На первом этапе работы мы обратились к разработке мономодальных сенсоров в ряду БОДИПИ перспективных для создания на их основе целевых двумодальных сенсоров. Перспективным представлялось введение хелатирующих групп, обладающих свойствами РЕТ и ІСТ гасителей, в 8 и 3 положения ядра БОДИПИ через линкеры различной природы, способные существенным образом влиять на геометрию молекулы сенсора. В качестве линкеров были выбраны "жесткий" фениловый и "мягкий" метиленовый. В качестве критериев отбора хелатирующих групп были использованы синтетическая доступность и селективность в отношении катионов тяжелых металлов.

III.1. Разработка сенсоров для детектирования катионов тяжелых металлов

Ионы металлов имеют важное значение в нашей повседневной жизни [68-70]. Такие катионы как Cu⁺, Cu²⁺ и Zn²⁺ участвуют в различных биологических процессах в качестве кофакторов ферментов. Ионы Hg^{2+} , являясь смертельным токсином, обладают высокой проницаемостью через кожу человека и способны вызывать проблемы с дыханием и серьезные повреждения ЦНС [71]. Катионы Al^{3+} сильно токсичны для окружающей среды, опасны для растений и животных. Алюминий не играет важной роли в физиологических процессах в организме человека, но может взаимодействовать с белками, ферментами и коферментами, а также вытеснять биологически важные металлы, такие как магний, кальций и железо [69]. Было показано, что он может связываться с различными секреторными гранулярными белками, вызывая гипопаратиреоз и астеническую болезнь костей [70]. Катионы Zn²⁺ легко поглощаются и накапливаются в тканях растений, при этом корень является основным местом их скопления. Этот металл играет важную роль в процессах, связанных с развитием растения [69]. Между тем, Zn^{2+} токсичен для растений в высоких концентрациях [72, 73]. Cu^{2+} является окислительновосстановительным кофактором многих ферментов в организме человека [74]. Повышение уровня Cu²⁺ в организме может вызвать повреждения желудочно-кишечного тракта, печени или почек [20, 75, 76].

Таким образом, разработка надежных, быстрых и дешевых методов для обнаружения ионов этих металлов имеет большое значение как для охраны окружающей среды, так и для изучения биологических систем. Флуоресцентные методы детектирования обладают значительными преимуществами при обнаружении катионов металлов по сравнению с другими методами детекции, такими как ЯМР, атомно-абсорбционная спектроскопия и масс-спектрометрия, в их числе легкость пробоподготовки, неинвазивность и т.д. [77, 78].

В частности, особого интереса заслуживает разработка флуоресцентных сенсоров, позволяющих детектировать одновременное присутствие в растворе двух различных катионов [79]. Подобные соединения могли бы стать удобными инструментами экологического мониторинга и анализа патологических состояний, сопряженных с каскадными клеточными процессами в которых принимают участие сразу несколько металлов [80-84].

III.1.2. Разработка мономодального флуоресцентного «Off-On» сенсора на катионы Al³⁺

В последнее время аналоги краун-эфиров с открытой цепью, так называемые "псевдокрауны" (Рисунок 2), все больше применяются во флуоресцентном детектировании как

легкодоступные, многообещающие лигирующие агенты для катионов металлов [85]. В группе Юна разработали флуоресцентный сенсор "Off-On" для детектирования Cu^{2+} на основе N,N-бис(2-ацетоксиэтил)амина в качестве рецептороной группы [86].

Рисунок 2. Флуоресцентные сенсоры на основе "псевдо-краун" эфиров.

Группой Чанга был предложен Pb^{2+} - селективный флуоресцентный сенсор на основе N,N-бис(2-этоксикарбонилметокси)этилового хелатора, который эффективен в водных растворах и характеризуется низким пределом обнаружения [87].

Нами был реализован многостадийный синтез неизвестных ранее в литературе соединений S1, S2, S3, S4, S5, продемонстрировавших селективность в отношении Al³⁺ и представляющих собой красители БОДИПИ, модифицированные по *мезо*-положению каркаса «псевдо-азакраун эфирными остатками» (Схема 1). Структура соединений S1-S5 предложена на основе ионного радиуса и координационного числа Al³⁺, ананалогично такому для Cu²⁺ [88]. При этом относительно небольшое изменение структуры хелатора может легко изменить избирательность сенсора. Удлинение "псевдо-краун эфирых остатков", используемых в работах Юна для Cu²⁺, является потенциальной стратегией для разработки сенсора для Al³⁺. Однако, количество координационных центров в структуре хелатора не должно превышать их количество координационных центров в структуре хелатора не должно превышать их количествао заявленное в исследовании Чанга, потому что имеющееся сродство к Pb²⁺ может приводить к снижению селективности сродства к Al³⁺. Флуорофор может влиять на хелатирующую способность рецепторной группы из-за внутри- и межмолекулярной координации и блокировки свободного вращения хелатора [89].

На первом этапе, для введения «псевдо-краун эфирных остатков» $((2-(2-ацетоксиэтокси)этил)(2-ацетоксиэтил)амина и бис(2-ацетоксиэтил)амина к флуорофору БОДИПИ в качестве основных реагентов были получены замещенные бензальдегиды <math>\mathbf{4a}$, $\mathbf{4b}$. Диолы $\mathbf{2a}$, $\mathbf{2b}$ синтезирован по реакции $\mathbf{S}_{\mathrm{N}}^2$ замещения N-(2-гидроксиэтил)анилина с 2-(2-хлорэтокси)этанолом [87]. Реакцией с уксусным ангидридом в пиридине по концевым ОН-

группам соединений **2a**, **2b** были введены ацетатные защитные группы. Формилированием по Вильсмейеру-Хааку *пара*-положения полученных соединений **3a**, **3b** привело к целевым альдегидам **4a**, **4b** с выходами 89% и 83%, соответственно.

Схема 1. Синтез соединений S1-S5.

Опе-роt синтез **S1, S2** и **S3** был осуществлен конденсацией альдегидов **4a, 4b** с пирролами **5, 6** в CH₂Cl₂ путем поэтапной обработки трифторуксусной кислотой (TFA), 2,3-дихлор-5,6-дициано-1,4-бензохиноном (DDQ), триэтиламином и эфиратом трифтористого бора. Гидролиз ацетатных групп в присутствии LiOH в соединениях **S2** и **S3** позволил получить продукты **S4, S5** со свободными концевыми гидроксильными группами с выходами 81% и 78%.

На следующем этапе, с целью изучения взаимосвязи структура-хелатирующие свойства, нами были получены соединения **S6**, **S7**, в которых «псевдо-краун эфирная» ((2-(2-ацетоксиэтокси)этил)(2-ацетоксиэтил)амино группа вводилась в 3- u 5- положения ядра

БОДИПИ через стирильный линкер (Схема 2). Ожидалось, что за счет изменения положения хелатора и природы линкера может быть изменен механизм гашения флуорофора (с РЕТ механизма на ІСТ) [79], что в свою очередь могло привести к изменению фотофизических свойств и селективности сенсора в отношении катионов металлов.

В связи с этим, конденсацией по Кневенагелю из альдегида **4b** с БОДИПИ **7** был синтезирован *3*-замещенный продукт **S6** в качестве основного продукта (выход 43%) и *3,5*-дизамещенное производное **S7** в качестве миноргого продукта (выход 16%).

Схема 2. Синтез соединений S6, S7.

III.1.3 Исследование фотофизических свойств соединений S1, S3, S5, S6, S7 и их способности детектировать Al^{3+}

Полученная серия соединений **S1** - **S7** была исследована методами УФ- и флуоресцентной спектрометрии. Фотофизические данные приведены в таблице 1. В качестве растворителя был использован MeCN (содержание воды менее 5%). Было показано, что все они обладают сродством к катионам алюминия (III).

Таблица 1. Фотофизические данные соединений S1-S7.

Сенсор	λ _{abs} [нм]	ε [M ⁻¹ cm ¹]	λ _{em} [нм]	Φ [b] [%]	Стоксов сдвиг [см ⁻¹]
S1	498	81129	514	< 0.1	625
S3	517	93199	547	< 0.1	1061
S5	521	100000	544	< 0.1	811
S6	613	70031	688	9.5	1779
S7	706	32999	762	3.6	1047

 $^{^{[}a]}$ Спектры записывали в CH $_3$ CN при 298 К. $^{[6]}$ Сульфат хинина был использован в качестве эталона $\Phi=0.55$ в 0.1 М $H_2SO_4,~\lambda_{ex}~=~310$ нм. Все значения Φ_{em} скорректированы с учетом изменений показателя преломления.

Исследование фотофизических свойств соединений **S1**, **S3**, **S5**, **S6**, **S7** в присутствии катионов металлов показали, что соединение **S1** с ядром 2,6-Н-БОДИПИ и соединение **S5**, не содержащие ацетильные группы в хелаторе, малоэффективны для обнаружения $A1^{3+}$. Эти соединения обладали низкой селективностью по отношению к $A1^{3+}$ в присутствии катионов Cu^{2+} , Pb^{2+} , Zn^{2+} , Fe^{3+} , Cr^{3+} и обладали умеренными флуоресцентным откликом (Спектры поглощения и испускания **S1**, **S3**, **S5**, **S6** и **S7** приведены в приложении).

В то же время, соединения **S3**, **S6** и **S7**, полученные из криптопиррола с использованием 2-((2-(2-ацетокси) этил) амино) этилацетатной хелатирующей группы, были перспективны для селективного ратиометрического детектироания в УФ-области и для флуоресцентного обнаружение $A1^{3+}$.

Сенсор **S3** при добавлении A1³⁺ к раствору **S3** (15 µМ в MeCN) интенсивность максимума поглощения постепенно уменьшалась вплоть до образования новой батохромносдвинутой полосы с максимумом при 527 нм. Изобестическая точка наблюдалась при 524 нм (Рисунок 3).

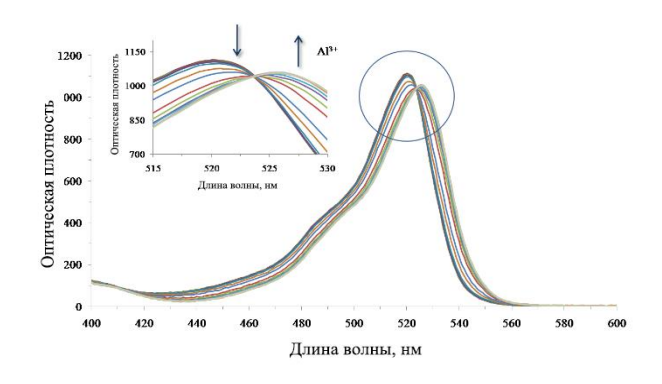


Рисунок 3. Спектры поглощения раствора **S3** (15 μ M) в MeCN с различной концентрацией $A1^{3+}$.

Молярный коэффициент поглощения ${\bf S3}$ в присутствии ${\bf Al^{3+}}$ незначительно изменялся от 9.3×10^4 до 8.6×10^4 М $^{-1}$ см $^{-1}$. При добавлении ${\bf Al^{3+}}$ к раствору ${\bf S3}$ (15 μ M в MeCN, $\lambda_{\rm ex}=504$ нм) снималось гашение флуоресценции из-за координации ${\bf Al^{3+}}$ с аминогруппой, и раствор ${\bf S3}$ приобретал интенсивную зеленую флуоресценцию (Рисунок 4).

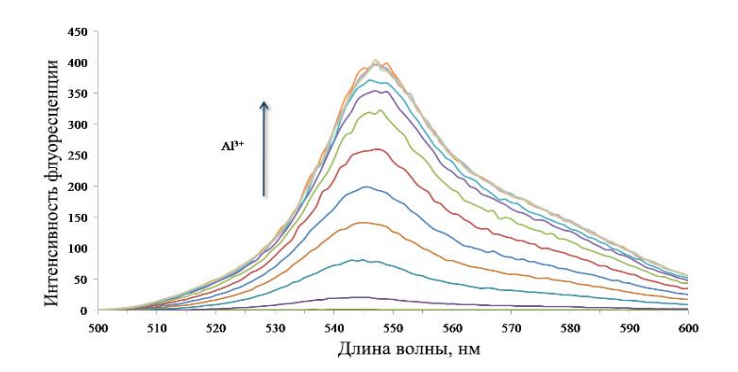


Рисунок 4. Спектры флуоресценции раствора **S3** (15 μ M) в MeCN с различными концентрациями $A1^{3+}$ ($\lambda_{ex} = 504$ нм).

Максимум испускания флуоресценции комплекса S3 с $A1^{3+}$ был равен 547 нм, при этом разгорание флуоресценции (~ 1200-раз) наблюдалось невооруженным глазом. Квантовый выход составил 0.18. Эксперимент Job's plot подтверждает, что соединие S3 образует комплекс $A1^{3+}$ в соотношении 1:1. Эксперименты по титрованию позволили определить константу ассоциации (K_s), равную $3.2 \cdot 10^3$ M^{-1} , что находится в диапазоне значений для хемосенсоров на $A1^{3+}$ [90-92]. Предел обнаружения $A1^{3+}$ с помощью S3 составил 3.8 μ M, что свидетельствует о высокой чувствительности сенсора.

Изменения в спектре поглощения сенсора ${\bf S6}$ при координации ионов ${\bf A1^{3+}}$ гораздо более выражены по сравнению с сенсором ${\bf S3}$ (Рисунок 5). Комплексообразование с ${\bf A1^{3+}}$ вызвало сильный гипсохромный сдвиг максимума поглощения ${\bf S6}$, в результате цвет менялся с синего на фиолетовый. Полоса на 613 нм уменьшалась без заметного сдвига, и сильная полоса поглощения появилась при 573 нм. Молярной коэффициент поглощения изменялся незначительно с 7.0×10^4 до 6.9×10^4 М $^{-1}$ см $^{-1}$ при связывании ${\bf A1^{3+}}$.

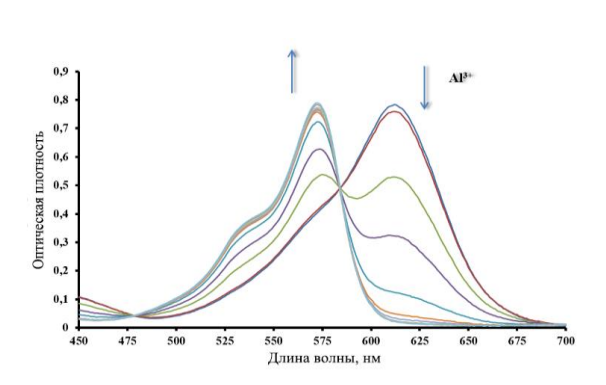


Рисунок 5. Спектры поглощения раствора **S6** (15 μ M) в MeCN с различной концентрацией $A1^{3+}$.

При добавлении Al^{3+} к раствору **S6** (15 μ M в MeCN, $\lambda_{ex} = 580$ нм) происходило более чем 1000-крпатное разгорание флуоресценции при 595 нм. Квантовый выход связанного сенсора 0.34 (Рисунок 6).

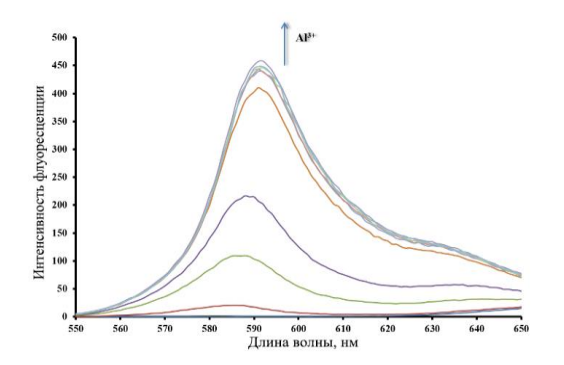


Рисунок 6. Спектры флуоресценции раствора **S6** (15 μ M) в MeCN с различными концентрациями $A1^{3+}$ ($\lambda_{ex} = 560$ нм).

Анализ связывания сенсора $\mathbf{S6}$ с $\mathrm{Al^{3+}}$ с использованием Job's plot показал, что происходит образование комплекса состава 1:2. Константа стабильности комплекса, образованного между ионами $\mathrm{Al^{3+}}$ и соединением $\mathbf{S6}$ в ацетонитриле, рассчитанная с помощью спектрофотометрии в УФ-видимой области составила, $\log\beta=12.34$. Предел обнаружения $\mathrm{Al^{3+}}$ сенсором $\mathbf{S6}$ составил 1.6 μ M.

При добавлении $A1^{3+}$ к раствору сенсора **S7** наблюдалось появление двух новых максимумов в спектрах поглощения при 627 нм и 583 нм, сопровождаемые изменением цвета раствора с зеленого на красновато-синий (Рисунок 7).

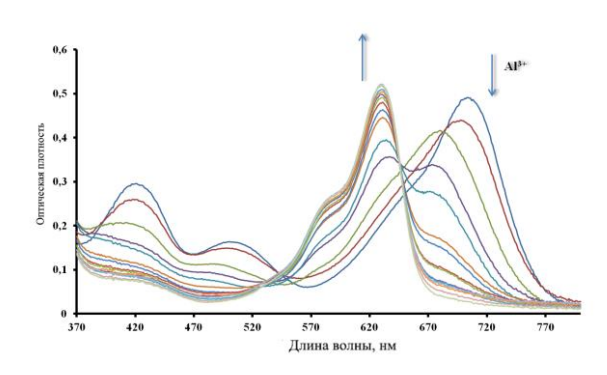


Рисунок 7. Спектры поглощения раствора **S7** (15 μ M) в MeCN с различными концентрациями Al^{3+} .

Максимум поглощения при 706 нм уменьшился. С постепенным добавлением $A1^{3+}$ наблюдались две изобестические точки при 684 нм и 646 нм, что указывает на ступенчатое образование комплексов разной стехиометрии.

Интенсивность флуоресценции хемосенсора **S7** (15 μ M в MeCN, λ_{ex} = 640 нм) постепенно увеличивалась с увеличением концентрации Al^{3+} (Рисунок 7).

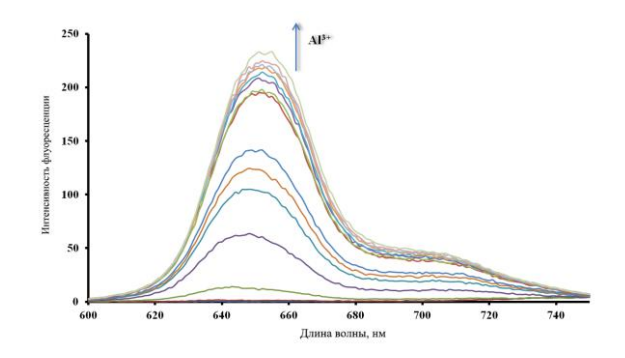


Рисунок 8. Спектры флуоресценции раствора **S7** (15 μ M) в MeCN с различными концентрациями $A1^{3+}$ ($\lambda_{ex} = 640$ нм).

Интенсивность флуоресценции в спектрах S7 при 652 нм увеличилась примерно в 1400 раз при добавлении одного эквивалента $A1^{3+}$ и достигла максимального значения при добавлении 2 эквивалентов $A1^{3+}$ (квантовый выход связанного сенсора равен 0.31). Эксперимент подтвердил двухстадийное комплексообразование сенсора S7. Вероятно S7 способен образовывать комплекс с $A1^{3+}$ в соотношении 1:1 и 1:2.

Затем были исследованы флуоресцентные отклики **S3**, **S6** и **S7** на различные катионы и их селективность в отношении Al^{3+} . Существенные спектральные изменения для сенсора **S3** наблюдались только в случае Al^{3+} . Так, добавление Al^{3+} к сенсору **S3** вызвало 1200-кратное усиление флуоресценции. В тех же условиях добавление Cr^{3+} привело только к 90-кратному усилению флуоресценции соответственно (Рисунок 9). Другие катионы, такие как Li^+ , Na^+ , K^+ , Ca^{2+} , Ag^+ , Cd^{2+} , Zn^{2+} , Co^{2+} , Fe^{2+} , Fe^{3+} , Pb^{2+} , Hg^{2+} , Mg^{2+} , Mn^{2+} , Ni^{2+} и Ba^{2+} , встречающиеся в

высоких концентрации в физиологических условиях, не влияли на спектры испускания соединения S3.

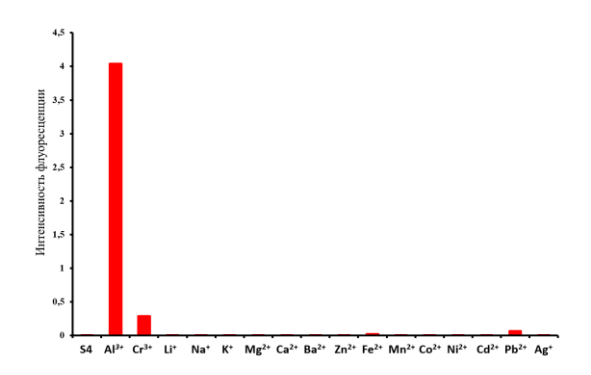


Рисунок 9. Флуоресцентный отклик раствора **S3** (15 μ M) при добавлении катионов Li⁺, Na⁺, K⁺, Ca²⁺, Ag⁺, Cd²⁺, Zn²⁺, Co²⁺, Fe²⁺, Fe³⁺, Pb²⁺, Hg²⁺, Mg²⁺, Mn²⁺, Ni²⁺ и Ba²⁺(15 μ M) в MeCN, λ_{ex} =504 нм.

Для дальнейшего изучения перспективности соединения S3 как ионоселективного флуоресцентного хемосенсора на $A1^{3+}$ мы провели эксперименты в присутствии 1 экв. $A1^{3+}$ и смеси 10 экв. катионов других металлов; при этом не наблюдались значительные изменения интенсивности флуоресценции по сравнению с измеренным в отсутствие ионов других металлов кроме 1 экв. $A1^{3+}$.

Сенсор **S6** оказался менее селективным (Рисунок 10). При добавлении различных катионов металлов, в том числе алюминия. Такие катионы как Li⁺, Na⁺, K⁺, Mg²⁺, Ca²⁺, Ba²⁺, Zn²⁺, Mn²⁺, Ni²⁺, Co²⁺, Cu²⁺, Fe³⁺, Cd²⁺, Hg²⁺, Pb²⁺и Ag⁺ не влияют на повышение интенсивности флуоресценции S6. Добавление ионов Al³⁺ и Cr³⁺ сопровождалось 1000-кратным разгоранием флуоресценции при 591 нм.

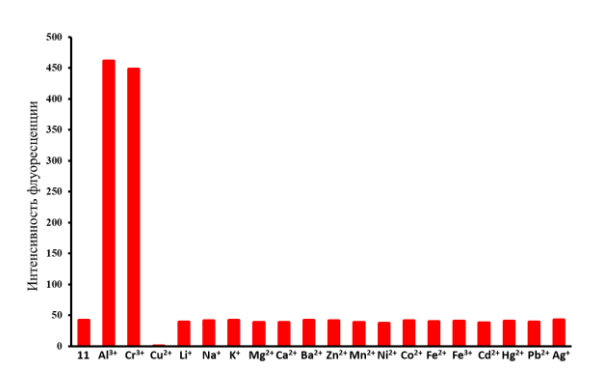


Рисунок 10. Флуоресцентный отклик раствора **S6** (15 μ M) при добавлении катионов различных металлов (15 μ M) в MeCN, λ_{ex} =560 нм.

Отношение интенсивностей флуоресценции I_{Al3+} / I_{Cr3+} сенсора ${\bf S6}$, измеренное в присутствие Al^{3+} и Cr^{3+} составляло 1:1. Обработка сенсора ${\bf S6}$ другим ионами металлов, даже в количестве 10 экв., не привела к значительным изменениям.

Существенные спектральные изменения для сенсора **S7** наблюдались только в случае Al^{3+} и Cr^{3+} . Отношение интенсивностей флуоресценции I_{Al3+} / I_{Cr3+} сенсора **S7**, измеренное в присутствии Al^{3+} и Cr^{3+} , составляло 1.7:1. Ионы Cu^{2+} и Fe^{3+} снижают интенсивность испускания сенсора **S7** (Рисунок 11).

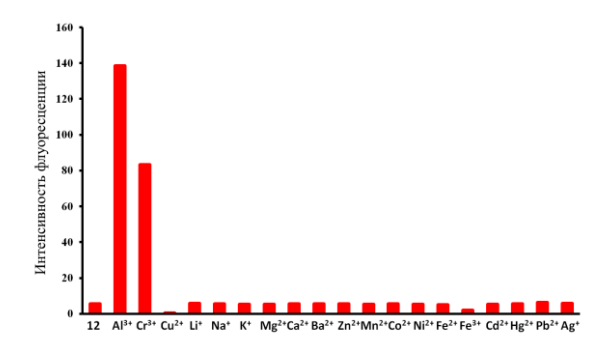


Рисунок 11. Флуоресцентный отклик раствора **S7** (15 μ M) при добавлении катионов различных металлов (15 μ M) в MeCN, λ_{ex} =640 нм.

Увеличение интенсивности испускания сенсора **S7** не происходило в присутствии 10 экв. избытка других катионов металлов, таких как Fe^{2+} , Mg^{2+} , Pb^{2+} , Hg^{2+} , Ni^{2+} , Co^{2+} , Zn^{2+} , Cd^{2+} , Ag^+ , Ba^{2+} , Ca^{2+} , Li^+ , Na^+ и K^+ .

 1 Н-ЯМР титрование в CH₃CN было использовано для исследования природы связывания сенсора **S3** и $A1^{3+}$. Химические сдвиги протонов сенсора до и после добавления $A1^{3+}$ изображены на рисунке 12. В присутствии $A1^{3+}$ (0-1.1 экв.), протоны боковой цепи a, b, c, d и e сдвигаются с уширением сигнала примерно на 0.4-0.6 м.д в сторону сильного поля. Сигналы протонов g и h фенильного кольца при 6.94 м.д. и 6.09 м.д. смещаются до 7.67 м.д. и 7.75 м.д.

соответственно. Это указывает на то, что азот учавствует в комплексообразовании с Al^{3+} . Стоит отметить, что цепные протоны f были индифферентны к добавлению Al^{3+} , следовательно, группа CH_2^fOAc не учавствует в координировании металла.

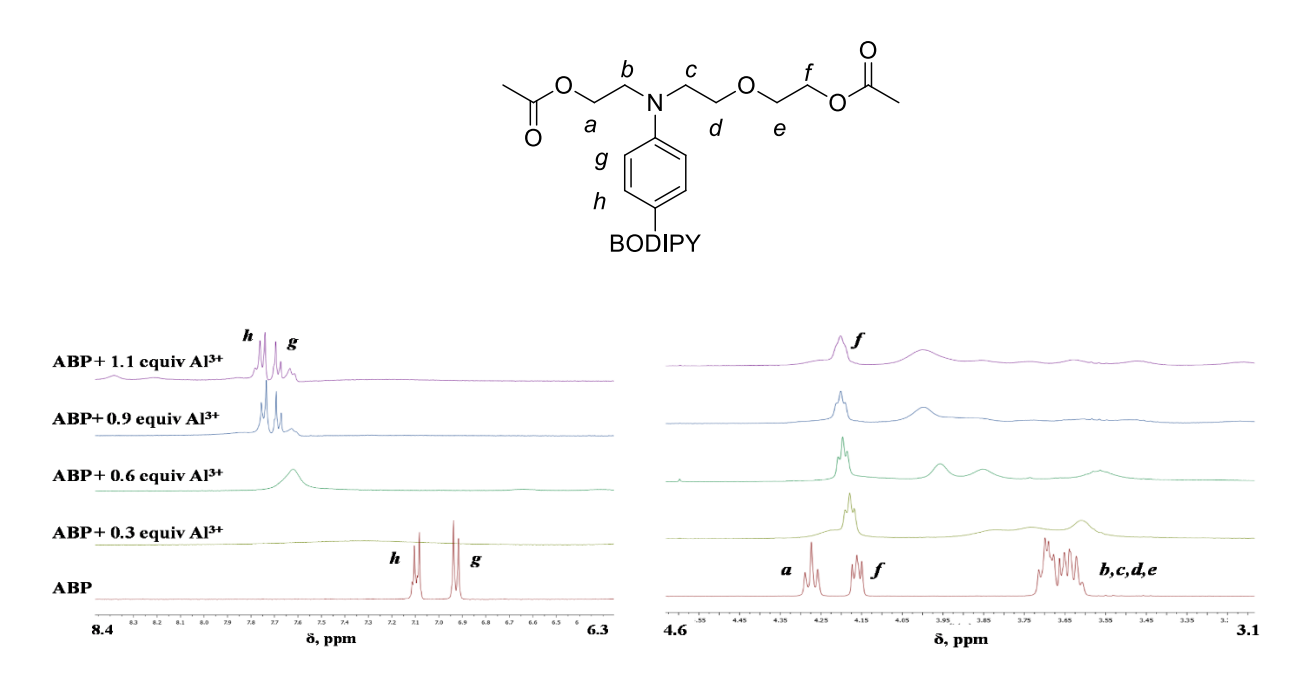


Рисунок 12. 1 Н ЯМР титрование соединения **S3** с Al^{3+} в MeCN.

Таким образом, мы синтезировали и охарактеризовали пять новых "Off-On" сенсорных молекул на основе «псевдо-краунов», которые оказались селективны в отношении Al^{3+} . Исследования показали, что соединение **S1** с ядром 2,6-H-БОДИПИ и соединение **S5** без ацетильной группы в хелаторе малоэффективны для обнаружения Al^{3+} .

Между тем, соединение S3, с 2-((2-(2-ацетоксиэтокси)этил)амино)этилацетатной группой может быть использован во флуоресценцентных исследованиях, тогда как сенсоры S6 и \$7 могут быть использованы через два разных канала – детектированием УФ и откликом флуоресценции. Максимальная интенсивность флуоресценции для сенсоров S3, S6 и S7 была достигнута добавлением 0.5 - 2 эквивалентов $A1^{3+}$, а пределы обнаружения оказались низкими. Наблюдаемые изменения цвета или усиление флуоресцентного испускания могут быть объяснены связыванием $A1^{3+}$ с 2-((2-(2-ацетоксиэтокси)этил)амино)этилацетатным фрагментом, что снимает гашение с ядра БОДИПИ. Сенсоры S3, S6 и S7 не разгораются в присутствии множества ионов, включая биологически необходимые Mg^{2+} , Ca^{2+} и Fe^{3+} . Таким образом, наши сенсорные молекулы могут быть использованы для ратиометрического определения $A1^{3+}$ в ацетонитриле, так 2-((2-(2аналитических сенсорах ацетоксиэтокси)этил)амино)этилацетатый хелатор может найти применение в качестве легкодоступного хелатора для разработки $A1^{3+}$ -селективных флуоресцентных сенсоров.

III.1.4. Разработка флуоресцентного «Off-On» сенсора на катионы Cu²⁺

На предыдущем этапе работы изучение *мезо-*, *3- и 5-* положения каркаса БОДИПИ показало, что *мезо-*положение наиболее эффективно для создания чувствительного и селективного сенсора на основе «псевдо-краун» эфиров. Поэтому на следующем этапе нашей работы интерес представляло создание соединений, в которых "псевдо-краун эфирная" группа вводилась в *мезо-*положение ядра БОДИПИ через метиленовый линкер. Ожидалось, что из-за уменьшения длины линкера может быть существенным образом изменена селективность сенсоров, в связи со стерическим затруднением для координации ионов металлов рецепторной группы, вызываемых флуоресцентным ядром.

Нами был реализован многостадийный синтез неизвестных ранее в литературе соединений **S8**, **S9**, **S10**, **S11**, **S12**, представляющих собой красители БОДИПИ, модифицированные по *мезо*-положению каркаса "псевдо-краун эфирная" через СН₂-группу (Схема 3).

Конденсацией этаноламина **8** с 2,2-хлорэтоксиэтаном **9** был получен диол **10**. Затем соединение **10** было обрабатано последовательно ди-третбутилкарбонатом и уксусным ангидридом, что позволило защитить атом азота Вос-защитой, а гидрокси-группы — ацетатными остатками. Вос-защиту в соединении **11** сняли путем обработки хлороводородистой кислотой в диоксане при комнатной температуре. В результате был синтезирован хелатор **12** выход которого на три стадии составил 27%.

Далее были синтезированы симметричные хелатирующие группы **16** и **17**. Обработка диола **13** ди-третбутилкарбонатом в этилацетате привела к соединению **14**. Последнее было без выделения введено в реакцию с уксусным ангидридом, что позволило выделить продукт **15** с выходом 83%. Вос-защиту в соединении **15** сняли путем обработки хлороводородистой кислотой в диоксане при комнатной температуре. В результате чего с выходом 88% был получен хелатор **16**. Кипячением диола **14** с 2-(хлорметил)пиридином в тетрагидрофуране получили хелатирующую группу **17**, известную в литературе как селективную к ионам Hg²⁺ [93].

Схема 3. Синтез целевых соединений S8-S12.

Необходимый в синтезе 8-хлорметил БОДИПИ **18** был получен с выходом 39%, согласно литературной методике [94], последовательной конденсацией криптопиррола с хлорацетилхлоридом и комплексообразованием получившегося дипиррометена с эфиратом

трехфтористого бора. Реакции нуклеофильного замещения между Cl-БОДИПИ **18** и хелаторами **10, 12, 13, 16, 17** позволили получить серию соединений **S8-S12** с выходами 16-46%.

III.1.5 Исследование фотофизических свойств соединений S8 - S12 и их способности детектировать Cu^{2+}

Соединения ${\bf S8}$ – ${\bf S12}$ были исследована методами ${\bf У\Phi}$ - и флуоресцентной спектрометрии.

Для соединений **S8-S12** были сняты спектры поглощения и спектр испускания флуоресценции в сухом MeCN (содержание воды менее 5%) при комнатной температуре. Полученные фотофизические данные приведены в таблице 2.

Таблица 2. Данные по поглощению и флуоресценции при комнатной температуре.

Сенсор	λ _{abs} [нм]	ε [M ⁻¹ cm ¹]	λ _{em} [нм]	Φ [b] [%]	Стоксов сдвиг [см ⁻¹]
S8	535	61925	556	1.2	708
S9	537	74533	557	0.6	668
S10	534	53566	556	1.1	741
S11	537	73792	555	2.9	663
S12	534	60613	555	1.2	708

 $^{^{[}a]}$ Спектры записывали в CH₃CN при 298 К. $^{[6]}$ Сульфат хинина был использован в качестве эталона $\Phi=0.55$ в 0.1 М $\,$ H₂SO₄, $\,\lambda_{ex}=310\,$ нм. Все значения Φ_{em} скорректированы с учетом изменений показателя преломления.

Все исследованные соединения демонстрировали профиль поглощения, типичный для производных БОДИПИ: сильное поглощение в области 534–537 нм с относительно высокими молекулярными коэффициентами поглощения (спектры поглощения и испускания соединений **S8**, **S9**, **S11**, **S12** приведены в Приложениие) 50000–75000 М ⁻¹ см ⁻¹[11, 14, 95]. В качестве примера спектры поглощения и испускания соедиения **S10** показаны на рисунке 13.

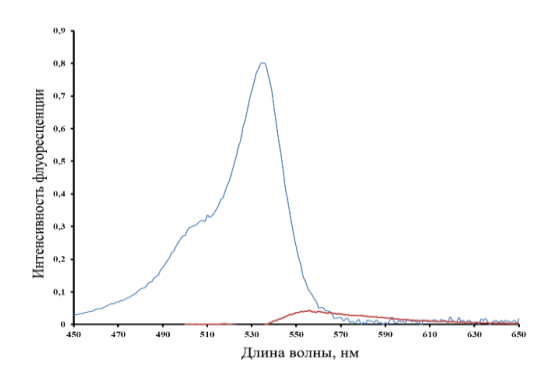


Рисунок 13. Спектры поглощения и испускания раствора **S10** (15 μ M) в MeCN, $\lambda_{ex} = 515$ нм.

Сравнение спектров поглощения соединения **S10** ($\lambda_{abs} = 534$ нм, CH₃CN) с литературными данными для наиболее близкого известного структурного аналога 8- (CH₂NEt₂)-БОДИПИ ($\lambda_{abs} = 501$ нм, CHCl₃) [96], выявило тенденцию к смещению максимума поглощения в длинноволновую область. В тоже время, коэффициент экстинкции для соединения **S10** ($\epsilon = 5.3$ × 10^4 M⁻¹cm⁻¹) был ниже, чем для 8- (CH₂NEt₂) -БОДИПИ ($\epsilon = 7.0 \times 10^4$ M⁻¹cm⁻¹) [96].

В спектрах флуоресценции всех исследованных соединений максимум испускания располагался между 555 и 557 нм. Стоксов сдвиг (разница между λ_{em} и λ_{abs}) для всех красителей **S8-S12** был больше, чем для литературных аналогов - мезо-CH₂NR₂ замещенных БОДИПИ (т.е. 660 см $^{-1}$)[97-99]. Особенно ярко эта тенденция наблюдалась для БОДИПИ с ОН-группами **S8** и **S10** (708 и 741 см $^{-1}$). Низкие значения Φ_F для всех исследованных соединения **S8-S12** (\leq 0,03 в МеСN) объясняются гашением флуоресценции по механизму РЕТ с участием неподеленной пары атома азота "псевдо-краун группы"[15].

Было изучено влияние различных катионов на фотофизические свойства синтезированных красителей S8-S12. Исследование соединений S8, S9 и S11 показало, что они не обладали селективностью к Cu^{2+} в присутствии Al^{3+} , Fe^{3+} и Cr^{3+} . Данные об их спектральных свойствах в присутствии различных катионов металлов приведены в Приложении. Напротив, соединение **S10**, полученное с использованием 2,2'-азандилдиэтанола, в качестве хелатирующей группы, проявляет себя как перспективное для селективного ратиометрического определения Cu^{2+} в УФ-видимом диапазоне или за счет "Off-On" разгорания флуоресценции. Спектр поглощения раствора ${\bf S10}$ не изменился при добавлении ${\bf Li^+},\,{\bf Na^+},\,{\bf K^+},\,{\bf Ca^{2+}},\,{\bf Ag^+},\,{\bf Cd^{2+}},\,{\bf Zn^{2+}},\,{\bf Co^{2+}},$ Fe^{2+} , Fe^{3+} , Pb^{2+} , Hg^{2+} , Mg^{2+} , Mn^{2+} , Ni^{2+} и Ba^{2+} . В тоже время как при добавлении Cu^{2+} к ${\bf S10}$ (15) μМ в MeCN) интенсивность максимума поглощения постепенно снижалась после образования новой батохромно смещенной полосы с масимумом при 547 нм (Рисунок 14). При связывании ${\rm Cu}^{2+}$ молярный коэффициент поглощения изменился от 5.3 · 10⁴ до 2.6 · 10⁴ M $^{-1}$ · см $^{-1}$.

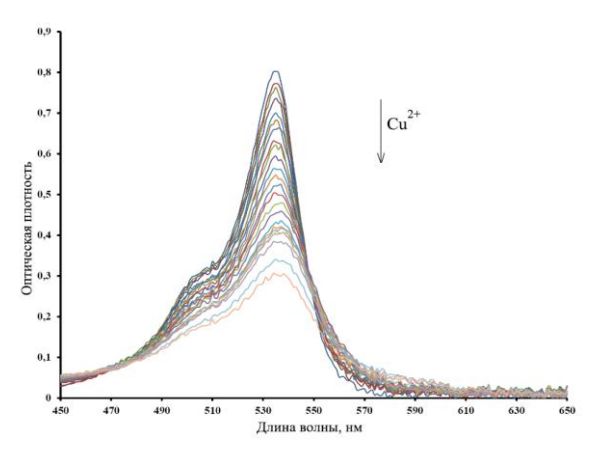


Рисунок 14. Спектры поглощения **S10** (15 μ M) в MeCN при различных концентрациях Cu²⁺(0-2.0 экв.).

Флуоресцентные свойства раствора сенсора **S10** очень сильно изменялись в присутствии Cu^{2+} (Рисунок 15). В эксперименте можно было наблюдать, что добавление одного эквивалента Cu^{2+} вызывает усиление интенсивности флуоресценции **S10** (от $\Phi = 1.1\%$ для **S10** до $\Phi = 14\%$ для комплекса **S10** с ионами Cu^{2+}).

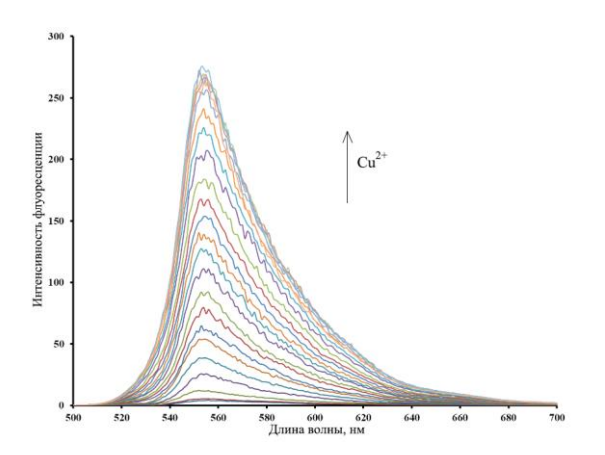


Рисунок 15. Спектр испускания раствора **10** (15 μ M) в MeCN, $\lambda_{ex} = 515$ нм, при различных концентрациях Cu²⁺(0-2.0 экв.), $\lambda_{ex} = 515$ нм.

Этот факт может быть объяснён снятием гашения флуоресценции по механизму РЕТ, в результате участия неподеленной пары атома азота хелатора в координации Cu^{2+} [100]. Примечательно, что другие катионы, которые встречаются в высоких концентрациях в физиологических условиях, не влияли на флуоресценцию раствора **S10** даже в случае их присутствия в избытке. Для демонстрации селективности **S10** для Cu^{2+} спектры испускания регистрировали в присутствии одного эквивалента Cu^{2+} и 10-кратного избытка Li^+ , Na^+ , K^+ , Ca^{2+} , Ag^+ , Cd^{2+} , Zn^{2+} , Co^{2+} , Fe^{2+} , Fe^{3+} , Pb^{2+} , Hg^{2+} , Mg^{2+} , Mn^{2+} , Ni^{2+} и Ba^{2+} (Рисунок 16).

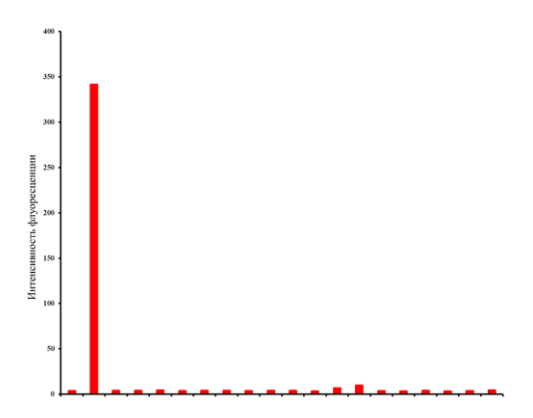


Рисунок 16. Флуоресцентный отклик раствора **S10** (15 μ M) при добавлении катионов металлов Li⁺, Na⁺, K⁺, Ca²⁺, Ag⁺, Cd²⁺, Zn²⁺, Co²⁺, Fe²⁺, Fe³⁺, Pb²⁺, Hg²⁺, Mg²⁺, Mn²⁺, Ni²⁺ и Ba²⁺ 10 экв. (15 μ M) в MeCN, λ_{ex} =515 нм.

Разгорание флуоресценции возникало даже в присутствии большого количества различных катионов. Эта информация о селективности делает сенсор ${\bf S10}$ перспективным флуоресцентным сенсором для ионов ${\bf Cu}^{2+}$.

III.1.6. Разработка флуоресцентного «Off-On» сенсора на катионы Zn²⁺

Флуоресцентные сенсоры на основе ди(2-пиколил)аминовых производных (DPA) обладали высоким потенциалом для детектирования Zn^{2+} . В связи с этим, на следующем этапе работы нами было получено ранее не известное соединение **S13**, представляющее собой каркас БОДИПИ, модифицированный DPA по мезо–положению с использованием метиленового линкера (Схема 4).

Синтез **S13** был реализован из мезо-СН₂-Сl-БОДИПИ **18** конденсацией с дипиколиламином **19**. Выход продукты после осчистки колоночной хромотографией составил 31%.

Схема 4. Синтез соединения S13.

Для соединения **S13** были сняты спектры испускания флуоресценции и поглощения в MeCN. Свободный сенсор характеризовался максимумом поглощения при 538 нм и дополнительный максимум при 506 нм. Было обнаружено, что коэффициент экстинкции у

соединения **S13** достаточно высокий ($\varepsilon = 22000~\text{M}^{-1}~\text{см}^{-1}$), а квантовый выход свободного сенсора низкий (0.06~в MeCN/H₂O, 1:3) из-за тушения флуоресценции ядра БОДИПИ по РЕТ-механизму при участии неподеленной пары азота аминового заместителя.

Добавление Zn^{2+} к раствору **S13** приводило к сильным изменениям в спектрах поглощения и флуоресценции. Максимум поглощения комплекса **S13** с Zn^{2+} в MeCN смещался в длинноволновую область до 556 нм. Молярный коэффициент поглощения изменялся незначительно с 22000 M^{-1} см⁻¹ до 16000 M^{-1} см⁻¹ при связывании с Zn^{2+} . Небольшое снижение интенсивности максимума поглощения наблюдалось при добавлении более чем 1 эквивалента Zn^{2+} . После добавления Zn^{2+} к раствору **S13** в MeCN наблюдалось 21 кратное разгорание флуоресценции ($\lambda_{em} = 610$ нм) (Рисунок 17, 18). Было показано, что флуоресцентный отклик типа "Off-On" для **S13** при комплексообразовании с Zn^{2+} наблюдается в различных буферных растворах. Сильное увеличение квантового выхода наблюдалось в воде, MES, MOPS и HEPES (~ 8-16 раз); в растворе трис-HC1 интенсивность флуоресцентного отклика было ниже почти вдвое (Рисунок 19).

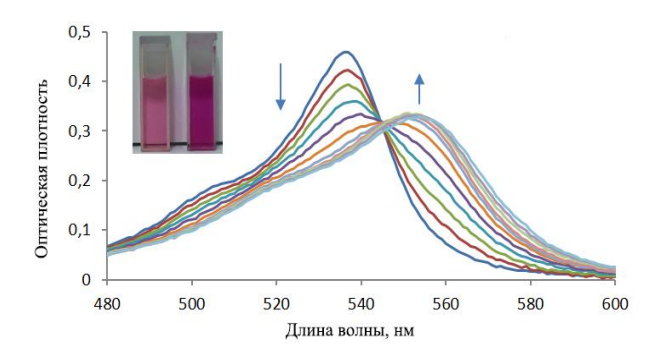


Рисунок 17. Спектры абсорбционного титрования **S13** (10^{-5} М) при добавлении Zn^{2+} (0 - 1.1 экв.) в MeCN.

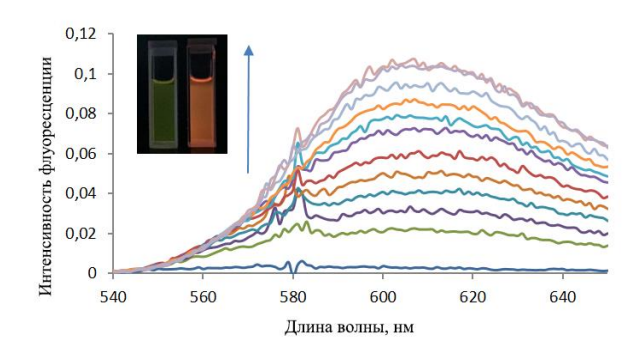


Рисунок 18. Спектры флуоресцентного титрования **S13** (10^{-5} М) при добавлении Zn^{2+} (0-1.1 экв.) в MeCN ($\lambda_{ex} = 580$ нм).

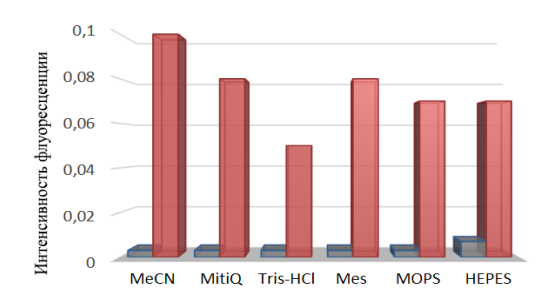


Рисунок 19. Интенсивности флуоресценции раствора соединения **S13** (10 μ M) при добавлении Zn²⁺ (1 экв.) в различных растворителях, включая MeCN и буферные растворы: трис-HCl (pH = 7.5), MES (pH = 6.0), MOPS (pH = 7.5), HEPES (pH = 7.5). Серые столбцы представляют свободный **S13**, красные столбцы представляют добавление Zn²⁺ (1 экв.) к растворам **S13**.

Был изучен флуоресцентный отклик S13 на различные катионы металлов и его селективность в отношении Zn^{2+} (Рисунок 20).

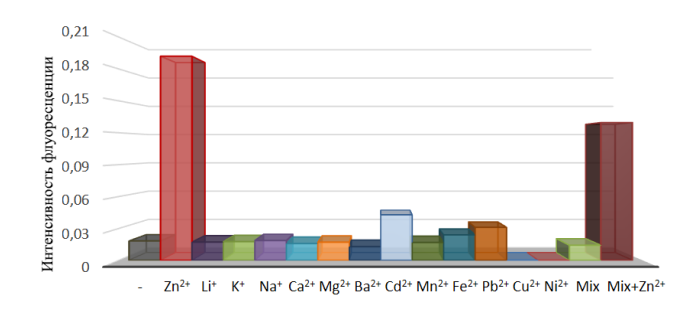


Рисунок 20. Интенсивность флуоресценции **S13** (10 μ M) в смеси MeCN/H₂O (1:3 при добвлении различных катионов металлов). Первый серый столбец отвечает свободному **S13**; следующие 13 цветных столбцов отвечают добавлению **S13** (10 μ M) разных конкурирующих катионов (1 экв.) последовательно: Zn²⁺, Li+, K⁺, Na⁺, Ca²⁺, Mg²⁺, Ba²⁺, Cd²⁺, Mn²⁺, Fe³⁺, Pb²⁺, Cu²⁺, Ni²⁺; зеленый (14-й) столбец отвечает добавлению к раствору **S13** (10 μ M) к смеси катионов (10 экв.) Li⁺, K⁺, Na⁺, Ca²⁺, Mg²⁺, Ba²⁺, Cd²⁺, Mn²⁺, Fe³⁺, Pb²⁺; последний темно-красный столбец отвечает добавлению Zn²⁺ к раствору **S13** в присувтствии той же смеси катионов.

При добавлении катионов Li⁺, K⁺, Na⁺, Ca²⁺, Mg²⁺, Ba²⁺ и Mn²⁺ не происходило разгорание флуоресценции. Катионы переходных металлов, а именно Fe²⁺, Pb²⁺ и Cd²⁺, связываясь с **S13**, приводили к незначительному разгоранию флуоресценции. Ионы Ni²⁺ и Cu²⁺ действуют как гасители флуоресценции. Для дальнейшего изучения возможности использования **S13** в качестве селективного хемосенсора для детектирования Zn²⁺, провели конкурентные эксперименты в присутствии Zn²⁺ с концентрацией 1.0×10^{-5} М и смеси Li⁺, K⁺, Na⁺, Ca²⁺, Mg²⁺, Ba²⁺, Cd²⁺, Mn²⁺, Fe²⁺ и Pb²⁺ с концентрацией 1.0×10^{-5} М; эксперимент не

показал существенных изменений интенсивности флуоресценции по сравнению с измеренной интенсивностью в отсутствии других ионов металлов кроме Zn^{2+} . Приведенные выше результаты свидетельствуют о хорошей селективности S13 по отношению к катионам Zn^{2+} .

Цинк в большом количестве содержится в земной коре и является вторым, после железа, наиболее распространенным переходным металлом в растениях [101]. Оценка содержания свободного и слабосвязанного Zn²⁺ в клетках растений является актуальной проблемой экологического мониторинга в крупных мегапролисах. По этой причине способность сенсора S13 специфически определять ионы цинка in vivo была испытана на корнях растения Brassica *пария*. Сенсор показал хорошее диффузное окрашивание клеток корня. Обработка раствором сенсора корней, выращенных в течение 3 дней в присутствии избытка Zn²⁺ (250 µM), привела к яркому окрашиванию с хорошо видимыми скоплениями металла в цитоплазме. Характерное увеличение флуоресценции в корнях канолы (Brassica napus) вызывалось только избытком цинка, который локализовался преимущественно в клетках ризодермы. Другие катионы металлов, такие как Cd^{2+} , Co^{2+} не вызывали существенного повышения уровня флуоресценции по сравнению с контрольными образцами корней, а Cu²⁺ вызвал резкое снижение уровня Таким образом, **S13** продемонстрировал способность флуоресценции. специфичностью выявлять избыток цинка в корнях растений. Сравнение окрашивание корней сенсором **S13** и Newport GreenTM выявило ряд преимуществ **S13**, а именно сенсор **S13** показал более низкое фоновое окрашивание тканей и лучшую фотостабильность.

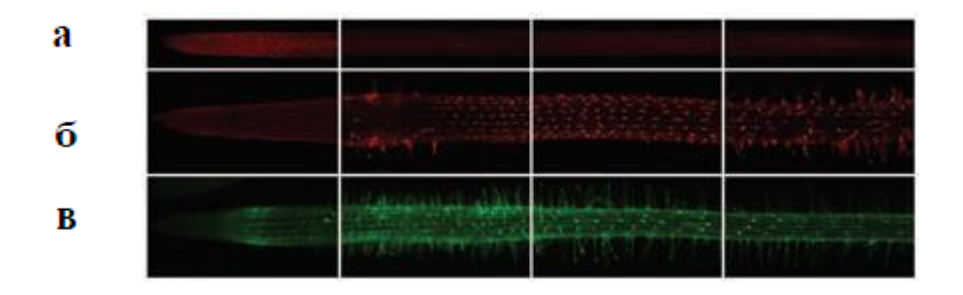


Рисунок 21. Окрашевание корней *Brassica napus L.*, обработанных (a) **S13** (контроль), (б) **S13** и Zn^{2+} , (в) сенсор Newport GreenTM DCF и Zn^{2+} .

Подводя итог работы по разработке мономодальных сенсоров на катионы тяжелых металлов, можно отметить, что: 1) был разработан новый сенсор S3 для селективного детектирования катинов $A1^{3+}$; 2) был разработан сенсор S10 для селективного детектирования катионов Cu^{2+} ; 3) был получен сенсор S13 эффективный для детектирования Zn^{2+} *in vivo*. Структуры сенсоров S3, S10, S13 в дальнейшем были использованы нами для разработки целевых двумодальных молекул.

III.1.7 Разработка бимодального флуоресцентного "Off- On" сенсора на Al3+ и Zn2+

Для получения двумодальных сенсоров на катионы металлов нами была изучена возможность модификации исследованных нами мономодальных сенсоров в 3-м положении молекулы БОДИПИ хелатирующей группой. На начальном этапе работы нами были предприняты попытки получения двумодальных сенсоров на основе красителей БОДИПИ **S10**, **S13**, содержащих хелатирующие группы, селективные в отношении Cu²⁺ Zn²⁺, связанные с ядром БОДИПИ через метиленовый линкер. В качестве базовой стратегии синтеза была выбрана конденсация Кневенагеля, широко применяемая для модификации ядра БОДИПИ (Рисунок 22).

Было найдено, что в стандартных условиях (кипячение в толуоле/бензоле с насадкой Дина-Старка) реакции **S10** и **S13** с замещенными бензальдегидами **13**, **16**, **17** к целевым двумодальным сенсорам не приводили. Во всех случаях не зависимо от температурного режима, растворителя и давления в системе, наблюдалась лишь деградация исходных соединений.

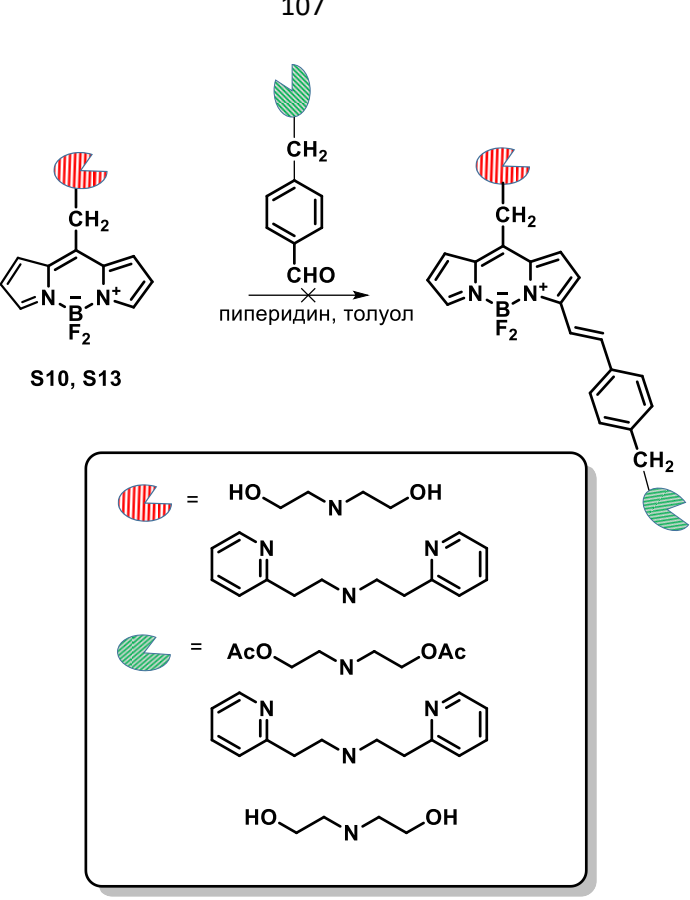


Рисунок 22. Реакция Кневенагеля красителей S10 и S13 с функционализированными бензальдегидамии.

В связи с чем на следующем этапе мы сфокусировали наши усилия на получении двумодальных молекул на основе соединения S3 селективного в отношении $A1^{3+}$. "Псевдокраун" эфирная хелактирующая группа в его структуре соединнялась с флуоресцентным ядром БОДИПИ через фенильный линкер, что позволило надеятся на его стабильность в условиях конденсации Кневенагеля. В три стадии из соединения S3 и анилина 20 нами был синтезирован двумодальный сенсор S14 (Схема 5), содержащший в 3-м положении дипикалиламиновый фрагмент, селективный в отношении Zn²⁺. Обработка анилина **20** хлорметилпиридином привела к производному 21, формилирование которого по Вейсмееру-Хааку позволило получить альдегид 22. Конденсация последнего с соединением S3 при кипячении в сухом толуоле с насадкой Дина-Старка сопровождалось образованием целевого S14. Выход продукта на последней стадии, после очистики колоночной хромотографией, составил 3%.

Схема 5. Синтез соединения S14.

III.1.8. Исследование фотофизических свойств соединения S14

Соединение **S14** было исследовано в ультрафиолетовой области и области видимого света спектрами поглощения и флуоресценции в MeCN, $\lambda_{ex} = 580$ нм. В спектре поглощения **S14** демонстрировал относительно широкую полосу поглощения при 606 нм.

Сенсор **S14** имел высокий молярный коэффициент поглощения (ϵ =9.4×10⁴ M⁻¹ cм⁻¹). Спектры флуоресценции **S14** демонстрировали широкую полосу испускания низкой интенсивности при 678 нм. Квантовый выход свободного сенсора, загашенного фотоиндуцированным переносом электрона с аминогруппы на ядро БОДИПИ, был рассчитан в ацетонитриле при концентрации 3 μ M и составил Φ ≤ 0.15%. Добавление 1 экв. Zn^{2+} и Al^{3+} к раствору **S14** (15 μ M в MeCN) сопровождалось образованием новых полос поглощения со сдвигом до 575 нм и до 595 нм соответственно (Рисунок 23).

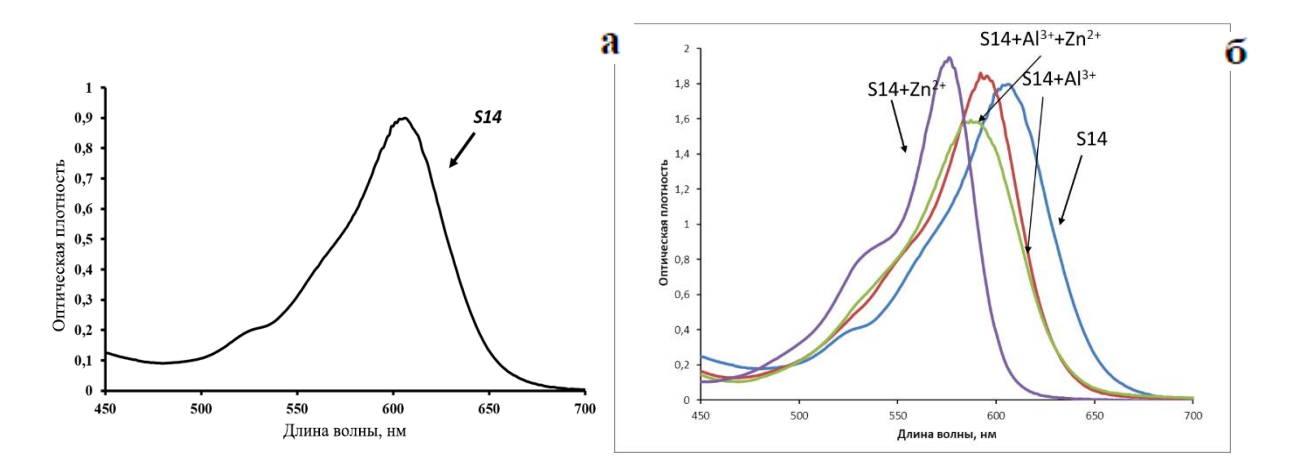


Рисунок 23. (а) УФ-спектр поглощения свободного сенсора **S14** (15 μ M) в MeCN. (б) Спектры поглощения пробы **S14** в присутствии ионов Zn^{2+} и Al^{3+} (1 экв.); при одновременном присутствии Zn^{2+} и Al^{3+} (1 экв.).

При одновременном присутствии Zn^{2+} и Al^{3+} в растворе **S14**, наблюдалось образование полосы поглощения при 586 нм, свидетельствующей об одновременном связывании соединения **S14** с Zn^{2+} и Al^{3+} .

Исследование способности **S14** детектировать Zn^{2+} и Al^{3+} откликом флуоресценции проводилось при волне возбуждения равной 580 нм. Неожиданным оказался факт, что добавление ионов Zn^{2+} к раствору соединения **S14** (15 μ M в MeCN) приводило к полному гашению флуоресценции. При добавлении Al^{3+} к раствору соединения **S14** (15 μ M в MeCN) гашение флуоресценции снималось в результате координации Al^{3+} аминогруппой, а раствор **S14** интенсивно флуоресцировал красным цветом. Полоса флуоресценции связанного сенсора с Al^{3+} сенсора была сдвинута в коротковолновую область (650 нм) (Рисунок 24).

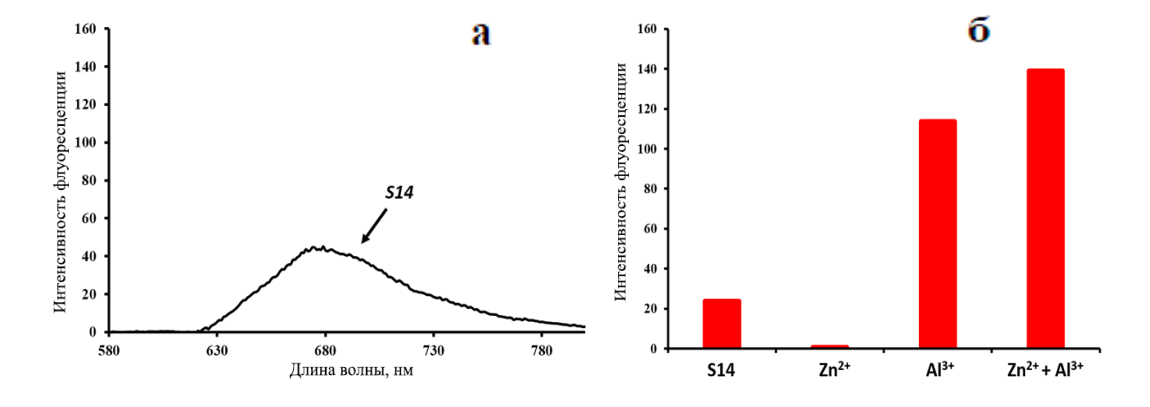


Рисунок 24. (а) Спектр флуоресценции свободного сенсора **S14** (15 μ M) в. (б) Флуоресцентный отклик при 650 нм сенсора **S14** (15 μ M) в MeCN при добавлении Zn²⁺ (1 экв.), Al³⁺ (1 экв.) и одновременном присутствии Zn²⁺ и Al³⁺ (1 экв.) $\lambda_{ex} = 580$ нм.

Максимольное разгорание флуоресценции раствора сенсора ${\bf S14}$ наблюдалось при одновременном присутствии 1 экв. ${\bf Zn^{2+}}$ и ${\bf Al^{3+}}$. Данный факт подтверждает одновременную координацию ${\bf Zn^{2+}}$ и ${\bf Al^{3+}}$ разными хелатирующими группами соединения ${\bf S14}$.

Таким образом, в растворе сенсором **S14** возможно одновременное детектирование ионов цинка (II) и алюминия (III). Используя булеву логику, пробу **S14** можно представить как МЛЭ типа AND, работающий в режиме разгорания флуоресценции и типа OR в режиме поглощения. (Рисунок 25).

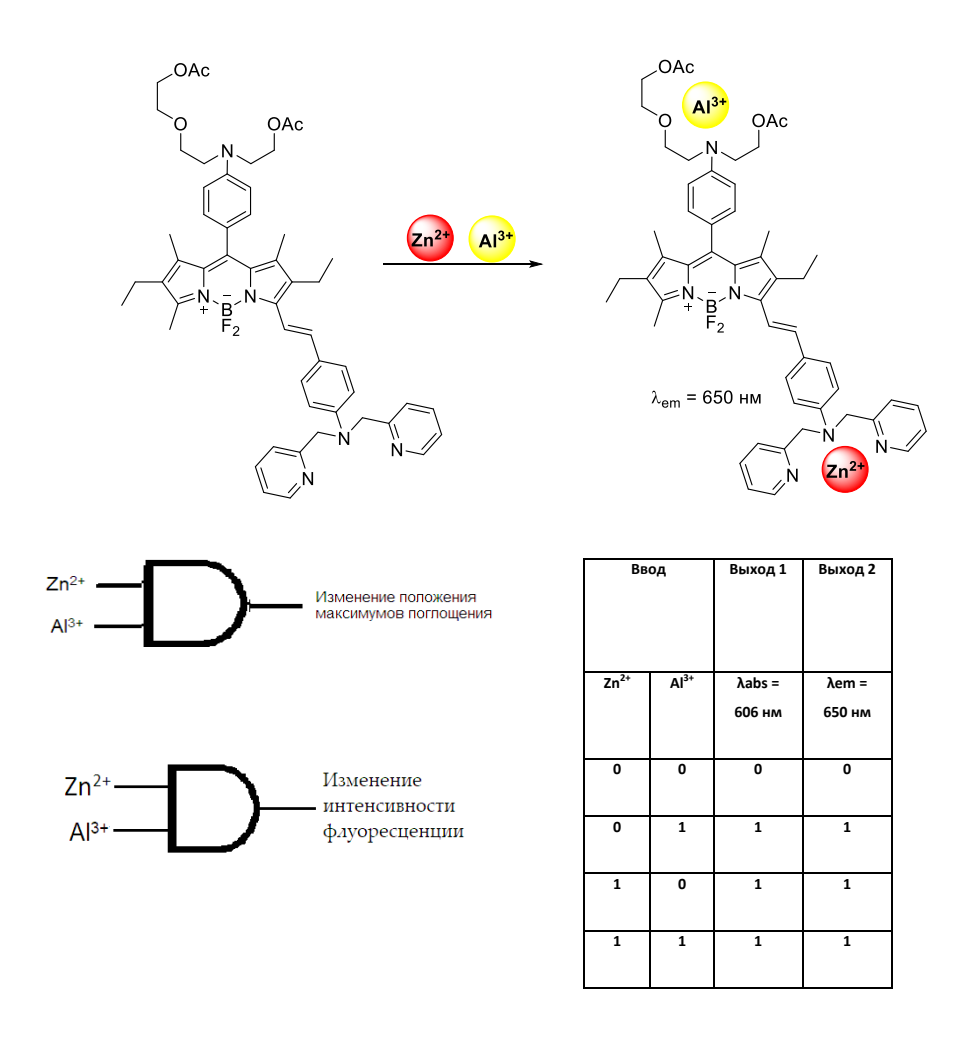


Рисунок 25. Передполагаемый механизм активации сенсора **S14** Его можно рассматривать как МЛЭ типа OR в режиме флуоресценции и типа OR в режиме поглощения. Двумя входными сигналами являются Zn^{2+} ии Al^{3+} . Выходные сигналы - это выход 1 - изменение положения максимумов поглощения, выход 2 - изменение интенсивности флуоресценции при 650 нм.

III.2. Разработка сенсоров на основе полифенол-замещенного БОДИПИ

Еще одним актуальным направлением органической химии является разработка флуоресцентных сенсоров для селективного совместного обнаружения ряда важных биоаналитов, таких как биотиолы, активные форм кислорода (АФК) и ферменты, связанные с гипоксическим состоянием клеток.

Биотиолы, в том числе цистеин (Cys), гомоцистеин (Hcy), глутатион (SGH) [102] и сероводород (H₂S) играют важную роль в биологических процессах. Самый простой биотиол H₂S синтезируется эндогенно через ферментативные и неферментативные процессы [103]. Субнормальные концентрации H₂S могут привести к различным патологиям, таким как болезнь Хантингтона, болезнь Паркинсона и болезнь Альцгеймера [104]. В больших концентрациях Суѕ вызывают повреждение печени, кожи, депигментацию волос и т.д [105]. Нсу рассматривается как фактор развития нарушений в работе сердечно-сосудистой системы и развитии болезни Альцгеймера [106, 107]. GSH, как наиболее распространенный внутриклеточный биотиол (1–10 µM), играет ключевую роль в здоровье человека в связи с его характерными окислительновосстановительными свойствами и нуклеофильностью [108, 109].

Активные формы кислорода (АФК) такие как, супероксид (O_2), пероксид водорода (H_2O_2), гипохлористая кислота (HOCl), синглетный кислород (1O_2), озон (O_3) и гидроксильный радикал (OH) непрерывно генерируются, трансформируются и потребляются во всех живых организмах как следствие аэробной жизни. Традиционно считается, что эти активные метаболиты кислорода вызывают окислительный стресс и повреждения, которые приводят к ухудшению состояния тканей и систем органов при старении и болезнях. Однако, новые данные показывают, что АФК, производимые в определенных ситуациях, также могут способствовать улучшению физической формы и самочувсвия. Таким образом разработка методов детектирования АФК является важной задачей [100].

Гипоксия (избыточная экспрессия и биологическая активность ферментов нитроредуктазы (NTR)) - это патологическое состояние, при котором тканям не хватает кислорода, необходимого для нормального клеточного метаболизма [110]. Известно, что в некоторых опухолях средняя концентрация кислорода составляет около 4%, а иногда она даже может уменьшаться до менее 0.1% [111]. В онкологии гипоксия опухоли часто связана с плохой реакцией на протоколы лечения [112, 113]. Необходимость выявления гипоксии опухолей как для осуществления селективной химиотерапии, направленной на гипоксию, так и для оптимизации лечения опухолей, чувствительных к кислороду (то есть фотодинамическая терапия и лучевая терапия), привкела к разработке контрастных агентов для визуализации

гипоксического статуса опухолевых клеток в различных биологических системах (т.е. живых клетках *ex vivo* или *in vivo*) [114].

Таким образом, обнаружение и мониторинг уровня биотиолов, АФК, ферментов задействованных в гипоксии, является важной задачей для понимания патологических процессов в организме человека.

Мы предположили, что в качестве универсальной платформы, позволяющей детектировать билоаналиты, может быть использован (*E*)-4-(2-(2,8-диэтил-5,5-дифтор-10-(4-гидроксифенил)-2,6-диэтил-4,4-дифтор-1,7-диметил-4-фенил-4-бора-3а,4а-диаза-s-индацен (**BPB**). Он характеризуется квантовым выходом флуоресценции, близким к 100% в смест фосфатный буфер + 50% ЕtOH, с максимумом испускания при 600 нм. Максимумы поглощения **BPB** находятся при 335 и 583 нм и имеют значения коэффициентов экстинкции 22 300 М⁻¹ см⁻¹ и 66 250 М⁻¹ см⁻¹ соответственно. Реализация двух различных механизмов гашения (ICT и PET) при дизайне двумодальных сенсоров на основе **BPB** возможна благодаря наличию двух концевых гидроксильных групп в 8-м и 3-м положениях флуоресцентного ядра [115]. Введение реакционноспособных сенсорных групп по фенольным атомам кислорода может приводить к гашению флуоресценции ядра, таким образом кислородные атомы могут быть использованы в качестве центров направленной модификации (Рисунок 26).

Рисунок 26. Общая схема двумодального сенсора на основе бисфенол-змещенного БОДИПИ.

Флуорофор БОДИПИ **26** был получен конденсацией между пара-гидроксибензальдегидом **23** с криптопирролом, с последующей обработкой DDQ и BF₃·Et₂O соответственно. Для получения свободного бис-фенольного флуорофора **BPB** была проведена конденсация Кневенагеля с *пара*-гидроксибензальдегидом **23**. Чтобы получить сверхчистый образец бис-фенольного флуорофора **BPB**, была проведена двухстадийная очистка образца соединения: 1) колоночная хроматография на обычном силикагеле, 2) полупрепаративная ОФ-ВЭЖХ (Схема 6).

Схема 6. Синтез флурофора ВРВ.

Мы впервые определили значения pKa фенольных групп **BPB** (8.2 и 11 для парагидроксистирильного и мезо-пара-гидроксифенильного фрагментов соответственно), изучая их спектральное поведение в диапазоне pH 3.2 - 13.0 (построение зависимой от pH кривой поглощения для выбранной длины волны в 612 нм, Рисунок 27).

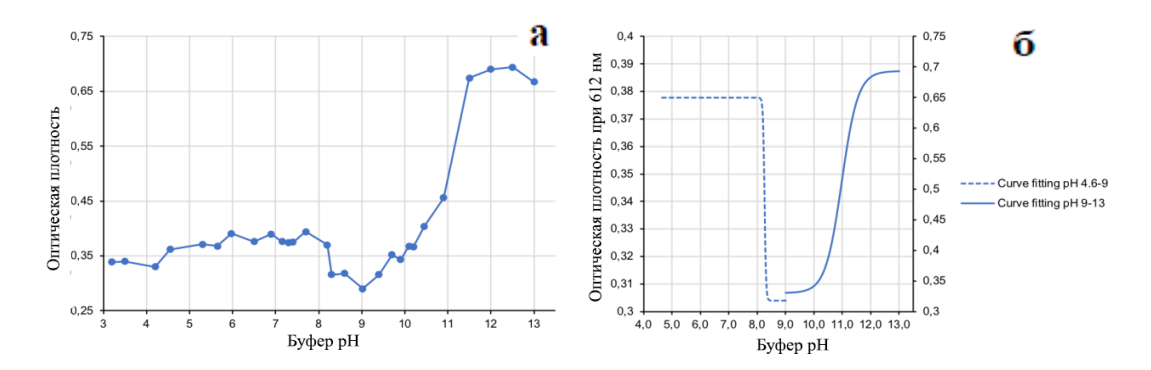


Рисунок 27. (а) Кривая рН-зависимой максимального поглощения (612 нм) для **ВРВ** (концентрация: 10 μМ в фосфатном буфере); (б) Кривая Больцмана, полученная с помощью программного обеспечения Origin Pro 8.

III.2.1. Разработка мономодального флуоресцентного «Off – On» сенсора для мониторинга S-нуклеофилов с повышенной чувствительностью

Первоначально мы решили оценить потенциал флуорогенного ВРВ для разработки флуоресецитных сенсоров, перспективных для обнаружения одного аналита. В настоящее время хорошо известно, что более высокие характеристики селективности и чувствительности обнаружения могут быть достигнуты путем введения двух одинаковых реакционноспособных фрагментов в структуру ядра сенсора [115, 116]. Для демонстрации эффекта флуорогенного "Off-On" **BPB** поведения пробы на основе была предложена структура сульфидного/сульфитного аналита, содержащего 7-нитро-1,2,3-бензоксадиазолую группу (NBD). Несколько исследовательских групп [117-119] в последние годы показали, что группа NBD является эффективной для создания сенсоров "Off-On" в отношении S-нуклеофилов (Cys, Hcy, GSH), характеризуется высокой чувствительностью и высокой селективностью [119]. Чтобы доказать заявленную концепцию, были проведено сравнение спектральных свойств и флуорогенной реакционной способности сенсоров S15 и S16, несущих два фрагмента NBD и один фрагмент NBD соответственно.

Синтез сенсора **S15** был проведен с использованием реакции О-арилирования бисфенола **BPB** хлоридом NBD (NBD-Cl). Реакцию проводили в сухом CH₃CN в присутствии DIPEA (Схема 7). Основная трудность, связанная с этим синтезом, заключалась в том, что главным продуктом было бис-О-NBD эфирное производное **S15** (выход 25%). После нескольких попыток (изменение соотношения между NBD-Cl/основание и **BPB** (0.1 экв/1 экв) нам удалось выделить небольшое количество моно-О-NBD-эфира **S16** (выход 24%), что касается мезо-О-NBD-замещенного продукта, после многих попыток синтеза, его удалось выделить только следовое количество мезо-О-NBD-замещенного продукта (менее 1 мг).

Схема 7. Синтез сенсоров S15 и S16 на основе NBD.

Как и ожидалось, сенсор **S15**, несущий два фрагмента NBD, оказался не флуоресцирующим (определить остаточный квантовый выход флуоресценции было невозможно из-за отсутствия линейной взаимосвязи между флуоресценцией и поглощением на длине волны возбуждения $\lambda_{\rm ex}$ =540 нм). И наоборот, сенсор на основе моно-NBD **S16** обладал остаточной флуоресценцией (Рисунок 28). Сенсор **S15** имеет максимум проглощения при $\lambda_{\rm max}$ = 590 нм (10 мМ PB + 50 % EtOH, 25 °C) (ϵ = 31800 M⁻¹ cм⁻¹). Сенсор **S16** имеет максимум проглощения при $\lambda_{\rm max}$ = 578 нм (10 мМ PB + 50 % EtOH, 25 °C) (ϵ = 63000 M⁻¹ cм⁻¹);

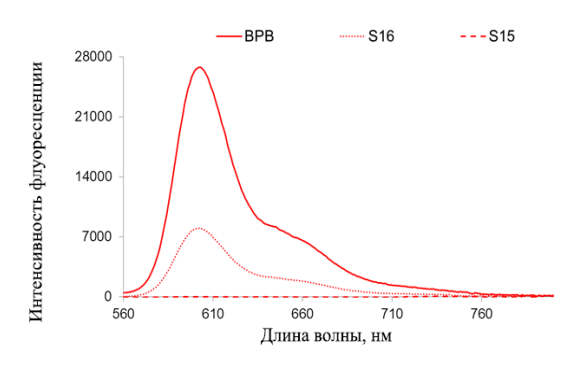


Рисунок 28. Спектры флуоресцентного испускания (λ_{ex} =540 нм) флуорогенных сенсоров на основе NBD **S15** и **S16,** и флуорофора на основе бисфенола **BPB** (концентрация: 0.25 μ M в PB + 50% EtOH при 25 ° C).

Затем мы исследовали флуорогенную реакционную способность сенсоров S15 и S16 (концентрация: $0.25 \mu M$) в 10 мM PB + 50% EtOH при 25 °C по отношению к различным Sнуклеофилам, таким как биотиолы (соль L-Cys и HCl и GSH), сульфит натрия и бензолсульфиновая кислота и гидросульфид натрия, последнгий является эквивалентом H₂S в биологических средах. Многочисленные кинетические эксперименты (аналит в количестве эквивалентов в диапазоне 5-100) были выполнены на спектрофлуориметре SAFAS Flx Xenius XC(оснащен 10-кварцевым держателеми ячеек ДЛЯ одновременного измерения флуоресцентного испускания десяти различных растворов). Эксперимент показал, что самый быстрый и интенсивный флуоресцентный отклик "Off-On" (при λ_{em} =600 нм) был достигнут с сульфитным анионом SO_3^{2-} . После добавления SO_3^{2-} (5 экв.) к 0.25 µM раствору сенсора **S15** мы наблюдали быстрое увеличение интенсивности флуоресценции при 600 нм, которое достигало плато через 15 минут (Рисунок 29).

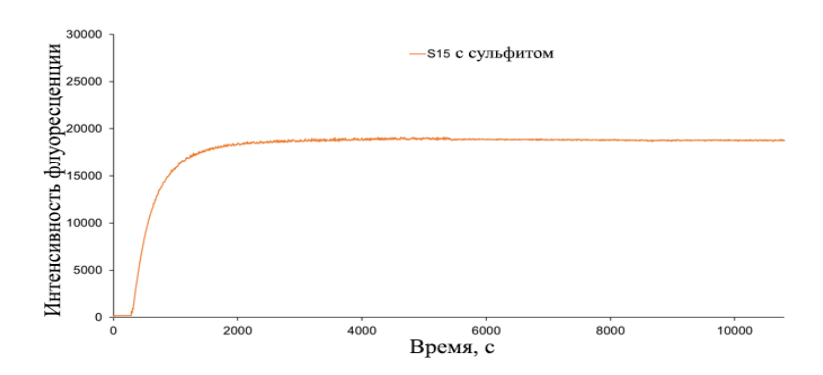


Рисунок 29. Зависимость от времени изменения интенсивности оранжево-красной флуоресценции λ_{ex} =540, λ_{em} =600 флуорогенного сенсора **S15** (концентрация: 0.25 μ M) в 10 мМ PB + 50% EtOH при 25 °C при добавлении Na₂SO₃ (5 экв., инкубация в течение 3 часов).

Добавление 5 эквивалентов раствора NaHS привело к сравнимому увеличению флуоресценции, но время достижения плато было больше (около 1 часа) (Рисунок 30).

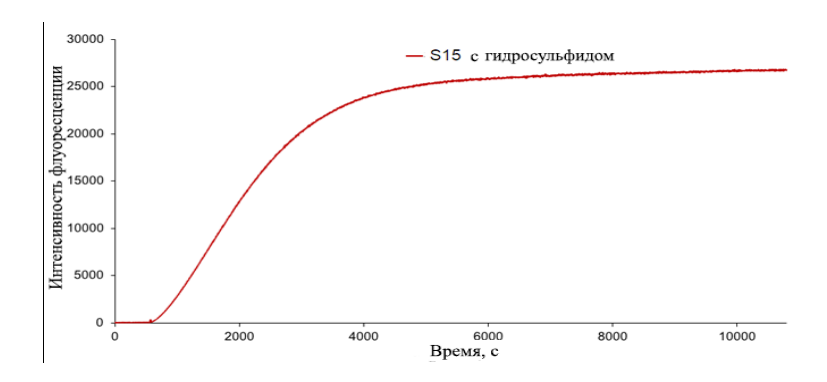


Рисунок 30. Зависимость от времени изменения интенсивности оранжево-красной флуоресценции λ_{ex} =540, λ_{em} =600 флуорогенного сенсора **S15** (концентрация: 0.25 μ M) в 10 мМ PB + 50% EtOH при 25 °C при добавлении NaHS (5 экв., инкубация в течение 3 часов).

На рисунках 31 и 32 показано наложение спектров флуоресцентного испускания (волна возбуждения λ_{ex} =540) флуорогенных сенсоров **S15** и **S16** до и после активации Na₂SO₃ и NaHS (5 экв., инкубация в течение 3 часов в PB + 50% EtOH при 25°C). Интенсивность флуоресценции **S15** при 600 нм увеличилась примерно в 25 раз при добавлении Na₂SO₃, что указывает на то, что сенсор **S15** можно использовать для обнаружения сульфита с заметным усилением флуоресценции. В случае сенсора **S16** присходит увеличение интенсивности флуоресценции только в 3 раза. Интенсивность флуоресценции **S15** при 600 нм увеличилась примерно в 30 раз при добавлении NaHS, но время достижения плато было больше.

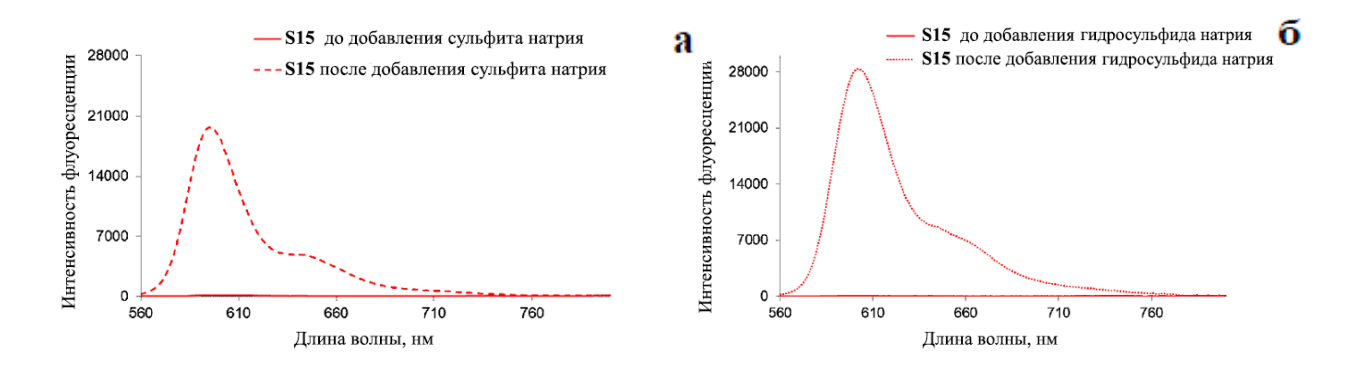


Рисунок 31. Спектры флуоресцентного испускания (волна λ_{ex} =540) флуорогенного сенсора на основе NBD **S15** (концентрация: 0.25 μ M) до и после инкубации с Na₂SO₃ (a) и (б) NaHS в PB + 50% ЕtOH при 25 °C.

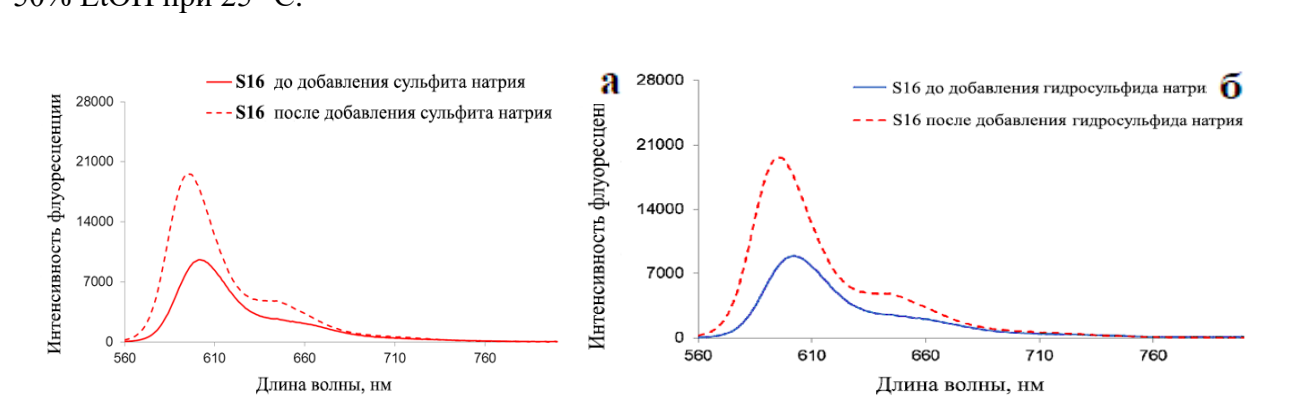


Рисунок 32. Спектры флуоресцентного испускания (λ_{ex} =540 нм) флуорогенного сенсора на основе NBD **S16** (концентрация: 0.25 μ M) до и после инкубации с Na₂SO₃ (a) и (б) NaHS в PB + 50% ЕtOH при 25 °C.

Также была исследована селективность сенсора S15 в отношении S-нуклнофилов (Рисунок 33). Различные аналиты, включая SO_3^{2-} , HS^- и биотиолы, включая цистеин (Cys), глутатион (GSH) [102] и бензолсульфиновая кислота, были добавлены к раствору сенсора S15. Как показано на рисунке 33, самые значительные изменения в спектре испускания раствора сенсора были обнаружены при добавлении SO_3^{2-} и HS^- . Добавление Cys и GSH привело к увеличению интенсивности флуоресценции в 20 раз, но реакция с ними шла намного медленнее.

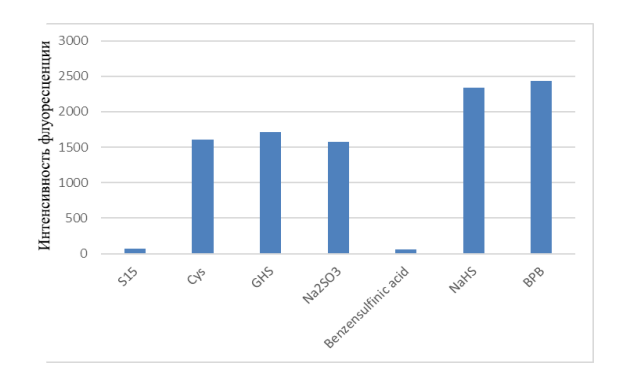


Рисунок 33. Селективность **S15** (λ_{ex} =540) по отношению к различным серосодержащим соединениям в PB + 50% EtOH при 25 °C.

Механизм тиолиза сенсоров **S15** и **S16** был подтвержден жидкостной хроматографией (ЖХ) в сочетании с флуоресцентным детектированием. Было обнаружено, что процесс флуорогенной активации привел к высвобождение свободного фенольного флуорофора (Рисунок 34). Время удерживания которого совпало со временем удерживания чистого **ВРВ** (6.0 минут).

Рисунок 34. Механизм флуоресцентного детектирования сенсором **S15**.

Интересно отметить, что при хранении моно-NBD-сенсора **S16**, он подвергается реакции диспропорционирования, которая приводит к образованию бис-NBD-продукта **S15** и исходного флуорофора.

Сенсор **S15** убедительно доказал потенциал бис-фенольного флуорогенного каркаса для создания флуоресцентных сенсоров с двойным гашением флуоресценции для низкофонового детектирования (предел обнаружения HS^- 3.5 $\times 10^{-9}$, для SO_3^{2-} 1.4 \times 10⁻⁹M) S-нуклеофилов. Также была показана более высокая эффективность сенсора, несущего две реакционноспособные группы гашения по сравнению с фотоактивными молекулярными системами с однократным гашением (**S15** по сравнению с **S16**).

III.2.2. Разработка водорастворимого флуоресцентного сенсора на основе трисфенол-БОДИПИ для детектирования гипоксии клеток

На следующем этапе работы мы сфокусировали наши усилия на изучении возможности создания сенсора на основе трисфенол-БОДИПИ для детекции клеточной гипоксии. Трисфенол БОДИПИ бы выбран из-за того, что: 1) его максимумы испускания и поглощения сдвинуты в дальнюю красную область, что удобно для биологических исследований. 2) у него есть три точки модификации, а именно три гидрокси-группы, позволяющие ввести в структуру дополнительные фрагменты, повышающие растворимость в воде. Несколько исследований показали, что избыточная экспрессия и биологическая активность ферментов нитроредуктазы (NTR) напрямую связаны с гипоксическим статусом в живых клетках, и, следовательно, этот класс окислительно-восстановительных ферментов (так же, как азоредуктаза и DT-диафораза) в настоящее время рассматривается важный как релевантный биомаркер для разработки методов обнаружения этого кислородно-депривационного состояния [120, 121]. В гипоксических условиях в присутствии NTR нитроароматические соединения восстанавливаются до соответствующих гидроксиламинов или аминопроизводных [122]. Следовательно, несколько NTR-чувствительных флуоресцентных реакционных проб были разработаны с использованием био-восстановления способности процесса И нитроарильных фрагментов гасить флуоресценцию посредством процесса окислительного фотоиндуцированного переноса электронов (РЕТ). Большинство флуорогенных нитроарильных производных были успешно использованы для визуализации гипоксии в опухолевых клетках посредством гашения флуоресценции "Off-On" [102, 122-125]. Однако, лишь в немногих работах использовали краситель 4,4-дифтор-4-бора-3а,4а-диаза-с-индацен (БОДИПИ) в качестве флуорогенной платформы [126-130] и, кроме того, мало внимания уделялось оптимизации как спектральных характеристик, так и физико-химических свойств (например, максимума дальнего красного испускания, растворимости в воде, проницаемости в клетку) соответствующих проб.

С использованием трисфенол-БОДИПИ в качестве платформы для разработки флуоресцентных сенсоров нами был разработан водорастворимый флуоресцентный сенсор для детектирования нитроредуктазы, работающий в дальней красной области спектра [131]. При дизайне пробы мы руководствовались следующими соображениями: 1) мезофенольный фрагмент молекулы сенсора регулирует флуоресценцию ядра БОДИПИ после снятия с него защитной группы, селективной к NTR [132, 133] 2) два других фенольных фрагмента были использованы для дальнейшей ортогональной функционализации пробы S17 с целью установки двух *N*-алкилпиперидинильных групп для повышения как его растворимости в воде, так и клеточного поглощения. Так же этот новый NTR-чувствительный флуоресцентный сенсор был

использован для визуализации гипоксического статуса в линии клеток A549 немелкоклеточного рака легких человека (Риунок 35).

Рисунок 35. Предполагаемый механизм активации сенсора S17.

Сенсор S17 был синтезирован из коммерчески доступных реагентов в четыре этапа в соответствии с синтетической схемой, показанной на схеме 8. Сначала было получено производное бензальдегида 25, несущего 4-бромбутоксигруппу. Синтез БОДИПИ 24, содержащего пара-гидроксифенильную группу в качестве мезоарильного заместителя, проводили по общей методике, предлагаемой в работе Линдси [134]. Конденсация парагидроксибензальдегида 23 с криптопирролом в CH₂Cl₂ с использованием последовательной обработки трифторуксусной кислотой (TFA), 2,3-дихлор-5,6-дициано-1,4-бензохиноном (DDQ), триэтиламином и трифторид-эфиром бора (BF₃·Et₂O) првиела к соединению 24 с выходом 24%. Затем соединение 24 ввели в конденсацию Кневенагеля с избытком бензальдегида 25 (5 экв.) в присутствии пиперидина и пара-толуолсульфокислоты (TsOH) и в кипящем сухом толуоле. Реакцию проводили до полного испарения этого растворителя. Эти условия позволили нам получить соединения 26 с умеренным выходом. Реакция О-ацилирование фенольные группы пара-нитробензилхлорформиатом в присутствии Еt₃N дало сенсор S17, который был выделен в чистом виде методом колоночной хроматографии на силикагеле с выходом в 40%.

Схема 8. Синтез NTR-чувствительного флуоресцентного сенсора S17.

Фотофизические свойства сенсора **S17** были изучены в воде, содержащей 10% ДМСО, чтобы минимизировать образование нефлуоресцентных агрегатов H-типа. Спектр поглощения этого производного имеет сильную полосу поглощения с максимумом при 659 нм (ϵ = 19 000 М $^{-1}$ см $^{-1}$). Спектр испускания флуоресценции **S17** характеризуется широкой полосой испускания в ИК области с максимум при 686 нм ($\lambda_{\rm ex}$ = 610 нм). Стоксовское смещение для **S17** составляло 697 см $^{-1}$. Интересно отметить, что гашение пара-нитробензильным фрагментом не так эффективно, как первоначально ожидалось. Относительный квантовый выход флуоресценции **S17** составил 0.15.

На следующем этапе мы оценили потенциал **S17** *in vitro* биологической модели гипоксии. Совместно с РОНЦ им. Блохина под руководством Щербакова сенсор **S17** был использован для визуализации гипоксии в живых клетках (клеточная линия рака легкого А549) (Рисунок 36). Согласно литературным данным, активность редуктаз в этой клеточной линии значительно возрастает с уменьшением уровня кислорода [126]. После предварительного анализа токсичности **S17** мы показали, что инкубация клеток А549 с сенсором в двух разных

концентрациях (10 и 20 µМ) в течение 24 часов не приводила к значительным изменениям их морфологии. Распределение вещества внутри клеток оценивали с помощью флуоресцентного микроскопа Carl Zeiss Axiovert 200. Как видно на рис.36, наблюдается значительное цитоплазматическое накопление сенсора.

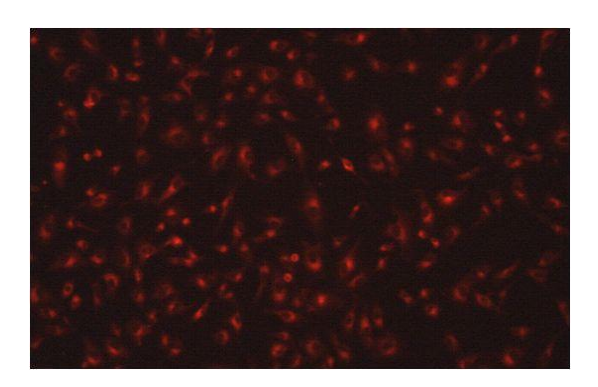


Рисунок 36. Флуоресцентное изображение клеток A549, инкубированных с сенсором **S17** (20 мМ) в течение 60 мин. λ_{ex} = 530-585 нм; λ_{em} = 615 нм.

Флуоресцентная микроскопия не позволяет проводить быстрый количественный анализ накопленной пробы и имеет ряд недостатков, которые особенно очевидны при анализе большого количества образцов. Поэтому при работе с клетками при гипоксии использован протокол, применяемый к считывателю флуоресцентных микропланшетов. Подготовленные образцы переносили в черные 96-луночные планшеты и анализировали при 610/680 нм с использованием устройства для считывания микропланшетов. Гипоксические условия моделировали в мультигазовом инкубаторе Binder в течение 6 часов. Контрольные клетки содержались в условиях нормоксии. Затем гипоксические и нормоксические клетки окрашивали и готовили образцы для анализа. Гипоксические образцы имели более слабую флуоресценцию по сравнению с нормоксическими образцами (Рисунок 37). Таким образом, Сенсор S17 эффективно окрашивает живые клетки и действует как флуоресцентный сенсор "On-Off" в отношении гипоксии.

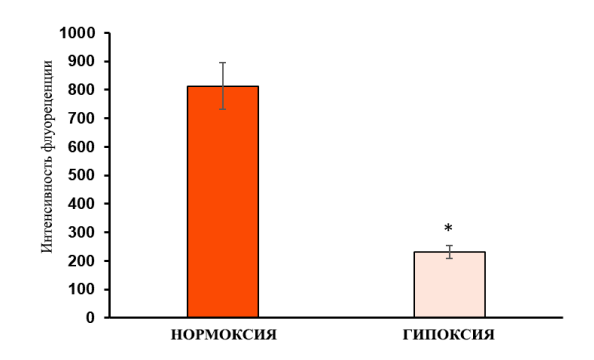


Рисунок 37. Интенсивность флуоресценции нормоксических и гипоксических клеток A549, обработанных **S17** ($\lambda_{ex}/\lambda_{em} = 610/680$ нм).

Таким образом, мы разработали новый NTR-чувствительный сенсор на основе БОДИПИ, работающий в режиме флуоресцентного отклика "On-Off". Было продемонстрировано, что сенсор S17 применим для визуализации распределения нитроредуктазы в клетках рака легких. Сенсор работает в диапазоне спектра от дальнего красного до ближнего инфракрасного диапазона, обладет хорошей растворимостью в воде и может быть использван в биологических системах и в исследованиях визуализации *in vivo*.

III.2.3. Разработка бимодального флуоресцентного «Off – On» сенсора на катионы Hg^{2+} и супероксид анион-радикал $O_2^{\circ -}$

Нами было предложено соединение **S18** на основе **BPB**, который, как ожидалось, будет реагировать на катионы Hg^{2+} и супероксидный анионный радикал $O_2^{\bullet-}$ (Рисунок 38).

Рисунок 38. Предполагаемый механизм активации сенсора **S18** Hg^{2+} и O_2 .

При разработке сенсора **S18** мы руководствовались следующими соображениями: 1) в группе Маэда показали, что 4,5-диметокси-2-нитробензолсульфонильный эфир является оптимальной группой для маскировки фенольных фрагментов 2',4',5',7'-тетрафлуоресцеина и получения флуоресцентного реакционного сенсора, позволяющего детектировать О₂⁺ [135], и мы решили использовать это производное бензолсульфонила в качестве реакционноспособной группы. 2). В качестве реакционной группы, селективной к катионам ртути, был использован виниловый эфир, гидрализующийся в присутствии катионов ртути. Соответствующий сульфонилирующий агент (сульфонилхлорид) коммерчески недоступен и был синтезирован в 3 стадии из 1,2-диметоксибензола **27** (Схема 9) [136, 137]. Основная трудность, связанная с этим синтезом, касалась очистки производного сульфоновой кислоты **29**, которая была достигнута флэшхроматографией на силикагеле с обращенной фазой **S18** (Схема 9).

Схема 9. Синтез реакционноспособной группы на супероксидный анионный радикал O_2 .

Синтез двумодального сенсора **S18** был проведен в 5 стадий из коммерческого *пара*-гидроксибензальдегида **23** (Схема 10).

Схема 10. Синтез соединения S18.

Высокий уровень чистоты соединения был подтвержден анализом с помощью ОФ-ВЭЖХ и находился в диапазоне 95-100% в зависимости от длины волны, используемой для обнаружения в УФ-видимом диапазоне. Сенсор имел максимумом поглощения при $\lambda_{\text{max}} = 597$ (PB + 10% MeCN, 25 °C), ($\epsilon = 35800 \text{ M}^{-1} \text{ см}^{-1}$) и является не флуоресцирующим веществом.

Мы изучили флуорогенную реакционную способность **S18** по отношению к катиону Hg^{2+} и супероксидному анион-радикалу O_2 . Первые попытки активации сенсора с использованием KO_2 как источника $A\Phi K$ не увенчались успехом. Были выдвинуты две гипотезы о причинах этого: 1) слишком короткое время жизни супероксидного анион-радикала в водных средах (диспропорционирование на H_2O_2 и O_2) [138], и 2) нежелательное окисление флуорофора, приводящее к потере спектральных характеристик сенсора в оранжево-красной

области. Затем мы попытались выполнить активацию **S18** через генерирование O_2 *in situ* за счет ферментативной системы ксантин/ксантиноксидаза (XO) [139]. Последовательное добавление ксантин/XO (30 экв., 60 мин инкубации) и катионов Hg^{2+} (10 экв., около 20 мин инкубации) к раствору **S18** не привело к увеличению интенсивности флуоресценции при 602 нм (Рисунок 39).

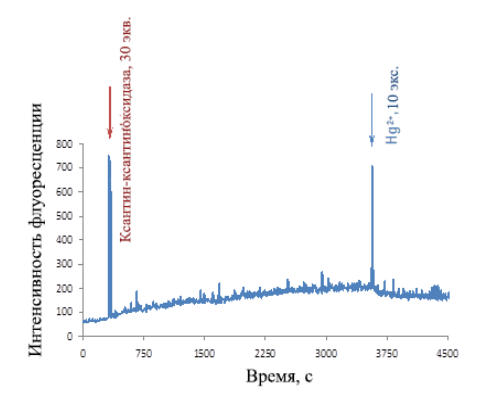


Рисунок 39. Зависимость от времени изменения интенсивности флуоресценции (λ_{ex} =584 нм, λ_{em} =602 нм концентрация сенсора **S18**: 1.3 µМ в PB + 10% CH₃CN при 25 °C. Последовательное добавление катионов ксантин / ксантиноксидаза (XO) (30 экв., 60 мин инкубации) и катионов Hg²⁺ (10 экв., около 20 мин инкубации).

Это может быть объяснено 1) образованием нефлуоресцентных комплексов с катионами Hg^{2+} , 2) низкой эффективностью энзиматической генерации $O_2^{\bullet-}$ в водной среде, содержащей 10% CH_3CN .

III.2.4. Разработка бимодального флуоресцентного «Off – On» сенсора на катионы Hg^{2+} и гипохлорит анион ClO

Следующий предложенный нами сенсор на основе бисфенольнонго **BPB S19** (Рисунок 40) должен был быть перспективным для детектирования гипохлорит-аниона (OCl⁻) и катионов ртути (II). Для изучения была выбрана хлорноватистая кислота, так как она отвечает за важные биологические процессы, таких как развитие врожденного иммунитета, и является одной из самых мало изученных форм АФК.

Рисунок 40. Предполагаемый механизм активации сенсора $S19 \text{ Hg}^{2+}$ и OCl $^-$.

Вдохновленные флуоресцентным сенсором на HClO, о котором недавно сообщила группа Янга [140], мы синтезировали и изучили соединение на основе красителя БОДИПИ с бисариловом эфиром на основе 2,6-дихлорфенильной группы, которую мы поместили в *мезо*позицию БОДИПИ. Поскольку известно, что Hg²⁺ способствуют гидролизу винилэфирной группы (в физиологических условиях) [141], мы заместили этим алкеновым фрагментом гидроксил у стирилового фенола.

Смешанный бис-ариловый эфир **38** был синтезирован в 6 стадий из 2,6-дихлорфенола в следующей последовательности: 1) йодированием 2,6-дихлорфенола *N*-иодсукценимидом был получен продукт **35**, 2)затем метилирование свободного фенола метилиодидом дало соединение **36**, 3) сочетанием по Ульману этого фенола с *пара*-крезолом был получен бисарильный эфир **37**, 4) радикальное бромирование бензильного положения которого привело к получению соединения **38**, 5) окислением по Соммелету было получено соединение **39**, 6) снятие метильной защиты которого привело к образованию альдегида **40**. (Схема 11А) [142]

Синтез соединение **S19** был проведен в 4 стадии. Конденсация альдегида **40** с криптопироллом, с последующим комплексообразованием с $BF_3 \cdot Et_2O$ дала продукт **41**. Его дальнейшая конденсациея по Кневенагелю с винилоксибензальдегидом **32** привела к получению продукта **S19** с выходом 1% (Схема 11Б).

Схема 11. Синтез соединения S19.

Высокий уровень чистоты соединения был подтвержден анализом с помощью ОФ-ВЭЖХ и находился в диапазоне 95-100% в зависимости от длины волны, используемой для обнаружения в УФ-видимом диапазоне. Сенсор имел максимум поглощения при λ_{max} = 593 нм (PB + 10% MeCN, 25 °C), (ϵ = 14000 M⁻¹ cм⁻¹). Мы определили спектральные свойства **S19** и изучили его реакционную способность в отношении Hg^{2+} и ClO^- , в качестве источника которого был использован раствор гипохлорита натрия. К сожалению, мы наблюдали плохое гашение флуоресценции этого сенсора **S19** в PB, что позволило предположить, что 2,6-дихлорфенил не является подходящей РЕТ-активной группой для **ВРВ**, в отличие от сенсора на основе флуоресцеина. Все попытки активации сенсора с последовательным добавлением ClO^- (17 экв.,

20 мин. инкубации) и Hg^{2+} (17 экв., около 40 мин. инкубации) приводили к уменьшению интенсивности флуоресценции, вероятно, из-за деградации соединения **S19** (Рисунок 41).

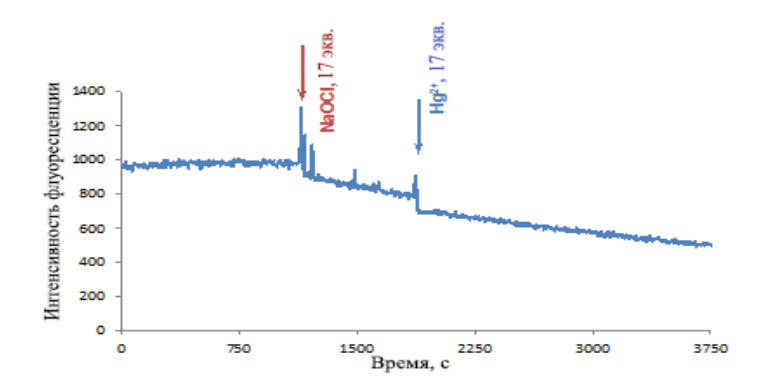


Рисунок 41. Зависимость от времени изменения интенсивности флуоресценции (λ_{ex} =581 нм, λ_{em} =602 нм, концентрация **S19**: 1.45 µM в PB (100 мМ, рН 7.5) при 25 °C. Последовательное добавление NaOCl (17 экв., 20 мин инкубации) и катионов Hg (II) (17 экв., 40 мин инкубации).

III.2.5. Разработка бимодального флуоресцентного «Off – On» сенсора на катионы Hg^{2+} и супероксид анион-радикал O_2° -

Мы разработали и синтезировали соединение **S20** (Рисунок 42), перспективное для детектирования Hg^{2+} и супероксид анион-радикалов $O_2^{\circ -}$. При его создании использовалось объеденение в одной молекуле БОДИПИ полтитиольной группы, описанной как селективной к катионам ртути (II) [143] и использованного ранее DNBS.

$$\frac{1}{2}$$
 $\frac{1}{2}$ $\frac{1$

Рисунок 42. Предполагаемый механизм активации соединения **S20** Hg^{2+} и O_2^{-} .

Основные синтетические усилия были направлены на получение *пара*-аминобензальдегида **45**, функционализированного тиол-хелатирующей группой [144]. Его синтез начинался с алкилирование анилина 2-хлорэтанолом, в результате приводящего к

получению *N*,*N*-бис-(2-гидроксиэтил)анилина 43. Последующая обработка этого третичного амина POCl₃ в ДМФА позволила провести формилирование и замещение на атом хлора гидроксильных групп с получением соединения 44. Нуклеофильное замещение атомов хлора 2-(этилтио) этантиолом (свежеполученным по реакцией между 1,2-этандитиолом и этилиодидом) [145] привело к бензальдегиду 45 (Схема 12). Синтез целового соединения \$20, был выполнен в ранее аналогичных для S15-S19. Bo избежание неверного флуоресцентных исследований in vitro, а также на основе недавней публикации, в которой сообщалось об использовании неводного раствора КО2 для проведения валидации флуорогенного сенсора, нацеленного на эндоплазматический ретикулум [146], мы решили провести наши эксперименты с раствором КО2 в сухом ДМСО и в присутствии краун-эфира 18-С-6 (Рисунок 43).

Схема 12. Синтез соединения S20.

Сенсор **S20** имел максимумом поглощения при λ_{max} = 595 нм (PB + 10% MeCN, 25 °C), (ϵ =16000 M⁻¹ cм⁻¹) и являлся не флуоресцирующим веществом. Флюорогенную активацию сенсора **S20** (1.0 μ M) изучали в смеси воды и CH₃CN (3:7.) при 25 °C путем последовательного добавления водного раствора Hg²⁺ и раствора KO₂ в ДМСО. После добавления катионов Hg²⁺

(17 экв.) мы наблюдали быстрое увеличение интенсивности флуоресценции при 602 нм, которая почти мгновенно достигла плато (Рисунок 43). Это поддтверждает комплексообразование Hg^{2+} с хелатирующим лигандом на основе тиола, который подавлял процесс РЕТ и наоборот, последующее добавление KO_2 (17 экв.) приводило к резкому снижению интенсивности флуоресценции. Мы предполагаем, что полисульфидный хелатор взаимодействует с $O_2^{\bullet-}$ с сульфоновой группой за счет быстрых процессов окисления.

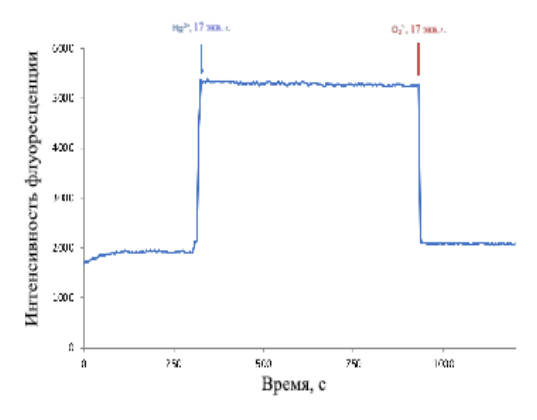


Рисунок 43. Зависимость от времени изменения интенсивности флуоресценции (λ_{ex} =581 нм, λ_{em} =602 нм флуорогенного сенсора **S20**, концентрация: 1.0 µМ в PB + 70% CH₃CN при 25 °C. Последовательное добавление вод. растворы Hg²⁺ (17 экв., 10 мин инкубации) и KO₂ в ДМСО + краун-эфир 18-C-6 (17 экв., 34 экв. 18-C-6, 60 мин инкубации).

Нами не было получено положительных результатов с бимодальными сенсорами **S18**, **S19**, **S20**, которые предположительно активируются парой аналитов: $A\Phi K (O_2^- или ClO^-)$ и Hg^{2+} . Мы предположили ряд гипотез, объесняющих это:

- Стабильность каркаса моно-стирил-БОДИПИ не полностью совместима с реакционной способностью АФК, которые могут приводить к его оксилению.
- Для сенсора **S19** реакционноспособная группа, а именно 3,4-дихлор-5-гидроксифенил, не была РЕТ-активной в контексте выбранного фенольного красителя БОДИПИ (нет соответствия между уровнями энергии ВЗМО-НСМО).
- Для сенсора **S20** возможно окисление атомов серы, приводящее к резкому снижению интенсивности флуоресценции.

III.2.6. Разработка бимодального флуоресцентного «Off – On» сенсора на катионы Hg^{2+} и HS^-

Следующий полученный нами "Off-On" сенсор **S21** представлял молекулу бисфенол-БОДИПИ, у которой атомы водорода замещены на с реакционноспособные группы селективные к катионам Hg^{2+} и HS^- . Поскольку известно, что Hg^{2+} способствуют гидролизу винилэфирной группы (в физиологических условиях) [141], мы заместили этим алкеновым

фрагментом гидроксил у стиролового фенола. Данный заместитель также позволял модулировать процесс внутримолекулярного переноса заряда [8]. Атом водорода второй фенольной группы (в мезоарильном положении) был замещен селективным к тиолам 2,4-динитробензолсульфониловым эфиром (DNBS) [147], который также способен вызывать гашение флуоресценции ядра БОДИПИ по механизму окислительного фотоиндуцированного переноса электронов (РЕТ). Синтез соединения S21 (Схема 13) был проведен в 5 стадий из коммерчески доступного пара-гидроксибензальдегида. Флуорофор БОДИПИ 24 был получен в результате конденсации между бензальдегидом 23 и криптопирролом (3-этил-2,4-диметилпирролом). По реакции Кневенагеля с винилоксиальдегидом было получено соединение 33, замещение фенольного гидроксида которого на 2,4-динитробензосульфонил позволило получить сенсор S21.

Схема 6. Синтез перспективного соединения **S21**.

Для получения сверхчистого образца **S21** были проведены две последовательные очистки. Первая с помощью колоночной хроматографии на силикагеле, и вторая с использованием полупрепаративной ОФ-ВЭЖХ. Высокий уровень чистоты был подтвержден анализом ОФ-ВЭЖХ и был в диапазоне 95-100% в зависимости от длины волны, используемой

для обнаружения в УФ-видимом диапазоне. Как и ожидалось, сенсор **S21** оказался почти не флуоресцирующим (определить остаточный квантовый выход флуоресценции было невозможно из-за отсутствия линейной зависимости между флуоресценцией и поглощением на длине волны возбуждения, λ_{ex} =540 нм). Спектр имел максимум поглощения при λ = 599 нм (PB + 10% MeCN, 25 °C) (ϵ = 41200 M⁻¹ cм⁻¹).

Далее мы исследовали флуорогенную реакционную способность **S21** по отношению к Hg^{2+} и HS^- (преобладающая форма H_2S при физиологическом pH, NaHS была использована в качестве источника гидросульфидного аниона). Были изучены зависимые от времени изменения интенсивности флуоресценции сенсора с этой парой аналитов. Результаты показаны на рисунках 44 и 45. При последовательном добавлении Hg^{2+} (5 экв., 10 мин инкубации) и HS^- анионов (50 экв., около 85 минут инкубации) раствор **S21** показал постепенное и умеренное увеличение интенсивности флуоресценции при 595 нм. Для достижения плато потребовалось около 60 мин (рис. 44, а). Обратная последовательность добавления (HS^- , 5 экв., 10 мин, затем Hg^{2+} , 50 экв.) также приводила к умеренному флуорогенному ответу "Off-On", но после длительной инкубации неожиданно наблюдалось снижение интенсивности флуоресценции при 595 нм (рис. 44, б). Поскольку аналиты Hg^{2+} и HS^- способны реагировать вместе с образованием осадка HgS, активация **S21** при одновременной инкубации с этой парой аналитов не рассматривалась.

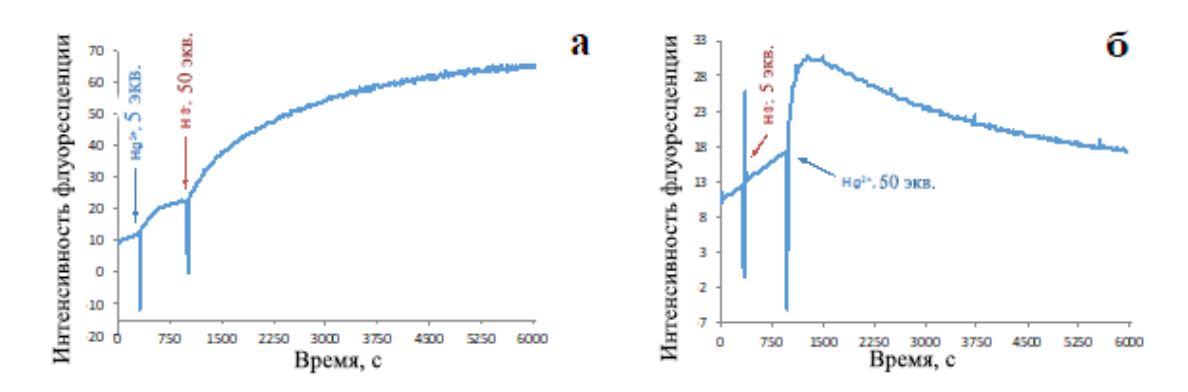


Рисунок 44. (а) Зависимость от времени изменения интенсивности флуоресценции (λ_{ex} =540 нм, λ_{em} =595 нм, сенсора **S21**, концентрация: 1.7 μ M) в PB + 10% CH₃CN при 25 °C. HgCl₂ (5 экв.) добавляли через 5 минут инкубации сенсора в буфере, через 10 минут инкубации добавили NaHS (50 экв.); (б) NaHS (5 экв.) добавляли после 5 мин инкубации сенсора в буфере, через 10 мин инкубации добавили HgCl₂ (50 экв.).

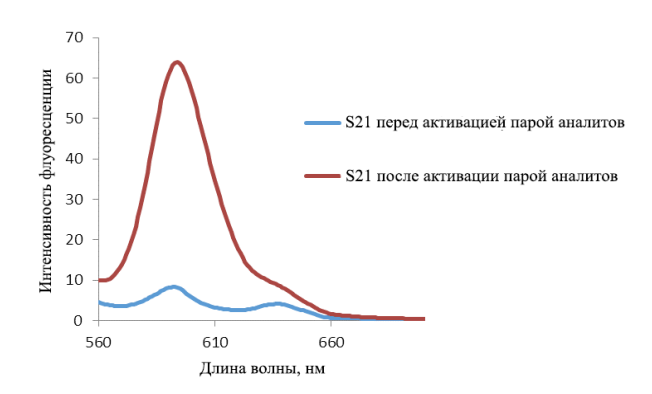


Рисунок 45. Спектры флуоресценции (λ_{ex} =540 нм) флуоресцентного сенсора **S21** (концентрация: 1.7 μ M) в PB + 10% CH₃CN при 25 °C до и после активации парой аналитов.

Таким образом, нам удалось проддемострировать концепцию "Off-On" обнаружения двух аналитов на основе флуорофора **BPB** при изучении пары аналитов HS^- и Hg^{2+} .

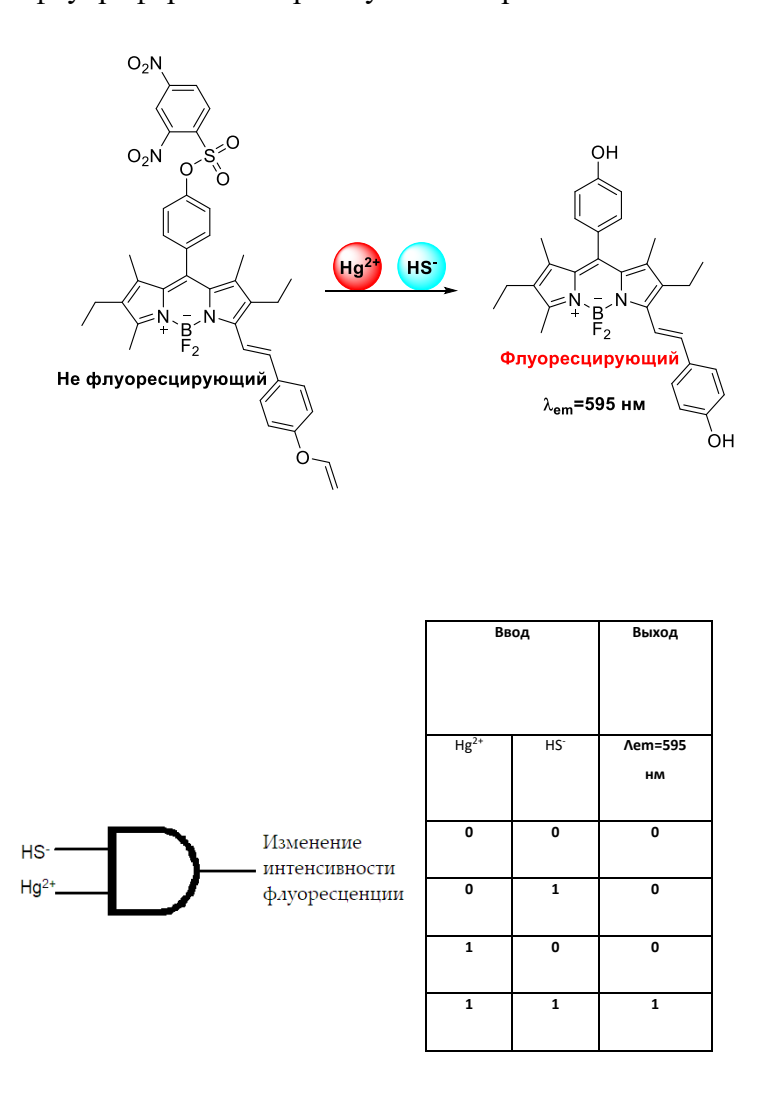


Рисунок 46. Предполагаемый механизм активации сенсора **S21**. Флуоресцентный сенсор **S21** можно рассматривать как МЛЭ типа AND в режиме флуоресценции. Двумя входными

сигналами являются Hg^{2+} и HS^- . Выходной сигнал - это увеличение интенсивности флуоресценции при 595 нм.

IV. Выводы

- 1. Разработаны схемы синтеза ряда ранее неизвестных «псевдо-краун» эфир-содержащих борных комплексов дипиррометенов (БОДИПИ). Показано, что линкер, связывающий флуоресцентное ядро и «псевдо-краун» эфирную хелатирующую группу, существенным образом влияет на селективность связывания красителей с катионами тяжелых металлов. На основании исследования спектральных характеристик ряда синтезированных соединений выявлены сенсоры типа «Off-On» селективные в отношении Al³+ и Cu²+.
- 2. Впервые показано, что производное БОДИПИ функционализированное дипиколиламиновым остатком по мезо-положению через метиленовый линкер может быть использовано для селективного детектирования Zn^{2+} в водных средах, а также визуализации распределения Zn^{2+} в тканях растений.
- 3. Предложен и реализован метод синтеза ранее неизвестного двумодального «Off-On» сенсора ряда БОДИПИ, содержащего «псевдо-краун» эфирную и дипиколиламинововую хелатирующие группы. Показана его эффективность для детектирования одновременного присутствия в растворе Al^{3+} и Zn^{2+} .
- 4. Впервые систематически изучена перспективность использования полифенолзамещенных красителей ряда БОДИПИ в качестве универсальной платформы для создания флуоресцентных сенсоров на различные биоаналиты. Разработаны доступные методы синтеза производных БОДИПИ с хелатирующими и/или реакционноспособными группами активными в отношении S-нуклеофилов, активных форм кислорода, Hg²⁺, а также чувствительных к гипоксии раковых клеток.
- 5. Продемонстрировано, что за счет введения 7-нитро-1,2,3-бензоксадиазольных реакционно-способных групп в структуру 3,8-бисфеносодержащего БОДИПИ могут быть получены эффективные в водных средах «Off-On» хемосенсоры селективные в отношении SO_3^{2-} . Функционализация с помощью эфира 4-нитрофенилуксусной кислоты позволила получить «On-Off» сенсор для визуализации гипоксических раковых клеток легкого.
- 6. На базе 3,8-бисфеносодержащего БОДИПИ, за счет введения по концевым ОН-группам винилового и 2,4-динитробензолсульфонильного заместителей разработан двумодальный «Off-On» сенсор, позволяющий осуществлять мониторинг последовательного поступление Hg^{2+} и HS^{-} в физиологических средах.

V. Экспериментальная часть

Спектры ЯМР ¹H, ¹³C, ¹¹B, ¹⁹F регистрировали на спектрометре BrukerWM-300 МГц или на Bruker Avance Neo 500 МГц. Химические сдвиги приведены в м.д. в шкале δ относительно растворителя (¹H: CDCl₃, $\delta = 7.27$ ppm, DMSO- d_6 , $\delta = 2.50$ ppm; ¹³C: CDCl₃, $\delta = 77.00$ ppm, DMSO-d6, $\delta = 39.50$ ppm.). Мультиплетность сигналов обозначается как с, синглет; д, дублет; т, триплет; кв, квадруплет; м, мультиплет; дд, дублет дублетов, ддд, дублет дублетов дублетов, дддд, дублет дублетов дублетов и тд. Значения констант спин-спинового взаимодействия (J) приведены в Герцах. ИК-спектры регистрировали на приборе Bruker Vector 22 в виде прессовок с бромидом калия или в тонком слое. Температуры плавления (т. пл.) определяли на столике Кофлера и не корректировали. Масс спектры высокого разрешения были зарегистрированы на приборе Bruker MicroTOF II методом электрораспылительной ионизации (ESI). Измерения выполнены на положительных (напряжение на капилляре – 4500 V) или отрицательных (напряжение на капилляре 3200 V) ионах. Диапазон сканирования масс - m/z 50 -3000 Да, калибровка - внешняя или внутренняя (Electrospray Calibrant Solution, Fluka). MALDI-TOF масс-спектры были сняты на Bruker Daltonics Ultraflex II LRF 2000 (матрица: дитранол). HPLC-MS анализ выполнен на Thermo-Dionex Ultimate 3000. Контроль за ходом реакций и чистотой химических веществ осуществляли методом TCX («Cilufol-UV-254»). Препаративная колоночная хроматография выполнялась с использованием силикагеля 60 (Acros 60A, 0.060-0.200 мм, 230-400 меш, Метск). УФ спектры и спектры флуоресценции измерялись на спектрофотометре Флюорат-02-Панорама при температуре 20 ± 1°C или на флуориметре HORIBA Jobin Yvon Fluorolog и спектрофотометре Varian Cary 50 Scan. Наблюдаемая флуоресценция детектировалась под прямым углом относительно пучка возбуждения. Спектры флуоресценции были скорректированы по отношению к чувствительности измеряющего фотоэлектронного умножителя. Для снятия спектров поглощения и флуоресценции использовались спектроскопически чистые растворители фирм Aldrich и Acros. 3-Этил-2,4диметилпиррол, 2-хлорацетилхлорид, эфират трехфтористого бора, триэтиламин, ди-трем-1,4-диоксан, бутилкарбонат, соляная кислота, уксусный ангидрид, пиридин, диметиламинопиридин, иодид калия и карбонат калия являются коммерческими реагентами и были использованы без дополнительной очистки. Растворители очищали по стандартным методикам.

Высокоэффективная жидкостная хроматография

Несколько хроматографических систем были использованы для аналитических экспериментов и очистки (путем полупрепаративной ОФ-ВЭЖХ или системой автоматической флеш-очистки):

Система А: ОФ-ВЖХ с СН₃CN и 0.1% трифторуксусной кислотой (водная TFA 0.1%, pH 2.0) в роли элюента [50% СН₃CN (5 мин), затем линейный градиент с 50% до 100% (30 мин) СН₃CN] при скорости потока 4 мл/мин. Система В: полупрепаративная ОФ-ВЖХ с СН₃CN и 0.1% трифторуксусной кислотой (водная TFA 0.1 %, pH 2.0) в роли элюента [60% СН₃CN (5 мин), затем линейный градиент с 60% до 100% (20 мин) СН₃CN] при скорости потока 4.0 мл/мин. Система С: полупрепаративная ОФ-ВЖХ с СН₃CN и 0.1% трифторуксусной кислотой (водная TFA 0.1%, pH 2.0) в роли элюента [35% СН₃CN (5 мин), затем линейный градиент с 35% до 60% (10 мин) СН₃CN, затем линейный градиент с 60 % до 100 %] при скорости потока 4.0 мл/мин. Система D: ОФ-ВЖХ (Silicycle) с СН₃CN и 0.1% трифторуксусной кислотой (водная TFA 0.1%, pH 2.0) в роли элюента [25% СН₃CN (5 мин), затем линейный градиент с 25% до 50% (15 мин) СН₃CN, затем линейный градиент с 50% до 100% (45 мин) СН₃CN] при скорости потока 20 мл/мин.

Расчет квантовых выходов флуоресценции

Квантовые выходы флуоресценции определялись в насыщенных воздухом растворах при температуре 20 ± 1 °C. Для расчета квантовых выходов использовалась следующая формула [148]:

$$\varphi^{fluor} = \varphi^{fluor}_R \cdot (S \cdot (1-10^{-Ar}) \cdot n^2) / (S_R \cdot (1-10^{-A}) \cdot n_R^2)$$

Где φ^{fluor} и φ^{fluor}_R — квантовые выходы анализируемого раствора и стандарта соответственно, A и A_R — оптическая плотность анализируемого раствора и раствора стандарта соответственно, S и S_R — площадь под кривой спектра флуоресценции анализируемого раствора и раствора стандарта соответственно, n и n_R — показатели преломления растворителей исследуемого вещества и стандартного соединения.

Расчет предела обнаружения сенсора

Предел обнаружения был рассчитан, как описано в работе [149]. Спектры испускания сенсора были собраны 30 раз для определения фонового шума σ. Кривая линейной регрессии была построена в соответствии с интенсивностью испускания сенсора в зависимости от концентраций аналита в диапазоне 0–30 мкМ, и была получена величина наклона кривой. Предел обнаружения был затем определен как отношение 3 σ к величине наклона.

V.1. Синтез соединений перспективных для детектирования катионов металлов.

но_мон **2,2'-(Фенилазандиил)бис(этан-1-ол) (2а)**

Получен согласно литературной методике [150]. Смесь 2-(фениламино)этанола (2.0 г, 14.6 ммоль, 1.0 экв), 2-хлорэтанола (2.1 г, 24.2 ммоль, 1.7 экв), СаСО₃ (2.5 г, 25.0 ммоль, 1.7 экв) и КІ (0.24 г, 1.12 ммоль, 0.076 экв) в воде (30 мл) кипятили с обратным холодильником при интенсивном перемешивании в течение 15 часов. Ход реакции контролировали с помощью ТСХ (элюент петр. эф. – EtOAc, 1 : 1). После охлаждения температуры осадок отфильтровали, реакционной смеси ДО комнатной фильтрат экстрагировали EtOAc (3 × 30 мл). Органический экстракт сушили над Na₂SO₄, затем удаляли при пониженном давлении. Продукт очищали колоночной хроматографией на силикагеле, (элюент петр. эф. – EtOAc $1:1 \to 1:10$). Бесцветное масло, выход 2.0 г, (74%), т. пл. 55-57 °C. (т. пл. лит 57 °C) ¹Н ЯМР (300 МГц, CDCl₃): δ 3.52 (т, J = 4.8 Γ ц, 4H, CH₂N), 3.78 (т, J = 4.8 Γ ц, 4H, CH₂O), 4.12 (с, 2H, OH), 6.68 (дд, J = 8.4 Γ ц, 1H, ArH), 6.73 $(д, J = 6.9 \Gamma ц, 2H, ArH), 7.24 (м, 2H, Ar-H). LRMS (ESI, LC-MS): m/z 182.2 [M + H]^+, рассчитано$ для С₁₀Н₁₆NO₂ 182.2.

2-((2-(2-Гидроксиэтокси)этил)фенил)амино)этан-1-ол (2b)

согласно литературной 2методике [151]. (фениламино) этанола (4.0 г, 29.2 ммоль, 1.0 экв), 2-(2-хлорэтокси) этанола (6.0 г, 48.2 ммоль, 1.7 экв), СаСО3 (5.0 г, 50.0 ммоль, 1.7 экв) и КІ (0.48 г, 2.24 ммоль, 0.077 экв) в воде (60 мл) кипятили с обратным холодильником при интенсивном перемешивании в течение 15 часов. Ход реакции контролировали с помощью TCX (элюент петр. эф. – EtOAc, 1:1). После охлаждения реакционной смеси до комнатной температуры осадок отфильтровали, фильтрат экстрагировали EtOAc (3 × 60 мл). Органический экстракт сушили над Na₂SO₄, затем растворитель удаляли при пониженном давлении. Продукт очищали колоночной хроматографией (элюент петр. эф. – EtOAc, $1:1 \rightarrow 1:10$). Бесцветное масло, выход 4.6 г (73%), 1 Н ЯМР (300 МГц, CDCl₃): δ 3.54–3.81 (м, 13H, $6 \times$ CH₂ + OH), 4.10–4.36 (уш. c, 1H, OH), 6.68– 6.71 (м, 3H, 3 × CH), 7.19–7.27 (м, 2H, 2 × CH). МС (ЭИ) рассчитано для $C_{12}H_{19}NO_2$ ([M]⁺) 255, найдено *m/z* 225.

_{AcO_____OAc} (Фенилазандиил)бис(этан-2,1-диил) диацетат (3а)

Получен согласно литературной методике [152]. К раствору 2,2'- (фенилазандиил)бис(этан-1-ола) (2а) (2.0 г, 10.22 ммоль) и пиридина (2.6 мл, 32.25 ммоль) в CH₂Cl₂ (10 мл) при 0 °C добавляли по каплям уксусный ангидрид (3.2 мл, 33.9

ммоль). Реакционную смесь перемешивали в течение 20 часов при комнатной температуре. Ход реакции контролировали с помощью ТСХ (элюент петр. эф. – EtOAc, 1 : 1). Реакционную смесь разбавляли CH_2Cl_2 (20 мл) и промывали водой (3 × 20 мл). Органический слой сушили над Na_2SO_4 , растворитель удаляли при пониженном давлении. Продукт очищали колоночной хроматографией (элюент петр. эф. – EtOAc, 1:1 \rightarrow 1:10). Вязкое масло, выход 2.0 г (80%), ¹H ЯМР (300 МГц, CDCl₃): δ 2.04 (c, 6H, 2 × CH₃), 3.59–3.63 (т, 4H, J = 12.6 Гц, 2 × CH₂), 4.21–4.24 (т, 4H, J = 12.5 Гц, 2 × CH₂), 6.70–6.76 (м, 3H, 3 × CH), 7.20–7.24 (м, 2H, 2 × CH). МС (ЭИ) рассчитано для $C_{14}H_{19}NO_4$ ([M]⁺) 265, найдено m/z 265.

Асо оАс **2-((**

ода **2-((2-(2- Ацетоксиэтокси)этил)(фенил)амино)этилацетат (3b)**

AcO_____OAc ((4-Формилфенил)азандиил)бис(этан-2,1-диил)диацетат (4a)

Получен согласно литературной методике [152]. К сухому ДМФА (1.0 мл,) при 0 °C при перемешивании добавляли по каплям POCl₃ (0.20 мл, 1.60 ммоль). Полученную смесь перемешивали 1 час при комнатной температуре. Затем добавляли раствор (фенилазандиил)бис(этан-2,1-диил)диацетата (3а) (2.0 г, 5.82 ммоль) в сухом ДМФА (1 мл). Реакционную смесь нагревали при 90 °C в течение 2 ч, после чего охлаждали и выливали в лед, далее добавляли насыщенный раствор ацетата натрия до рН 7. Смесь экстрагировали ЕtOAc (3 \times 50 мл) и сушили над Na₂SO₄. Растворитель удаляли при пониженном давлении. Продукт очищали колоночной хроматографией (элюент петр. эф. – EtOAc, 1 : 1). Вязкое бесцветное масло, выход 1.62 г (83%). ¹H ЯМР (300 МГц, CDCl₃): δ 2.04 (c, 6H, 2 \times CH₃) , 3.71 – 3.74 (м, 4H, 2 \times CH₂), 4.26 – 4.29 (т, 4H, 2 \times CH₂), 7.74 (д, 2H, J = 8.7 Гц, 2 \times CH), 6.82(д, 2H, J = 8.7 Гц, 2 \times CH), 9.74 (c, 1H, CHO). МС (ЭИ) рассчитано для C₁₅H₁₉NO₅ ([M]⁺) 293, найдено m/z 293.

ода 2-((2-(2-Ацетоксиэтокси)этил)(4-формилфенил)амино)этилацетат (4b)

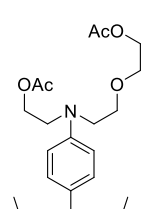
Получен согласно литературной методике [89]. К сухому ДМФА (1.5 мл) при 0 °С при перемешивании добавляли по каплям POCl₃ (0.29 мл, 3.10 ммоль). Полученную смесь перемешивали 1 час при комнатной температуре. Затем добавляли растворенный 2-((2-(2-ацетокси)этил)(фенил)амино)-этилацетат (3b) (3.0 г, 9.71 ммоль) в сухом ДМФА (1 мл). Реакционную смесь нагревали при 90 °С в течение 2 ч, после чего охлаждали и выливали в лед, далее добавляли насыщенный раствор ацетата натрия до рН 7. Смесь экстрагировали EtOAc (3 \times 50 мл) и сушили над Na₂SO₄. Растворитель удаляли при пониженном давлении. Продукт очищали колоночной хроматографией (элюент петр. эф. – EtOAc, 1 : 1). Вязкое бесцветное масло, выход 2.9 г (89%). ¹H ЯМР (300 МГц, CDCl₃): δ 2.04 (c, 3H, CH₃), 2.05 (c, 3H, CH₃), 3.63–3.69 (м, 6H, 3 \times CH₂), 3.74 (т, J = 6.4 Гц, 2H, CH₂), 4.19–4.23 (м, 2H, CH₂), 4.29 (т, J = 6.4 Гц, 2H, CH₂), 6.81 (д, J = 8.9 Гц, 2H, 2 \times CH), 7.74 (д, J = 8.9 Гц, 2H, 2 \times CH), 9.75 (c, 1H, CHO). МС (ЭИ) рассчитано для C₁₇H₂₃NO₆ ([M]⁺) 337, найдено m/z 337.

6-Диэтил-1,3,5,7-тетраметил-8-фенил-4-бора-3а,4а-диаза-s-индацен (7)

Получен согласно литературной методике [153]. К раствору бензальдегида

(0.48 мл, 4.71 ммоль, 1.0 экв) и 3-этил-2,4-диметил-1*H*-пиррола (1.38 мл,

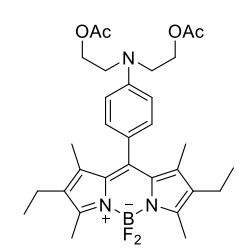
10.24 ммоль, 2.2 экв) в CH₂Cl₂ (46 мл) в атмосфере аргона добавили трифторуксусную кислоту (одна капля, 15 µл). Полученный раствор перемешивали при комнатной температуре в течение 12 часов, затем добавили раствор 2,3-дихлор-5,6-дициано-1,4-бензохинона (1.18 г, 5.20 ммоль, 1.1 экв) в CH₂Cl₂ (120 мл). Перемешивали 20 минут при комнатной температуре, охладили до 0 °C, добавили триэтиламин (12 мл), затем BF₃·OEt₂ (12 мл). Полученный раствор перемешивали при комнатной температуре в течение 1 часа. Реакционную смесь экстрагировали 5% водным раствором NaHCO₃ (2 × 50 мл). Органический слой промывали водой (3 × 100 мл), пропускали через слой целита, сушили над безводным Na₂SO₄ и концентрировали при пониженном давлении. Остаток дважды очищали колоночной хроматографией (элюент петр. эф. – CH₂Cl₂, 1 : 0 → 1 : 2). Красное твердое вещество, выход 720 мг (40%), т. пл. 185–186 °C (т. пл лит 185-186 °C [154]). ¹H ЯМР (300 МГц, CDCl₃): δ 1.00 (т, 6H, J = 7.3 Гц, 2 × CH₃), 1.30 (с, 6H, 2 × CH₃), 2.32 (кв, 4H, J = 7.3 Гц, 2 × CH₂), 2.54 (с, 6H, 2 × CH₃), 7.29–7.31 (м, 2H, 2 × CH), 7.48–7.50 (м, 3H, 3 × CH). МС (ЭИ) рассчитано для C₂₃H₂₇BF₂N₂ ([М]⁺) 380, найдено m/z 380.



4,4-Дифтор-8-(4-(2-(2-ацетоксиэтокси)этил)-(2ацетоксиэтил)аминофенил)-1,3,5,7-тетраметил-4-бора-3а,4а-диаза-s-индацен (S1)

К раствору 4-((2-(2-ацетоксиэтокси)этил)(2-ацетоксиэтил)амино)-бензальдегида (4b) (200 мг, 0.59 ммоль, 1.0 экв) и 2,4-диметилпиррола (0.13 мл, 1.26 ммоль, 2.1 экв) в CH_2Cl_2 (18 мл) в атмосфере аргона добавили трифторуксусную кислоту (одна

капля, 15 мкл). Полученный раствор перемешивали при комнатной температуре в течение 12 часов, затем добавили раствор 2,3-дихлор-5,6-дициано-1,4-бензохинона (148 мг, 0.65 ммоль, 1.1 экв) в CH₂Cl₂ (23 мл). Перемешивали 12 часов при комнатной температуре, охладили до 0 °C, добавили триэтиламин (3.6 мл), затем BF₃·OEt₂ (3.6 мл). Полученный раствор перемешивали при комнатной температуре в течение 12 часов. Реакционную смесь экстрагировали 5% водным раствором NaHCO₃ (2 × 30 мл). Органический слой промывали водой (3 × 30 мл), пропускали через слой целита, сушили над безводным Na2SO4 и концентрировали при пониженном давлении. Остаток дважды очищали колоночной хроматографией ($CH_2Cl_2 - MeOH, 1: 0 \rightarrow 20:$ 1). Твердое красное вещество, выход 17 мг (5%), т. пл. 102-105 °C ¹H ЯМР (400 МГц, CDCl₃): δ 1.52 (c, 6H, $2 \times \text{CH}_3$), 2.08 (c, 3H, CH₃), 2.11 (c, 3H, CH₃), 2.57 (c, 6H, $2 \times \text{CH}_3$), 3.65 (T, 2H, J = 5.8 Γ ц, 2 × CH₂), 3.68–3.73 (м, 6H, 3 × CH₂), 4.24–4.25 (м, 2H, CH₂), 4.31 (т, 2H, J = 6.5 Γ ц, CH₂), 5.89 (c, 2H, 2 × CH), 6.87 (μ , 2H, μ = 8.7 μ , 2 × CH), 7.09 (μ , 2H, μ = 8.7 μ , 2 × CH). ¹³C 9MP (125) ΜΓμ, CDCl₃): δ 14.5, 14.7, 20.9, 49.9, 51.1, 61.1, 63.4, 68.4, 69.2, 112.4, 120.9, 123.1, 129.1, 132.1, 142.7, 143.1, 147.7, 154.9, 171.9 (C=O). ¹⁹F ЯМР (282 МГц, CDCl₃): δ –146.3 (κв, ¹J_{F-B} = 38.0 Γц, 2F). ¹¹B ЯМР (96 МГц, CDCl₃): δ 0.78 (т, J = 38.0 Гц). HRMS (ESI/Q-TOF): рассчитано для $C_{26}H_{36}BF_2N_3O_5Na$ ([M+Na]⁺), 578.2613, найдено m/z 578.2616. UV-vis (MeCN): $\lambda_{max} = 497$ нм ($\epsilon =$ 81000 M⁻¹ cm⁻¹).

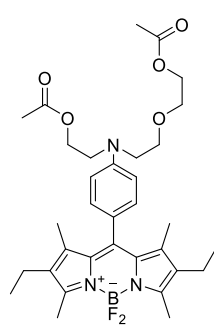


(2,6-Диэтил-4,4-дифтор-1,7-диметил-4-фенил-4-бора-3а,4а-диаза-sиндацен)фенил)азандиил)бис(этан-2,1-диил)диацетат (S2)

К раствору соединения **4a** (500 мг. 1.70 ммоль, 1.0 экв) и 3-этил-2,4-диметил-1H-пиррола (0.42 мл, 3.12 ммоль, 1.8 экв) в $\mathrm{CH_2Cl_2}$ (46 мл) в атмосфере аргона добавили трифторуксусную кислоту (одна капля, 15 μ л). Полученный раствор

перемешивали при комнатной температуре в течение 12 часов, затем добавили раствор 2,3-дихлор-5,6-дициано-1,4-бензохинона (148 мг, 0.65 ммоль, 1.1 экв) в CH_2Cl_2 (23 мл). Перемешивали 5 часов при комнатной температуре, охладили до 0 °C, добавили триэтиламин (9 мл), затем $BF_3 \cdot OEt_2$ (9 мл). Полученный раствор перемешивали при комнатной температуре в течение 12 часов. Реакционную смесь экстрагировали 5% водным раствором $NaHCO_3$ (2 × 30 мл). Органический слой промывали водой (3 × 30 мл), пропускали через слой целита, сушили над безводным Na_2SO_4 и концентрировали при пониженном давлении. Остаток дважды очищали колоночной хроматографией (CH_2Cl_2 – MeOH, 1:0 \rightarrow 100:1). Твердое красное вещество, выход 382 мг (35%), т. пл 173-175 °C. 1 H ЯМР (300 МГц, $CDCl_3$): δ 1.00 (т, δ H, J = 7.5 Γ I, 2 × Γ H, 3.70 (с, δ H, 2 × Γ H, 3.70 (с, δ H, 3.70 (т, 4H, δ H, 3.70 (г, 4H, 3.70 (г, 4H, 3.70 (г), 4

21.0, 49.9, 53.5, 61.2, 112.5, 124.4, 129.4, 129.5, 131.6, 132.6, 138.5, 147.4, 153.3, 171.0 (C=O). ¹⁹F ЯМР (282 МГц, CDCl₃): δ –146.6 (кв, ${}^{1}J_{\text{F-B}}$ = 32.0 Гц, 2F). ${}^{11}\text{B}$ ЯМР (96 МГц, CDCl₃): δ 0.86 (т, J= 33.4 Γ ц). HRMS (ESI/Q-TOF) рассчитано для $C_{31}H_{40}BF_2N_3O_4Na$ ([M+Na]⁺), 590.4822; найдено m/z 590.4825.

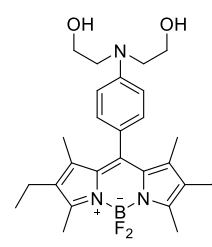


4,4-Дифтор-8-[4-(2-(2-ацетоксиэтокси)этил)-(2ацетоксиэтил)аминофенил]-2,6-диэтил-1,3,5,7-тетраметил-4-бора-3а,4адиаза-s-индацен (S3)

К раствору соединения 4b (500 мг, 1.48 ммоль, 1.0 экв) и 3-этил-2,4-диметил-

1H-пиррола (0.42 мл, 3.12 ммоль, 2.1 экв) в $\mathrm{CH_2Cl_2}$ (46 мл) в атмосфере аргона

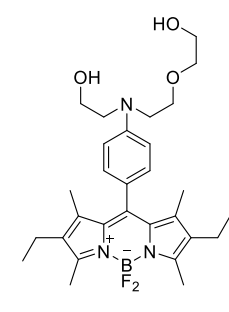
добавили трифторуксусную кислоту (одна капля, 15 мкл). Полученный раствор перемешивали при комнатной температуре в течение 12 часов, затем добавили раствор 2,3-дихлор-5,6-дициано-1,4-бензохинона (148 мг, 0.65 ммоль, 1.1 экв) в CH₂Cl₂ (23 мл). Перемешивали 5 часов при комнатной температуре, охладили до 0 °C, добавили триэтиламин (9 мл), затем BF₃·OEt₂ (9 мл). Полученный раствор перемешивали при комнатной температуре в течение 12 часов. Реакционную смесь экстрагировали 5% водным раствором NaHCO₃ (2 × 30 мл). Органический слой промывали водой (3 × 30 мл), пропускали через слой целита, сушили над безводным Na₂SO₄ и концентрировали при пониженном давлении. Остаток дважды очищали колоночной хроматографией (CH₂Cl₂ – MeOH, $1:0\to100:1$). Твердое красное вещество, выход 382 мг (42%), т. пл. 126 -129 °С. 1 Н ЯМР (300 МГц, CDCl₃): δ 1.01 (т, 6H, J = 7.2 Γ_{II} , 2 × CH₃), 1.41 (c, 6H, 2 × CH₃), 2.08 (c, 3H, CH₃), 2.11 (c, 3H, CH₃), 2.33 (kB, 4H, J = 7.2 Γ_{II} , 2 × CH₂), 2.54 (yIII. c, 6H, 2 × CH₃), 3.61–3.75 (M, 8H, 4 × CH₂), 4.25 (T, 2H, $J = 4.8 \Gamma_{II}$, CH₂), 4.31 (т, 2H, J = 6.6 Гц, CH₂), 6.84 (д, 2H, J = 8.8 Гц, 2 × CH), 7.08 (д, 2H, J = 8.8 Гц, 2 × CH). ¹³C ЯМР (75 МГц, CDCl₃): δ 12.1, 12.6, 14.7, 17.2, 21.0, 49.2, 51.1, 61.4, 63.6, 68.6, 69.3, 112.2, 123.7, 129.4, 129.5, 131.6, 132.6, 138.6, 141.2, 147.9, 148.8, 153.2, 171.0 (C=O). ¹⁹F ЯМР (282 МГц, CDCl₃): δ –146.6 (kb, ${}^{1}J_{\text{F-B}} = 35.4 \, \Gamma \text{II}$, 2F). ${}^{11}\text{B}$ 9MP (96 M ΓII , CDCl₃): δ 0.86 (t, $J = 35.4 \, \Gamma \text{II}$). HRMS (ESI/O-TOF) рассчитано для $C_{33}H_{44}BF_2N_3O_5Na$ ([M+Na]⁺), 634.3237; найдено m/z634.3240. UV-vis (MeCN): $\lambda_{\text{max}} = 523 \text{ HM} \ (\epsilon = 93000 \text{ M}^{-1} \text{ cm}^{-1}).$



((2,6-Диэтил-4,4-дифтор-1,7-диметил-4-фенил-4-бора-3а,4а-диаза-sиндацен)фенил)азанедиил)бис(этан-1-ол) (S4)

Раствор LiOH (5 мг, 0.21 ммоль, 2.1 экв) в воде (0.4 мл) добавили к раствору соединения S2 (61 мг, 0.10 ммоль, 1.0 экв) в $T\Gamma\Phi/MeOH$ (0.4 : 1.6 мл) в атмосфере аргона. Полученную смесь перемешивали при комнатной температуре в течение 12 часов, затем растворитель удаляли при пониженном давлении. Продукт дважды очищали колоночной хроматографией ($CH_2Cl_2 - MeOH, 1: 0 \rightarrow 100: 1$).

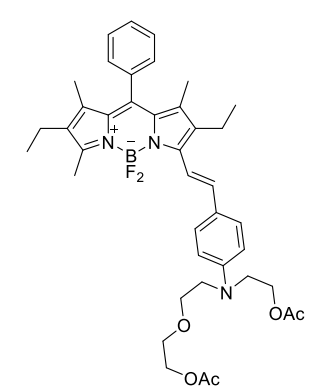
Твердое красное вещество, выход 43 мг (78%), т. пл. 133– 134 °C. ¹Н ЯМР (300 МГц, CDCl₃): δ 1.00 (т, 6H, J = 7.5 Гц, 2 × CH₃), 1.41 (с, 6H, 2 × CH₃), 2.32 (кв, 4H, J = 7.5 Гц, 2 × CH₂), 2.54 (с, 6H, 2 × CH₃), 3.53 (с, 2H, 2 × OH), 3.67 (т, 4H, J = 4.9 Гц, 2 × CH₂), 3.93 (т, 4H, J = 4.9 Гц, 2 × CH₂), 6.78 (д, 2H, J = 8.5 Гц, 2 × CH), 7.08 (д, 2H, J = 8.5 Гц, 2 × CH). ¹³C ЯМР (75 МГц, CDCl₃): δ 12.0, 12.5, 14.7, 17.2, 29.8, 30.1, 60.6, 68.1, 77.3, 113.4, 129.4, 129.5, 131.5, 132.6, 138.5, 142.3, 153.4. ¹⁹F ЯМР (282 МГц, CDCl₃): δ –146.5 (кв, ${}^{I}J_{F-B}$ = 32.4 Гц, 2F). ¹¹В ЯМР (96 МГц, CDCl₃): δ 0.82 (т, J = 33.7 Гц). HRMS (ESI/Q-TOF) рассчитано для $C_{29}H_{40}BF_{2}N_{3}O_{3}Na$ ([M+Na]⁺), 550.3028; найдено m/z, 550.3023.



4,4-Дифтор-8-[4-(2-(2-этокси)этил)(2-ацетоксиэтил)аминофенил]-2,6диэтил-1,3,5,7-тетраметил-4-бора-3а,4а-диаза-s-индацен (S5)

Раствор LiOH (5 мг, 0.21 ммоль, 2.1 экв) (0.4 мл) добавили к раствору соединения **S3** (61 мг, 0.10 ммоль, 1.0 экв) в ТГФ/МеОН (0.4 : 1.6 мл) в атмосфере аргона. Полученную смесь перемешивали при комнатной температуре в течение 12 часов, затем растворитель удаляли при пониженном

давлении. Продукт дважды очищали колоночной хроматографией (CH₂Cl₂ – MeOH, 1 : 0 \rightarrow 100 : 1). Твердое красное вещество, выход 43 мг (78%), т. пл. 78 – 81 °C. ¹H ЯМР (300 М8Гц, CDCl₃): δ 1.01 (т, 6H, J = 7.5 Гц, 2 × CH₃), 1.46 (с, 6H, 2 × CH₃), 2.33 (кв, 4H, J = 7.5 Гц, 2 × CH₂), 2.48 (уш. с, 6H, 2 × CH₃), 3.52–3.73 (м, 12H, 6 × CH₂), 6.92 (д, 2H, J = 8.9 Гц, 2 × CH), 7.08 (д, 2H, J = 8.9 Гц, 2 × CH), сигналы ОН-групп не наблюдаются. ¹³C ЯМР (75 МГц, CDCl₃): δ 11.2, 11.7, 13.9, 16.5, 50.9, 53.8, 59.1, 60.9, 68.1, 72.5, 112.3, 120.3, 122.1, 128.9, 129.0, 131.7, 132.7, 138.9, 142.3, 148.7, 148.8, 153.8. ¹9F ЯМР (282 МГц, CDCl₃): δ –145.0 (кв, 1J _{F-B} = 35.6 Гц, 2F). 11 В ЯМР (96 МГц, CDCl₃): δ 0.73 (т, J = 35.6 Гц). HRMS (ESI/Q-TOF) рассчитано для С₂₉H₄₀BF₂N₃O₃Na ([M + Na]⁺) 550.3028; найдено m/z 550.3023. UV-vis (MeCN): λ _{max} = 521 нм (ϵ = 100000 M⁻¹ см⁻¹).



(E)-5-(4-((2-(2-Ацетоксиэтокси)этил)(2-ацетоксиэтил)амино)стирил)-2,6-диэтил-4,4-дифтор-1,3,7-триметил-8-фенил-4-бора-3а,4а-диаза-s-индацен (S6)

Смесь альдегида **4b** (266 мг, 0.79 ммоль, 3.0 экв), соединения **7** (100 мг, 0.26 ммоль, 1.0 экв), пиперидина (0.15 мл, 1.52 ммоль, 5.8 экв) и уксусной кислоты (0.15 мл, 2.63 ммоль, 10.0 экв) кипятили в сухом толуоле (18 мл) с обратным холодильником в течение 12 ч, используя насадку Дина-

Старка. После охлаждения смеси до комнатной температуры растворитель отгоняли при пониженном давлении. Продукт трижды очищали с помощью колоночной хроматографии (петр. эф. – EtOAc, $1:0\to 2:1$). Темно-синее твердое вещество, выход 78 мг (43 %), т. пл. 125-127 °C. 1 H ЯМР (300 МГц, CDCl₃): δ 1.01 (т, 3H, J=7.5 Гц, CH₃), 1.16 (т, 3H, J=7.4 Гц, CH₃),

1.30 (c, 3H, CH₃), 1.32 (c, 3H, CH₃), 2.07 (c, 3H, CH₃), 2.10 (c, 3H, CH₃), 2.29 (кв, 2H, J = 7.5 Гц, CH₂), 2.59 (c, 3H, CH₃), 2.60 (кв, 2H, J = 7.4 Гц, CH₂), 3.64–3.72 (м, 8H, 4 × CH₂), 4.22 – 4.25 (м, 2H, CH₂), 4.29 (т, 2H, J = 6.3 Гц CH₂), 6.78 (д, 2H, J = 8.7 Гц, CH₂), 7.19 (д, 1H, J = 16.6 Гц, CH), 7.30 – 7.33 (м, 2H, 2 × CH), 7.48–7.53 (м, 5H, 5 × CH), 7.60 (д, 1H, J = 16.6 Гц, CH). ¹³C ЯМР (75 МГц, CDCl₃): δ 11.4, 11.6, 12.7, 14.0, 14.6, 17.1, 18.4, 20.9, 29.7, 50.3, 51.4, 61.2, 63.5, 68.5, 69.3, 112.6, 116.5, 127.1, 128.5, 128.6, 128.7, 128.8, 129.0, 129.2, 131.5, 132.0, 133.0, 135.3, 135.7, 136.1, 137.9, 138.6, 38.7, 147.3, 150.4, 153.8, 170.8, 170.9. ¹⁹F ЯМР (282 МГц, CDCl₃): δ –142.5 (кв, ¹J _{F-B} = 33.6 Гц, 2F). ¹¹B ЯМР (96 МГц, CDCl₃): δ 1.05 (т, J = 33.6 Гц). HRMS (ESI/Q-ТОF) рассчитано для C₄₀H₄₉BF₂N₃O₅ ([M]⁺) 699.3656; найдено m/z 699.3660. UV-vis (MeCN): λ _{max} = 613 нм (ϵ = 70000 M⁻¹ cм⁻¹).

AcO O O OAc

3,5-Бис((*E*)-4-((2-(2-ацетоксиэтокси)этил)(2ацетоксиэтил)амино)стирол)-2,6-диэтил-4,4-дифтор-1,7-диметил-4-фенил-4-бора-3а,4а-диаза-s-индацен (S7)

Содеинение дважды очищали колоночной хроматографией (петр.

Выделен как побочный продукт в синтезе соединения

эф. – EtOAc, $1:0\to 2:1$). Твердое темно-зеленое вещество, выход 42 мг (16%), т. пл. 98 – 100 °C. ¹Н ЯМР (300 МГц, CDCl₃): δ 1.14 (т, 6H, J=7.4 Гц, $2\times$ CH₃), 1.33 (c, 6H, $2\times$ CH₃), 1.99 (c, 6H, $2\times$ CH₃), 2.00 (c, 6H, $2\times$ CH₃), 2.58–2.69 (м, 4H, $2\times$ CH₂), 3.62 – 3.66 (м, 16H, $8\times$ CH₂), 4.13 – 4.14 (м, 4H, $2\times$ CH₂), 4.24 (т, 4H, J=6.1 Гц, $2\times$ CH₂), 6.80 – 6.90 (м, 4H, $2\times$ CH₂), 7.38–7.54 (м, 13H, 13 × CH). ¹³C ЯМР (75 МГц, CDCl₃): δ 11.4, 14.0, 18.4, 20.8, 50.1, 51.4, 53.3, 61.4, 63.4, 68.7, 69.3, 112.1, 112.2, 116.4, 116.7, 126.8, 128.6, 128.7, 128.9, 129.0, 129.3, 133.4, 135.5, 146.6, 147.7, 170.8, 170.9. ¹9F ЯМР (282 МГц, CDCl₃): δ –139.6–139.0 (м, 2F). ¹¹B ЯМР (96 МГц, CDCl₃): δ 0.98 – 1.64 (м). HRMS (ESI/Q-TOF) рассчитано для $C_{57}H_{69}BF_2N_4O_{10}$ ([M]⁺) 1018.5079; найдено m/z 1018.5076. UV-vis (MeCN): $\lambda_{max}=704$ нм ($\epsilon=33000$ М⁻¹ см⁻¹).

, CI

8-(Хлорметил)-4,4-дифтор-1,3,5,7-тетраметил-2,6-диэтил-4-бора-3а,4адиаза-s-индацен (18)

Получен согласно литературной методике [94]. К раствору 3-этил-2,4-диметилпиррола (6) (1.9 мл, 4.06 ммоль, 2.0 экв) в CH_2Cl_2 (10 мл) в атмосфере аргона добавили 2-хлорацетилхлорид (1.0 мл, 2.03 ммоль, 1.0 экв) и перемешивали реакционную смесь при 37 °C в течение часа. Затем смесь охладили до комнатной температуры, CH_2Cl_2 отогнали при пониженном давлении. Остаток растворили в толуола (20 мл,) добавили триэтиламина (1.5 мл), перемешивали 15 минут при комнатной температуре в атмосфере аргона, затем добавили $BF_3 \cdot Et_2O$ (2.3 мл) и выдерживали реакционную смесь при комнатной температуре еще в течение

часа. Растворитель отогнали при пониженном давлении. Остаток повторно растворили в H_2O (25 мл) и водную фракцию экстрагировали EtOAc (3 × 10 мл). Органическую фракцию сушили над Na_2SO_4 и концентрировали в вакууме. Продукт **18** выделяли методом колоночной хроматографии (петр. эф. – EtOAc, 50 : 1). Получили 830 мг порошка пурпурно-красного цвета (39%) с т.пл. 253 - 255 °C (т. пл. лит = 251 - 252 °C) [94], $R_f = 0.30$ (петр. эфир – EtOAc, 5 : 1). ¹H ЯМР (300 МГц, $CDCl_3$): δ 4.97 (c, 2H, CH_2Cl), 2.50 (c, 6H, 2 × CH_3), 2.45 (c, 6H, 2 × CH_3), 2.40 (кв, J = 7.3 Гц, 4H, 2 × CH_2) 1.02 (т, J = 7.3 Гц, 6H, 2 × CH_3). HRMS (ESI/Q-TOF): рассчитано для $C_{18}H_{24}BClF_2N_2Na$ ($[M+Na]^+$) 375.1585; найдено m/z 375.1584.

(E)-2-((2-(2-Ацетоксиэтокси)этил)(4-(2-(10-(4-(бис(пиридин-2-ил-метил)амино)фенил)-2,6-диэтил-4,4-дифтор-1,7-диметил-4-фенил-4-бора-3а,4а-диаза-s-индацен (21)

согласно литературной Получен методике [89]. раствору хлорметилпридина ($2.0 \, \Gamma$, $12.0 \, \text{ммоль}$) в $H_2O \, (0.5 \, \text{мл})$ добавили анилин ($0.6 \, \Gamma$, $6.0 \, \text{ммоль}$) ммоль), 5 N NaOH (3 мл) и гексадецитриметиламмонийхлорид (20 мг). Смесь интенсивно перемешивали в течение 24 ч при комнатной температуре. Затем смесь экстрагировали CH₂Cl₂, экстракт промывали H₂O и сушили MgSO₄. Очистку проводили с помощью колоночной хроматографии, (элюент CH2Cl2 - AcOEt, 4:1). Растворитель удаляли при пониженном давлении После выпаривания растворителя желаемый продукт получали в виде твердого вещество бежевого цвета с выходом 792 мг (48%) т.пл. 112-113°C (т.пл. 111-112 °C) [155]. ¹H ЯМР (300 МГц, CDCl₃): δ 8.60 (д, J = 4.9 Hz, 2H, 2 × CH), 7.62 (т, J = 7.5 Hz, 2H, 2 × CH), 7.27 (χ , J = 8.0 Hz, 2H, 2 × CH), 7.20 - 7.13 (m, 4H, 4 × CH), 6.76 - 6.68 (M, 3H, 3 × CH), 4.84(s, 4H, $2 \times \text{CH}_2$). МС (ЭИ) рассчитано для $C_{10}H_{17}N_3$ ([M]⁺) 337 найдено m/z 275.

4-(бис(пиридин-2-илметил)амино)бензальдегид (22)

Получен согласно литературной методике [89]. К сухому ДМФА (2 мл) при 0 °С при перемешивании добавляли по каплям POCl₃ (1 мл, 26 ммоль). Полученную смесь перемешивали 1 час при комнатной температуре. Затем добавляли N, N-бис (пиридин-2-илметил) анилин (0.6 г, 22 ммоль) растворенный в сухом ДМФА (1 мл). Реакционную смесь нагревали при 90 °С в течение 3 ч, после чего охлаждали и выливали в лед, далее добавляли насыщенный раствор ацетата натрия до рН 7. Смесь экстрагировали С (3 × 50 мл) и сушили над Na₂SO₄. Растворитель удаляли при пониженном давлении. Продукт очищали колоночной хроматографией (элюент петр. эф. – EtOAc, 1 : 1). Вязкое бесцветное масло, выход 542 мг (82%). Н ЯМР (300 МГц, CDCl₃): 9.75 (s, 1H, CHO), 8.61 (д, J = 4.8 Hz, 2H, 2 × CH), 7.73 – 7.63 (м, 4H, 4 × CH), 7.26 – 7.18 (м, 4H, 4 × CH), 6.81 (д, J = 8.5 Hz, 2H, 2 × CH), 4.93 (c, 4H, 4H, 2 × CH₂). МС (ЭИ) рассчитано для $C_{19}H_{17}N_{3O}$ ([М]⁺) 303 найдено m/z 303.

(E)-2-((2-(2-Ацетоксиэтокси)этил)(4-(3-(4-(бис(пиридин-2-ил-метил)амино)стирил)- -2,6-диэтил-4,4-дифтор-1,7-диметил-4-фенил-4-бора-3а,4а-диаза-s-индацен (S14)

Альдегид **22** (20 мг, 0.07 ммоль, 1.0 экв), пиперидин (1 мл) и TsOH (10 мол.%) последовательно добавили при перемешивании к раствору соединения **S3** (44 мг, 0.07 ммоль, 1.0 экв) в сухом толуоле (60 мл). Полученную смесь кипятили с обратным холодильником до полного выпаривания растворителя. После чего, добавляли 10 мл сухого толуола и смесь кипятили с обратным холодильником до полного

выпаривания. Затем реакционную смесь растворили в CH_2Cl_2 (30 мл) и промывали H_2O (3 × 10 мл). Органическую фракцию сушили над безводным Na₂SO₄. Растворитель удаляли при пониженном давлении. Продукт очищали с помощью колоночной хроматографии (CH₂Cl₂ -МеОН 100 : 1 → 10 : 1). Твердое синее вещество, выход 2 мг (3%), т. пл. 281-283 °C. 1 Н ЯМР (300 МГц, CDCl₃): δ 8.63 (д, J = 4.8 Гц, 2H, 2 × CH), 7.66 (т, J = 7.4 Гц, 2H, 2 × CH), 7.44 (д, J =8.2 Гц, 2H, 2 × CH), 7.31 - 7.16 (м, 6H, 2× CH+2CH+2CH), 7.08 (д, J = 8.5 Гц, 2H, 2 × CH), 6.82 6.6 Γ _{II}, CH₂), 4.25 (T, 2H, J = 4.8 Γ _{II}, CH₂), 3.61 - 3.75 (M, 8H, $4 \times$ CH₂), 2.64 - 2.51 (M, 5H, CH₂ + CH₃), 2.33 (KB, $J = 7.4 \Gamma \text{II}$, 2H, CH₂), 2.11 (c, 3H, CH₃), 2.10 (c, 3H, CH₃), 2.08, (c, 3H, CH₃), 1.40 (c, 3H, CH₃), 1.13 (т, J = 7.4 Γ ц, 3H, CH₃), 1.00 (т, J = 7.4 Γ ц, 3H, CH₃). ¹³С ЯМР (75 М Γ ц, CDCl₃): δ $160.0 \ (2 \times CO), \ 153.8 \ (2 \times C), \ 150.5 \ (C), \ 149.2 \ (C), \ 148.4 \ (3 \times C), \ 138.6 \ (C), \ 137.4 \ (C), \ 135.8 \ (2 \times C), \ 138.6 \ (C), \ 137.4 \ (C), \ 138.6 \ (C), \ 13$ CH), 133.4 (C), 130.1 (C), 129.5 (C), 126.9 (2 × CH), 125.2 (CH), 122.9 (2 × CH), 121.6 (CH), 116.8 (CH), 113.8 (C), 112.5 (C), 69.9 (2 × CH), 69.3 (C), 64.2 (CH), 62.1 (CH), 62.1 (CH), 58.16 (CH), 51.6 (CH), 50.6 (2 × CH), 21.6 (2 × CH₂), 19.1 (2 × CH₂), 17.8 (2 × CH₂), 15.4 (2 × CH₂), 14.8 (2 × CH₃), 13.3 (2 × CH₂), 12.5 (2 × CH₃), 12.3 (2 × CH₃), 11.8 (CH₃). 19 F 19 (кв, J = 32.3 Гц). ¹¹В ЯМР (160 МГц, CDCl₃): δ 1.02 (т, J = 32.3 Гц). HRMS (ESI/Q-TOF): рассчитано для $C_{52}H_{60}BF_2N_6O_5$ ([M + H]⁺) 897.4690, найдено m/z 897.4691. UV-vis (MeCN): λ_{max} $=606 \text{ HM } (\epsilon = 94000 \text{ M}^{-1} \text{ cm}^{-1}).$

но 2-((2-(2-Гидроксиэтокси)этил)амино)этан-1-ол (10)

Получен согласно литературной методике [156]. К раствору 2-((2-(2-ацетоксиэтокси)этил)амино)этилацетата (145 мг, 0.62 ммоль, 1.0 экв) в метаноле (3.0 мл) добавили 2.5% раствор NaOH в метаноле (2.2 мл, 0.62 ммоль, 1.0 экв) и перемешивали при комнатной температуре 24 часа. Растворитель отгоняли при пониженном давлении, от избытка щелочи избавлялись при помощи колоночной хроматографии (CH₂Cl₂ – MeOH, 10:1). Желтое масло, выход 92 мг (91%), $R_f = 0.18$ (CH₂Cl₂ – MeOH, 3:1). Н ЯМР (300 МГц, ДМСО- d_6): δ 4.45 -

4.34 (м, 2H, CH₂), 3.71 – 3.64 (м, 4H, 2 × CH₂), 3.55 – 3.45 (м, 2H, CH₂), 3.41 – 3.35 (м, 4H, 2 × CH₂), 1.84 (уш. c, 3H, NH + 2 × OH). HRMS(ESI/Q-TOF) рассчитано для $C_6H_{16}NO_3$ ([M+H]⁺) 149.1183; найдено m/z 149.1176.

2-((2-(2-Ацетоксиэтокси)этил)(трет-бутоксикарбонил)амино)этилацетат (11) Смесь этаноламина (8) (219 µл, 3.63 ммоль, 3.0 экв) и 2,2-хлорэтоксиэтанола (9) (128 цл, 1.21 ммоль, 1.0 экв) в присутствии карбоната калия (127 мг, 0.92 ммоль, 0.76 экв) нагревали до 120 °C при перемешивании в течение 24 часов. После чего добавили ди-третбутилкарбонат (583 мкл, 2.44 ммоль, 2.0 экв) и дополнительно перемешивали при 0 °C в течении 1.5 часов. К полученной смеси последовательно добавили уксусный ангидрид (716 мкл, 7.58 ммоль, 6.2 экв), пиридин (652 мкл, 8.10 ммоль, 6.7 экв), DMAP (15 мг, 0.122 ммоль, 0.1 экв) и перемешивали полученную смесь при комнатной температуре в течение 2 часов. Растворитель отгоняли при пониженном давлении. Остаток повторно растворили в H₂O (30 мл) и водную фракцию экстрагировали EtOAc (3 × 15 мл). Органическую фракцию сушили над Na₂SO₄ и концентрировали в вакууме. Продукт очищали колоночной хроматографией (петр. эф. - EtOAc, 5:1). Желтое масло, выход 124 мг (31%), R_f 0.14 (EtOAc - петр. эфир, 1:5). ¹H ЯМР (300 MF_{II}, CDCl₃): δ 4.11 - 4.00 (M, 4H, 2 × CH₂), 3.11-2.90 (M, 8H, 2 × CH₂), 2.62 (c, 6H, 2 × CH₃), 1.86 (c, 9H, Boc). ¹³C ЯМР (75 МГц, CDCl₃): δ 171.0 (C=O), 170.9 (C=O), 155.4 (C=O), 80.0 (C), 69.9 (CH₂), 68.9 (CH₂), 63.5 (CH₂), 62.7 (CH₂), 47.8 (CH₂), 47.2 (CH₂), 47.0 (CH₃), 28.4 (3 × CH₃), 20.9 (CH₃). HRMS (ESI/Q-TOF): рассчитано для $C_{15}H_{27}NO_7Na$ ([M+Na]⁺) 356.1680; найдено m/z356.1679.

К раствору соединения **11** (150 мг, 0.45 ммоль) в EtOAc (750 мкл) добавляли 4*N* HCl (90 мкл) в 1.4-диоксане при 0 °C в течении 3 часов. Затем растворитель отгоняли при пониженном давлении. Прородукт был получен в виде белого твердого вещества, выход 101 мг (98%), т. пл. 146-148 °C, R_f 0.30 (петр. эф. – EtOAc 5:1). ¹H ЯМР (300 МГц, CDCl₃): δ 4.54 - 4.46 (м, 2H, CH₂), 3.98 – 3.90 (м, 2H, CH₂), 3.76 – 3.69 (м, 4H, CH₂), 3.44 – 3.37 (м, 4H, CH₂), 3.31 (с, 3H, CH₃), 2.17 (с, 3H, CH₃), 1.46 (уш. с, 1H, NH). ¹³C ЯМР (75 МГц, CDCl₃): δ 170.2 (C=O), 168.5 (C=O), 70.4 (CH₂), 69.0 (CH₂), 66.6 (CH₂), 64.0 (CH₂), 48.9 (CH₂), 47.5 (CH₂), 27.4 (CH₃), 20.7 (CH₃). HRMS (ESI/Q-TOF) рассчитано для $C_{10}H_{20}NO_5$ ([M+H]⁺) 234.1336; найдено m/z 234.1333.

вос **Трет-бутил-бис(2-гидроксиэтил)карбамат (14)**К раствору 2,2'-азандиил-бис(этан-1-ола) (500 мг, 4.76 ммоль, 1.0 экв) в ЕtOAc (4.76 мл) при охлаждении добавили ди-*трет*-бутилкарбонат (1038 мг, 4.76 ммоль, 1.0 экв).

Полученную смесь перемешивали 1.5 часа при 0 °C. Растворитель отгоняли при пониженном давлении, в результате чего продукт получили в виде аналитически чистого обраца, выход 876 мг (90%) желтое масло, R_f 0.30 (петр. эф. – EtOAc, 1:1). ¹H ЯМР (300 МГц, CDCl₃): δ 3.71 – 3.64 (м, 4H, 2 × CH₂), 3.42 – 3.35 (м, 4H, 2 × CH₂), 1.45 (с, 9H, 3 × CH₃), 1.26 (уш. c, 2H, 2 × OH). HRMS (ESI/Q-TOF): рассчитано для $C_9H_{19}NO_4Na$ [M+Na]⁺ 228.1206; найдено 228.1210

вос ((Трет-бутоксикарбонил) азандиил)бис(этан-2,1-диил)диацетат (15)

⁶⁰ С, добавили ди-*трет*-бутилкарбонат (1.1 мл, 4.76 ммоль, 1.0 экв) в EtOAc (4.76 мл), при 0 $^{\circ}$ С, добавили ди-*трет*-бутилкарбонат (1.1 мл, 4.76 ммоль, 1.0 экв). Полученную смесь перемешивали при охлаждении 1.5 часа. Затем к полученной смеси последовательно добавили уксусный ангидрид (0.9 мл, 10.5 ммоль, 2.2 экв), пиридин (0.8 мл, 10.5 ммоль, 2.2 экв), DMAP (58 мг, 0.45 ммоль, 0.1 экв). Полученную смесь перемешивали при комнатной температуре в течение 2 часов. Растворитель отгоняли при пониженном давлении. Остаток растворяли в $^{\circ}$ 20 мл) и водную фракцию экстрагировали EtOAc (3 × 15 мл), органическую фракцию сушили над $^{\circ}$ 80 мл (петр. эф. – EtOAc, 5 : 1). Светло-желтое масло, выход 1141 мг (83%), $^{\circ}$ 81 мл, $^{\circ}$ 91 мл, $^{\circ}$ 92 мл, $^{\circ}$ 930 мл, $^{\circ}$ 930 мг, $^{\circ}$ 933 мл, $^{\circ}$ 934 мл, $^{\circ}$ 935 мл, $^{\circ}$ 935 мл, $^{\circ}$ 936 мл, $^{\circ}$ 937 мл, $^{\circ}$ 937 мл, $^{\circ}$ 937 мл, $^{\circ}$ 938 мл,

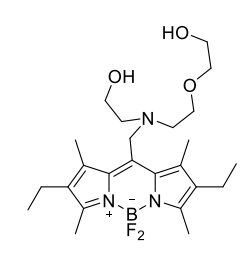
н 2-[(2-Ацетоксиэтил)амино]этилацетат (16) гидрохлорид

Получен согласно литературной методике [157]. К раствору соединения 15 (1329 мг, 4.6 ммоль) в 1,4-диоксане (5 мл) добавляли 4N HCl (2.5 мл). Реакционную смесь перемешивали в течении 24 часов при комнатной температуре. Затем растворитель отгоняли при пониженном давлении. Белый порошок, выход 793 мг (88%), т. пл. 147 – 148 °C, R_f 0.30 (петр. эф. – EtOAc, 5:1). ¹H ЯМР (300 МГц, CDCl₃): δ 5.25 (уш. c, 1H, NH), 4.27 (т, 4H, J = 4.8 Гц, 2 × CH₂), 3.10 (т, 4H, J = 4.8 Гц, 2 × CH₂), 2.07 (c, 6H, 2 × CH₃). HRMS (ESI/Q-TOF): рассчитано для $C_8H_{16}NO_4$ [M+H]⁺ 190.1073; найдено 190.1077.

Бис(2-(пиридин-2-илметокси)этил)амин (17)

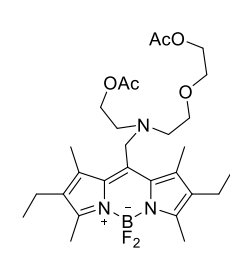
К раствору трет-бутилбис(2-гидроксиэтил)карбамата (**14**) (200 мг, 0.97 ммоль, 1.0 экв) в ТГФ (8 мл), добавили хлорметил-пиридин (261 мг, 2.05 ммоль, 2.1 экв) и гидрид натрия (351 мг, 14.60 ммоль, 15.0 экв). Полученную смесь кипятили 3 часа с обратным холодильником. После охлаждали до комнатной температуры, растворитель отогнали при пониженном давлении. Продукт 17 выделяли методом колоночной хроматографии (CH₂Cl₂ – метанол, 1 : 1). Бежевое вязкое масло, выход 118 мг (42%). R_f 0.20 (петр. эф. – EtOAc, 5:1). ¹H

ЯМР (300 МГц, CDCl3): δ 8.52 (д, 2H, J = 4.7 Гц, 2 × CH), 7.63 (дд, 2H, J = 1.6, 7.7 Гц, 2 × CH), 7.41 (д, 2H, J = 7.8 Гц, 2 × CH), 7.11 (дд, 2H, J = 1.6, 7.7 Гц, 2 × CH), 4.64 (с, 4H, 2 × CH₂), 3.69 (т, 4H, J = 5.2 Гц, 2 × CH₂), 2.89 (т, 4H, J = 5.2 Гц, 2 × CH₂), 2.47 (уш. с, 1H, NH). 13 C ЯМР (75 МГц, CDCl₃): δ 157.0 (2 × C), 149.1 (2 × CH), 137.1 (2 × CH), 122.8 (2 × CH), 121.8 (2 × CH), 73.3 (2 × CH₂), 66.6 (2 × CH₂), 48.2 (2 × CH₂). HRMS (ESI/Q-TOF): рассчитано для $C_{16}H_{22}N_3O_2$ ([M+H] $^+$) 288.1707, найдено m/z 288.1700.



8-(2-((2-(Гидроксиметокси)этил)амино)этан-1-ол)амино)метил)-2,6-диэтил-4,4-дифторо-1,3,5,7-тетраметил-4-бора-3а,4а-диаза-s-индацен (S8)

К раствору **18** (150 мг, 0.37 ммоль, 1.0 экв) в сухом MeCN (38.5 мл) при перемешивании добавили йодид калия (62 мг, 0.37 ммоль, 1.0 экв), K_2CO_3 (154 мг, 1.11 ммоль, 3.0 экв) и 2-((2-(2-гидроксиэтокси)этил)амино)этан-1-ол (**10**)



8-(2-((2-Ацетоксиэтил)амино)этокси)метилацетат)амино)метил)-2,6диэтил-4,4-дифторо-1,3,5,7-тетраметил-4-бора-3а,4а-диаза-s-индацен (S9)

К раствору **18** (70 мг, 0.17 ммоль, 1.0 экв) в сухом MeCN (17.5 мл) добавили при перемешивании йодид калия (29 мг, 0.17 ммоль, 1.0 экв), K_2CO_3 (71 мг, 0.51 ммоль) и 2-((2-(2-ацетоксиэтокси)этил)амино)этилацетат (**12**) (113 мг,

0.34 ммоль, 2.0 экв). Полученную смесь кипятили с обратным холодильником в течение 2 часов и охладили до комнатной температуры. Растворитель отогнали при пониженном давлении. Продукт очищали колоночной хроматографией (петр. эф. – EtOAc, 1:1). Порошок оранжево-

красного цвета, выход 21 мг (22%), т. пл. 140-142 °C, R_f 0.24 (петр. эф. – EtOAc 2:1). ¹H ЯМР (300 МГц, CDCl₃): δ 4.17 (т, 4H, J = 4.4 Гц, 2 × CH₂), 4.10 (с, 2H, CH₂), 4.09 – 4.05 (м, 2H, CH₂), 3.60 - 3.53 (м, 4H, 2 × CH₂), 2.94 - 2.77 (м, 4H, 2 × CH₂), 2.52 (с, 6H, 2 × CH₃), 2.45 – 2.38 (м, 4H, 2 × CH₂), 2.41 (с, 6H, 2 × CH₃), 2.07 (с, 3H, CH₃), 1.93 (с, 3H, CH₃), 1.06 (т, J = 8.07 Гц, 6H, 2 × CH₃). 13 C ЯМР (75 МГц, CDCl₃): δ 170.9 (2 × C=O), 153.5 (2 × C), 137.9 (2 × C), 137.3 (2 × C), 132.1 (2 × C), 132.9 (C), 69.9 (2 × CH₂), 68.9 (2 × CH₂), 63.6 (CH₂), 62.6 (CH₂), 52.5 (CH₂), 51.1 (CH₂), 50.4 (CH₂), 20.8 (2 × CH₃), 17.3 (2 × CH₃), 14.6 (CH₃), 13.9 (CH₃), 12.6 (2 × CH₃). 19 F ЯМР (282 МГц, CDCl₃): δ –146.46 (кв, $^{I}J_{F-B}$ = 33.09 Гц, 2F). 11 B ЯМР (96 МГц, CDCl₃): δ 0.65 (т, $^{I}J_{B-F}$ = 33.09 Гц). HRMS(ESI/Q-TOF) рассчитано для $C_{28}H_{42}BF_{2}N_{3}O_{5}Na$ ([M+Na]⁺) 572.3083; найдено m/z 572.308. UV-vis (MeCN): λ_{max} = 537 нм (ε = 78000 M⁻¹ см⁻¹).

OH HO

8-((Бис(2,2'-азанедил(этан-1-ол)амино)метил)-2,6-диэтил-4,4-дифторо-1,3,5,7-тетраметил-4-бора-3а,4а-диаза-s-индацен (S10)

К раствору 18 (98 мг, 0.24 ммоль, 1.0 экв) в сухом МеСN (25.5 мл) при

перемешивании добавили йодид калия (40 мг, 0.24 ммоль, 1.0 экв), K_2CO_3 (99 мг, 0.71 ммоль, 3.0 экв) и диэтаноламин (13) (220 мг, 0.97 ммоль, 4.0 экв). Полученную смесь кипятили с обратным холодильником в течение 3 часов и охладили до комнатной температуры. Растворитель отогнали при пониженном давлении. Продукт выделяли методом колоночной хроматографии (петр. эф. – EtOAc, 1:1). Красное твердое вещество, выход 22 мг (20%), т. пл. 130-132 °C, R_f 0.24 (петр.эф. – EtOAc, 1:1). ¹H ЯМР (300 МГц, CDCl₃): δ 4.13 (c, 2H, CH₂), 3.61 (т, 4H, J = 5.1 Гц, 2 × CH₂), 2.88 (т, 4H, J = 5.1 Гц, 2 × CH₂), 2.52 (c, 6H, 2 × CH₃), 2.45 (c, 6H, 2 × CH₃), 2.43 – 2.36 (м, 4H, 2 × CH₂), 1.06 (т, J = 7.33 Гц, 6H, 2 × CH₃), сигналы OH-групп в спектре не наблюдаются. ¹³C ЯМР (75 МГц, CDCl₃): δ 153.9 (2 × C), 137.5 (C), 136.9 (2 × C), 133.5 (2 × C), 132.7 (2 × C), 60.8 (2 × CH₂), 55.2 (2 × CH₂), 51.1 (CH₂), 17.3 (2 × CH₂), 14.8 (2 × CH₃), 13.9 (2 × CH₃), 12.7 (2 × CH₃). ¹⁹F ЯМР (282 МГц, CDCl₃): δ –146.50 (кв, J _{F-B} = 32.03 Гц, 2F). ¹¹B ЯМР (96 МГц, CDCl₃): δ 0.65 (т, J _{B-F} = 32.03 Гц, B). ИК (КВг): 3423, 2963, 1544, 1476, 1196, 979, 536 см⁻¹. HRMS (ESI/Q-TOF) рассчитано для C 22H₃₅BF₂N₃O₂ ([M+H]⁺) 422.2789; найдено m/z 422.2788. UV-vis (MeCN): λ _{max} = 535 нм (ϵ = 53000 M⁻¹ см⁻¹).

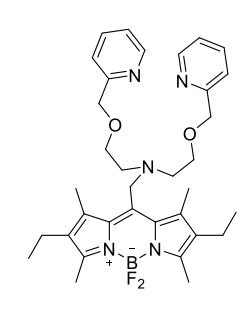
OAc AcO

8-(2-[(2-Ацетоксиэтил)амино]этилацетат)-2,6-диэтил-4,4-дифторо-1,3,5,7тетраметил-4-бора-3а,4а-диаза-s-индацен (S11)

К раствору **18** (200 мг, 0.49 ммоль, 1.0 экв) в сухого MeCN (50 мл) добавили при перемешивании йодид калия (81 мг, 0.49 ммоль, 1.0 экв), K_2CO_3 (202 мг,

1.46 ммоль, 3.0 экв) и 2-[(2-ацетоксиэтил)амино]этилацетат 16 (220 мг, 0.97 ммоль, 2.0 экв). Полученную смесь кипятили с обратным холодильником в течение 3 ч и охладили до комнатной температуры. Растворитель отогнали при пониженном давлении, продукт очищали

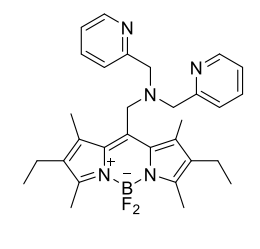
методом колоночной хроматографии (петр. эф. – EtOAc, 1:1). Оранжево-красное твердое вещество, выход 57 мг (46%), т. пл. 135 – 137 °C, R_f 0.14 (петр. эф. EtOAc – 5 : 1). ¹H ЯМР (300 МГц, CDCl₃): δ 4.13 (т, 4H, J = 5.1 Гц, 2 × CH₂), 4.09 (c, 2H, CH₂), 3.01 (т, 4H, J = 5.1 Гц, 2×CH₂), 2.53 (c, 6H, 2CH₃-1,7), 2.47 – 2.31 (м, 4H, 2 × CH₂), 2.40 (c, 6H, 2 × CH₃), 1.98 (c, 6H, 2 × CH₃), 1.07 (т, J = 7.33 Гц, 6H, 2 × CH₃). ¹³C ЯМР (75 МГц, CDCl₃): δ 170.9 (2 × CO), 153.7 (2 × C), 137.1 (2 × C), 133.2 (2 × C), 132.8 (2 × C), 62.3 (2 × CH₂), 51.2 (2 × CH₂), 50.2 (CH₂), 20.8 (2 × CH₂), 17.3 (2 × CH₃), 14.7 (2 × CH₃), 13.7 (2 × CH₃), 12.6 (2 × CH₃), сигнала от одного атома углерода в спектре не наблюдается. ¹³F ЯМР (282 МГц, CDCl₃): δ -146.49 (кв, ${}^{I}J_{F-B}$ = 33.09 Гц, 2F). ¹¹B ЯМР (96 МГц, CDCl₃): δ 0.71 (т, ${}^{I}J_{B-F}$ = 33.09 Гц, B). ИК (КВг): 3445, 2966, 1732, 1547, 1194, 980, 724, 536 см⁻¹. HRMS (ESI/Q-TOF) рассчитано для $C_{26}H_{39}BF_{2}N_{3}O_{4}$ ([M+H]⁺) 506.3001; найдено m/z 506.3004. UV-vis (MeCN): λ_{max} = 537 нм (ε = 74000 M⁻¹ см⁻¹).



8-((Бис(2-(пиридин-2-илметокси)этил)амино)метил)-2,6-диэтил-4,4-дифторо-1,3,5,7-тетраметил-4-бора-3а,4а-диаза-s-индацен (S12)

К раствору **18** (74 мг, 0.18 ммоль, 1.0 экв) в сухом MeCN (18.5 мл) добавили при перемешивании йодид калия (30 мг, 0.18 ммоль, 1.0 экв), K_2CO_3 (75 мг, 0.54 ммоль, 3.0 экв) и бис(2-(пиридин-2-илметокси)этил)амин 17 (97 мг, 0.35 ммоль, 2.0 экв). Полученную смесь кипятили с обратным холодильником в

течение 2 часов и охладили до комнатной температуры. Растворитель отогнали при пониженном давлении. Продукт выделяли методом колоночной хроматографии (петр. эф. – EtOAc, 1:1), R_f 0.14 (петр. эф. EtOAc – 4 : 1). Темно-красное твердое вещество, выход 17.7 мг (16%), т. пл. 148 – 150 °C. ¹Н ЯМР (300 МГц, CDCl₃): δ 8.54 (д, 2H, J = 4.2 Гц, 2 × CH), 7.66 (дд, 2H, J = 1.7, 7.9 Гц, 2 × CH), 7.34 (д, 2H, J = 4.2 Гц, 2 × CH), 7.17 (дд, 2H, J = 1.7, 7.9 Гц, 2 × CH), 4.56 (с, 4H, 2 × CH₂), 4.16 (с, 2H, CH₂), 3.65 (т, 4H, J = 5.7 Гц, 2 × CH₂), 3.06 (т, 4H, J = 5.7 Гц, 2 × CH₂), 2.51 (с, 6H, 2 × CH₃), 2.40 (с, 6H, 2 × CH₃), 2.38 – 2.31 (м, 4H, 2 × CH₂), 1.01 (т, J = 7.5 Гц, 6H, 2 × CH₃). 13 C ЯМР (75 МГц, CDCl₃): δ 158.3 (2 × C), 153.3 (2 × C), 148.9 (2 × CH), 138.3 (2 × C), 137.3 (2 × C), 136.7 (2 × CH), 133.1 (2 × C), 132.9 (C), 122.2 (2 × CH), 121.2 (2 × CH), 73.7 (2 × CH₂), 69.7 (2 × CH₂), 52.6 (2 × CH₂), 50.6 (CH₂), 17.3 (2 × CH₂), 14.6 (2 × CH₃), 13.8 (2 × CH₃), 12.5 (2 × CH₃). 19 F ЯМР (282 МГц CDCl₃): δ –146.45 (кв, $^{I}J_{F-B}$ = 32.03 Гц, 2F). 11 B ЯМР (96 МГц, CDCl₃): δ 0.60 (т, $^{I}J_{B-F}$ = 32.03 Гц). HRMS (ESI/Q-TOF) рассчитано для $C_{34}H_{45}BF_{2}N_{5}O_{2}$ ([M+H] $^{+}$) 604.3635, найдено m/z 604.3629.



8-((Бис(пиридин-2-илметил)амино)метил)-2,6-диэтил-4,4-дифторо-1,3,5,7тетраметил-4-бора-3а,4а-диаза-s-индацен (S13)

К раствору $\mathbf{18}$ (80 мг, 0.20 ммоль, 1.0 экв) в сухого MeCN (20 мл) добавили

при перемешивании йодид калия (73 мг, 0.44 ммоль, 2.2 экв), $K_2\text{CO}_3$ (61 мг, 0.44 ммоль, 2.2 экв) и 2,2 '-дипиколиламин 20 (80 мг, 0.40 ммоль, 2.0 экв). Полученную смесь кипятили с обратным холодильником в течение 8 часов и охладили до комнатной температуры. Растворитель отогнали при пониженном давлении. Остаток повторно растворили в $H_2\text{O}$ (50 мл) и водную фракцию экстрагировали CH_2Cl_2 (3 × 20 мл). Органическую фракцию сушили над Na_2SO_4 и концентрировали в вакууме. Продукт выделяли методом колоночной хроматографии (CH_2Cl_2 – метанол, 10:1). Пурпурно-красное твердое вещество, выход 3.4 мг (31%), т. пл. 253 – 255 °C, R_f 0.30 (CH_2Cl_2 – MeOH, 10:1). ¹H ЯМР (300 МГц, CDCl_3): δ 8.55 (д, 2H, J = 5.1 Гц, 2 × CH), 7.71 (дд, 2H, J = 1.4, 8.1 Гц, 2 × CH), 7.17-7.32 (м, 4H, 4 × CH), 4.25 (с, 2H, CH₂), 3.93 (с, 4H, 2 × CH₂), 2.49 (с, 6H, 2 × CH₃), 2.40 (кв, 4H, J = 7.3 Гц, 2 × CH₂), 2.25 (с, 6H, 2 × CH₃), 1.04 (т, 6H, J = 7.3 Гц, 2 × CH₃). ¹³C ЯМР (75 МГц, CDCl_3): 186.1, 184.9, 165.3, 161.0, 153.5, 148.4, 137.4, 136.9, 133.3, 132.4, 124.4, 122.4, 103.9, 99.8, 124.4

V.2. Разработка сенсоров на основе полифенол-замещенного БОДИПИ

4-(2-бромоэтокси)бензальдегид (31)

Получен по литературной методике [158]. 4-Гидроксибензальдегид (2.4 г, 20.0 ммоль, 1.0 экв) и 1,2-дибромэтан (8.6 мл, 100.0 ммоль, 5.0 экв) растворили в сухом СН₃CN (60 мл). Затем добавили безводный K_2CO_3 (4.4 г, 30.0 ммоль, 1.5 экв) и полученную реакционную смесь кипятили с обратным холодильником в течение 6 часов. После этого смесь охладили до комнатной температуры и фильтровали. Твердый остаток промыли СН₃CN (3 × 20 мл), и объединенный фильтрат сушили над безводным Na₂SO₄. Растворитель отогнали при пониженном давлении. Продукт выделяли колоночной хроматографией на силикагеле (пентан – EtOAc, $10:1 \rightarrow 5:1$). Белого твердое вещество, выход 3.0 г (65%), т. пл. 55 – 58 °C. R_f (пентан-EtOAc, 5:1) = 0.5. ¹H ЯМР (300 МГц, CDCl₃): δ 9.90 (c, 1H, CHO), 7.85 (д, J = 8.7 Гц, 2H, 2 × CH), 7.02 (д, J = 8.7 Гц, 2H, 2 × CH), 4.38 (т, J = 6.2 Гц, 2H, CH₂), 3.67 (т, J = 6.2 Гц, 2H, CH₂). LRMS (ESI, LC-MS) рассчитано для $C_9H_{10}BrO_2$ ([M+H]⁺) 230.1, найдено m/z 230.1.

4-(Винилокси)бензальдегид (32)

Получен по литературной методике [158]. 4-(2-бромэтокси)бензальдегид (0.9 г, 4.0 ммоль, 1.0 экв) растворили в сухом ДМСО (20 мл). Затем добавили ¹ВиОК (0.5 г, 4.4 ммоль, 1.1 экв) и полученную реакционную смесь перемешивали при комнатной температуре в течение 10 минут. После чего смесь разбавили EtOAc (30 мл), промыли водой (3 × 15 мл), насыщенным водным раствором NaCl (3 × 15 мл) и сушили над безводным Na₂SO₄. Органический слой упарили при пониженном давлении и продукт выделили колоночной хроматографией на нейтральном оксиде алюминия (пентан – EtOAc, 50 : 1 \rightarrow 10 : 1). Бесцветное масло, 136 мг (23%), R_f (пентан – EtOAc, 5: 1) = 0.65. ¹H ЯМР (300 МГц, CDCl₃): δ 9.93 (c, 1H, CHO), 7.89 (д, J = 8.4 Гц, 2H, 2 × CH), 7.12 (д, J = 8.4 Гц, 2H, 2 × CH), 6.72 (дд, J = 6.0 Гц, 13.6 Гц, 1H, CH), 4.97 (дд, J = 1.2 Гц, 13.6 Гц, 1.2 Гц, 1H, CH), 4.64 (дд, J = 1.2, 6.0, 1.2 Гц, 1H, CH). LRMS (ESI, LC-MS) рассчитано для $C_9H_9O_2$ ([M+H]⁺) 149.2, найдено m/z 149.2

о₂м Получен по литературной методике [137]. 1,2-Диметоксибензол (10 мл, 78.2 ммоль, 1.0 экв) добавляли по каплям к концентрированной азотной кислоте (65%, водный раствор, 100 мл) при интенсивном перемешивании при охлаждении ледяной водой. Реакционную смесь довели до комнатной температуры, затем дополнительно выдержали в течение 2 часов при 80 °C. Полученную смесь охладили до 0 °C. Выпавший осадок фильтровали, промывали деионизированной водой до нейтральной реакции фильтрата. Продукт очищали перекристаллизацией из горячего этанола (150 мл). Выход 13.2 г (74%), т. пл. 131-132

°C. 1 Н ЯМР (300 МГц, CDCl₃): δ 7.35 (c, 2H, 2 × CH), 4.02 (c, 6H, 2 × CH₃). LRMS (ESI, LC-MS) рассчитано для $C_8H_9N_2O_6$ ([M+H] $^+$) 229.1, найдено m/z 229.2

о₂N оме 4,5-Диметокси-2-нитробензолсульфоновая кислота (29)

но₃s — оме Получена по литературной методике [159]. Суспензию 1,2-диметокси-4,5-динитробензола (10.0 г, 0.044 моль, 1.0 экв) в (150 мл) в водном растворе 10% Na₂SO₃ кипятили с обратным холодильником в течение 1 часа. Реакционную смесь фильтровали, затем фильтрат концентрировали в вакууме и полученный порошок кипятили с обратным холодильником в МеОН (200 мл) в течении 2 часов. Выпавший Na₂SO₃ отфильтровывали. Растворитель отогнали при пониженном давлении. К продукту добавили EtOAc (200 мл) и HCl (10%, водный раствор, 200 мл). Реакционную смесь экстрагировали EtOAc (1 л), сушили над Na₂SO₄. Растиворитель упарили в вакууме. Продукт выделяли с помощью колоночной флэш-хроматографией на силикагеле с обращенной фазой, функционализированном октадецилом (40-75 мкм) (CH₃CN — H_2O , $1:0 \rightarrow 0:1$). Желтое твердое вещество, выход 1.0 г (16%). Т. пл. $157-159 \,^{\circ}\text{C}$. ¹H ЯМР (300 МГц, D_2O): $:\delta$ 7.94 (c, 1H, CH), 7.36 (c, 1H, CH), 3.96 (c, 3H, CH₃), 3.83 (c, 3H, CH₃). LRMS (ESI, LC-MS) рассчитано для $C_8H_{10}NO_7S$ ([M+H]⁺) 264.2, найдено m/z 264.2

од Ч.5-Диметокси-2-нитробензосульфонил хлорид (30)

Получен ПО литературной методике [136]. Смесь 4,5-диметокси-2нитробензолсульфоновой кислоты (542 мг, 2.0 ммоль, 1.0 экв) и тионилхлорида (5 мл) кипятили с обратным холодильником в течение ночи. Полученную смесь вылили в ледяную воду и экстрагировали EtOAc (3 × 15 мл). Органический слой промыли водой (3 × 15 мл) и высушили над безводным Na₂SO₄. Растворитель отогнали при пониженном давлении. Продукт получили в виде аналитически чистого образца и использовали на следующей стадии без очистки. Темное масло, выход 216 мг (38%). ¹Н ЯМР (500 МГц, CDCl₃): δ 7.59 (c, 1H, CH), 7.41 (c, 1H, CH), 3.91 (с, 3H, CH₃), 3.83 (с, 3H, CH₃). ИК (тонкая пленка): 3384, 3063, 2943, 2852, 1731, 1685, 1579, 1538, 1512 1459, 1442, 1374, 1360, 1278, 1263, 1227, 1168 1139, 1023, 977, 950, 876, 856, 837, 791, 748, 691, 664, 613 см⁻¹ LRMS (ESI, LC-MS) рассчитано для C₈H₉ClNO₆S ([M+H]⁺) 282.7, найдено m/z 282.6.

2,6-Диэтил-4,4-дифтор-8-(4-гидроксифенил)-1,3,5,7-тетраметил-4-бора-3а,4а-диаза-s-индацен (24)

3-Этил-2,4-диметилпиррол (2.7 мл, 20.0 ммоль, 2.5 экв) и 4-гидроксибензальдегид (1.0 г, 8.0 ммоль, 1.0 экв) растворили в сухом CH₂Cl₂ (600 мл). К полученной смеси добавили трифторуксусную кислоту (50 µл, 0.7 моль, 10 моль.%) и перемешивали при комнатной температуре в течение 50 мин. Затем добавляли DDQ (1.9 г, 8.0 ммоль, 1.0 экв) и дополнительно реакционную смесь перемешивали в течение 50 мин с

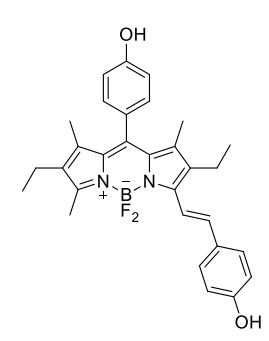
последующим добавлением триэтиламина (16 мл, 120.0 ммоль, 6.0 экв). После перемешивания в течение 30 минут добавили BF₃·OEt₂ (16 мл, 128.0 ммоль, 6.4 экв). Смесь выдержали при перемешивали в течение 10 часов при комнатной температуре. Полученную смесь промывали водн. 1.0 М раствором KHSO₄ (3 × 200 мл), деионизированной водой (200 мл), и сушили над безводным Na₂SO₄. Растворитель отогнали при пониженном добавлении. колоночной хроматографией (элюент пентан – EtOAc, $10:1 \rightarrow 5:1$). Красное твердое вещество, выход 763 мг (24%), т.пл. 288 - 290 °C (т.пл. 290 °C) [160]. ¹H ЯМР (300 МГц, CDCl₃): δ 7.04 (д, J = 8.5 Гц, 2H, 2 × CH), 6.87 (д, J = 8.5 Гц, 2H, 2 × CH), 2.45 (c, 6H, 2 × CH₃), 2.23 (кв, J = 7.6 Гц, 4H, 2 × CH₂), 1.27 (c, 6H, 2 × CH₃), 0.91 (т, J = 7.6 Гц, 6H, 2 × CH₃), сигнал ОН –группы не наблюдался. LRMS (ESI, LC-MS) рассчитано для $C_{23}H_{28}BF_{2}N_{2}O$ ([M+H]⁺) 397.3, найдено m/z 397.3.

4-(4-Бромбутокси)бензальдегид (15)

O Br

Получен согласно литературной методике [160]. 4-гидроксибензальдегид (1.2 г, 10.0 ммоль, 1.0 экв), безводный K_2CO_3 (2.1 г, 15.0 ммоль, 1.5 экв) и 1,4-дибромбутан (4.3 г, 20.0 ммоль, 2.0 экв) растворили в сухом ДМФА (20 мл).

Полученную ракционную смесь перемешивали при комнатной температуре в течение 24 часов. Осадок отфильтровали, фильтрат разбавили EtOAc (70 мл) и промыли деионизированной водой (3 × 30 мл). Органический слой сушили безводным Na₂SO₄. Растовритель отгоняли про пониженном давлении. Полученный остаток очищали колоночной хроматографией (элюент пентан – EtOAc, 10: 1). Бесцветное твердое вещество, выход 1.14 г (44%), т.пл 44 – 43 °C (т. пл. лит = 43 °C) [161]. 1 H ЯМР (500 МГц, CDCl₃): δ 9.90 (c, 1H, CHO), 7.86 (д, J = 8.4 Гц, 2H, 2 × CH), 7.01 (д, J = 8.4 Гц, 2H, 2 × CH), 4.07 (т, J = 6.8 Гц, 2H, CH₂), 3.51 (т, J = 6.8 Гц, 2H, CH₂), 2.12-2.04 (м, 2H, CH₂), 2.03-1.95 (м, 2H, CH₂); LRMS (ESI+): рассчитано для $C_{11}H_{15}BrO_{2}$ ([M+H]⁺), 258.0, найдено m/z = 258.0.



(E)-4-(2-(2,8-Диэтил-5,5-дифтор-10-(4-гидроксифенил) --2,6-диэтил-4,4-дифтор-1,7-диметил-4-фенил-4-бора-3а,4а-диаза-s-индацен (ВРВ)

4-Гидроксибензальдегид (33 мг, 0.3 ммоль, 1.0 экв), пиперидин (400 мкл) и TsOH (10 ммоль%) последовательно добавили к раствору соединения **26** (100 мг, 0.3 ммоль, 1.0 экв) в сухом толуоле (10 мл). Полученную смесь нагревали до температуры кипения до полного испарения растворителя.

Затем добавляли еще 7 мл сухого толуола и смесь повторно нагревали до полного испарения растворителя. Полученное твердое вещество растворили в CH_2Cl_2 (5 мл) и трижды промыли водным 1.0 М раствором KHSO₄ (1.0 M) (3 × 10 мл), деионизированной водой (2 × 10 мл) и сушили над безводным Na_2SO_4 . Растворитель отогнали при пониженном давлении. Продукт выделяли колоночной хроматографией (элюент пентан – EtOAc, 4:1), что позволило получить 8

мг (6%) голубого аморфного порошка. Была проведена дополнительная очистка полупрепаративной ОФ-ВЭЖХ (система D, $T_R = 40-42$ мин). Выход 5.0 мг (4%), т.пл. = 296 - 297 °C, R_f 0.2 (пентан – EtOAc, 4 : 1). ¹H ЯМР (500 МГц, CDCl₃): δ 7.59 (д, J = 16.6 Гц, 1H, CH), 7.49 $(д, J = 8.5 \Gamma II, 2H, 2 \times CH), 7.18 - 7.12 (м, 3H, 3 \times CH), 6.96 (д, J = 8.6 \Gamma II, 2H, 2 \times CH), 6.84 (д, J = 8.6 \Gamma II, 2H, 2 \times CH)$ 8.5 Γ _{II}, 2H, 2 × CH), 2.62 – 2.54 (M, 5H, CH₂ + CH₃), 2.32 (KB, $J = 7.5 \Gamma$ _{II}, 2H, CH₂), 1.38 (c, 3H, CH₃), 1.36 (c, 3H, CH₃), 1.14 (т, J = 7.5 Гц, 3H, CH₃), 1.00 (т, J = 7.6 Гц, 3H, CH₃), сигналы OHгрупп не наблюдались. 13 С ЯМР (126 МГц, CDCl₃): δ 160.2 (2 × C), 155.8 (C), 151.4 (C), 142.3 (C), 140.7 (C), 140.5 (C), 136.9 (2 × C), 135.1 (C), 134.6 (C) 134.1 (C), 131.5 (2 × CH), 131.0 (C), 130.2 (2 × CH), 128.4 (CH), 118.8 (CH), 117.7 (2 × CH), 117.4 (2 × CH), 19.7 (CH₂), 18.5 (CH₂), 15.6 (CH₃), 15.1 (CH₃), 13.4 (CH₃), 12.8 (CH₃), 12.5 (CH₃). 19 F ЯМР (470 М $^{\circ}$ LI CDCl₃): δ –142.37 (KB, ${}^{1}J_{F-B} = 33.6$ ΓII, 2F). ${}^{11}B$ ЯМР (160 МГII, CDCl₃): δ 1.02 (T, ${}^{1}J_{B-F} = 33.6$ ΓII); ИК (KBr): 3107. 2962, 2926, 1646, 1598, 1539, 1520, 1452, 1386, 1348, 1333, 1240, 1190, 1169, 1141, 1115, 1066, 1047, 1003, 959, 930, 878, 846, 826, 785, 769, 753, 735, 702, 674, 612 cm⁻¹. UV-vis (10 mM PB + 50 % EtOH, 25 °C): $\lambda_{\text{max}} = 583$ нм ($\epsilon = 34300 \text{ M}^{-1} \text{ см}^{-1}$); Флуоресценция (PB + 50 % EtOH, 25 °C): λ_{max} = 603 нм (Φ_F 100 %). HRMS (ESI/Q-TOF) рассчитано для $C_{30}H_{32}BF_2N_2O_2$ ([M+H]⁺) 501.4290, найдено *m/z* 501.4291.

OH N, B, P, E, 2

(E) -4- (2,8-Диэтил-5,5-дифтор-1,3,9-триметил-7- (4- (винилокси) стирил) --2,6-диэтил-4,4-дифтор-1,7-диметил-4-фенил-4-бора-3а,4а-диаза-s-индацен (33)

4-(Винилокси)бензальдегид (40 мг, 0.3 ммоль, 1.5 экв), пиперидин (1 мл) и ТsOH (10 мг, 0.06 ммоль, 0.3 экв) последовательно добавляли при перемешивании к раствору соединения **26** (90 мг, 0.2 ммоль, 1.0 экв) в сухом толуоле (30 мл). Полученнвую смесь кипятили при 140 °C до полного

испарения растворителя. Затем добавили свежую порцию толуола (25 мл) и пиперидина (1 мл) и повторно кипятили пять раз. Продукт выделяли флэш-хроматографией (CH₂Cl₂ – EtOAc, 10 : 1) с дополнительной очисткой полупрепаративной ОФ-ВЖХ (система A, τ_R = 30-32 мин). Синий аморфный порошк, выход 1 мг (1%), т.пл. 285 - 289 °C, R_f 0.2 (пентан – EtOAc, 5: 1). ¹H ЯМР (500 МГц, CDCl₃): δ 7.63 (д, J = 16.7 Гц, 1 H, CH), 7.56 (д, J = 8.6 Гц, 2H, 2 × CH), 7.20 – 7.10 (м, 3H, 3 × CH), 7.02 – 6.94 (м, 4H, 4 × CH), 6.67 (дд, J = 13.7, 6.0 Гц, 1H, CH), 4.81 (дд, J = 1.7, 13.7 Гц, 1H, CH), 4.48 (дд, J = 6.1, 1.7 Гц, 1H, CH), 2.63 – 2.55 (м, 5H, CH₂ + CH₃), 2.32 (кв, J = 7.5 Гц, 2H, CH₂), 1.38 (с, 3H, CH₃), 1.36 (с, 3 H, CH₃), 1.15 (т, J = 7.5 Гц, 3H, CH₃), 0.99 (т, J = 7.5 Гц, 3H, CH₃). сигнал ОН-группы не наблюдался. ¹⁹F ЯМР (470 МГц, CDCl₃): δ –142.23(кв, J $_{F-B}$ = 32.5 Гц, 2F). ¹¹B ЯМР (160 МГц, CDCl₃): δ 1.02 (т, J $_{B-F}$ = 32.5 Гц, B). ИК(КВг): 3473, 2960, 2924, 2869, 1601, 1529, 1509, 1448, 1401, 1387, 1362, 1328, 1264, 1184, 1165, 1113, 1062, 1002,

695, 924, 891, 859, 821, 762, 703 см⁻¹. UV-vis (PB, 25 °C): $\lambda_{\text{max}} = 599$ нм (ϵ =34800 М⁻¹ см⁻¹); Флуоресценция (PB, 25 °C): $\lambda_{\text{max}} = 540$ нм (Φ_{F} 0.2%); HRMS (ESI/Q-TOF) рассчитано для $C_{32}H_{34}BF_{2}N_{2}O_{2}$ ([M+H]⁺) 527.1157, найдено m/z 527.1155.

$$NO_2$$
 $S = 0$
 $S = 0$

(E) -4- (2,8-Диэтил-5,5-дифтор-1,3,9-триметил-7- (4- (винилокси) стирил) --2,6-диэтил-4,4-дифтор-1,7-диметил-4-фенил-4-бора-3а,4а-диаза-s-индацен (S21)

К суспензии соединения **33** (15 мг, 0.03 ммоль, 1.0 экв) в сухом CH_2Cl_2 (5 мл) при 0 °C добавили Et_3N (5 µл, 0.037 ммоль, 1.23 экв). Смесь перемешивали в течение 5 мин и затем добавили 2,4-динитробензолсульфонилхлоридом (10 мг, 0.037 моль, 1.23 экв). Полученную смесь выдерживали при 0 °C в течение 30 минут, затем разбавили CH_2Cl_2 (10 мл), промыли 1.0 М $KHSO_4$ (10 мл) и сушили над

безводным Na₂SO₄. Растворитель отогнали при пониженном давлении. Продукт выделили колоночной флэш-хроматографией (пентан – EtOAc, $10:1\to7:1$), дополнительной очисткой полупрепаративной ОФ-ВЖХ (система B, т_R = 28 - 30 мин). Аморфный порошк синего цвета, выход 2 мг (9%), т.пл. 274 - 276 °C, R_f 0.4 (пентан – EtOAc, 5: 1). ¹Н ЯМР (500 МГц, CDCl₃): δ 8.72 (д, J = 2.2 Гц, 1H, CH), 8.54 (дд, J = 2.2, 8.6 Гц, 1H, CH), 8.26 (д, J = 8.6 Гц, 1H, CH), 7.67 -7.55 (м, 3H, CH+CH+CH), 7.45 – 7.35 (м, 4H, CH+CH+CH+CH), 7.21 (д, J = 16.7 Гц, 1H, CH), 7.07 - 7.00 (м, 2H, 2 × CH), 6.69 (дд, J = 6.0, 13.7 Гц, 1H, CH), 4.84 (дд, J = 1.7, 13.7 Гц, 1H, CH), 4.51 (дд, J = 1.7, 6.0 Гц, 1H, CH), 2.62 – 2.58 (м, 5H, CH₂ + CH₃), 2.34 (кв, J = 7.5 Гц, 2H, CH₂), 1.29 (c, 3H, CH₃), 1.28 (c, 3H, CH₃), 1.17 (т, J = 7.5 Гц, 3H, CH₃), 1.02 (т, J = 7.6 Гц, 3H, CH₃). ¹³C ЯМР (126 МГц, CDCl₃): δ 157.1 (2 × C), 156.2 (C), 151.0 (C), 149.1 (2 × C), 147.7 (2 × C), 138.0 (C), 137.7 (C), 136.6 (2 \times C), 136.2 (2 \times C), 134.7 (2 \times C), 133.8 (CH), 133.5 (2 \times C), 132.4 (2 \times CH) , 130.7 (2 × CH), 128.6 (CH), 126.2 (2 × CH), 122.9 (CH), 120.4 (2 × CH), 117.2 (2 × CH), 95.7 (CH), 34.1 (CH₂), 22.3 (CH₂), 17.1 (CH₃), 14.5 (CH₃), 14.0 (CH₃), 11.9 (CH₃), 11.6 (CH₃). ¹⁹F ЯМР (470 МГц CDCl₃): δ –142.40 (кв, ${}^{1}J_{F-B}$ = 33.2 Гц, 2F). 11 В ЯМР (160 МГц, CDCl₃): δ 0.94 (т, ${}^{1}J_{B-F}$ = 33.2 Гц). ИК(КВг): 3107, 2962, 2925, 1646, 1598, 1536, 1505, 1452, 1385, 1348, 1333, 1240, 1190, 1169, 1141, 1115, 1066, 1046, 10003, 959, 929, 878, 846, 826, 785, 769, 753, 702, 674, 613 cm⁻¹. MALDI-ТОF: рассчитано для $C_{38}H_{35}BF_2N_4O_8S^+$ [M]⁺ 756.6, найдено m/z 756.6. UV-vis (PB + 10% MeCN, 25 °C): $\lambda_{max} = 599$ нм ($\epsilon = 41200 \text{ M}^{-1} \text{ см}^{-1}$). HRMS (ESI/Q-TOF) рассчитано для $C_{38}H_{36}F_2N_2O_4S$ $([M+H]^+)$ 757.5812, найдено m/z 757.5811

(E)-4-(2,8-Диэтил-5,5-дифтор-1,3,9-триметил-7-(4-(винилокси) стирил)-2,6-диэтил-4,4-дифтор-1,7-диметил-4-фенил-4-бора-3а,4а-диаза-sиндацен (S18)

К суспензии соединения **33** (10 мг, 0.02 ммоль, 1.0 экв) в сухом CH_2Cl_2 (5 мл) при 0 °C добавили Et_3N (4 мкл, 0.04 ммоль, 2.0 экв). Смесь перемешивали в течение 5 минут и добавили 4,5-диметокси-2-нитробензолсульфонилхлоридом (9 мг, 0.03 ммоль, 1.5 экв). Полученную смесь перемешивали при 0 °C в течение 30 минут, затем разбавили CH_2Cl_2 (10 мл), промыли 1.0 М CH_2Cl_2 (10 мл) и сушили над безводным CH_2Cl_2

Растворитель отогнали при пониженном давлении. Продукт выделили колоночной флэшхроматографией (пентан – EtOAc, $10:1\to 7:1$). С дополнительной очисткой полупрепаративной ОФ-ВЖХ (система В, т_R = 20 - 23 мин). Синий аморфный порошок, выход 2.0 мг (13%), т. пл. 270 – 272 °C, R_f 0.4 (пентан – EtOAc, 5: 1). ¹H ЯМР (500 МГц, CDCl₃): δ 7.61 $(д, J = 16.8 \Gamma ц, 1H, CH), 7.55 (д, J = 8.7, 2H, 2 \times CH), 7.46 - 7.35 (м, 4H, CH+CH+CH), 7.32 (д, J = 16.8 \Gamma ц, 1H, CH)$ 8.7 Гц, 2H, 2 × CH), 7.17 (д, J = 16.8 Гц, 1H, CH), 7.01 (д, J = 8.7 Гц, 2H, 2 × CH), 6.67 (дд, J = 8.7 Гц, 2H, 2 × CH), 6.7 (дд, J = 8.7 Гц, 2H, 2 × CH), 6.7 (дд, J = 8.7 Гц, 2H, 2 × CH), 6.7 (дд, J = 8.7 Гц, 2H, 2 × C 6.0, 13.7, 1H, CH), 4.82 (дд, J = 1.7, 13.7, Γ ц, 1H, CH), 4.49 (д, J = 6.1, 1.7 Γ ц, 1H, CH), 4.04 (с, 3H, CH₃), 3.95 (c, 3H, CH₃), 2.58 - 2.56 (M, 5H, CH₂ + CH₃), 2.31 (KB, J = 7.5, 2H, CH₂), 1.26 (c, 3H, CH₃), 1.25 (c, 3H, CH₃), 1.14 (T, $J = 7.5 \Gamma \mu$, 3H, CH₃), 0.99 (T, $J = 7.6 \Gamma \mu$, 3H, CH₃). ¹³C MMP (126) $M\Gamma_{II}$, CDCl₃): δ 157.1 (C), 156.1 (C), 153.3 (C), 151.0 (C), 149.6 (C), 149.5 (C), 147.7 (C), 142.7 (C), 138.0 (C), 137.2 (C), 135.4 (C), 134.6 (C), 134.1 (C) 133.2 (C), 132.5 (C), 131.7 (C), 131.6 (C), 130.3 $(2 \times CH)$, 128.6 $(2 \times CH)$, 123.2 $(2 \times CH)$, 120.9 (CH), 117.2 $(2 \times CH)$, 113.5 (CH), 108.3 (CH), 95.7 $(2 \times CH)$, 57.0 $(2 \times CH_3)$, 56.9 $(2 \times CH_3)$, 18.3 (CH_2) , 17.1 (CH_2) , 14.5 (CH_3) , 14.1 (CH_3) , 18.8 (CH_2) 11.9 (CH₃), 11.5 (CH₃). ¹⁹F ЯМР (470 МГц CDCl₃): δ –142.41 (κв, ${}^{I}J_{F-B} = 34.0$ Гц, 2F). ¹¹B ЯМР (160 M Γ II, CDCl₃): δ 0.96 (T, ${}^{1}J_{B-F}$ = 34.0 Γ II). MK(KBr): 2959, 2921, 2041, 1711, 1643, 1596, 1535, 1505, 1450, 1376, 1361, 1332, 1280, 1229, 1186, 1170, 1138, 1113, 1063, 1033, 10004, 963, 865, 824, 792, 766, 732, 704 cm⁻¹. UV-vis (PB + 10% MeCN, 25 °C): $\lambda_{\text{max}} = 597 \text{ HM}$ ($\epsilon = 35800 \text{ M}^{-1} \text{ cm}^{-1}$). HRMS (ESI/Q-TOF): рассчитано для $C_{40}H_{41}BF_2N_3O_8S$ ([M+H]⁺) 772.2664, найдено m/z 772.2677.

2-(Бензилокси)-1,3-дихлор-5-иодбензол (35)

Получен согласно литературной методике [162]. К раствору 2,6-дихлорфенола (408 мг, 2.5 ммоль, 1.0 экв) в ТГФ (5 мл) добавили N-йодсукцинимид (225 мг, 3.75 ммоль, 1.5 экв). Полученную смесь перемешивали в течении 8 часов при 25 °C, после чего обработали 10% водным раствором $Na_2S_2O_3$ (10 мл). Водный слой экстрагировали EtOAc (3 × 10 мл), и объединенный органический слой промыли насыщенным водным раствором NaCl. Органический слой сушили над Na_2SO_4 (20 мл). После упаривания растворителя при

пониженном давлении продукт выделили колоночной флэш-хроматографией (элюнт пентан – EtOAc, 100 : 1). Твердое бесцветное вещество, выход 350 мг (49%), т.пл. 91 – 92 °C (т. пл. лит 91– 92 °C) [162]. ¹H ЯМР (400 МГц, CDCl₃): δ 7.49 (c, 2H). сигнал ОН-группы не наблюдался. LRMS (ESI): рассчитано для $C_6H_4Cl_2IO$ ([M+H]⁺) 289.1, найдено m/z = 289.1.

1,3-Дихлоро-5-иодо-2-мпетоксибензол (36)

1,3-Дихлоро-2-метокси-5-(*п*-толилокси)бензол (37)

Получен согласно модифицированной литературной методике [142]. Смесь 1,3-дихлоро-5-иодо-2-метоксибензола **36** (314 мг, 1.0 ммоль, 1.0 экв), 3-метоксифенола (168 мг, 1.5 ммоль, 1.5 экв), СиІ (19 мг, 0.10 ммоль, 0.1 экв), *N*,*N*-диметилглицина гидрохлорида. (32 мг, 0.31 ммоль, 0.3 экв) и Сs₂CO₃ (676 мг, 2.0 ммоль, 2.0 экв) в 1,4-диоксане (6 мл) перемешивали при 90 °C в течение 36 часов в атмосфере аргона. Реакционной смеси дали остыть до комнатной температуры, разбавили ЕtOAc (10 мл), промыли 1М НСІ (8 мл), затем водой. Органический слой сушили над безводным Na₂SO₄. Растворитель отогнали про пониженном давлении. Продукт выделяли флэш-хроматографией (EtOAc —пентан, 1 : 100). Твердое бесцветное вещество, выход 154 мг (53%), т.пл. 90 – 91 °C. ¹Н ЯМР (300 МГц, CDCl₃): δ 7.07 (д, J =7.9 Гц, 2H, 2 × CH), 6.83-6.80 (м, 4H, 2 × CH+CH+CH), 3.77 (с, 3H, CH₃), 2.26 (с, 3H, CH₃). 13 C ЯМР (126 МГц, CDCl₃): δ 154.2 (С), 153.6 (С), 147.7 (С), 134.1 (С), 130.6 (2 × CH), 129.7 (2 × CH), 119.5 (2 × CH), 118.2 (2 × CH), 60.8 (СH₃), 20.8 (СH₃). HRMS (ESI/Q-TOF): рассчитано для С₁₄Н₁₃Cl₂O₂ ([М+H]⁺) 364.1215, найдено m/z 364.1216.

5-(4-(Бромметил)фенокси)-1,3-дихлоро-2-метоксибензол (38)

Получен согласно модифицированной литературной методике [142]. Смесь 1,3дихлоро-2-метокси-5-(*n*-толилокси)бензола **37** (709 мг, 2.5 ммоль, 1.0 экв), Nбромсукцинимид (557 мг, 3.1 ммоль, 1.25 экв) и 2,2'-азо-бис-изобутиронитрила (10 мг, 0.062 ммоль, 0.025 экв) кипятили в ССІ₄ (5 мл) с обратным холодильником в течение 5 часов. Охлажденный раствор профильтровали, и фильтрат концентрировали в вакууме. Продукт выделили флэш-хроматографией (пентан – EtOAc, 100 : 1). Бесцветное масло, выход 732 мг (50%). 1 H ЯМР (300 МГц, CDCl₃): δ 7.32 (д, J =8.5 Гц, 2H, 2 × CH), 6.60-6.87 (м, 4H, 2 × CH+CH+CH), 4.43 (c, 2H, CH₂), 3.81 (c, 3H, CH₃). 13 C ЯМР (126 МГц, CDCl₃): δ 156.4 (C), 133.6 (C), 130.8 (C), 129.9 (C), 119.3 (4 × CH), 119.1 (4 × CH), 60.8 (CH₂), 32.9 (CH₃). HRMS (ESI/Q-TOF): рассчитано для $C_{14}H_{12}BrCl_2O_2$ ([M+H]⁺) 363.0246, найдено m/z 363.0245

4-(3,5-дихлор-4-метоксифенокси)бензальдегид (39)

Получен согласно модифицированной литературной методике [142]. Раствор 5-(4- (бромметил)фенокси)-1,3-дихлоро-2-метоксибензола **38** (700 мг, 2.2 ммоль, 1.0 экв), гексаметилентетрамина (601 мг, 4.3 ммоль, 2.0 экв) кипятили в 50% уксусной кислоте (6 мл) в течение 1 ч. К охлажденному раствору добавили концентрированную HCl (1.5 мл) и реакционную смесь повторно кипятилм с обратным холодильником в течение 1 часа. Охлажденный раствор экстрагировали EtOAc (3 × 5 мл), органическую фазу промывали водой (10 мл), 5% водным раствором Na₂CO₃ и затем снова водой, сушили над Na₂SO₄. Растворитель отогнали при пониженном давлении. Продукт выделяли флэш-хроматографией (пентан – EtOAc, 10 : 1). Светло-желтое масло, выход 628 мг (50%). ¹H ЯМР (300 МГц, CDCl₃): δ 9.88 (c, 1H, CHO), 7.82 (д, J = 8.7 Гц, 2H, 2 × CH), 7.02 (д, J = 8.7, 2H, 2 × CH), 6.97 (c, 2H, 2 × CH), 3.84 (c, 3H, CH₃). ¹³C ЯМР (126 МГц, CDCl₃): δ

190.6 (C=O), 161.9 (C), 151.2 (C), 148.3 (C), 132.1 (C), 130.25 (2 × CH), 120.3 (2 × CH), 119.1(2 ×

CH), 118.1 (2 \times CH), 60.9 (CH₃). HRMS (ESI/O-TOF): рассчитано для $C_{14}H_{11}Cl_2O_2$

4- (3,5-Дихлор-4-гидроксифенокси) бензальдегид (40)

 $([M+H]^+)$ 298.1129, найдено m/z 298.1130

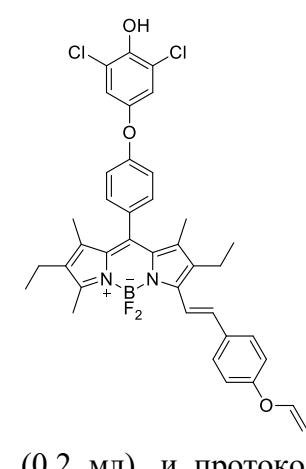
4-(3,5-дихлор-4-метоксифенокси)бензальдегид **39** (360 мг, 1.2 ммоль, 1.0 экв) растворили в смеси ледяной уксусной кислоты (12 мл) и HBr (12 мл, 48%). Полученную смесь кипятили с обратным холодильником в течение 12 часов. Охлажденный раствор экстрагировали EtOAc (3 × 5 мл), органическую фазу промыли 1.0 М HCl (5 мл) , водой (10 мл). Органический слой сушили над Na₂SO₄. Растворитель отогнали при пониженном давлении. Продукт выделили флэш-хроматографией (элюент пентан – EtOAc, 10 : 1). Светло-желтое масло, выход 120 мг (30%). ¹H ЯМР (300 МГц, CDCl₃): δ 9.88 (c, 1H, CHO), 7.82 (д, *J* =8.7 Гц, 2H, 2 × CH), 7.02 (д, *J* =8.7 Гц, 2H, 2 × CH), 6.97 (c, 2H, 2 × CH), сигнал OH-группы в спектре не наблюдался. ¹³C ЯМР (126 МГц, CDCl₃): δ 189.6 (C=O), 161.6 (C), 146.7 (C), 144.5 (C), 131.1 (C), 130.7 (2 × CH), 120.3 (2 × CH), 119.7 (2 × CH),

116.4 (2 × CH). HRMS (ESI/Q-TOF): рассчитано для $C_{13}H_9Cl_2O_3$ ([M+H]⁺) 282.9923, найдено m/z282.9927.

2,6-Дихлор-4-(4-(2,6-диэтил-4,4-дифтор-1,3,5,7-тетраметил-4-бора-3а,4адиаза-ѕ-индацен-8-ил)фенокси)фенол (41)

3-Этил-2,4-диметилпиррол (1.4 мл, 1.1 ммоль, 2.75 экв) и альдегид 40 (120 мг,

0.4 ммоль, 1.0 экв) растворили в безводном CH_2Cl_2 (62 мл), после чего добавили ТFA (7 ил). Полученную смесь перемешивали при комнатной температуре в течение 50 минут и затем добавили DDQ (96 мг, 0.44 ммоль, 1.1 экв) и смесь перемешивали еще 50 минут. Затем добавили Et₃N (8 мл) и дополнительно перемешивали при комнатной температуре 30 минут, после чего добавили BF₃·OEt₂ (8 мл,) и перемешивали смесь в течение 2 часов при комнатной температуре. После этого смесь трижды промыли водным 1.0 M раствором KHSO₄ (3 × 200 мл), затем деионизированной водой. Органический слой сушили над безводным Na₂SO₄. Растворитель отогнали при пониженном давлении. Продукт выделяли колоночной флэш-хроматографией (пентан – CH₂Cl₂, 5 : 1). Красное твердое вещество, выход 20 мг (9%), т.пл. 283 °C, R_f 0.55 (пентан – EtOAc, 5 : 1). ¹H ЯМР (300 МГц, CDCl₃): δ 7.19 (д, J = 8.5 Гц, 2H, 2 × CH), 7.01 (д, J = 8.5 Гц, 2H, 2 × CH), 6.94 (с, 2H, $2 \times \text{CH}$), 2.46 (c, 6H, $2 \times \text{CH}_3$), 2.25 (KB, $J = 7.5 \text{ }\Gamma\text{H}$, 4H, $2 \times \text{CH}_2$), 1.30 (c, 6H, $2 \times \text{CH}_3$), 0.92 (T, $J = 7.5 \, \Gamma$ ц, 6H, 2 × CH₃), сигнал OH-группы в спектре не наблюдался. ¹³С ЯМР (126 МГц, CDCl₃): δ 152.9 (2 × C), 148.5 (2 × C), 143.6 (2 × C), 137.1 (2 × C), 130.1 (C), 129.1 (2 × C), 120.6 (2 \times C), 118.4 (2 \times C), 117.9 (2 \times CH), 66.9 (2 \times CH), 28.7 (2 \times CH), 16.1 (2 \times CH₃), 13.6 (2 \times CH₃), 11.5 (2 × CH₂), 10.8 (2 × CH₃). ¹⁹F ЯМР (470 МГц CDCl₃): δ –142.40 (кв, ${}^{I}J_{F-B}$ = 35.5 Γц, 2F). ¹¹B ЯМР (160 МГц, CDCl₃): δ 1.05 (т, ${}^{1}J_{B-F}=35.5$ Гц). HRMS (ESI/Q-TOF): рассчитано для



 $C_{29}H_{30}BCl_2F_2N_2O_2$ ([M+H]⁺) 557.1740, найдено m/z 557.1442.

(E)-2,6-Дихлор-4-(4-(2,6-диэтил-4,4-дифтор-1,3,7-триметил-5-(4-(винилокси)стирил-4-бора-За,4а-диаза-ѕ-индацен-8ил)фенокси)фенол (S19)

4-(Винилокси)бензальдегид **32** (5 мг, 0.03 ммоль, 1.0 экв), пиперидин (0.2 мл) и АсОН (125 цл) последовательно добавили к раствору соединения **40** (15 мг, 0.03 моль, 1.0 экв) в сухом толуоле (5 мл). Смесь кипятили при 140 °C (температура бани) до тех пор, пока все не испарилсь весь растворитель. После этого снова добавляли толуол (5 мл) и пиперидин (0.2 мл), и протокол осущения повторили пять раз. Продукт выделили колоночной флэшхроматографией (пентан — EtOAc, 10 : 1) с последующей полупрепаративной ОФ-ВЖХ (система A, $\tau_R = 23$ - 25 мин). Синее твердое вещество, выход 1 мг (1%), т. $\pi\pi = 279 - 281$ °C, R_f 0.2 (пентан — EtOAc, 5 : 1). ¹H ЯМР (500 МГц, CDCl₃): δ 7.64 (д, J = 16.9 Гц, 1H, CH), 7.56 (д, J = 6.9 Гц, 2H, 2 × CH₂), 7.28 (д, J = 8.6 Гц, 2H, 2 × CH₂), 7.18 (д, J = 16.9 Гц, 1H, CH), 7.10 (д, J = 6.9 Гц, 2H, 2 × CH₂), 7.02 (с, 2H, 2 × CH₂), 7.01 (д, J = 8.6 Гц, 2H, 2 × CH₂), 6.67 (дд, J = 6.1, 13.7 Гц, 1H, CH), 4.82 (дд, J = 1.7, 13.7 Гц, 1H, CH), 4.48 (дд, J = 1.7, 6.0 Гц, 1H, CH), 2.67 – 2.55 (м, 5H, CH₂ + CH₃), 2.34 (кв, 2H, J = 7.5 Гц, 2H, CH₂), 1.41 (с, 3H, CH₃), 1.39 (с, 3H, CH₃),1.16 (т, J = 7.5 Гц, 3H, CH₃), 1.01 (т, J = 7.6 Гц, 3H, CH₃), OH-группа в спектре не наблюдалась. ¹⁹F ЯМР (470 МГц CDCl₃): δ –142.40 (кв, ${}^{I}J_{F-B} = 35.5$ Гц, 2F). ¹¹B ЯМР (160 МГц, CDCl₃): δ 1.05 (т, ${}^{I}J_{B-F} = 35.5$ Гц). UV-vis (PB, 25 °C): $\lambda_{\text{max}} = 593$ нм ($\epsilon = 14000$ М⁻¹ см⁻¹). HRMS (ESI/Q-TOF): рассчитано для $C_{38}H_{36}BCl_2F_2N_2O_3$ ([M+H]⁺) рассчитано для 687.2159, найдено m/z 687.2155.

сі **4-(Бис(2-хлороэтил)амино)бензальдегид (43)**Получен согласно литературной методике [158]

Получен согласно литературной методике [158]. Смесь *N,N*-диэтоксианилина (1.6 г, 100 моль, 1.0 экв), РОСІ₃ (4.5 мл) и ДМФА (10 мл) кипятили с обратным холодильником в течение 5 часов. Полученную реакционную смесь вылили в ледяную воду (300 мл) и экстрагировали CH₂Cl₂ (3 × 100 мл). Объединенную органическую фазу сушили над Na₂SO₄. Растворитель отогнали при пониженном давлении. Продукт выделили

колоночной хроматографией (элюент CH_2Cl_2 – EtOAc, 10:1). Желтое твердое вещество, выход 0.44 г (36%), т.пл. 87 – 88 °C (т. пл. лит 87-88 °C). R_f 0.2 (пентан – EtOAc, 1 : 1) [163]. ¹H ЯМР (300 МГц, $CDCl_3$): δ 9.78 (c, 1H, CHO), 7.77 (д, J = 9.1 Гц, 2H, 2 × CH), 6.74 (д, J = 9.1 Гц, 2H, 2 × CH), 3.84 (т, J = 6.8 Гц, 4H, 2 × CH_2), 3.68 (т, J = 6.8 Гц, 4H, 2 × CH_2). LRMS (ESI): рассчитано для $C_{11}H_{14}NCl_2O$ ([M+H] $^+$) 246.0, найдено m/z 246.0.

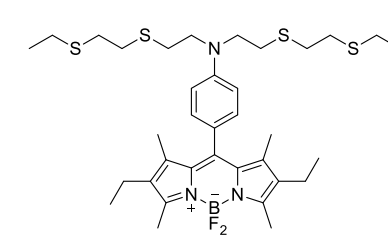
∕ъ s → SH 2-(Этилтио) этан-1-тиол

Получен согласно литературной методике [164]. В атмосфере азота смесь дитиоэтиленгликоля (5.0 г, 53.0 ммоль, 4.8 экв) и гидроксида натрия (0.64 г, 16 ммоль, 1.5 экв) в ТГФ (53 мл) кипятили с обратным холодильником в течение 1 часа. Затем по каплям добавили раствор этилиодида (1.6 г, 11 ммоль, 1.0 экв) в ТГФ (21 мл), и реакционную смесь кипятили с обратным холодильником еще в течение 1 ч в атмосфере азота. Бесцветная жидкость, выход 486 мг (36%). Продукт очищали вакуумной перегонкой т. кип. 72 – 74 °C при давлении 15 Торр (т. кип. лит. 71-73 °C при давлении 15 Торр) [165]. 1 Н ЯМР (500 МГц, CDCl₃): δ 2.80 – 2.65 (м, 4H, 2 × CH₂), 2.60 – 2.50 (м, 2H, CH₂), 1.25 (т, J = 7.4 Гц, 3H, CH₃). LRMS (ESI): рассчитано для C₄H₁₀S ([M+H]⁺) 123.0, найдено m/z 123.0.

4-(Бис(2 -((2-(этилтио)этил)тио)этил)амино) бензальдегид (45)

Получен согласно литературной методике [143]. В атмосфере аргона металлический натрий (1.29 г, 56 ммоль, 5 экв) добавили в абсолютном этаноле (60 мл) и добавили к раствору 3-тиопентан-1-

тиола (4.1 г, 33.6 ммоль, 3.0 экв). Полученную смесь кипятили с обратным холодильником в течении 1 часа. Затем к раствору тиолата по каплям добавляли раствор бис(2-хлорэтокси)беназьдегида (2.53 г, 11.2 моль) в абсолютном этаноле (35 мл) и реакционную смесь кипятили с обратным холодильником еще в течение 4 часов. Затем к раствору добавляли ДМФА (20 мл) и дополнительно кипятили в течение 4 часов. Полученную смесь разбавили CH_2Cl_2 (300 мл) и промыли ее водой. Объединенную органическую фазу сушили над Na_2SO_4 . После отгонки растворителя продукт использовали без дополнительной очистки. Бесцветное масло, выход 3.1 г (69%). 1 H ЯМР (500 МГц, $CDCl_3$): δ 9.89 (c, 1H, CHO), 7.08 (д, J = 8.7 Γ ц, 2H, 2 × CH), 6.76 (д, J = 8.7 Γ ц, 2H, 2 × CH), 3.65 – 3.58 (м, 4H, 2 × CH_2), 2.85 – 2.71 (м, 12H, 6 × CH_2), 2.59 (кв, J = 7.4 Γ ц, 4H, 2 × CH_2), 1.27 (т, J = 7.4 Γ ц, 6H, 2 × CH_3). LRMS (ESI): рассчитано для $C_{19}H_{32}NOS_4$ ($[M+H]^+$) 418.1, найдено m/z 418.1



4-(2,6-Диэтил-4,4-дифтор-1,3,5,7-тетраметил-4-бора-3а,4адиаза-s-индацен-8-ил)-*N*,*N*-бис(2-((2-(этилтио)этил)тио)этил)анилин (46)

Получен согласно литературной методике [143]. 3-Этил-2,4диметилпиррол (2.5 мл, 18.0 ммоль, 2.5 экв), альдегид **45** (3.1 г, 7.4

 CDCl₃): δ –142.40 (кв, ${}^{1}J_{F-B}=35.5$ Гц, 2F). 11 В ЯМР (160 МГц, CDCl₃): δ 1.05 (т, ${}^{1}J_{B-F}=35.5$ Гц). LRMS (ESI): рассчитано для $C_{35}H_{53}BF_{2}N_{3}S_{4}$ ([M+H]⁺) 692, найдено m/z 692.

(*E*)-4-(2-(8-(4-(Бис(2-((2-(этилтио)этил)тио)этил)амино)фенил)-2,6-диэтил-4,4-дифтор-1,3,7-триметил-4-бора-3а,4а-диаза-sиндацен-5-ил)винил)фенол (47)

В круглодонной колбе к раствору соединения **46** (20 мг, 0.028 ммоль, 2.5 экв) в сухом толуоле (25 мл) последовательно добавили 4-гидроксибензальдегид (13 мг, 0.11 ммоль, 1.0 экв), пиперидин

(1.0 мл) и ТѕОН (10 моль%). Полученную смесь кипятили до полного испарения растворителя. Затем добавляли еще 20 мл сухого толуола и повторно кипятили с выпариванием растворителя. Полученное твердое вещество растворили в CH_2Cl_2 (3 × 10) и промыли водным 1.0 М раствором КНЅО4 (3 × 10 мл), и затем деионизированная водой (2 × 10 мл). Органический слой сушили над безводным Na₂SO₄. Растворитель отогнали при пониженном давлении. Продукт выдиляли полупрепаративной ОФ-ВЖХ (система C, $\tau_R = 40$ –45 мин). Синее твердое вещество, выход 2.0 мг (2%). ¹H ЯМР (500 МГц, CDCl₃): δ 7.59 (д, J = 16.5 Гц, 1H, CH), 7.48 (д, J = 8.6 Гц, 2H, 2 × CH), 7.14 (д, J = 16.5 Гц, 1H, CH), 7.10 (д, J = 8.7 Гц, 2H, 2 × CH), 6.84 (д, J = 8.6 Гц, 2H, 2 × CH), 6.77 (д, J = 8.7 Гц, 2H, 2 × CH), 3.65 – 3.61 (м, 4H, 2 × CH₂), 2.88 – 2.72 (м, 12H, 6 × CH₂), 2.63 – 2.46 (м, 4H, 2 × CH₂), 1.45 – 1.33 (м, 8H, 2 × CH₂ + CH₃ + OH), 1.28 (с, 6H, 2 × CH₃), 1.15 (т, J = 7.4 Гц, 6H, 2 × CH₃), 1.00 (т, J = 7.4 Гц, 6H, 2 × CH₃). сигнал ОН-группы не наблюдался. ¹⁹F ЯМР (470 МГц, CDCl₃): δ –142.41 (кв, $J_{JF-B} = 34.0$ Гц, 2F). ¹¹B ЯМР (160 МГц, CDCl₃): δ 0.96 (т, $J_{JB-F} = 34.0$ Гц). HRMS (ESI/Q-TOF): рассчитано для $C_{42}H_{57}BF_{2}N_{3}OS_{4}$ ([M+H]⁺) 795.5159, найдено m/z 795.5161.

(E)-4-(2-(8-(4-(бис(2-((2-

(этилтио)этил)тио)этил)амино)фенил)-2,6-диэтил-4,4дифтор-1,3,7-триметил-4-бора-3а,4а-диаза-s-индацен-5ил)винил)фенил 3,4-диметокси-2нитробензолсульфонат (S20)

К суспензии соединения **47** (6.2 мг, 2.5 μ моль, 1.0 экв) в сухом CH₂Cl₂ (5 мл) при 0 °C добавляли Et₃N (1 мкл, 12 мкмоль, 4.8 экв). Смесь перемешивали при охлаждении в

течение 5 минут и затем обработали 4,5-диметокси-2-нитробензолсульфонилхлоридом (4 мг, 12 µмоль, 4.8 экв). Полученную смесь выдерживали при 0 °C в течение 30 минут, затем разбавили

СН₂Сl₂ (10 мл), промыли водным 1.0 М КНSO₄ (10 мл) и сушили над безводным Na₂SO₄. Растворитель отогнали при пониженном давлении. Продукт выделен полупрепаративной ОФ-ВЖХ (система C, $\tau_R = 50$ -55 мин). Синее твердое вещество, выход 1.7 мг (65%). ¹Н ЯМР (500 МГц, CDCl₃): δ 7.65 (д, J = 16.8 Гц, 1H, CH), 7.59 (с, 1H, CH), 7.53 (д, J = 8.7 Гц, 2H, 2 × CH), 7.31 (с, 1H, CH), 7.21 (д, J = 8.7 Гц, 2H, 2 × CH), 7.11 (д, J = 8.5 Гц, 2H, 2 × CH), 7.09 (д, J = 8.5 Гц, 2H, 2 × CH), 6.81 (д, J = 16.8 Гц, 1H, 1 × CH), 4.03 (с, 3H, CH₃), 3.90 (с, 3H, CH₃), 2.87 – 2.73 (м, 12H, 6 × CH₂), 2.67 – 2.52 (м, 4H, 2 × CH₂), 1.46 – 1.34 (м, 16H, 3 × CH₃), 1.14 (т, J = 7.5 Гц, 6H, 2 × CH₃), 1.00 (т, J = 7.5 Гц, 6H, 2 × CH₃). ¹⁹F ЯМР (470 МГц, CDCl₃): δ –142.41 (кв, J = 7.5 Гц, 6H, 2 × CH₃). ¹⁹F ЯМР (470 МГц, CDCl₃): δ –142.41 (кв, J = 7.5 °C), J = 7.5 Гц, 6H, 2 × CH₃) HRMS (ESI/Q-TOF): рассчитано для J = 7.5 Сп, 6H₆₄BF₂N₄O₇S₅ ([M+H]⁺) 1041.3434, найдено J = 1.00 мг/2 1041.3439.

$$NO_2$$
 NO_2
 NO_2
 NO_2
 NO_2
 NO_2
 NO_2

(E)-4-(4-(2,6-Диэтил-4,4-дифтор-1,3,7-триметил-5-(4-((7нитробензо[c][1,2,5]оксадиазол-4-ил)окси)стирил)-4-бора-3а,4адиаза-s-индацен-8-ил)фенокси)-7-нитробензо[c][1,2,5]оксадиазол (S15)

К суспензии соединения **ВРВ** (25 мг, 0.05 ммоль, 1.0 экв) в сухом CH_2Cl_2 (10 мл) при 0 °C добавили 4-хлоро-7-нитробензофуран (20 мг, 0.1 ммоль, 2.0 экв). Смесь перемешивали в течение 5 минут и затем обработали DIPEA (26 μ л, 0.15 ммоль, 3.0 экв). Полученную смесь перемешивали при 0 ° C в течение 30 минут, затем 5 часов

при комнатной температуре. Растворитель отогнали при пониженном давлении. Продукт выделяли колоночной флэш-хроматографией ($\mathrm{CH_2Cl_2}$ – MeOH, 100 : 1). Синее твердое вещество, выход 5.0 мг (25%), т. пл. 210 – 212 °C, $\mathrm{R_f}$ 0.6 ($\mathrm{CH_2Cl_2}$ – MeOH, 4 : 1). ¹H ЯМР (500 МГц, CDCl₃): δ 8.52 (д, J = 8.3 Гц, 1H, CH) 8.45 (д, J = 8.3 Гц, 1H, CH), 7.78 – 7.71 (м, 3H, CH+CH+CH), 7.53 (д, J = 8.1 Гц, 2H, 2 × CH), 7.44 (д, J = 8.1 Гц, 2H, 2 × CH), 7.29 - 7.22 (м, 3H, CH+CH+CH), 6.65 (д, J = 8.3 Гц, 1H, CH), 6.61 (д, J = 8.3 Гц, 1H, CH), 2.70 – 2.57 (м, 5H, CH₂ + CH₃), 2.37 (кв, J = 7.7 Гц, 2H, CH₂), 1.47 (с, 3H, CH₃), 1.45 (с, 3H, CH₃), 1.20 (т, J = 7.5 Гц, 3H, CH₃), 1.04 (т, J = 7.6 Гц, 3H, CH₃). ¹³C ЯМР (126 МГц CDCl₃): δ 157.7 (C), 154.3 (C), 153.6 (C), 153.5 (C), 152.6 (C), 148.1 (C), 145.2 (C), 145.1 (C), 144.2 (C), 144.1 (C), 139.2 (C), 137.7 (C), 136.7 (C), 134.8 (C), 133.4 (C), 133.3 (2 × CH), 132.9 (2 × CH), 132.8 (C), 132.4 (C), 131.6 (C), 131.3 (C), 131.2 (2 × CH), 130.7 (C), 129.3 (2 × CH), 128.8 (C), 121.7 (2 × CH), 121.2 (2 × CH), 108.3 (CH), 107.7 (CH), 29.7 (CH₃), 18.3 (CH₂), 17.2 (CH₂), 14.5 (CH₃), 14.2 (CH₃), 12.2 (CH₃), 11.7 (CH₃). ¹⁹F ЯМР (470 МГц CDCl₃): δ -142.14 (кв, I I

 $^{1}J_{\text{B-F}} = 33.6 \,\Gamma\text{ц}$). UV-vis (10 mM PB + 50 % EtOH, 25 °C): $\lambda_{\text{max}} = 590 \,\text{нм}$ ($\epsilon = 31800 \,\text{M}^{-1} \,\text{см}^{-1}$). HRMS (ESI/Q-TOF): рассчитано для $C_{42}H_{34}BF_{2}N_{8}O_{8}$ ([M+H]⁺) 827.5883, найдено m/z 827.5888.

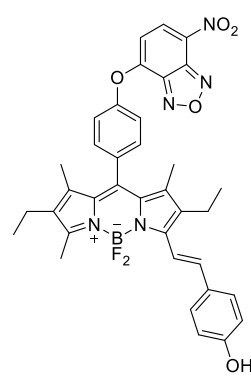
(E)-4-(2,6-диэтил-4,4-дифтор-1,3,7-триметил-5-(4-((7-нитробензо[c][1,2,5]оксадиазол-4-ил)окси)стирил)-4-бора-3а,4а-диаза-s-индацен-8-ил)фенол (S16)

Выделен как побочный продукт при синтезе соединения S15.

Очищали полупрепаративной ОФ-ВЭЖХ, система В (т_R = 19-21

мин). Синие твердое вещество, выход 3.8 мг (24%), R_f 0.5 (CH₂Cl₂ – MeOH, 4 : 1). 1 H ЯМР (500 МГц, CDCl₃): δ 8.45 (д, J = 8.3 Гц, 2H, 2 × CH), 7.75 – 7.70 (м, 3H, CH+CH+CH), 7.19 (д, J = 17.0 Гц, 1H, CH), 7.16 (д, J = 8.4 Гц, 2H, 2 × CH), 6.98 (д, J = 8.4 Гц, 2H, 2 × CH), 6.60 (д, J = 8.3 Гц, 2H, 2 × CH), 2.64 – 2.55 (м, 5H, CH₂ + CH₃), 2.33 (кв, J = 7.5 Гц, 2H, CH₂), 1.40 (с, 3H, CH₃), 1.39 (с, 3H, CH₃), 1.17 (т, J = 7.5 Гц, 3H, CH₃), 1.01 (т, J = 7.6 Гц, 3H, CH₃), сигнал ОН-группы не наблюдался. 13 C ЯМР (126 МГц, CDCl₃): δ 157.3 (C), 156.6 (C), 154.8 (C), 152.7 (C), 147.7 (C), 145.6 (C), 144.6 (C), 140.36 (C), 138.6 (C), 137.4 (C), 134.7 (C), 133.8 (2 × C), 133.3 (C), 132.5 (C), 131.1 (C), 130.1 (2 × CH), 129.6 (2 × CH), 128.33 (C), 122.0 (CH), 121.6 (2 × CH), 116.6 (2 × CH), 108.1 (CH), 41.3 (CH₂), 30.1 (CH₂), 18.7 (CH₃), 17.5 (CH₃), 14.9 (CH₃), 14.6 (CH₃), 13.3 (CH₃), 12.5 (CH₃), 11.9 (CH₃). 19 F ЯМР (470 МГц CDCl₃): δ –142.37 (кв, $^{1}J_{F-B}$ = 33.5 Гц, 2F). 11 B ЯМР (160 МГц, CDCl₃): δ 1.02 (т, $^{1}J_{B-F}$ = 33.5 Гц). UV-vis (10 mM PB + 50 % EtOH, 25 °C): λ_{max} = 578 нм (ϵ = 63000 M $^{-1}$ см $^{-1}$). LR-MS

(ESI+) рассчитано для $C_{36}H_{32}BFN_5O_5$ ([M-F]+) 644.2, найдено m/z 644.2.

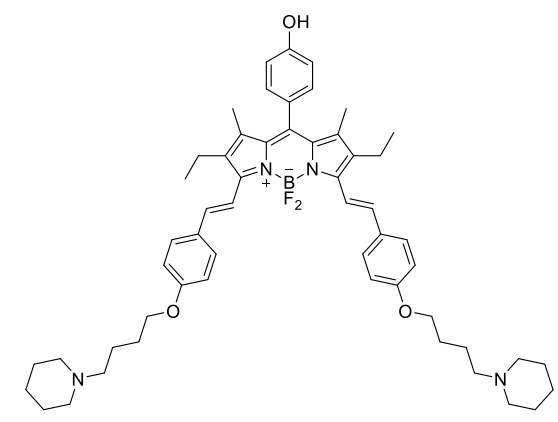


(E)-4-(2-(2,6-диэтил-4,4-дифтор-1,3,7-триметил-8-(4-((7-нитробензо[c][1,2,5]оксадиазол-4-ил)окси)фенил)-4-бора-3а,4а-диаза-ѕиндацен-5-ил)винил)фенол

Выделен как побочный продукт при синтезе соединения S15 Очищали

полупрепаративной ОФ-ВЭЖХ, система В ($\tau_R = 20\text{-}22$ мин). Синие твердое вещество, выход 3.8 (1%), R_f 0.4 (CH_2Cl_2 – MeOH, 4 : 1). 1 H ЯМР (500 МГц, CDCl₃): δ 8.51 (д, J = 8.3 Гц, 1H, CH), 7.60 (д, J = 16.8 Гц, 1H, CH), 7.51 (д, J = 8.2 Гц, 2H, 2 × CH), 7.45 (д, J = 8.2 Гц, 2H, 2 × CH), 7.42 (д, J = 8.5 Гц, 2H, 2 × CH), 7.20 (д, J = 16.8 Гц, 1H, CH), 6.86 (д, J = 8.5 Гц, 2H, 2 × CH), 6.63 (д, J = 8.2 Гц, 1H, CH), 2.67 – 2.56 (м, 5H, CH₂ + CH₃), 2.35 (кв, J = 7.5 Гц, 2H, CH₂), 1.44 (c, 3H, CH₃), 1.43 (c, 3H, CH₃), 1.17 (т, J = 7.5 Гц, 3H, CH₃), 1.02 (т, J = 7.6 Гц, 3H, CH₃). сигнал ОН-группы не наблюдался. 19 F ЯМР (470 МГц

CDCl₃): δ –142.38 (кв, ${}^{1}J_{F-B}$ = 33.6 Гц, 2F). 11 В ЯМР (160 МГц, CDCl₃): δ 1.01 (т, ${}^{1}J_{B-F}$ = 33.6 Гц). LR-MS (ESI+) рассчитано для $C_{36}H_{32}BFN_{5}O_{5}$ ([M-F]⁺) 644.2, найдено m/z 644.2.



4-(2,6-Диэтил-4,4-дифтор-1,7-диметил-3,5-бис((*E*)-4-(4-(пиперидин-1-ил)бутокси)стирил)-4-бора-3а,4а-диаза-s-индацен-8-ил)фенол (26)

4-(4-Бромбутокси) бензальдегид (648 мг, 2.5 ммоль, 5.0 экв), пиперидин (1 мл) и TsOH (10 моль%) последовательно добавляли к соединению **24** (200 мг, 0.5 ммоль, 1.0 экв) в сухом толуоле (60 мл). Полученную смесь концентрировали досуха

кипячением. Затем добавляли дополнительное количество сухого толуола (10 мл) и смесь снова нагревали до точки кипения. Полученное твердое вещество растворяли в CH₂Cl₂ (10 мл), последовательно промыли водным 1.0 М KHSO₄ (3×10 мл) и деионизированной воды (2×10 мл). Органический слой сушили над безводным Na₂SO₄. Растворитель отогнали под вакуумом. Продукт выделяли колоночной хроматографией (CH₂Cl₂ – MeOH, 100: 1) и затем ОФ-ВЭЖХ (система A): $T_R = 4.8$ мин (чистота 91% при 260 нм и >99% при 670 нм). Темно-синее твердое вещество, выход 30 мг (2%), R_f 0.23 (CH₂Cl₂ – MeOH, 100:1), т пл. 281-283 °C. ¹H ЯМР (500 МГц, ДМСО- d_6): δ 7.59 (д, J = 8.8 Гц, 4H, 4 × CH), 7.48 (д, J = 7.3 Гц, 2H, 2 × CH), 7.27 (д, J = 7.3 Γ ц, 2H, 2 × CH), 7.16 (д, J = 8.4 Γ ц, 2H, 2 × CH), 7.04 (д, J = 8.8 Γ ц, 4H, 4 × CH), 6.96 (д, J = 8.4 Γ ц, 2H, 2 × CH), 4.12-4.08 (м, 4H, 2 × CH₂), 3.09-3.13 (м, 5H, 2 × CH₂), 2.88 (кв, J = 7.0 Γ ц, 4H, 2 \times CH₂), 2.68 - 2.56 (M, 4H, 2 \times CH₂), 1.88-1.60 (M, 23H, 14 \times CH₂), 1.42 (c, 6H, 2 \times CH₃), 1.05 (T, J = 7.0 Гц, 6H, 2 × CH₃), сигнал OH-группы не наблюдался. ¹³С ЯМР (126 МГц, ДМСО- d_6): δ 159.8 (2 × C), 158.6 (C), 158.3 (2 × C), 149.8 (C), 139.7 (4 × CH), 139.4 (2 × C), 135.7 (C), 133.2 (2 \times CH), 130.0 (2 \times CH), 129.0 (2 \times CH), 125.6 (2 \times C), 122.4 (4 \times CH), 118.3 (2 \times C), 117.5 (2 \times C), 115.5 (2 × CH), 56.5 (2 × CH₂), 56.0 (4 × CH₂), 52.5 (2 × CH₂), 40.5 (2 × CH₂), 36.9 (2 × CH₂), 26.2 $(2 \times \text{CH}_2)$, 23.0 $(2 \times \text{CH}_2)$, 21.8 $(2 \times \text{CH}_2)$, 20.8 $(2 \times \text{CH}_2)$, 14.4 $(2 \times \text{CH}_3)$, 11.9 $(2 \times \text{CH}_3)$. ¹⁹F MMP (470 МГц, ДМСО- d_6): δ –136.69 (кв, ${}^{1}J_{F-B}$ = 67.5 Гц, 2F). 11 В ЯМР (160 МГц, ДМСО- d_6): δ 1.01 (т, $^{1}J_{B-F}=67.5$ Гц). LRMS (ESI+): рассчитано для $C_{55}H_{70}BF_{2}N_{4}O_{3}$ ([M+H]+) 883.6, рассчитано для $C_{55}H_{71}BF_2N_4O_3$ ([M+2H]²⁺)/2 442.3; найдено m/z = 442.4 (100%), 883.6 (45%).

4-(2,6-Диэтил-4,4-дифтор-1,7-диметил-3,5-бис((*E*)-4-(4-(пиперидин-1-ил)бутокси)стирил)-4-бора-3а,4а-диаза-s-индацен-8-ил)фенил(4-нитробензил)карбонат (S17)

Соединение **26** (15 мг, 0.014 ммоль, 1.0 экв) и Et_3N (7 мкл, 0.05 ммоль, 3.6 экв) растворили в сухом CH_2Cl_2 (5 мл) и раствор охлаждали до 0 °C. Затем к раствору добавили 4-нитробензилкарбохлоридат (11 мг, 0,05 ммоль, 3,) и полученную реакционную смесь

перемешивали при 0 °C в течение 30 минут. После этого смесь разбавляли CH₂Cl₂ (10 мл), последовательно промывали водн. 1 М КНSO₄ (10 мл) и сушили над безводным Na₂SO₄. Растворитель отгоняли под вакуумом. Продукт выделяли колоночной хроматографией (элюент $CH_2Cl_2 - MeOH$, $100:1 \rightarrow 100:9$) и затем $O\Phi$ -ВЭЖХ (система A): $t_R = 5.2$ мин (чистота 96%при 260 нм и 100% при 670 нм). Темно-синее твердое вещество, выход 5 мг (40%), т.пл. 277 – 279 °С. ¹Н ЯМР (500 МГц, ДМСО- d_6): δ 8.21 (д, J = 8.8 Гц, 2H, 2 × CH), 7.62 (д, J = 8.8 Гц, 2H, 2 \times CH), 7.52 (д, J = 7.2 Гц, 2H, 2 \times CH), 7.48 (д, J = 8.7 Гц, 4H, 4 \times CH), 7.24 (д, J = 8.7 Гц, 2H, 2 \times CH), 7.18 (π , $J = 7.2 \Gamma \mu$, 2H, 2 × CH), 6.91 (π , $J = 8.7 \Gamma \mu$, 4H, 4 × CH), 6.82 (π , $J = 8.8 \Gamma \mu$, 2H, 2 × CH), 5.34 (c, 2H, CH₂), 4.08-4.02 (M, 4H, $2 \times \text{CH}_2$), 3.11 – 3.02 (M, 4H, $2 \times \text{CH}_2$), 2.85 (KB, J = 7.0, 4H, $2 \times \text{CH}_2$), 1.92 - 1.61 (M, 28H, $14 \times \text{CH}_2$), 1.33 (c, 6H, $2 \times \text{CH}_3$), 1.05 (c, J = 7.0 ΓII , 6H, $2 \times \text{CH}_3$) CH₃). ¹³С ЯМР (126 МГц, ДМСО- d_6): δ 159.9 (C=O), 158.4 (C), 158.2 (2 × C), 156.2 (C), 154.5 (2 × C) 152.8 (C), 152.3 (C), 147.9 (C), 143.1 (2 \times C), 139.2 (2 \times C), 137.8 (4 \times CH), 136.1 (2 \times CH), 129.9 (2 × CH), 129.5 (2 × CH), 129.2 (2 × C), 125.1 (2 × CH), 124.2 (2 × C), 122.8 (4 × CH), 118.5 $(2 \times CH)$, 115.6 $(2 \times CH)$, 69.1 (CH_2) , 56.6 $(2 \times CH_2)$, 56.0 $(4 \times CH_2)$, 52.6 $(2 \times CH_2)$, 40.6 $(2 \times CH_2)$, $37.0 (2 \times \text{CH}_2), 26.3 (2 \times \text{CH}_2), 23.0 (2 \times \text{CH}_2), 21.8 (2 \times \text{CH}_2), 20.8 (2 \times \text{CH}_2), 14.4 (2 \times \text{CH}_3), 11.8$ $(2 \times \text{CH}_3)$. ¹⁹F ЯМР (470 МГц, ДМСО- d_6): δ -136.74 (кв. ¹ J_{F-B} = 66.8 Гц, 2F). ¹¹B ЯМР (160 МГц, ДМСО- d_6): δ 1.07 (т, ${}^{1}J_{B-F} = 66.8$ Гц). LRMS (ESI+): рассчитано для $C_{63}H_{76}BF_2N_5O_7$ ([M+2H]²⁺)/2 531.8, найдено m/z = 531.8. HRMS (ESI/Q-TOF): рассчитано для $C_{63}H_{76}BF_2N_5O_7$ ([M+2H]²⁺)/2 531.7896, найдено 531.7872. UV-vis ($H_2O + 10$ % ДМСО, 25 °C): $\lambda_{max} = 659$ нм ($\epsilon = 19~000$ М ⁻¹ см ⁻¹).

СПИСОК СОКРАЩЕНИЙ

БОДИПИ 4,4'-дифтор-4-бора-(3a,4a)-диаза-*s*-индацен

МЛЭ Молекулярный логический элемент

DDQ 2,3-дихлор-5,6-дициано-1,4-бензохинон

DIPEA диизопропилэтиламин

HRMS масс-спектрометрия высокого разрешения

in situ «на месте» (лат.), непосредственно в реакционной смеси

in vivo «в (на) живом»(лат.), то есть «внутри живого организма» или

«внутри клетки»

АФК Активные формы кислорода

NBD 4-хлор-7-нитробензофуран

HEPES (4-(2-гидроксиэтил)-1-пиперазинэтансульфоновая кислота

MOPS 3-[*N*-Морфолино]пропансульфоновая кислота

MES 2-(*N*-морфолино)этансульфоновая кислота

РВ фосфатный буфер

TFA трифторуксусная кислота

TMS триметилсилил

Ts *п*-толилсульфонил

UV ультрафиолетовое излучение с длиной волны 315 – 400 нм

ДМСО диметилсульфоксид

ДМФА диметилформамид

ИК инфракрасная спектроскопия

ТГФ тетрагидрофуран

ТСХ тонкослойная хроматография

ЯМР спектроскопия ядерного магнитного резонанса

NBS N-бромсукценимид

NIS N-йодсукценимид

ВРВ бисфенозамещенный-БОДИПИ

Cys цистеин

Нсу гомоцистеин

GSH глутатион

ХО ксантиноксидаза

ВЗМО высшая занятая молекулярная орбиталь

НСМО низшая свободная молекулярная орбиталь

РРі пирофосфат

РЕТ фотоиндуцированный перенос электрона

ІСТ межмолекулярный перенос заряда

RET резонансная передача энергии

RDX 1,3,5-тринитропергидро-1,3,5-триазин

РА пикриновая кислота

TNT 2,4,6-тринитротолуол

DCNP диэтилцианофосфат

DFP диизопропилфторфосфат

DNBS 2,4-динитробензосульфонил

СТАВ бромид цетилтриметиламмония

CDI карбонилдиимидазол

СПИСОК ЛИТЕРАТУРЫ

- 1. Erbas-Cakmak S., Kolemen S., Sedgwick A. C., Gunnlaugsson T., James T. D., Yoon J., Akkaya E. U. Molecular logic gates: the past, present and future // Chem. Soc. Rev. 2018. T. 47, № 7. C. 2228-2248.
- 2. de Silva P. A., Gunaratne N. H., McCoy C. P. A molecular photoionic AND gate based on fluorescent signalling // Nature. − 1993. − T. 364, № 6432. − C. 42-44.
- 3. Andréasson J., Pischel U. Molecules with a sense of logic: a progress report // Chem. Soc. Rev. 2015. T. 44, № 5. C. 1053-1069.
- 4. Andréasson J., Pischel U. Molecules with a sense of logic: a progress report // Chemical Society Reviews. 2015. T. 44, № 5. C. 1053-1069.
- 5. Aragay G., Pons J., Merkoçi A. Recent trends in macro-, micro-, and nanomaterial-based tools and strategies for heavy-metal detection // Chemical reviews. 2011. T. 111, № 5. C. 3433-3458.
- 6. Kolemen S., Akkaya E. U. Reaction-based BODIPY probes for selective bio-imaging // Coordination Chemistry Reviews. 2018. T. 354. C. 121-134.
- 7. Boens N., Leen V., Dehaen W. Fluorescent indicators based on BODIPY // Chem. Soc. Rev. 2012. T. 41, № 3. C. 1130-1172.
- 8. Vitvitsky V. M., Garg S. K., Keep R. F., Albin R. L., Banerjee R. Na⁺ and K⁺ ion imbalances in Alzheimer's disease // Biochimica et Biophysica Acta (BBA)-Molecular Basis of Disease. − 2012. − T. 1822, № 11. − C. 1671-1681.
- 9. De Silva A. P., Gunaratne H. N., Gunnlaugsson T., Huxley A. J., McCoy C. P., Rademacher J. T., Rice T. E. Signaling recognition events with fluorescent sensors and switches // Chem. Rev. − 1997. − T. 97, № 5. − C. 1515-1566.
- 10. de Silva A. P., Uchiyama S. Molecular logic gates and luminescent sensors based on photoinduced electron transfer // Luminescence Applied in Sensor ScienceSpringer, 2010. C. 1-28.
- 11. Boens N., Leen V., Dehaen W. Fluorescent indicators based on BODIPY // Chemical Society Reviews. 2012. T. 41, № 3. C. 1130-1172.
- 12. Infochemistry: information processing at the nanoscale. / Szacilowski K.: John Wiley & Sons, 2012.
- 13. De Silva A. P., Gunaratne H. N., Gunnlaugsson T., Huxley A. J., McCoy C. P., Rademacher J. T., Rice T. E. Signaling recognition events with fluorescent sensors and switches // Chemical reviews. − 1997. − T. 97, № 5. − C. 1515-1566.
- 14. Loudet A., Burgess K. BODIPY dyes and their derivatives: syntheses and spectroscopic properties // Chemical reviews. 2007. T. 107, № 11. C. 4891-4932.

- 15. Ulrich G., Ziessel R., Harriman A. The chemistry of fluorescent bodipy dyes: versatility unsurpassed // Angewandte Chemie International Edition. 2008. T. 47, № 7. C. 1184-1201.
- 16. Treibs A., Kreuzer F. H. Difluorboryl-komplexe von di-und tripyrrylmethenen // Justus Liebigs Annalen der Chemie. 1968. T. 718, № 1. C. 208-223.
- 17. Erbas-Cakmak S., Kolemen S., Sedgwick A. C., Gunnlaugsson T., James T. D., Yoon J., Akkaya E. U. Molecular logic gates: the past, present and future // Chemical Society Reviews. -2018. -T. 47, N ? -C. 2228-2248.
- 18. Romieu A. "AND" luminescent "reactive" molecular logic gates: a gateway to multi-analyte bioimaging and biosensing // Organic & biomolecular chemistry. − 2015. − T. 13, № 5. − C. 1294-1306.
- 19. Alemdaroğlu T., Onur E., Akgün H. Determination of major and trace elements in sediments of lake Eğridir, Turkey // International journal of environmental studies. 2000. T. 57, № 2. C. 157-166.
- 20. Que E. L., Domaille D. W., Chang C. J. Metals in neurobiology: probing their chemistry and biology with molecular imaging // Chemical reviews. 2008. T. 108, № 5. C. 1517-1549.
- 21. Ackerman C. M., Lee S., Chang C. J. Analytical methods for imaging metals in biology: from transition metal metabolism to transition metal signaling // Analytical chemistry. -2017. T. 89, No 1. -C. 22-41.
- 22. Shi W.-J., Li C.-F., Huang Y., Tan H.-y., Wei Y.-F., Liu F., Feng L.-X., Zheng L., Chen G.-S., Yan J.-w. A remarkable colorimetric probe for fluorescent ratiometric and ON-OFF discriminative detection of Hg²⁺ and Cu²⁺ by double-channel imaging in living cells // Dyes Pigm. 2019. T. 171. C. 107782.
- 23. Gul A., Oguz M., Kursunlu A. N., Yilmaz M. A novel colorimetric/fluorometric dual-channel sensor based on phenolphthalein and Bodipy for Sn (II) and Al (III) ions in half-aqueous medium and its applications in bioimaging // Dyes Pigm. 2020. T. 176. C. 108221.
- 24. Jesu Raj J. G. Bio/chemical sensing and generation of reactive oxygen species based on upconverting nanoparticles; Université du Québec, Institut national de la recherche scientifique, 2017.
- 25. Eçik E. T., Şenkuytu E., Okutan E., Çiftçi G. Y. Synthesis of BODIPY-cyclotetraphosphazene triad systems and their sensing behaviors toward Co (II) and Cu (II) // Inorganica Chim. Acta. 2019. T. 495. C. 119009.
- 26. Shen B. X., Qian Y. Triphenylamine-BODIPY Fluorescent Dendron: Click Synthesis and Fluorometric Chemodosimeter for Hg^{2+} , Fe^{3+} Based on the C= N Bond // ChemistrySelect. 2017. T. 2, No 8. C. 2406-2413.
- 27. Zhang X., Xu Y., Guo P., Qian X. A dual channel chemodosimeter for Hg $^{2+}$ and Ag $^{+}$ using a 1, 3-dithiane modified BODIPY // New J Chem. -2012. T. 36, N_{2} 8. C. 1621-1625.

- 28. Chen Y., Pan H., Wang F., Zhao Y., Yin H., Chen Y., Zhang J., Jiang J. An ultrafast BODIPY single molecular sensor for multi-analytes (acid/base/Cu²⁺/Bi³⁺) with different sensing mechanism // Dyes Pigm. 2019. T. 165. C. 279-286.
- 29. Karakuş E., Üçüncü M., Emrullahoğlu M. A rhodamine/BODIPY-based fluorescent probe for the differential detection of Hg (II) and Au (III) // ChemComm. − 2014. − T. 50, № 9. − C. 1119-1121.
- 30. Xie X., Qin Y. A dual functional near infrared fluorescent probe based on the bodipy fluorophores for selective detection of copper and aluminum ions // SENSOR ACTUAT B-CHEM. -2011.-T.156, No.1.-C.213-217.
- 31. Cheng T., Wang T., Zhu W., Yang Y., Zeng B., Xu Y., Qian X. Modulating the selectivity of near-IR fluorescent probes toward various metal ions by judicious choice of aqueous buffer solutions // Chem.Comm. − 2011. − T. 47, № 13. − C. 3915-3917.
- 32. Li S., Cao D., Hu Z., Li Z., Meng X., Han X., Ma W. A chemosensor with a paddle structure based on a BODIPY chromophore for sequential recognition of Cu $^{2+}$ and HSO $^{3-}$ // RSC Adv. 2019. T. 9, N_{\odot} 59. C. 34652-34657.
- 33. Bozdemir O. A., Guliyev R., Buyukcakir O., Selcuk S., Kolemen S., Gulseren G., Nalbantoglu T., Boyaci H., Akkaya E. U. Selective manipulation of ICT and PET processes in styryl-bodipy derivatives: applications in molecular logic and fluorescence sensing of metal ions // J. Am. Chem. Soc. −2010. − T. 132, № 23. − C. 8029-8036.
- 34. Yuan M., Zhou W., Liu X., Zhu M., Li J., Yin X., Zheng H., Zuo Z., Ouyang C., Liu H. A multianalyte chemosensor on a single molecule: promising structure for an integrated logic gate // J ORG CHEM. − 2008. − T. 73, № 13. − C. 5008-5014.
- 35. Gu Z., Cheng H., Shen X., He T., Jiang K., Qiu H., Zhang Q., Yin S. A BODIPY derivative for colorimetric fluorescence sensing of Hg^{2+} , Pb^{2+} and Cu^{2+} ions and its application in logic gates // Spectrochim. Acta A. -2018. -T. 203. -C. 315-323.
- 36. More A. B., Mula S., Thakare S., Chakraborty S., Ray A. K., Sekar N., Chattopadhyay S. An acac-BODIPY dye as a reversible "ON-OFF-ON" fluorescent sensor for Cu^{2+} and S^{2-} ions based on displacement approach // J. Lumin. 2017. T. 190. C. 476-484.
- 37. Cheng T., Wang T., Zhu W., Chen X., Yang Y., Xu Y., Qian X. Red-emission fluorescent probe sensing cadmium and pyrophosphate selectively in aqueous solution // Org. − 2011. − T. 13, № 14. − C. 3656-3659.
- 38. Coskun A., Deniz E., Akkaya E. U. Effective PET and ICT switching of boradiazaindacene emission: a unimolecular, emission-mode, molecular half-subtractor with reconfigurable logic gates // Org. − 2005. − T. 7, № 23. − C. 5187-5189.

- 39. Yu Y., Shu T., Fu C., Yu B., Zhang D., Luo H., Chen J., Dong C. A novel colorimetric sensor based on BODIPY-coumarin dye for simultaneous detection of cyanide and fluoride // J. Lumin. 2017. T. 186. C. 212-218.
- 40. Fu L., Tian F.-F., Lai L., Liu Y., Harvey P. D., Jiang F.-L. A ratiometric "two-in-one" fluorescent chemodosimeter for fluoride and hydrogen sulfide // Sens. Actuator B-Chem. 2014. T. 193. C. 701-707.
- 41. Gao J., Chen X., Chen S., Meng H., Wang Y., Li C., Feng L. The BODIPY-based chemosensor for fluorometric/colorimetric dual channel detection of RDX and PA // Anal. Chem. 2019. T. 91, № 21. C. 13675-13680.
- 42. Bon B., Costero A., Gil S., Máñez R., Sancenón F. Selective chromo-fluorogenic detection of DFP (a sarin and soman mimic) and DCNP (a tabun mimic) with a unique probe based on a boron dipyrromethane (BODIPY) dye // Org. Bio. Chem. 2014. T. 12. C. 8745-8751.
- 43. Zhang J., Ji X., Ren H., Zhou J., Chen Z., Dong X., Zhao W. Meso-heteroaryl BODIPY dyes as dual-responsive fluorescent probes for discrimination of Cys from Hcy and GSH // Sensors and Actuators B: Chemical. 2018. T. 260. C. 861-869.
- 44. Ji X., Lv M., Pan F., Zhang J., Wang J., Wang J., Zhao W. A dual-response fluorescent probe for the discrimination of cysteine from glutathione and homocysteine // SPECTROCHIM ACTA A. 2019. T. 206. C. 1-7.
- 45. Shao J., Sun H., Guo H., Ji S., Zhao J., Wu W., Yuan X., Zhang C., James T. D. A highly selective red-emitting FRET fluorescent molecular probe derived from BODIPY for the detection of cysteine and homocysteine: an experimental and theoretical study // Chem. Sci. − 2012. − T. 3, № 4. − C. 1049-1061.
- 46. Wang F., Zhou L., Zhao C., Wang R., Fei Q., Luo S., Guo Z., Tian H., Zhu W.-H. A dual-response BODIPY-based fluorescent probe for the discrimination of glutathione from cystein and homocystein // Chem. Sci. − 2015. − T. 6, № 4. − C. 2584-2589.
- 47. Cheng J., Liu M., Shao B., Zhang S., Li J., Hu Y., Li X., Zang Y. Development of a novel H_2S and GSH detection cocktail for fluorescence imaging // RSC Adv. -2016. -T. 6, N_2 64. -C. 59882-59888.
- 48. Pan J., Zhang Y., Xu J., Liu J., Zeng L., Bao G.-M. A smart fluorescent probe for simultaneous detection of GSH and Cys in human plasma and cells // RSC Adv. 2015. T. 5, № 118. C. 97781-97787.
- 49. Niu L.-Y., Guan Y.-S., Chen Y.-Z., Wu L.-Z., Tung C.-H., Yang Q.-Z. BODIPY-based ratiometric fluorescent sensor for highly selective detection of glutathione over cysteine and homocysteine // J AM CHEM SOC. − 2012. − T. 134, № 46. − C. 18928-18931.

- 50. Gong D., Zhu X., Tian Y., Han S.-C., Deng M., Iqbal A., Liu W., Qin W., Guo H. A phenylselenium-substituted BODIPY fluorescent turn-off probe for fluorescence imaging of hydrogen sulfide in living cells // Anal. Chem. 2017. T. 89, № 3. C. 1801-1807.
- 51. Gong D., Han S.-C., Iqbal A., Qian J., Cao T., Liu W., Liu W., Qin W., Guo H. Fast and selective two-stage ratiometric fluorescent probes for imaging of glutathione in living cells // Anal. Chem. 2017. T. 89, № 24. C. 13112-13119.
- 52. Chen X.-X., Niu L.-Y., Shao N., Yang Q.-Z. BODIPY-based fluorescent probe for dual-channel detection of nitric oxide and glutathione: visualization of cross-talk in living cells // Anal. Chem. − 2019. − T. 91, № 7. − C. 4301-4306.
- 53. Zhang J., Pan F., Jin Y., Wang N., He J., Zhang W., Zhao W. A BODIPY-based dual-responsive turn-on fluorescent probe for NO and nitrite // Dyes Pigm. 2018. T. 155. C. 276-283.
- 54. Tsay O. G., Lee K. M., Churchill D. G. Selective and competitive cysteine chemosensing: resettable fluorescent "turn on" aqueous detection via Cu 2+ displacement and salicylaldimine hydrolysis // New J Chem. − 2012. − T. 36, № 10. − C. 1949-1952.
- 55. Kaur N., Kaur P., Singh K. A dioxadithiaazacrown ether–BODIPY dyad Hg $^{2+}$ complex for detection of L-cysteine: fluorescence switching and application to soft material // RSC Adv. 2014. T. 4, N_{\odot} 55. C. 29340-29343.
- 56. Gupta N., Reja S. I., Bhalla V., Gupta M., Kaur G., Kumar M. A bodipy based dual functional probe for the detection of hydrogen sulfide and H_2S induced apoptosis in cellular systems // ChemComm. -2015. -T. 51, N_2 54. -C. 10875-10878.
- 57. Singh A. P., Murale D. P., Ha Y., Liew H., Lee K. M., Segev A., Suh Y.-H., Churchill D. G. A novel, selective, and extremely responsive thienyl-based dual fluorogenic probe for tandem superoxide and Hg 2+ chemosensing // Dalton Transactions. − 2013. − T. 42, № 10. − C. 3285-3290.
- 58. Liu H.-W., Zhu X., Zhang J., Zhang X.-B., Tan W. A red emitting two-photon fluorescent probe for dynamic imaging of redox balance meditated by a superoxide anion and GSH in living cells and tissues // ANLST. -2016. -T. 141, N_2 20. -C. 5893-5899.
- 59. AltanáBozdemir O. Proof of principle for a molecular 1: 2 demultiplexer to function as an autonomously switching theranostic device // Chemical Science. 2013. T. 4, № 2. C. 858-862.
- 60. Ozlem S., Akkaya E. U. Thinking outside the silicon box: molecular and logic as an additional layer of selectivity in singlet oxygen generation for photodynamic therapy // J AM CHEM SOC. 2009. T. 131, No 1. C. 48-49.
- 61. Erbas-Cakmak S., Akkaya E. U. Cascading of Molecular Logic Gates for Advanced Functions: A Self-Reporting, Activatable Photosensitizer // Angew. Chem. 2013. T. 52, № 43. C. 11364-11368.

- 62. Guliyev R., Ozturk S., Kostereli Z., Akkaya E. U. From virtual to physical: integration of chemical logic gates // Angew. Chem. 2011. T. 50, № 42. C. 9826-9831.
- 63. de Silva A. P. AND Logic Gates Based on Small Molecules with Chemical Inputs and Luminescence Output // Journal of Computational and Theoretical Nanoscience. 2011. T. 8, № 3. C. 409-421.
- 64. Dai J., Ma C., Zhang P., Fu Y., Shen B. Recent progress in the development of fluorescent probes for detection of biothiols // Dyes and Pigments. 2020. C. 108321.
- 65. Wang L., Ding H., Ran X., Tang H., Cao D. Recent progress on reaction-based BODIPY probes for anion detection // Dyes and Pigments. 2020. T. 172. C. 107857.
- 66. Kowada T., Maeda H., Kikuchi K. BODIPY-based probes for the fluorescence imaging of biomolecules in living cells // Chemical Society Reviews. 2015. T. 44, № 14. C. 4953-4972.
- 67. Kaur P., Singh K. Recent advances in the application of BODIPY in bioimaging and chemosensing // Journal of Materials Chemistry C. − 2019. − T. 7, № 37. − C. 11361-11405.
- 68. Wu D., Sedgwick A. C., Gunnlaugsson T., Akkaya E. U., Yoon J., James T. D. Fluorescent chemosensors: the past, present and future // Chemical Society Reviews. 2017. T. 46, № 23. C. 7105-7123.
- 69. Sfrazzetto G. T., Satriano C., Tomaselli G. A., Rizzarelli E. Synthetic fluorescent probes to map metallostasis and intracellular fate of zinc and copper // Coordination Chemistry Reviews. 2016. T. 311. C. 125-167.
- 70. Mbatia H. W., Burdette S. C. Photochemical tools for studying metal ion signaling and homeostasis // Biochemistry. 2012. T. 51, № 37. C. 7212-7224.
- 71. Vengaian K. M., Britto C. D., Sivaraman G., Sekar K., Singaravadivel S. Phenothiazine based sensor for naked-eye detection and bioimaging of Hg (II) and F^- ions // Rsc Advances. 2015. T. 5, $N_{\rm P}$ 115. C. 94903-94908.
- 72. Hamilton G. R., Sahoo S. K., Kamila S., Singh N., Kaur N., Hyland B. W., Callan J. F. Optical probes for the detection of protons, and alkali and alkaline earth metal cations // Chemical Society Reviews. − 2015. − T. 44, № 13. − C. 4415-4432.
- 73. Jiang P., Guo Z. Fluorescent detection of zinc in biological systems: recent development on the design of chemosensors and biosensors // Coordination Chemistry Reviews. 2004. T. 248, № 1-2. C. 205-229.
- 74. da Silva J. F., Williams R. The Biological Chemistry of the Elements, Clarendon // Book The Biological Chemistry of the Elements, Clarendon / EditorOxford, 1991.
- 75. Zhao Y., Zhang X.-B., Han Z.-X., Qiao L., Li C.-Y., Jian L.-X., Shen G.-L., Yu R.-Q. Highly sensitive and selective colorimetric and off— on fluorescent chemosensor for Cu2+ in aqueous solution and living cells // Analytical Chemistry. 2009. T. 81, № 16. C. 7022-7030.

- 76. Barranguet C., van den Ende F. P., Rutgers M., Breure A. M., Greijdanus M., Sinke J. J., Admiraal W. Copper-induced modifications of the trophic relations in riverine algal-bacterial biofilms // Environmental Toxicology and Chemistry: An International Journal. − 2003. − T. 22, № 6. − C. 1340-1349.
- 77. Quinonero J., Mongay C., De la Guardia M. Determination of aluminum at the parts per billion level by solvent extraction and flame atomic emission spectrometry // Microchemical journal. 1991. T. 43, \mathbb{N}_2 3. C. 213-221.
- 78. Fairman B., Sanz-Medel A., Jones P., Evans E. H. Comparison of fluorimetric and inductively coupled plasma mass spectrometry detection systems for the determination of aluminium species in waters by high-performance liquid chromatography // Analyst. -1998. -T. 123, N 4. -C. 699-703.
- 79. Bozdemir O. A., Guliyev R., Buyukcakir O., Selcuk S., Kolemen S., Gulseren G., Nalbantoglu T., Boyaci H., Akkaya E. U. Selective manipulation of ICT and PET processes in styryl-bodipy derivatives: applications in molecular logic and fluorescence sensing of metal ions // Journal of the American Chemical Society. − 2010. − T. 132, № 23. − C. 8029-8036.
- 80. Que E. L., Chang C. J. Responsive magnetic resonance imaging contrast agents as chemical sensors for metals in biology and medicine // Chemical Society Reviews. 2010. T. 39, № 1. C. 51-60.
- 81. Zhang J. F., Zhou Y., Yoon J., Kim J. S. Recent progress in fluorescent and colorimetric chemosensors for detection of precious metal ions (silver, gold and platinum ions) // Chemical Society Reviews. -2011. T. 40, No 7. C. 3416-3429.
- 82. Ma Z., Jacobsen F. E., Giedroc D. P. Coordination chemistry of bacterial metal transport and sensing // Chemical reviews. 2009. T. 109, № 10. C. 4644-4681.
- 83. Ma Z., Jacobsen F. E., Giedroc D. P. Metal transporters and metal sensors: how coordination chemistry controls bacterial metal homeostasis // Chemical reviews. 2009. T. 109, № 10. C. 4644.
- 84. Fabbrizzi L., Poggi A. Sensors and switches from supramolecular chemistry // Chemical Society Reviews. 1995. T. 24, № 3. C. 197-202.
- 85. Xing X., Zhao Y. Aromatically functionalized pseudo-crown ethers with unusual solvent response and enhanced binding properties // Organic & biomolecular chemistry. − 2018. − T. 16, № 10. − C. 1627-1631.
- 86. Qi X., Jun E. J., Xu L., Kim S.-J., Joong Hong J. S., Yoon Y. J., Yoon J. New BODIPY derivatives as OFF— ON fluorescent chemosensor and fluorescent chemodosimeter for Cu2+: cooperative selectivity enhancement toward Cu²⁺ // The Journal of organic chemistry. 2006. T. 71, № 7. C. 2881-2884.

- 87. He Q., Miller E. W., Wong A. P., Chang C. J. A selective fluorescent sensor for detecting lead in living cells // Journal of the American Chemical Society. − 2006. − T. 128, № 29. − C. 9316-9317.
- 88. Shannon R. D. Revised effective ionic radii and systematic studies of interatomic distances in halides and chalcogenides // Acta crystallographica section A: crystal physics, diffraction, theoretical and general crystallography. -1976. T. 32, N = 5. C. 751-767.
- 89. Carter K. P., Young A. M., Palmer A. E. Fluorescent sensors for measuring metal ions in living systems // Chemical reviews. 2014. T. 114, № 8. C. 4564-4601.
- 90. Anand T., Sivaraman G., Mahesh A., Chellappa D. Aminoquinoline based highly sensitive fluorescent sensor for lead (II) and aluminum (III) and its application in live cell imaging // Analytica chimica acta. 2015. T. 853. C. 596-601.
- 91. Fang X., Zhang S., Zhao G., Zhang W., Xu J., Ren A., Wu C., Yang W. The solvent-dependent binding modes of a rhodamine-azacrown based fluorescent probe for Al^{3+} and Fe^{3+} // Dyes and Pigments. -2014. -T. 101. -C. 58-66.
- 92. Mergu N., Singh A. K., Gupta V. K. Highly sensitive and selective colorimetric and off-on fluorescent reversible chemosensors for Al^{3+} based on the rhodamine fluorophore // Sensors. 2015. T. 15, N 4. C. 9097-9111.
- 93. Maity A., Sil A., Nad S., Patra S. K. A highly selective, sensitive and reusable BODIPY based 'OFF/ON'fluorescence chemosensor for the detection of Hg2+ Ions // Sensors and Actuators B: Chemical. 2018. T. 255. C. 299-308.
- 94. Amat-Guerri F., Liras M., Carrascoso M. L., Sastre R. Methacrylate-tethered Analogs of the Laser Dye PM567—Synthesis, Copolymerization with Methyl Methacrylate and Photostability of the Copolymers¶ // Photochemistry and photobiology. − 2003. − T. 77, № 6. − C. 577-584.
- 95. Karolin J., Johansson L. B.-A., Strandberg L., Ny T. Fluorescence and absorption spectroscopic properties of dipyrrometheneboron difluoride (BODIPY) derivatives in liquids, lipid membranes, and proteins // Journal of the American Chemical Society. − 1994. − T. 116, № 17. − C. 7801-7806.
- 96. Oshikawa Y., Ojida A. PET-dependent fluorescence sensing of enzyme reactions using the large and tunable p K a shift of aliphatic amines // Chemical Communications. 2013. T. 49, № 97. C. 11373-11375.
- 97. Song X., Han X., Yu F., Zhang J., Chen L., Lv C. A reversible fluorescent probe based on C [double bond, length as m-dash] N isomerization for the selective detection of formaldehyde in living cells and in vivo // Analyst. − 2018. − T. 143, № 2. − C. 429-439.
- 98. Lincoln R., Greene L. E., Bain C., Flores-Rizo J. O., Bohle D. S., Cosa G. When push comes to shove: unravelling the mechanism and scope of nonemissive meso-unsaturated BODIPY dyes // The Journal of Physical Chemistry B. -2015. -T. 119, $Noldsymbol{0}$ 13. -C. 4758-4765.

- 99. Tian M., Peng X., Feng F., Meng S., Fan J., Sun S. Fluorescent pH probes based on boron dipyrromethene dyes // Dyes and Pigments. 2009. T. 81, № 1. C. 58-62.
- 100. Dickinson B. C., Chang C. J. Chemistry and biology of reactive oxygen species in signaling or stress responses // Nature chemical biology. 2011. T. 7, № 8. C. 504.
- 101. Marschner P. Marschner, s mineral nutrition of higher plants., 3rd edn (Academic Press: London) //. 2012.
- 102. Cui L., Zhong Y., Zhu W., Xu Y., Du Q., Wang X., Qian X., Xiao Y. A new prodrug-derived ratiometric fluorescent probe for hypoxia: high selectivity of nitroreductase and imaging in tumor cell // Organic letters. − 2011. − T. 13, № 5. − C. 928-931.
- 103. Filipovic M. R., Zivanovic J., Alvarez B., Banerjee R. Chemical biology of H2S signaling through persulfidation // Chem. Rev. 2018. T. 118, № 3. C. 1253-1337.
- 104. Jiménez D., Martínez-Máñez R., Sancenón F., Ros-Lis J. V., Benito A., Soto J. A new chromochemodosimeter selective for sulfide anion // J. Am. Chem. Soc. 2003. T. 125, № 30. C. 9000-9001.
- 105. Shahrokhian S. Lead phthalocyanine as a selective carrier for preparation of a cysteine-selective electrode // Anal. Chem. 2001. T. 73, № 24. C. 5972-5978.
- 106. Refsum H., Ueland P., Nygård O., Vollset S. Homocysteine and cardiovascular disease // Annu. Rev. Med. 1998. T. 49, № 1. C. 31-62.
- 107. Seshadri S., Beiser A., Selhub J., Jacques P. F., Rosenberg I. H., D'Agostino R. B., Wilson P. W., Wolf P. A. Plasma homocysteine as a risk factor for dementia and Alzheimer's disease // N. Engl. J. Med. − 2002. − T. 346, № 7. − C. 476-483.
- 108. Armstrong J., Steinauer K., Hornung B., Irish J., Lecane P., Birrell G., Peehl D., Knox S. Role of glutathione depletion and reactive oxygen species generation in apoptotic signaling in a human B lymphoma cell line // Cell Death Differ. -2002. -T. 9, No. 3. -C. 252-263.
- 109. Tapiero H., Townsend D., Tew K. The antioxidant role of selenium and seleno-compounds // BIOMED. PHARMACOTHER. 2003. T. 57, № 3-4. C. 134-144.
- 110. Sun X., Niu G., Chan N., Shen B., Chen X. Tumor hypoxia imaging // Molecular Imaging and Biology. -2011.-T. 13, Nole 3.-C. 399-410.
- 111. Vaupel P., Schlenger K., Knoop C., Höckel M. Oxygenation of human tumors: evaluation of tissue oxygen distribution in breast cancers by computerized O2 tension measurements // Cancer research. − 1991. − T. 51, № 12. − C. 3316-3322.
- 112. Lopci E., Grassi I., Rubello D., Colletti P. M., Cambioli S., Gamboni A., Salvi F., Cicoria G., Lodi F., Dazzi C. Prognostic evaluation of disease outcome in solid tumors investigated with 64Cu-ATSM PET/CT // Clinical Nuclear Medicine. − 2016. − T. 41, № 2. − C. 87-92.

- 113. Elmes R. B. Bioreductive fluorescent imaging agents: applications to tumour hypoxia // Chemical Communications. 2016. T. 52, № 58. C. 8935-8956.
- 114. Garg K., Ghosh M., Eliash T., van Wonderen J. H., Butt J. N., Shi L., Jiang X., Zdenek F., Blumberger J., Pecht I. Direct evidence for heme-assisted solid-state electronic conduction in multi-heme c-type cytochromes // Chemical science. − 2018. − T. 9, № 37. − C. 7304-7310.
- 115. He L., Dong B., Liu Y., Lin W. Fluorescent chemosensors manipulated by dual/triple interplaying sensing mechanisms // Chemical Society Reviews. 2016. T. 45, № 23. C. 6449-6461.
- 116. Yin C. X., Xiong K. M., Huo F. J., Salamanca J. C., Strongin R. M. Fluorescent probes with multiple binding sites for the discrimination of Cys, Hcy, and GSH // Angewandte Chemie International Edition. 2017. T. 56, № 43. C. 13188-13198.
- 117. Zhang C., Wei L., Wei C., Zhang J., Wang R., Xi Z., Yi L. A FRET–ICT dual-quenching fluorescent probe with large off–on response for H₂S: synthesis, spectra and bioimaging // Chemical Communications. 2015. T. 51, № 35. C. 7505-7508.
- 118. Wei C., Wang R., Zhang C., Xu G., Li Y., Zhang Q. Z., Li L. Y., Yi L., Xi Z. Dual-Reactable Fluorescent Probes for Highly Selective and Sensitive Detection of Biological H₂S // Chemistry–An Asian Journal. − 2016. − T. 11, № 9. − C. 1376-1381.
- 119. Yi L., Xi Z. Thiolysis of NBD-based dyes for colorimetric and fluorescence detection of H_2S and biothiols: design and biological applications // Organic & Biomolecular Chemistry. -2017. -T. 15, N_2 18. -C. 3828-3839.
- 120. Liu Z.-R., Tang Y., Xu A., Lin W. A new fluorescent probe with a large turn-on signal for imaging nitroreductase in tumor cells and tissues by two-photon microscopy // Biosensors and Bioelectronics. 2017. T. 89. C. 853-858.
- 121. Cai Q., Yu T., Zhu W., Xu Y., Qian X. A turn-on fluorescent probe for tumor hypoxia imaging in living cells // Chemical Communications. 2015. T. 51, № 79. C. 14739-14741.
- 122. Roldán M. D., Pérez-Reinado E., Castillo F., Moreno-Vivián C. Reduction of polynitroaromatic compounds: the bacterial nitroreductases // FEMS microbiology reviews. − 2008. − T. 32, № 3. − C. 474-500.
- 123. Guo T., Cui L., Shen J., Zhu W., Xu Y., Qian X. A highly sensitive long-wavelength fluorescence probe for nitroreductase and hypoxia: selective detection and quantification // Chemical communications. − 2013. − T. 49, № 92. − C. 10820-10822.
- 124. Li Z., He X., Wang Z., Yang R., Shi W., Ma H. In vivo imaging and detection of nitroreductase in zebrafish by a new near-infrared fluorescence off—on probe // Biosensors and Bioelectronics. 2015. T. 63. C. 112-116.

- 125. Qin W., Xu C., Zhao Y., Yu C., Shen S., Li L., Huang W. Recent progress in small molecule fluorescent probes for nitroreductase // Chinese Chemical Letters. 2018. T. 29, № 10. C. 1451-1455.
- 126. Xu J., Sun S., Li Q., Yue Y., Li Y., Shao S. A rapid response "Turn-On" fluorescent probe for nitroreductase detection and its application in hypoxic tumor cell imaging // Analyst. 2015. T. 140, № 2. C. 574-581.
- 127. Gawande M. B., Goswami A., Asefa T., Guo H., Biradar A. V., Peng D.-L., Zboril R., Varma R. S. Core—shell nanoparticles: synthesis and applications in catalysis and electrocatalysis // Chemical Society Reviews. − 2015. − T. 44, № 21. − C. 7540-7590.
- 128. Fan Y., Lu M., Yu X.-a., He M., Zhang Y., Ma X.-N., Kou J., Yu B.-Y., Tian J. Targeted myocardial hypoxia imaging using a nitroreductase-activatable near-infrared fluorescent nanoprobe // Analytical chemistry. − 2019. − T. 91, № 10. − C. 6585-6592.
- 129. Kim T.-I., Kim H., Choi Y., Kim Y. meso-ester BODIPYs for the imaging of hypoxia in tumor cells // Sensors and Actuators B: Chemical. 2017. T. 249. C. 229-234.
- 130. Gao J., Yin X., Li M., Chen J.-A., Tan J., Zhao Z., Gu X. Rational Design of Fluorescent Probes for Targeted in vivo Nitroreductase Visualization // Organic & Biomolecular Chemistry. 2020.
- 131. Bartelmess J., Weare W. W. Preparation and characterization of multi-cationic BODIPYs and their synthetically versatile precursors // Dyes and Pigments. -2013. -T. 97, № 1. -C. 1-8.
- 132. Tang Y., Lee D., Wang J., Li G., Yu J., Lin W., Yoon J. Development of fluorescent probes based on protection–deprotection of the key functional groups for biological imaging // Chemical Society Reviews. − 2015. − T. 44, № 15. − C. 5003-5015.
- 133. Wu X., Shi W., Li X., Ma H. Recognition moieties of small molecular fluorescent probes for bioimaging of enzymes // Accounts of chemical research. − 2019. − T. 52, № 7. − C. 1892-1904.
- 134. Wagner R. W., Lindsey J. S. Boron-dipyrromethene dyes for incorporation in synthetic multipigment light-harvesting arrays // Pure and applied chemistry. -1996. T. 68, № 7. C. 1373-1380.
- 135. Maeda H., Yamamoto K., Kohno I., Hafsi L., Itoh N., Nakagawa S., Kanagawa N., Suzuki K., Uno T. Design of a practical fluorescent probe for superoxide based on protection—deprotection chemistry of fluoresceins with benzenesulfonyl protecting groups // Chemistry—A European Journal. 2007. T. 13, № 7. C. 1946-1954.
- 136. Guan Z., Chai X., Yu S., Hu H., Jiang Y., Meng Q., Wu Q. Synthesis, molecular docking, and biological evaluation of novel triazole derivatives as antifungal agents // Chemical biology & drug design. -2010. T. 76, No 6. C. 496-504.
- 137. Fan K. W., Peterson M. B., Ellersdorfer P., Granville A. M. Expanding the aqueous-based redox-facilitated self-polymerization chemistry of catecholamines to 5, 6-dihydroxy-1 H-benzimidazole and its 2-substituted derivatives // RSC advances. − 2016. − T. 6, № 30. − C. 25203-25214.

- 138. Hayyan M., Hashim M. A., AlNashef I. M. Superoxide ion: generation and chemical implications // Chemical reviews. 2016. T. 116, № 5. C. 3029-3085.
- 139. Hu J. J., Wong N.-K., Ye S., Chen X., Lu M.-Y., Zhao A. Q., Guo Y., Ma A. C.-H., Leung A. Y.-H., Shen J. Fluorescent probe HKSOX-1 for imaging and detection of endogenous superoxide in live cells and in vivo // Journal of the American Chemical Society. − 2015. − T. 137, № 21. − C. 6837-6843.
- 140. Hu J. J., Wong N.-K., Lu M.-Y., Chen X., Ye S., Zhao A. Q., Gao P., Kao R. Y.-T., Shen J., Yang D. HKOCl-3: a fluorescent hypochlorous acid probe for live-cell and in vivo imaging and quantitative application in flow cytometry and a 96-well microplate assay // Chemical science. -2016. -T. 7, N₂ 3. -C. 2094-2099.
- 141. Chen Y., Yang C., Yu Z., Chen B., Han Y. A highly sensitive hemicyanine-based fluorescent chemodosimeter for mercury ions in aqueous solution and living cells // RSC Advances. 2015. T. 5, № 100. C. 82531-82534.
- 142. Chen L., Xu H. H., Yin B. L., Xiao C., Hu T. S., Wu Y. L. Synthesis and biological activity of tonghaosu analogs containing phenoxy-phenyl moiety // Chinese Journal of Chemistry. − 2004. − T. 22, № 9. − C. 984-989.
- 143. Zeng L., Miller E. W., Pralle A., Isacoff E. Y., Chang C. J. A selective turn-on fluorescent sensor for imaging copper in living cells // Journal of the American Chemical Society. -2006. T. 128, No. 1. C. 10-11.
- 144. Tanaka M., Nakamura M., Ikeda T., Ikeda K., Ando H., Shibutani Y., Yajima S., Kimura K. Synthesis and metal-ion binding properties of monoazathiacrown ethers // The Journal of organic chemistry. − 2001. − T. 66, № 21. − C. 7008-7012.
- 145. Deng H., Jung J.-K., Liu T., Kuntz K. W., Snapper M. L., Hoveyda A. H. Total synthesis of anti-HIV agent chloropeptin I // Journal of the American Chemical Society. 2003. T. 125, № 30. C. 9032-9034.
- 146. Xiao H., Wu C., Li P., Tang B. Simultaneous fluorescence visualization of endoplasmic reticulum superoxide anion and polarity in myocardial cells and tissue // Analytical chemistry. -2018. T.90, No. 10. C.6081-6088.
- 147. Peng H., Chen W., Cheng Y., Hakuna L., Strongin R., Wang B. Thiol reactive probes and chemosensors // Sensors. 2012. T. 12, № 11. C. 15907-15946.
- 148. Principles of fluorescence spectroscopy. / Lakowicz J. R.: Springer science & business media, 2013.
- 149. Zhu D., Xue L., Li G., Che Y., Jiang H. A turn-on fluorescent probe for detection of hydrogen sulfide in aqueous solution and living cells // Organic Chemistry Frontiers. 2014. T. 1, № 5. C. 501-505.

- 150. Lin S.-W., Sun Q., Ge Z.-M., Wang X., Ye J., Li R.-T. Synthesis and structure—analgesic activity relationships of a novel series of monospirocyclopiperazinium salts (MSPZ) // Bioorganic & medicinal chemistry letters. − 2011. − T. 21, № 3. − C. 940-943.
- 151. Saha S. K., Ghosh K. R., Hao W., Wang Z. Y., Ma J., Chiniforooshan Y., Bock W. J. Highly sensitive and selective fluorescence turn-on detection of lead ion in water using fluorene-based compound and polymer // Journal of Materials Chemistry A. − 2014. − T. 2, № 14. − C. 5024-5033.
- 152. Wu C.-S., Lin Y.-J., Chen Y. A fluorene-based material containing triple azacrown ether groups: synthesis, characterization and application in chemosensors and electroluminescent devices // Organic & Biomolecular Chemistry. − 2014. − T. 12, № 9. − C. 1419-1429.
- 153. Gabe Y., Urano Y., Kikuchi K., Kojima H., Nagano T. Highly sensitive fluorescence probes for nitric oxide based on boron dipyrromethene chromophore rational design of potentially useful bioimaging fluorescence probe // Journal of the American Chemical Society. − 2004. − T. 126, № 10. − C. 3357-3367.
- 154. Yin J., Hu Y., Yoon J. Fluorescent probes and bioimaging: alkali metals, alkaline earth metals and pH // Chemical Society Reviews. 2015. T. 44, № 14. C. 4619-4644.
- 155. Maruyama T., Fujie Y., Oya N., Hosaka E., Kanazawa A., Tanaka D., Hattori Y., Motoyoshiya J. Control of peroxyoxalate chemiluminescence by nitrogen-containing ligand quenching: turning off and on by ligand–metal ion host–guest interactions // Tetrahedron. − 2011. − T. 67, № 36. − C. 6927-6933.
- 156. Maeda H., Furuyoshi S., Nakatsuji Y., Okahara M. Synthesis of monoaza crown ethers from N, N-di [oligo (oxyalkylene)] amines and oligoethylene glycol di (p-toluenesulfonates) or corresponding dichlorides // Bulletin of the Chemical Society of Japan. − 1983. − T. 56, № 1. − C. 212-218.
- 157. Collins C. G., Baumes J. M., Smith B. D. Thermally-activated chemiluminescent squaraine rotaxane endoperoxide with green emission // Chemical Communications. − 2011. − T. 47, № 45. − C. 12352-12354.
- 158. Zhang Y., Yan Y., Chen S., Gao Z., Xu H. 'Naked-eye'quinoline-based 'reactive'sensor for recognition of Hg2+ ion in aqueous solution // Bioorganic & Medicinal Chemistry Letters. 2014. T. 24, № 23. C. 5373-5376.
- 159. Cronin T. H., Hess H.-J. Some new 3-amino-2H-1, 2, 4-benzothiadiazine 1, 1-dioxides // Journal of medicinal chemistry. − 1968. − T. 11, № 1. − C. 136-138.
- 160. Dumas-Verdes C., Miomandre F., Lépicier E., Galangau O., Vu T. T., Clavier G., Méallet-Renault R., Audebert P. BODIPY-Tetrazine Multichromophoric Derivatives // European Journal of Organic Chemistry. 2010. T. 2010, № 13. C. 2525-2535.
- 161. Schmidt M., Ungvári J., Glöde J., Dobner B., Langner A. New 1, 3-dioxolane and 1, 3-dioxane derivatives as effective modulators to overcome multidrug resistance // Bioorganic & medicinal chemistry. − 2007. − T. 15, № 6. − C. 2283-2297.

- 162. Lu X., Yi J., Zhang Z. Q., Dai J. J., Liu J. H., Xiao B., Fu Y., Liu L. Expedient Synthesis of Chiral α-Amino Acids through Nickel-Catalyzed Reductive Cross-Coupling // Chemistry–A European Journal. 2014. T. 20, № 47. C. 15339-15343.
- 163. Zhang T., She G., Qi X., Mu L. A BODIPY-based sensor for Hg2+ in living cells // Tetrahedron. 2013. T. 69, № 34. C. 7102-7106.
- 164. Li G. Y., Zheng G., Noonan A. F. Highly Active, Air-Stable Versatile Palladium Catalysts for the C− C, C− N, and C− S Bond Formations via Cross-Coupling Reactions of Aryl Chlorides // The Journal of Organic Chemistry. 2001. T. 66, № 25. C. 8677-8681.
- 165. Fokin A., Kolomiets A., Rudnitskaya L., Shevchenko V. Reaction for nucleophilic opening of thiirane ring by thiols // Bulletin of the Academy of Sciences of the USSR, Division of chemical science. − 1975. − T. 24, № 3. − C. 582-584.

ПРИЛОЖЕНИЕ

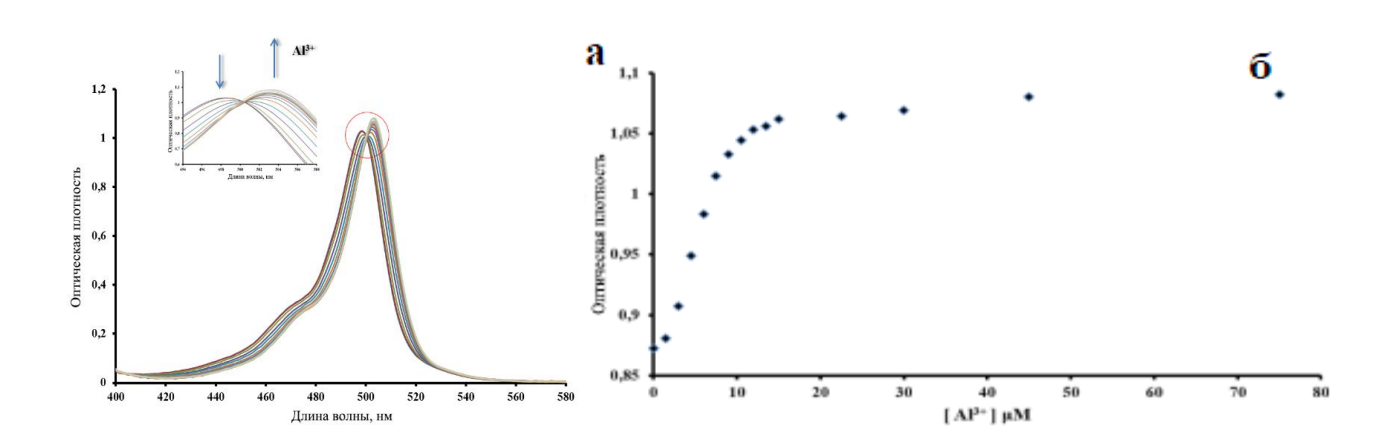


Рисунок S1. (а) Спектры поглощения раствора **S1** (15 μ M) в MeCN с различной концентрацией Al^{3+} . (б) Оптическая плотность раствора **S1** при 504 нм в зависимости от концентрации Al^{3+} .

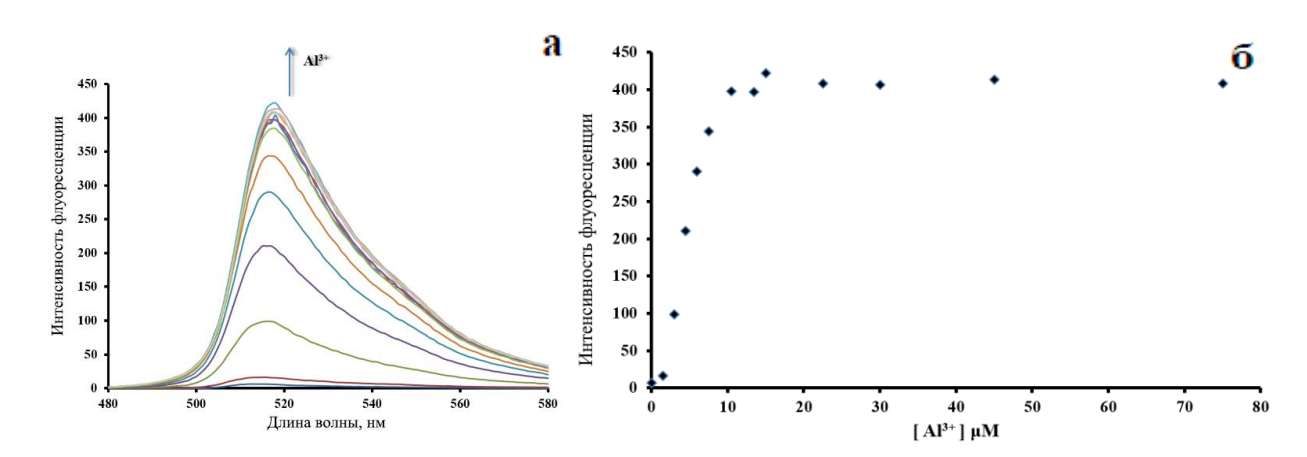


Рисунок S2. (а) Спектры флуоресценции раствора **S1** (15 μ M) в MeCN с различными концентрациями Al^{3+} ($\lambda_{ex}=490$ нм). (б) Максимальная интенсивность флуоресценции раствора **S1** в зависимости от концентрации Al^{3+} .

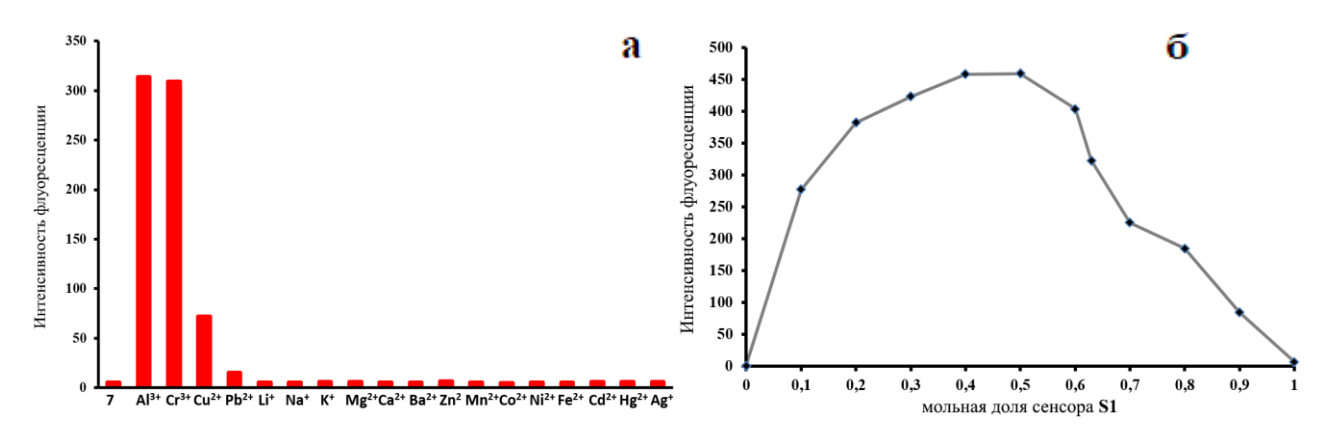


Рисунок S3. а) Флуоресцентный отклик раствора **S1** (15 μ M) при добавлении катионов различных металлов (15 μ M) в MeCN, λ_{ex} =490 нм. б) Зависимость флуоресценции от мольной доли **S1** при суммарной концентрации сенсора и Al³⁺ равной 1×10⁻⁵ M.

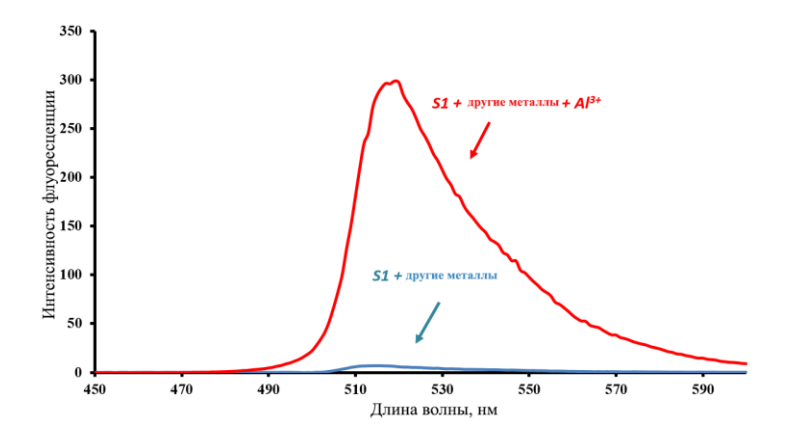


Рисунок S4. Флуоресцентный отклик только **S1** (15 μ M), **S1** (15 μ M) при одновременном добавлении 150 μ M Li⁺, Na⁺, K⁺, Mg⁺, Ca²⁺, Бa²⁺, Zn²⁺, Cd²⁺, Hg²⁺, Fe²⁺, Co²⁺, Ni²⁺, Ag⁺, Pб²⁺ и Mn²⁺ и **S1** (15 μ M) в присутствии 15 μ M Al³⁺ и смеси других металлов. (λ_{ex} =490 нм).

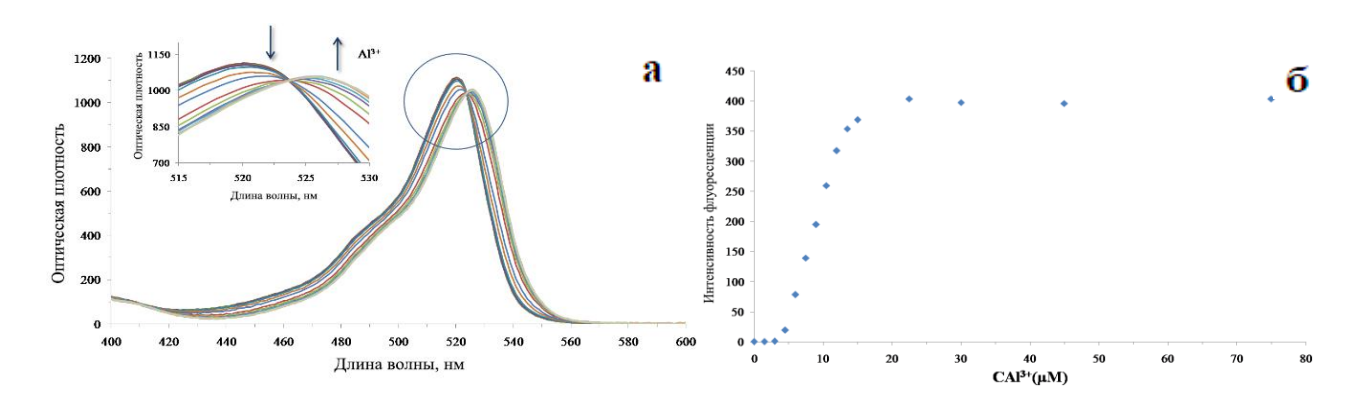


Рисунок S5. (а) Спектры поглощения раствора **S3** (15 μ M) в MeCN с различной концентрацией Al^{3+} . (б) Оптическая плотность раствора **S3** при 527 нм в зависимости от концентрации Al^{3+} .

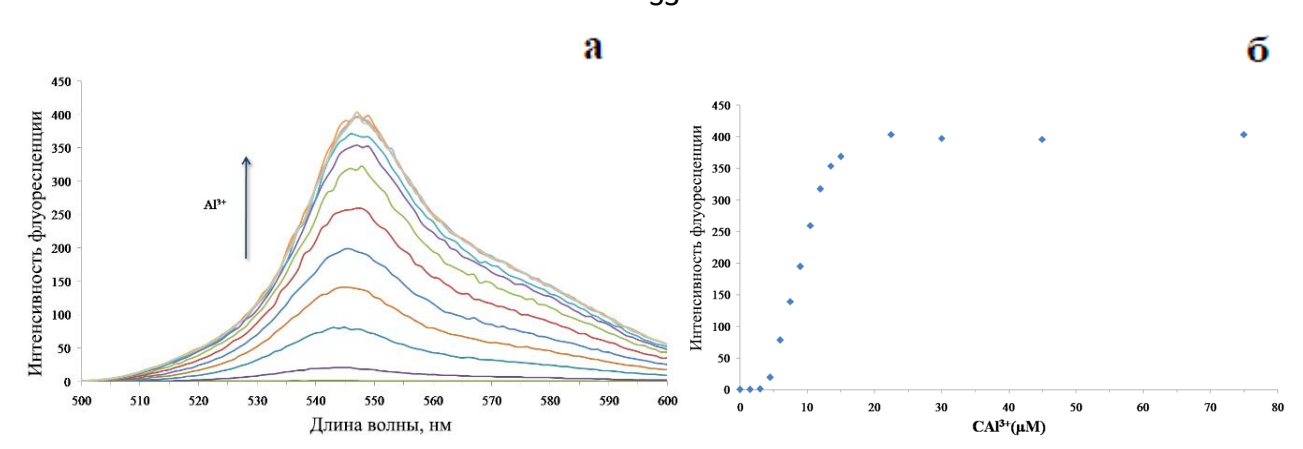


Рисунок S. (а) Спектры флуоресценции раствора **S3** (15 μ M) в MeCN с различными концентрациями Al^{3+} ($\lambda_{ex} = 504$ нм). (б) Максимальная интенсивность флуоресценции раствора **S3** в зависимости от концентрации Al^{3+} .

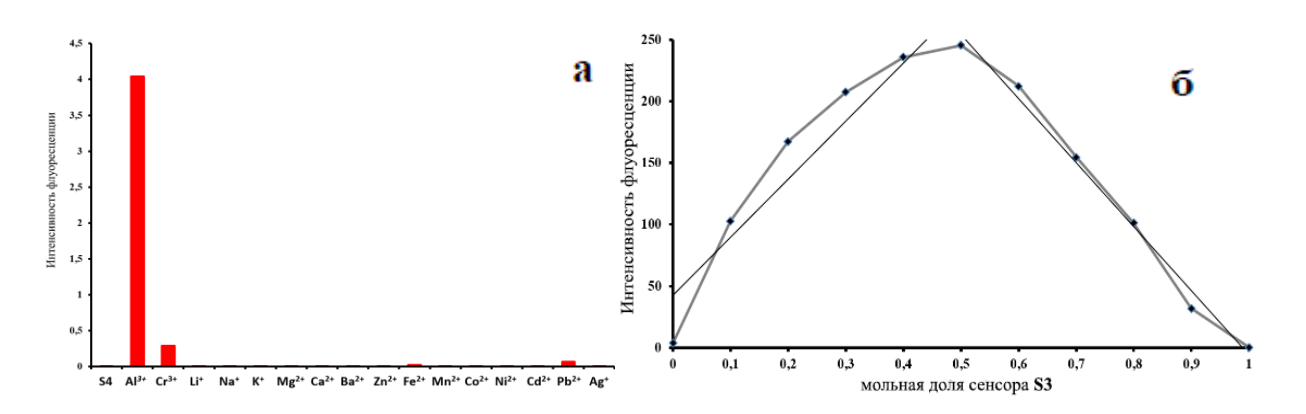


Рисунок S7. а) Флуоресцентный отклик раствора **S3** (15 μ M) при добавлении катионов различных металлов (15 μ M) в MeCN, λ_{ex} =504 нм. б) Зависимость флуоресценции от мольной доли **S3** при суммарной концентрации сенсора и A1³⁺ равной 1×10⁻⁵ M.

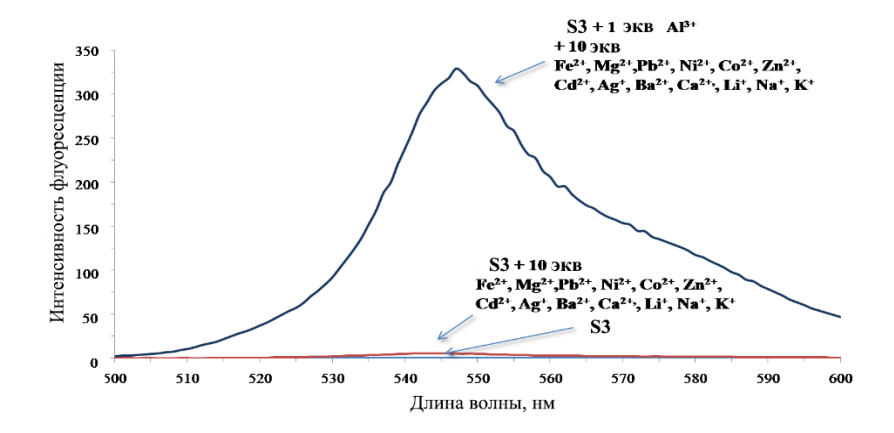


Рисунок S8. Флуоресцентный отклик только **S3** (15 μ M), **S3** (15 μ M) при одновременном добавлении 150 μ M Li⁺, Na⁺, K⁺, Mg⁺, Ca²⁺, Бa²⁺, Zn²⁺, Cd²⁺, Hg²⁺, Fe²⁺, Co²⁺, Ni²⁺, Ag⁺, Pб²⁺ и Mn²⁺ и **S3** (15 μ M) в присутствии 15 μ M Al³⁺ и смеси других металлов. (λ ex=504 нм).

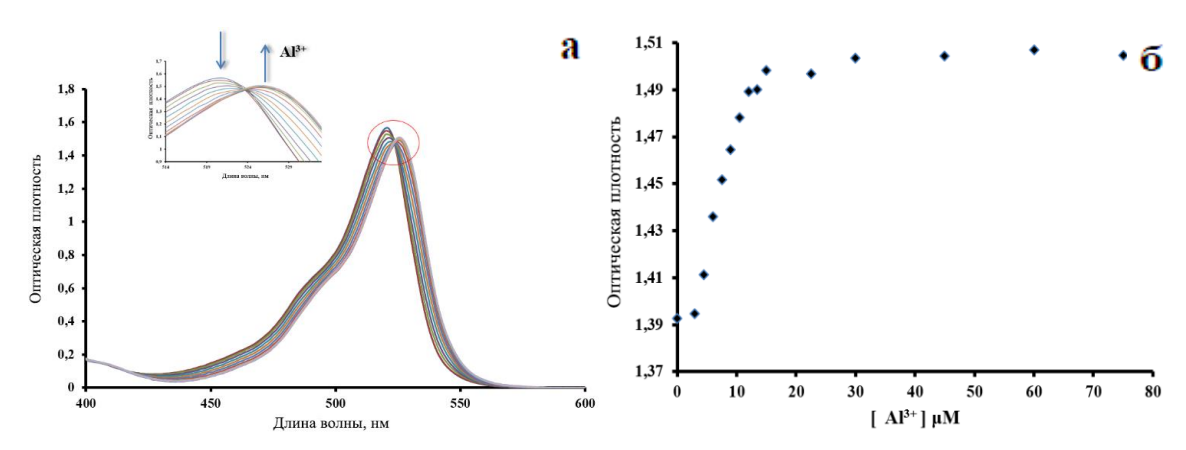


Рисунок S9. (а) Спектры поглощения раствора **S5** (15 μ M) в MeCN с различной концентрацией Al^{3+} . (б) Оптическая плотность раствора **S5** при 527 нм в зависимости от концентрации Al^{3+} .

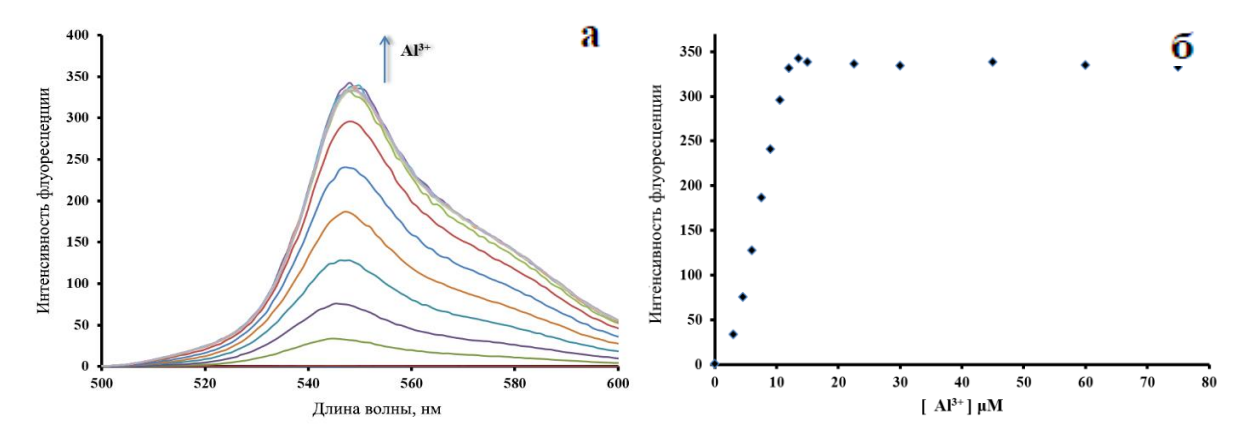


Рисунок S10. (а) Спектры флуоресценции раствора **S5** (15 μ M) в MeCN с различными концентрациями Al^{3+} ($\lambda_{ex} = 510$ нм). (б) Максимальная интенсивность флуоресценции раствора **S5** в зависимости от концентрации Al^{3+} .

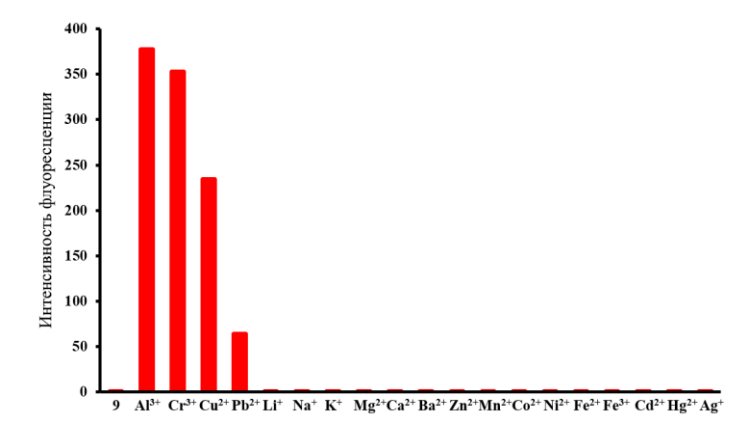


Рисунок S11 а) Флуоресцентный отклик раствора **S5** (15 μ M) при добавлении катионов различных металлов (15 μ M) в MeCN, λ_{ex} =510 нм.

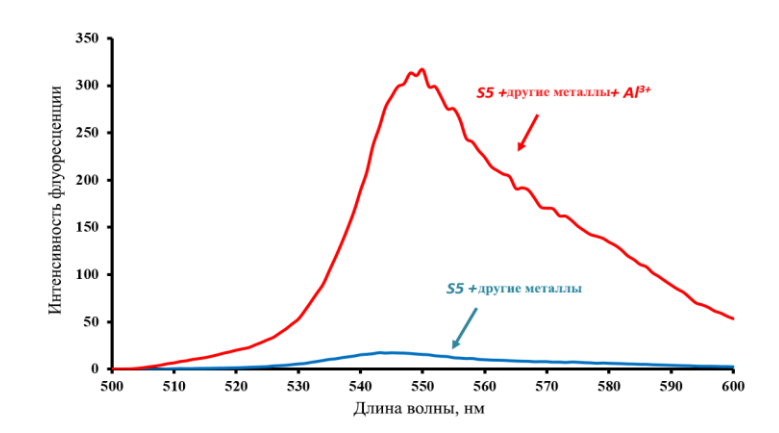


Рисунок S12. Флуоресцентный отклик только **S5** (15 μ M), **S5** (15 μ M) при одновременном добавлении 150 μ M Li⁺, Na⁺, K⁺, Mg⁺, Ca²⁺, Бa²⁺, Zn²⁺, Cd²⁺, Hg²⁺, Fe²⁺, Co²⁺, Ni²⁺, Ag⁺ μ Mn²⁺ μ Ag⁺ μ S5 (15 μ M) в присутствии 15 μ M Al³⁺ μ смеси других металлов. (λ _{ex}=510 μ M)

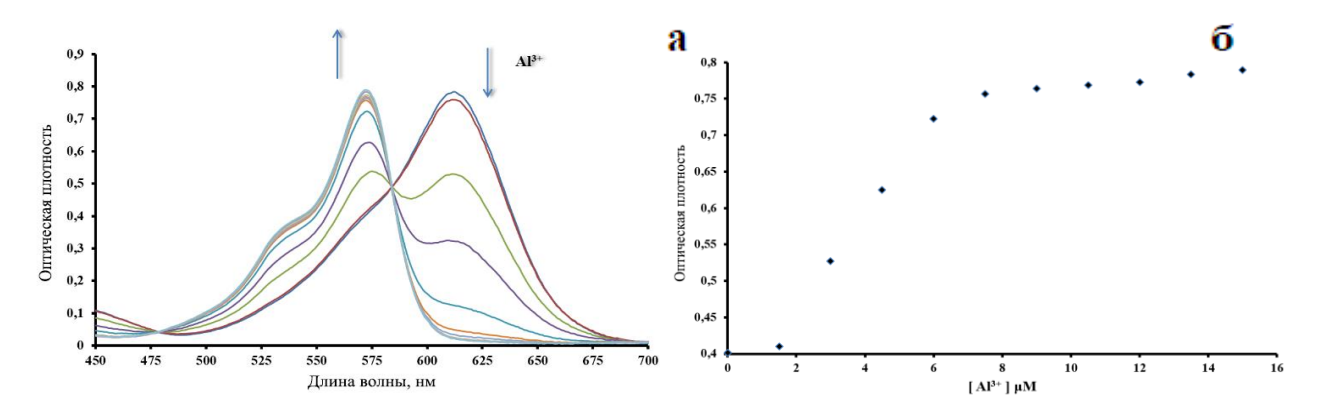


Рисунок S13. (а) Спектры поглощения раствора **S6** (15 μ M) в MeCN с различной концентрацией Al^{3+} . (б) Оптическая плотность раствора **S6** при 572 нм в зависимости от концентрации Al^{3+} .

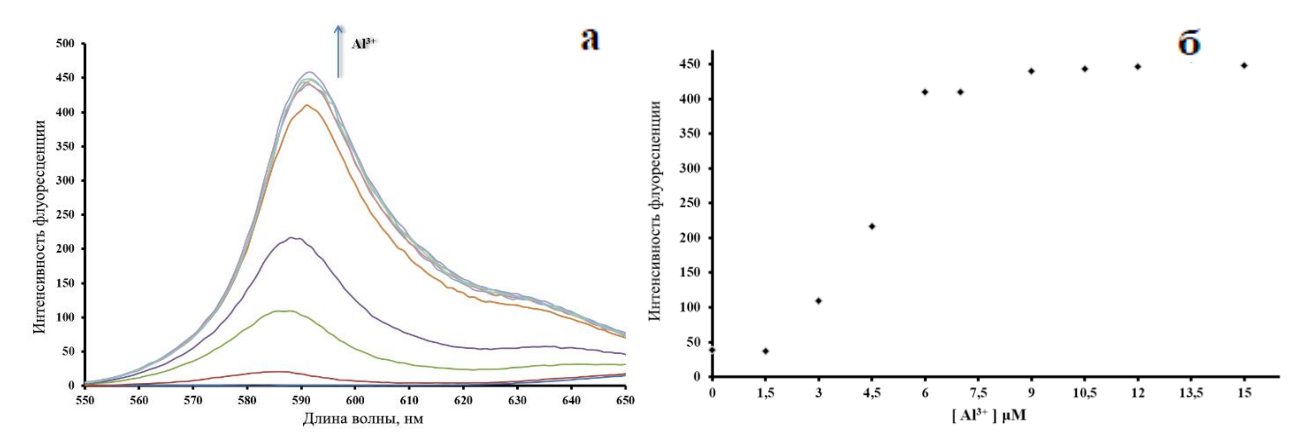


Рисунок S14. (а) Спектры флуоресценции раствора **S6** (15 μ M) в MeCN с различными концентрациями Al^{3+} ($\lambda_{ex} = 560$ нм). (б) Максимальная интенсивность флуоресценции раствора **S6** в зависимости от концентрации Al^{3+} .

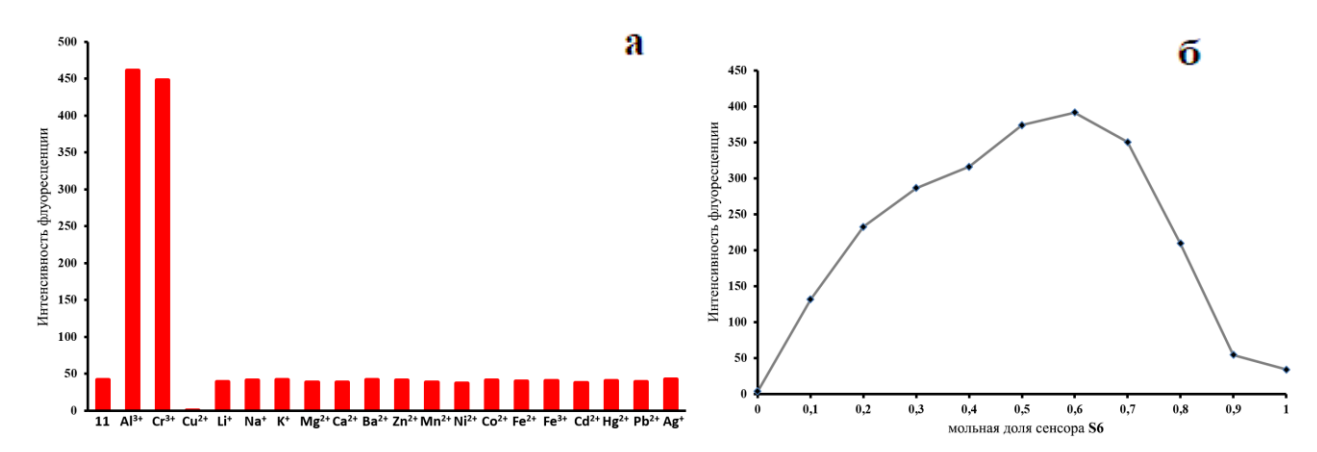


Рисунок S15. а) Флуоресцентный отклик раствора **S6** (15 μ M) при добавлении катионов различных металлов (15 μ M) в MeCN, λ_{ex} =560 нм. б) Зависимость флуоресценции от мольной доли **S6** при суммарной концентрации сенсора и A1³⁺ равной 1×10⁻⁵ M

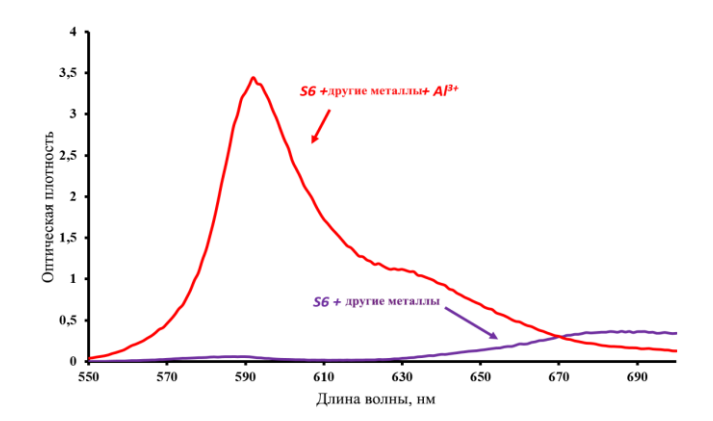


Рисунок S16. Флуоресцентный отклик только **S6** (15 μ M), **S6** (15 μ M) при одновременном добавлении 150 μ M Li⁺, Na⁺, K⁺, Mg²⁺, Ca²⁺, Бa²⁺, Zn²⁺, Mn²⁺, Ni²⁺, Co²⁺, Cu²⁺, Fe²⁺, Fe³⁺, Cd²⁺, Hg²⁺, Pб²⁺и Ag⁺ и **S6** (15 μ M) в присутствии 15 μ M Al³⁺ и смеси других металлов. (λ _{ex}=560 нм).

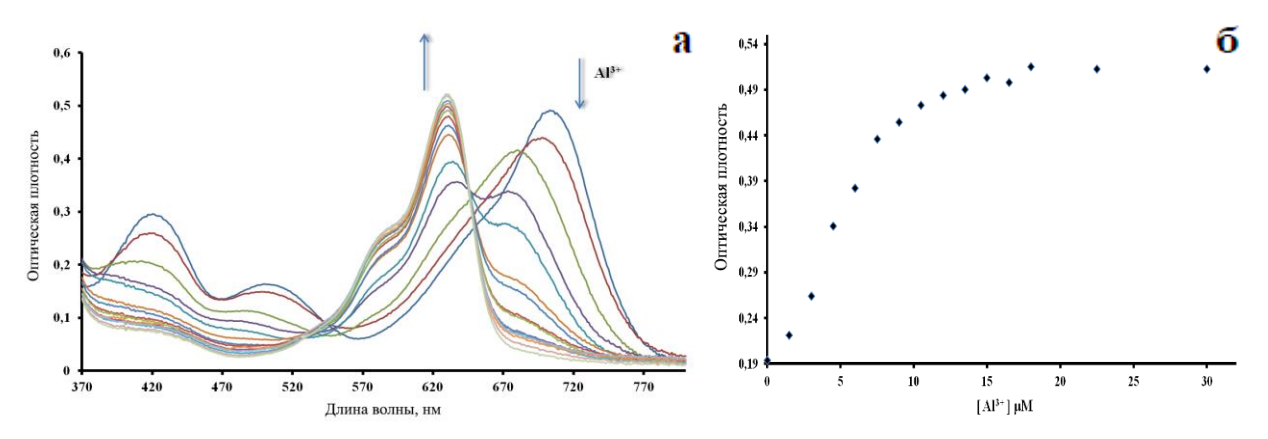


Рисунок S17. (а) Спектры поглощения раствора **S7** (15 μ M) в MeCN с различной концентрацией Al^{3+} . (б) Оптическая плотность раствора **S7** при 628 нм в зависимости от концентрации Al^{3+} .

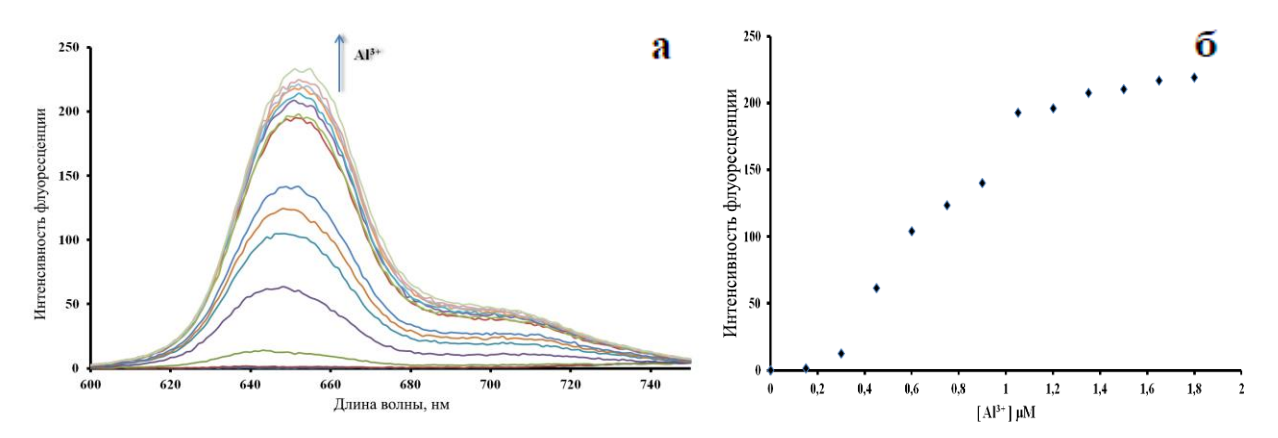


Рисунок S18. (а) Спектры флуоресценции раствора **S7** (15 μ M) в MeCN с различными концентрациями Al^{3+} ($\lambda_{ex} = 640$ нм). (б) Максимальная интенсивность флуоресценции раствора **S7** в зависимости от концентрации Al^{3+} .

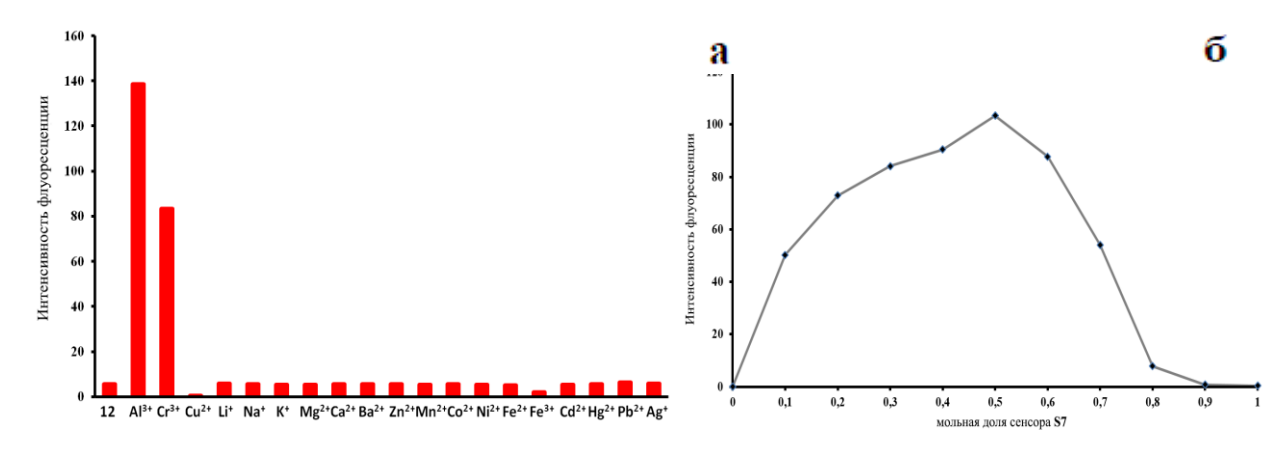


Рисунок S19. а) Флуоресцентный отклик раствора **S7** (15 μ M) при добавлении катионов различных металлов (15 μ M) в MeCN, λ_{ex} =640 нм. б) Зависимость флуоресценции от мольной доли **S7** при суммарной концентрации сенсора и $A1^{3+}$ равной 1×10^{-5} M.

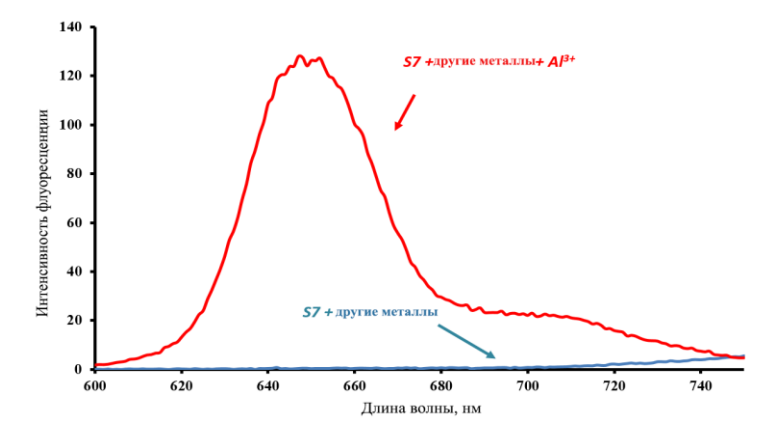


Рисунок S19. Флуоресцентный отклик только **S7** (15 μ M), **S7** (15 μ M) при одновременном добавлении 150 μ M Li⁺, Na⁺, K⁺, Mg⁺, Ca²⁺, Бa²⁺, Zn²⁺, Cd²⁺, Hg²⁺, Fe²⁺, Co²⁺, Ni²⁺, Ag⁺, Pб²⁺ и Mn²⁺ и **S7** (15 μ M) в присутствии 15 μ M Al³⁺ и смеси других металлов. (λ _{ex}=640 μ M).

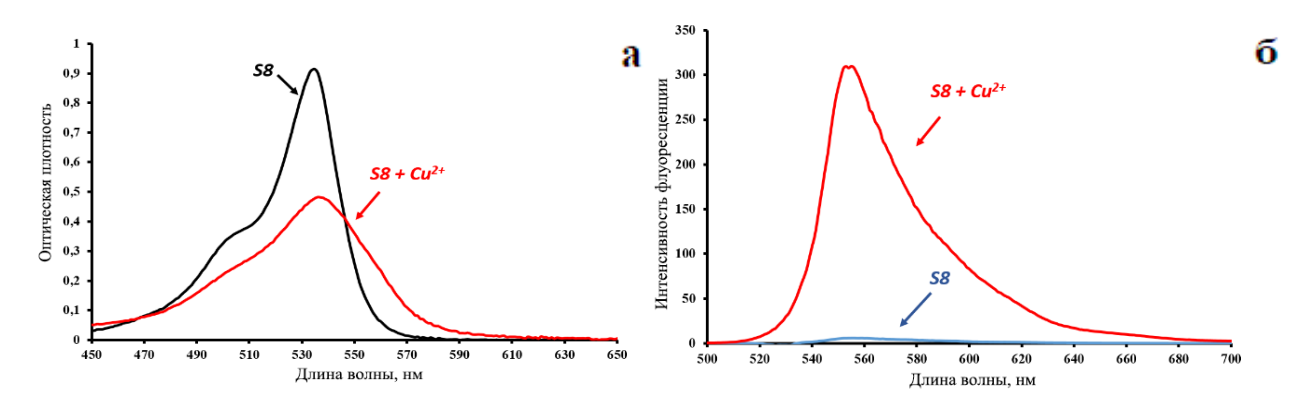


Рисунок S20. (а) УФ-спектр поглощения сенсора **S8** (15 μ M) в MeCN в отсутствии и в присутствии Cu^{2+} (1 экв.) (б) Спектр флуоресценции сенсора **S8** (15 μ M) в MeCN в отсутствии и в присутствии Cu^{2+} (1 экв.). Длинна волны возбуждения была 515 нм.

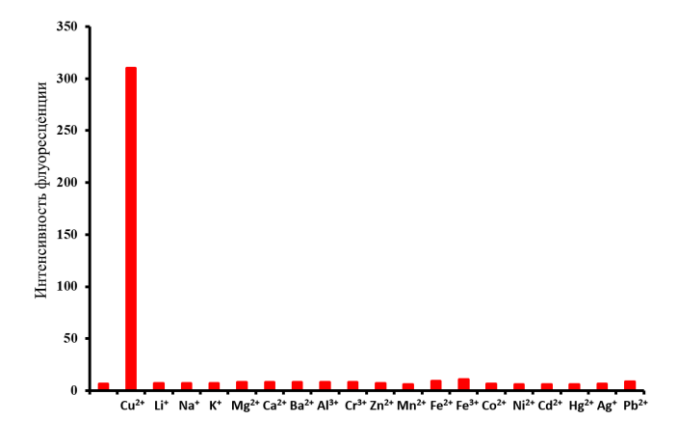


Рисунок S21. Флуоресцентный отклик раствора **S8** (15 μ M) при добавлении катионов различных металлов (15 μ M) в MeCN, λ_{ex} =515 нм.

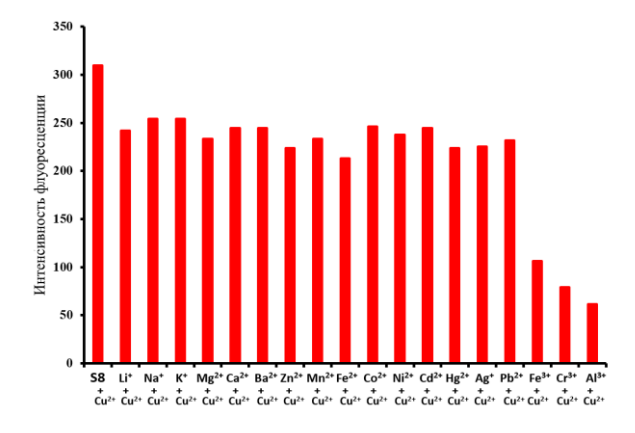


Рисунок S22. Интенсивность флуоресценции ($\lambda_{ex} = 515$ нм) **S8** (15 μ M) в MeCN в присутствии Cu^{2+} (1 экв.) и конкурирующих ионов (10 экв.).

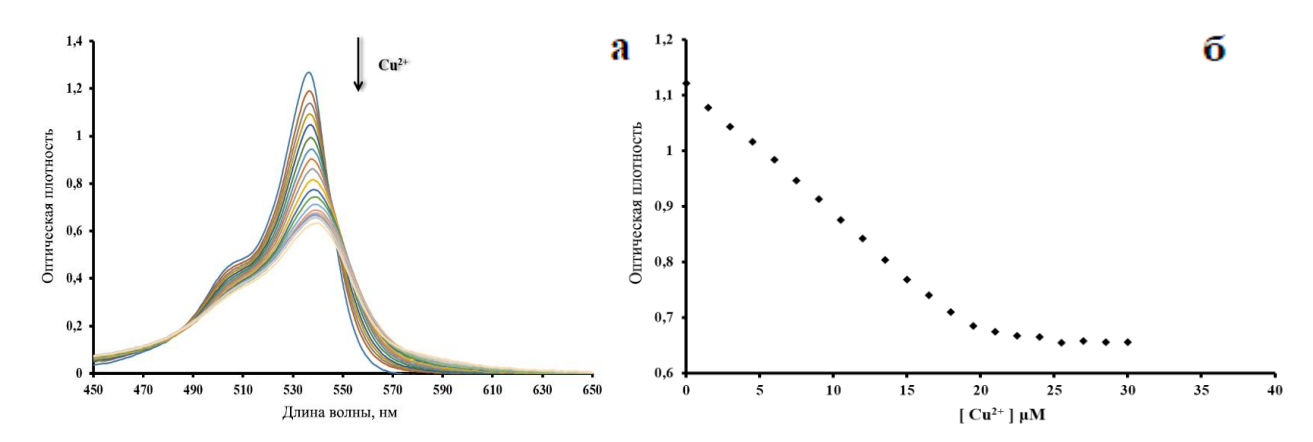


Рисунок S23. (а) Спектры поглощения раствора **S9** (15 μ M) в MeCN с различной концентрацией Cu^{2+} . (б) Оптическая плотность раствора **S9** при 541 нм в зависимости от концентрации Cu^{2+} .

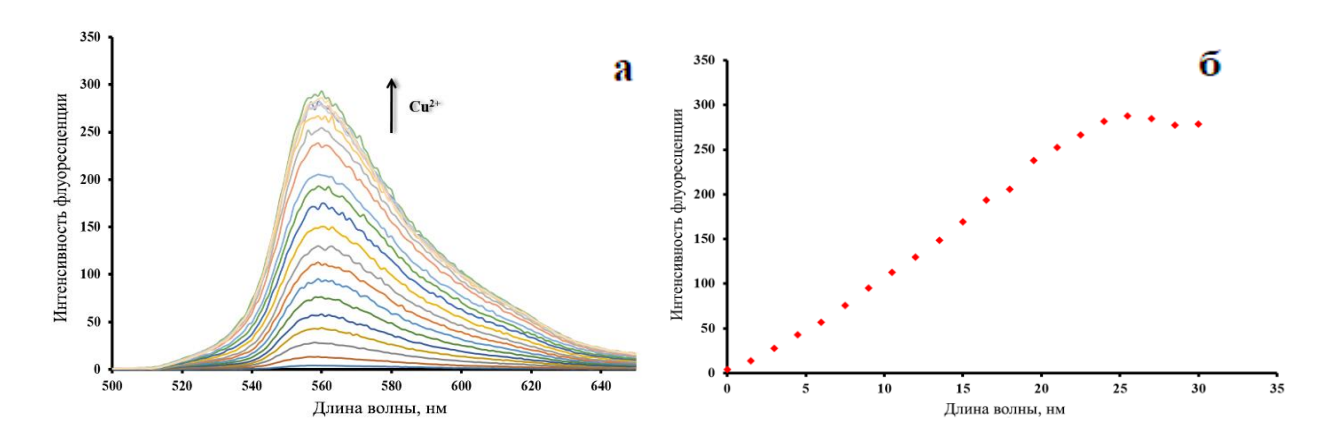


Рисунок S24. (а) Спектры флуоресценции раствора **S9** (15 μ M) в MeCN с различными концентрациями Al^{3+} ($\lambda_{ex} = 515$ нм). (б) Максимальная интенсивность флуоресценции раствора **S9** в зависимости от концентрации Cu^{2+} .

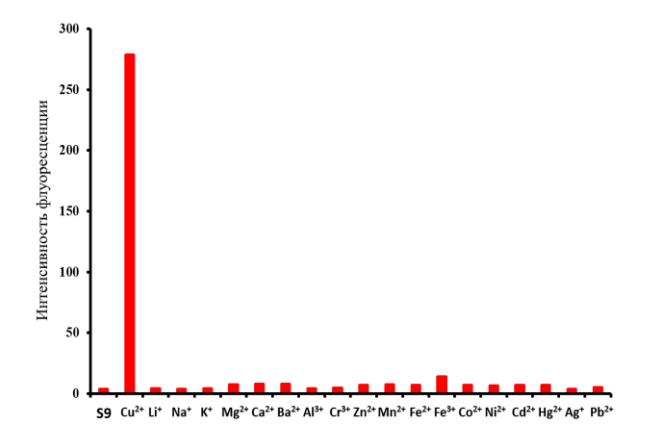


Рисунок S25. Флуоресцентный отклик раствора **S9** (15 μ M) при добавлении катионов различных металлов (15 μ M) в MeCN, λ_{ex} =515 нм.

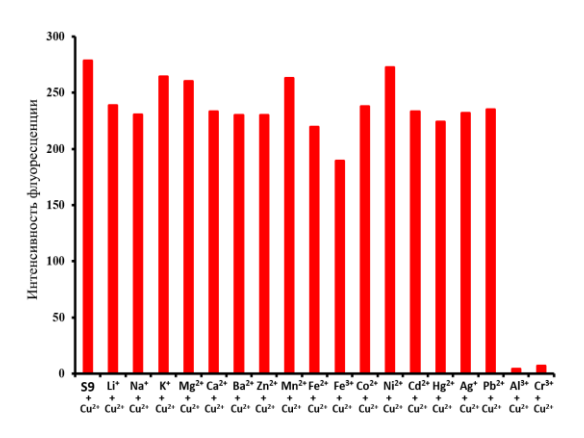


Рисунок S26. Интенсивность флуоресценции ($\lambda_{ex} = 515\,$ нм) **S9** (15 μ M) в MeCN в присутствии Cu^{2+} (2 экв.) и конкурирующих ионов (10 экв.) .

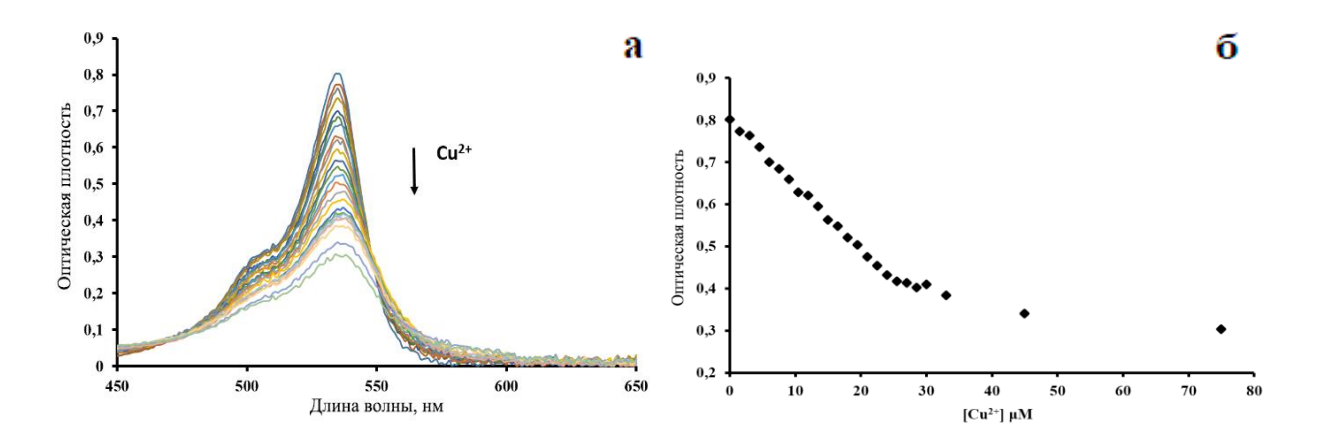


Рисунок S27. (а) Спектры поглощения раствора **S10** (15 μ M) в MeCN с различной концентрацией Cu^{2+} . (б) Оптическая плотность раствора **S10** при 539 нм в зависимости от концентрации Cu^{2+} .

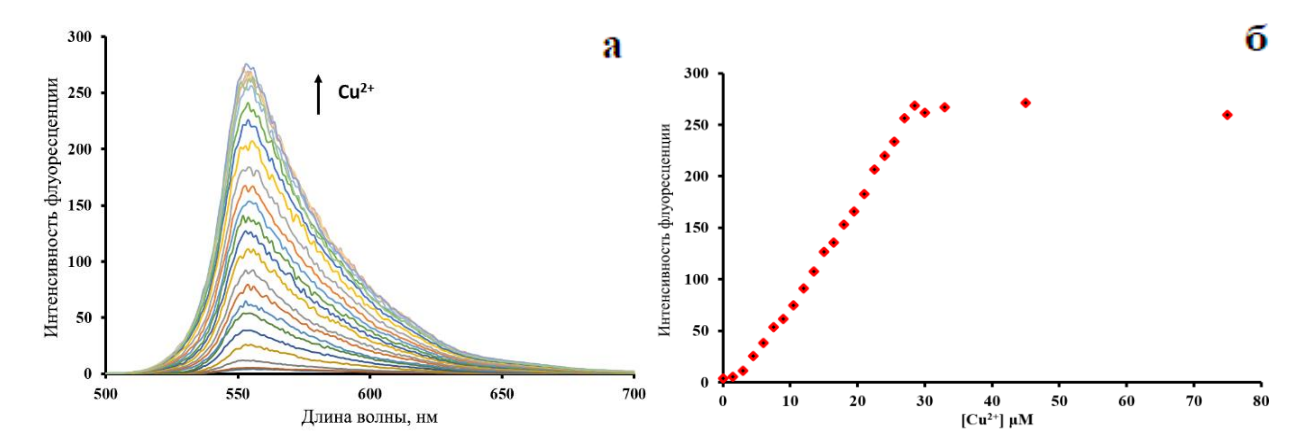


Рисунок S28. (а) Спектры флуоресценции раствора **S10** (15 μ M) в MeCN с различными концентрациями Al^{3+} ($\lambda_{ex} = 515$ нм). (б) Максимальная интенсивность флуоресценции раствора **S10** в зависимости от концентрации Cu^{2+} .

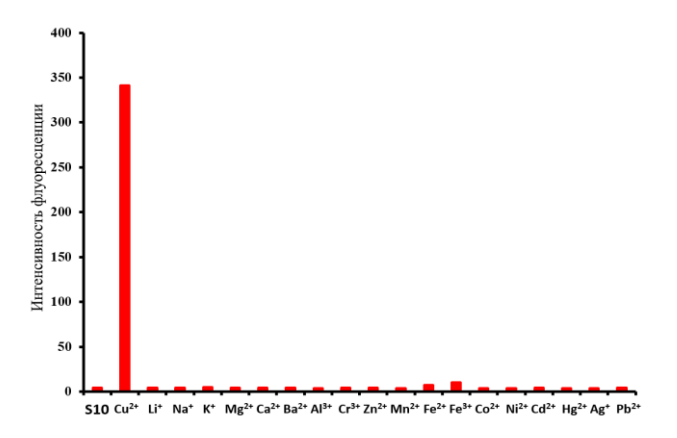


Рисунок S29. Флуоресцентный отклик раствора **S10** (15 μ M) при добавлении катионов различных металлов (15 μ M) в MeCN, λ_{ex} =515 нм.

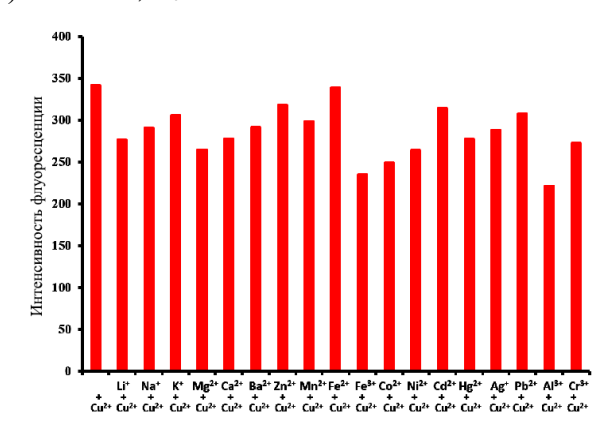


Рисунок S30. Интенсивность флуоресценции ($\lambda_{ex} = 515$ нм) **S10** (15 μ M) в MeCN в присутствии Cu^{2+} (1 экв.) и конкурирующих ионов (10 экв.) .

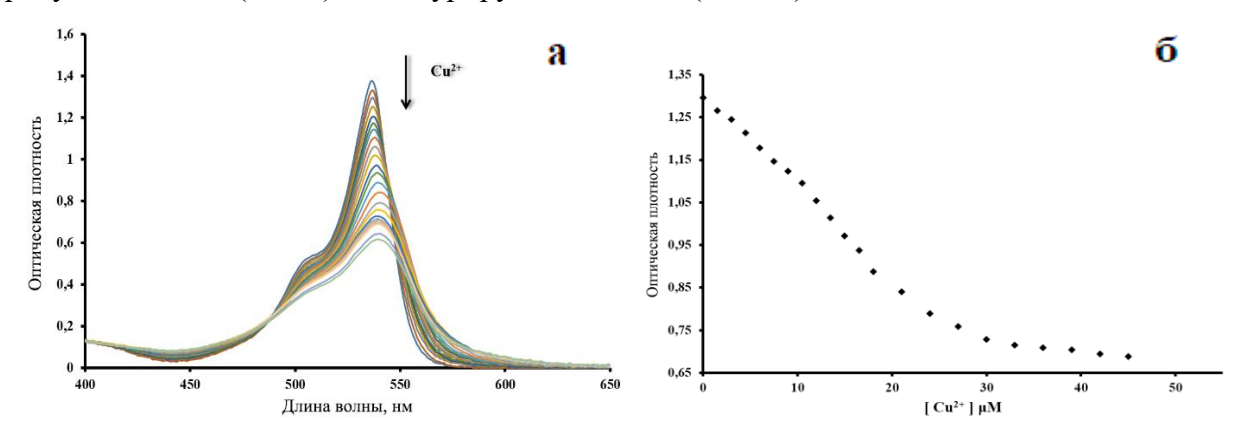


Рисунок S31. (а) Спектры поглощения раствора **S11** (15 μ M) в MeCN с различной концентрацией Cu^{2+} . (б) Оптическая плотность раствора **S11** при 539 нм в зависимости от концентрации Cu^{2+} .

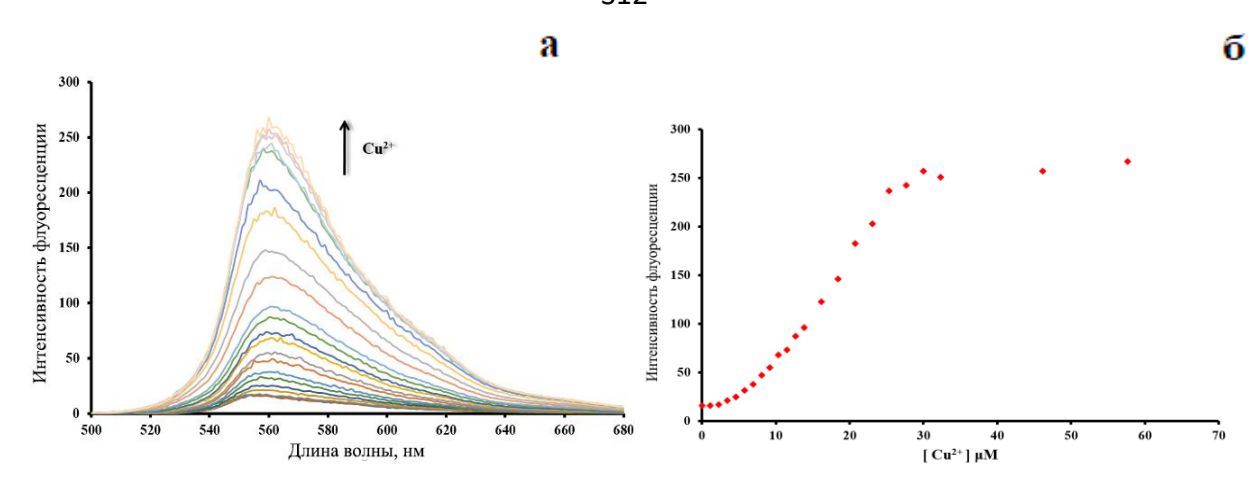


Рисунок S32. (а) Спектры флуоресценции раствора **S11** (15 μ M) в MeCN с различными концентрациями Al^{3+} ($\lambda_{ex}=517$ нм). (б) Максимальная интенсивность флуоресценции раствора **S11** в зависимости от концентрации Cu^{2+} .

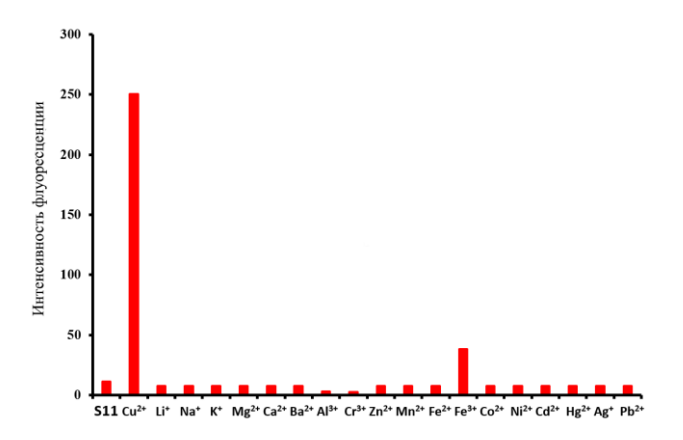


Рисунок S33. а) Флуоресцентный отклик раствора **S11** (15 μ M) при добавлении катионов различных металлов (15 μ M) в MeCN, λ_{ex} =517 нм.

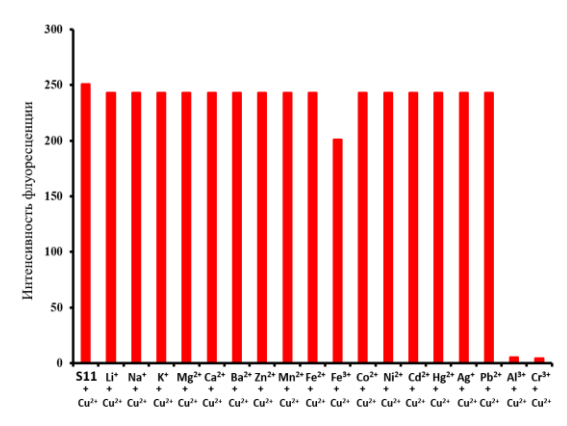


Рисунок S34. Интенсивность флуоресценции ($\lambda_{ex} = 517$ нм) **S11** (15 μ M) в MeCN в присутствии Cu^{2+} (2 экв.) и конкурирующих ионов (10 экв.).

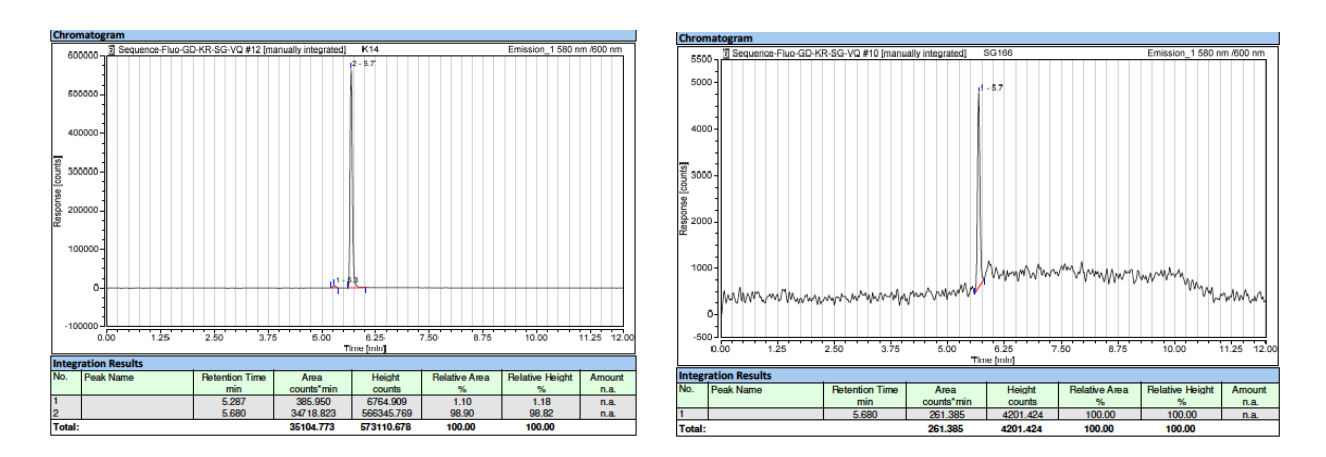


Рисунок S35. ЖХ-хроматограмма сенсора **S15** (0.25 мМ), Сенсор **S15** (0.25 мМ) после активации NaHS (5 экв., 3 часа) и флуорофора **BPB** (λ_{ex} =580, λ_{em} =600 нм).